

3/82

USTHB

ECOLE NATIONALE POLYTECHNIQUE

DEPARTEMENT GENIE-CIVIL

THESE DE FIN D'ETUDES
D'INGENIORAT D'ETAT

**BATIMENT A USAGE PEDAGOGIQUE
EN ZONE II
(Etudié pour deux sites différents)**

Proposé par

E. N. P. A.

Etudié par :

Malik BENNACER

Supervisé par :

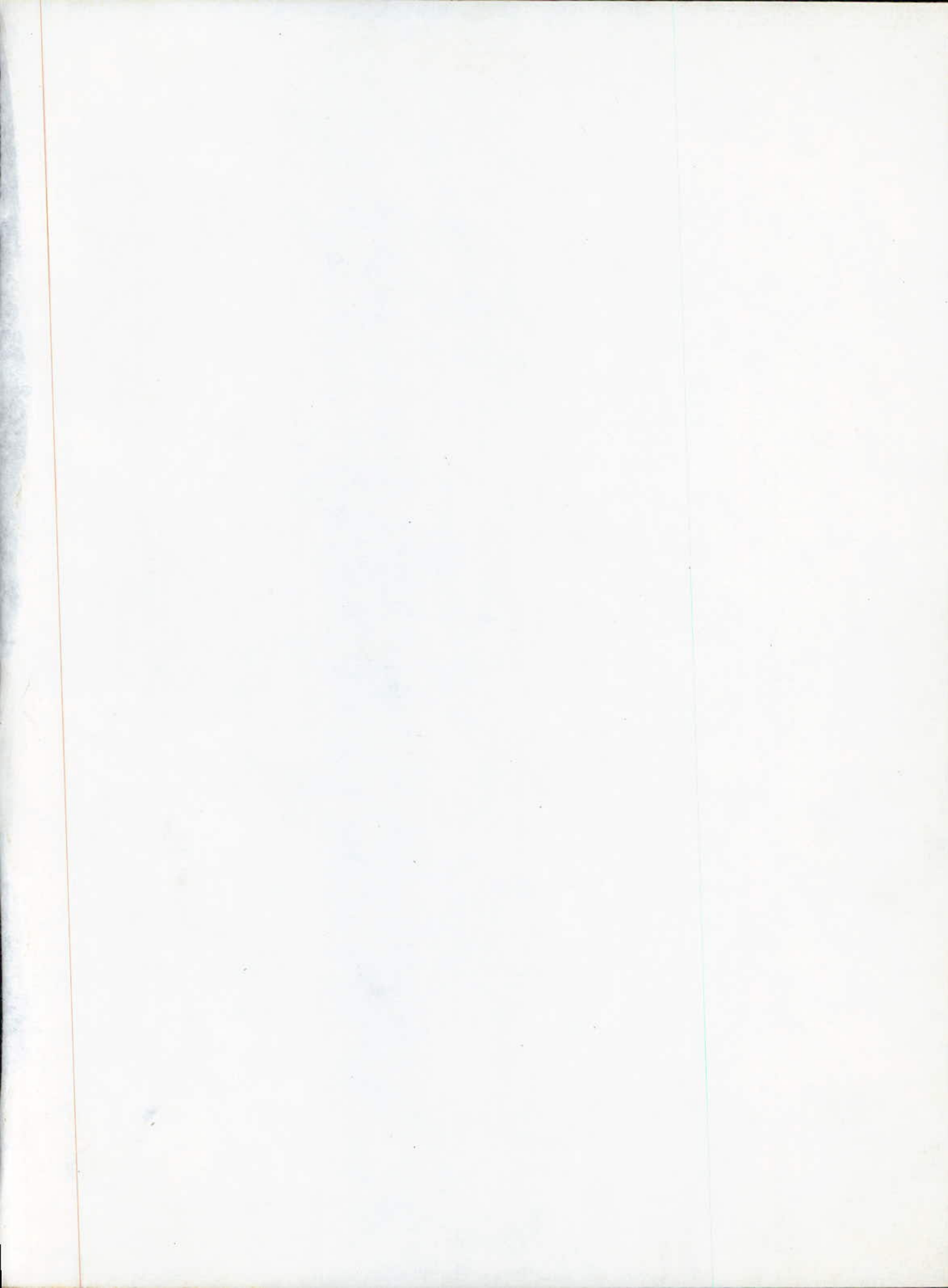
Antar YAHIAOUI

M^R ZERZOUR

(Chef du département Genie Civil)

à l'E. N. P. A.

JUIN 1982



U S T H B

ECOLE NATIONALE POLYTECHNIQUE

DEPARTEMENT GENIE-CIVIL

THESE DE FIN D'ETUDES
D'INGENIORAT D'ETAT

**BATIMENT A USAGE PEDAGOGIQUE
EN ZONE II**
(Etudié pour deux sites différents)

Proposé par :

E. N. P. A.

Etudié par :

Malik BENNACER

Supervisé par :

M^r ZERZOUR

(Chef du département Genie Civil)

à l'E. N. P. A.

Antar YAHIAOUI

JUIN 1982

TABLE des MATIERES

INTRODUCTION:

· Présentation et description de l'ouvrage	1
· Caractéristiques des matériaux utilisés	3
· Charges et surcharges	5

CHAPITRE I: CALCUL DES ELEMENTS.

· Acrotère	I.1
· Calcul de la console terrasse	I.3
· Calcul de l'avant	I.5
· Calcul des poutrelles - terrasse	I.8
· Calcul des poutrelles R.D.C	I.13
· Escaliers	I.18

CHAPITRE II: PRÉDIMENSIONNEMENT

CHAPITRE III. ÉTUDE AU SEISME

CHAPITRES IV. et V. MÉTHODES de CALCUL POUR LA DÉTERMINATION DES EFFORTS DANS LES PORTIQUES.

IV - Sous les forces horizontales	V.1
V - Sous les forces verticales	V.1

CHAPITRES VI et VII: SUPERPOSITION DES DIFFÉRENTES SOLlicitATIONS - FERRAILLAGE

VI - POUTRES	VII.1
VII - PIÈTEAUX	VII.1

CHAPITRE VIII - ETUDE DU MUR PERIPHERIQUE

CHAPITRE IX - FONDATIONS.

SEMELLES	IX.2
RADIERS	IX.15

BIBLIOGRAPHIE.

- * Nos plus sincères remerciements à notre promoteur M^R. ZERZOUR pour ses conseils éclairés et son aide.
- * Qu'il nous soit permis de remercier M^R. FEKHICKHER Secrétaire général à l'U.S.T.H.B pour l'assistance et la disponibilité dont il nous a fait bénéficié.
- * Nous sommes heureux de témoigner notre sympathie et notre profonde reconnaissance à messieurs :

- RABAH. OUALI de la scolarité de l'USTH.B
- SAID. CHERIEF de la roneo du rectorat.
- ZOUBIR. LAINCEUR. Futur Pilote de ligne
- H'MIMI. BOUZIDI. Ingénieur en G. Civil
- SALEM. ALLAM. Ingénieur en G. Civil
- KAMEL. BENSEBAA. Ingénieur en G. Civil
- Si. MOUHOUB - MOUHEB - Ingénieur en Électrique
- Abderrahmane. SLLOUTI - Ingénieur en G. Civil

Pour leur aide matérielle qui'ils ont bien voulu nous apporter.

- * Toute notre gratitude à tous les professeurs qui ont bien voulu nous guider au cours de nos études depuis notre jeunesse et jusqu'à notre formation ; Parmi eux les membres du jury qui nous font l'honneur de juger notre travail
- * À tous nos amis pour leur soutien moral.

M^R. BENNAZER et Z. YAHIAOUI .



Je dédie ce travail

- A mon père.
- A ma mère.
- A mes frères
- A ma sœur.
- A toute ma famille.
- A tous mes amis.

Antar. YAHIAOUI



je dédie ce modeste travail :

- à mon père
- à ma mère,

Pour leurs sacrifices et en témoignage de mon affection, mon respect et mon dévouement.

- à mon frère et à mes sœurs,
en leur souhaitant tout le bonheur possible dans
leur vie.

- à la mémoire de ma sœur Samia, n'aie trop
peur à l'affection des siens

- à la mémoire de mes grand-mères, que
leurs âmes reposent en paix.

- à toute ma famille grands et petits

- à tous ceux qui ont été, sont et seront
mes amis.

- à tous les gens qui souffrent.

Malik Bennacer



INTRODUCTION

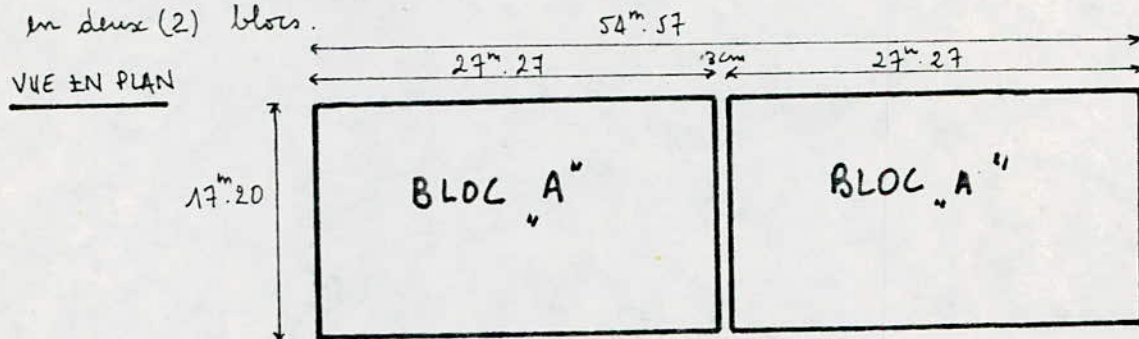
PRESENTATION et DESCRIPTION de L'OUVRAGE

Le projet que nous a été confié, consiste en l'étude des éléments résistants du bâtiment à usage d'enseignement. Cet ouvrage sera situé dans la zone II qui est de moyenne sismicité.

Il est composé d'un étage sanitaire, d'un rez de chaussée et de trois (3) étages.

Les planchers seront espacés de 3^m.52. La longueur totale en plan sera de 54^m.57 et la largeur totale de 17^m.20

Compte tenu des recommandations pour les ouvrages en B.A et pour ne pas tenir compte des effets dus aux variations de température, nous avons pris un (1) joint de dilatation de 3cm (séparation calculée plus loin) qui sépare notre bâtiment en deux (2) blocs.



Vue la symétrie de l'ouvrage, notre étude sera portée sur le bloc "A" qui présente les dimensions mentionnées ci-dessus

Taux de TRAVAIL : Le but de ce projet est de calculer un bâtiment suivant deux (2) types de sol, pour essayer de visualiser la différence relative à la portance du sol pour un même ouvrage.

Le 1^{er} taux est de 2,5kg/cm² (semelles)

Le 2nd " est de 1kg/cm² (radier général)

BETON ARME

Béton tout le béton entrant dans la construction sera conforme :

- aux règles CCPA .68 dans un 1^{er} stade

- " " en vigueur applicables en Algérie (PS69 ..)

Il sera composé de :

- 800 litres de gaillons 5/15 ($D_g = 15\text{ mm}$)

- 2100 " de tables : $D_s \leq 5\text{ mm}$

- 350 Kg de ciment CPA classe 325

175 litres d'eau (variables en fonction de l'humidité des granulats)

ACIER

Deux (2) nuances d'aciers seront utilisées

- acier doux (ronds lisses)

- acier à haute cohérence.

Remarques:

Le sable et les granulats doivent être propres ; en particulier ils ne doivent pas comporter ni terre, ni matière organique, ni argile, ces matières étant nuisibles au ciment et aux armatures.

- . l'eau rentrant dans la composition des bétons devra être pure (sans acide)
- . L'acier sera propre et débarrassé de toutes traces de rouille, de peinture et de graisse.
- . La préparation du béton sera faite mécaniquement et le chantier muni d'un matériel de contrôle nécessaire.

OSSATURE : l'ossature du bâtiment est constituée de portiques longitudinaux et transversaux, qui assureront le contreventement dans les deux (2) sens. L'ouvrage, reposera directement sur le sol, par l'intermédiaire d'une couche de béton de propriétés de 5 à 10 cm d'épaisseur posée sous les fondations.

PLANCHERS : Ils seront constitués par des garde creux et une dalle de compression. Le plancher terrasse aura en plus une isolation thermique et hydrofuge. Ce dernier devra avoir une forme de pente.

ESCALIERS : Le bâtiment entier sera muni de deux (2) cages d'escaliers intérieurs. Les escaliers seront à paillasse adjacents ; ils seront construits étage par étage en même temps que l'ossature dans le but d'éviter l'utilisation de échelles.

MAÇONNERIE : MURS EXTÉRIEURS : - cloison en briques creuses (10 cm)
- un vide d'air (5 cm)
- une cloison en briques creuses (10 cm)

MURS INTÉRIEURS cloisons de séparation en briques creuses (10 cm)

REVETEMENTS : Enduit de mortier de ciment (murs extérieurs)
" " en plâtre (murs intérieurs)

Céramique dans les salles d'eau. Carrelage dans les autres pièces - plinthes.

**CARACTERISTIQUES MECANIQUES DES MATERIAUX
CONSTITUANT le BETON-ARMÉ.**

- A - BETON:**
- dosage : 350 kg/m^3 de CPA 325 ; contrôle atténué
 - Granulats: grosseur Cg. 5/15
 - résistance nominale de compression : $\sigma'_{28} = 270 \text{ bars}$
 - " " " de traction : $\sigma'_{28} = 23,2 \text{ bars}$.

① Contrainte de compression admissible: (C.C.B.A 68 art 9.4)

Elle est prise égale à une fraction de la résistance à 28 jours.

$$\sigma'_b = f'_b \cdot \sigma'_{28} \quad \text{avec } f'_b = \alpha \cdot \beta \cdot \gamma \cdot \delta \cdot \varepsilon .$$

- * α : dépend de la classe de ciment utilisée ; $\alpha = 1$ (CPA 325)
- * β : " de l'efficacité du contrôle ; $\beta = 5/6$ (contrôle atténué)
- * γ : " des épaisseurs relatives des éléments et des dimensions des granulats . Cg 5/15 $\rightarrow \gamma = 1$ ($h_n / 4C_g \geq 1$)
 h_n : épaisseur minimale de la pièce considérée
- * δ : dépend de la nature de la sollicitation
 - $\delta = 0,30$ en compression simple
 - $\delta = 0,60$ en flexion simple
 - en flexion combinée :
 - $\delta = 0,60 \rightarrow$ l'effort normal est une traction

$$\delta = \begin{cases} 0,30 (1 + \frac{e_0}{3e_1}) & \text{si } \delta < 0,60 \\ 0,60 & \text{si } \delta > 0,60 \end{cases} \quad \begin{array}{l} \text{effort normal est} \\ \text{une compression} \end{array}$$

avec: e_0 : excentricité de la résultante des forces extérieures par rapport au centre de gravité du béton seul.

e_1 : distance de la limite du noyau central au centre de gravité de la section du béton seul dans le plan radial passant par le centre de pression.

REMARQUE :

. Quand il s'agira d'une sollicitation fondée sur le 2^{ème} genre, les valeurs de δ seront multipliées par le coefficient : 1,5

* ε : dépend de la forme de la section et de la position de l'axe neutre
 $\varepsilon = 1 \rightarrow$ en compression simple
 $0,5 < \varepsilon < 1 \rightarrow$ dans les autres cas .

Dans notre cas:

a) en compression simple:

1^{ère} genre: $\bar{\sigma}'_{b_0} = 1 \cdot 5/6 \cdot 1 \cdot 0,3 \cdot 270 = 67,5 \text{ bars}$ (sous SP₁)

2^{ème} genre: $\bar{\sigma}'_{b_0} = 1,5 \cdot 67,5 = 101,5 \text{ bars}$ (SP₂)

b) en flexion simple:

1^{ère} genre: $\bar{\sigma}'_b = 135 \text{ bars}$ (SP₁)

2^{ème} genre: $\bar{\sigma}'_b = 202,5 \text{ bars}$ (SP₂)

② Contrainte de traction de référence : (art 9.5 CCBA 68)

$$\bar{\sigma}_b = \alpha \cdot \beta \cdot \gamma \cdot \sigma_{28}'$$

- * α, β, γ sont les mêmes que pour la contrainte de compression.
- * $\theta = 0,018 + \frac{2,1}{\sigma_n'}$ (σ_n' en bars).

sous SP_1 : $\bar{\sigma}_b = 5,8$ bars

sous SP_2 : $\bar{\sigma}_b = 8,7$ bars.

B - ACIERS: on distingue deux (2) catégories d'acières.

* aciers doux (ronds lisses):

- nuance Fe E 24 $\sigma_{en} = 2350$ bars

- contraintes admissibles:

$$\bar{\sigma}_a = \frac{2}{3} \sigma_{en} = 1600 \text{ kg/cm}^2 \quad \text{sous } SP_1$$

$$\bar{\sigma}_a = \sigma_{en} = 2400 \text{ kg/cm}^2 \quad \text{sous } SP_2$$

* aciers haute adhérence:

- nuance Fe E 40 $\sigma_{en} = 4120$ bars $\rightarrow \phi \leq 20$ mm

$\sigma_{en} = 3920$ bars $\rightarrow \phi > 20$ mm

- contraintes admissibles:

$$\phi \leq 20 \text{ mm} \quad \left\{ \begin{array}{ll} \bar{\sigma}_a = 2800 \text{ kg/cm}^2 & \text{sous } SP_1 \\ \bar{\sigma}_a = 4200 \text{ kg/cm}^2 & \text{sous } SP_2 \end{array} \right.$$

* Contrainte de traction imposée par la condition de fissuration: (art 4.8)
La valeur maximale de la contrainte des armatures est limitée à la plus grande des valeurs suivantes (en bars):

$$\sigma_a = K \cdot \frac{\eta}{\phi} \cdot \frac{\bar{\omega}_f}{1+10\bar{\omega}_f} ; \quad \sigma_2 = 2,4 \sqrt{\eta \cdot \frac{K}{\phi} \cdot \bar{\sigma}_b}$$

σ_1 : contrainte de fissuration systématique

σ_2 : " " " non systématique (ou accidentelle)

η : coefficient de fissuration ($\eta=1 \rightarrow$ ronds lisses; $\eta=1,6 \rightarrow$ H.A.)

ϕ : diamètre de la plus grosse barre (en mm)

$\bar{\omega}_f$: pourcentage de fissuration: $\bar{\omega}_f = \frac{A}{B_f}$

A: section totale des armatures tendues

B_f : section d'enrobage des barres tendues

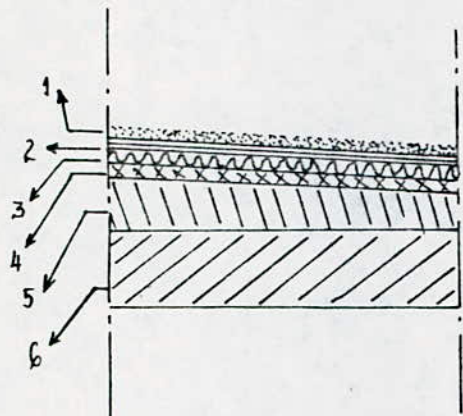
K: coefficient dépendant des conséquences de fissuration sur le comportement de l'ouvrage

$K = 1,5 \cdot 10^6$	—	fissuration peu nuisible
$K = 1 \cdot 10^6$	—	préjudiciable
$K = 0,5 \cdot 10^6$	—	très préjudiciable

CHARGES ET SURCHARGES

CHARGES PERMANENTES

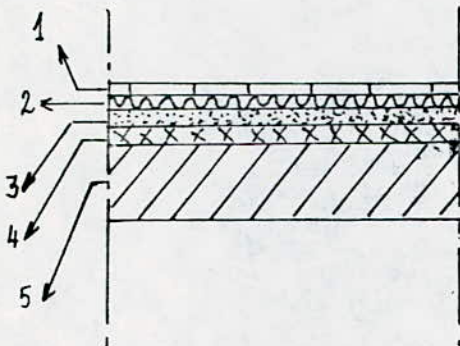
PLANCHER - TERRASSE.



1 - gravillons (5cm) : $0,05 \times 1500$	= 75 KG/m ²
2 - multicouches	= 10 KG/m ²
3 - chape en béton (3cm) : $0,03 \times 2000$	= 60 KG/m ²
4 - isolation thermique : $0,03 \times 400$	= 12 "
5 - forme de bento : $0,07 \times 2000$	= 140 "
6 - Hourdis + table : (20+5)	= 325 "

$$G = 622 \text{ KG/m}^2$$

PLANCHER - COURANT.



1 - carrelage : $(22 \text{ KG/cm}^2/\text{cm})(2\text{cm})$	= 44 KG/m ²
2 - mortier de pose : $0,02 \times 2000$	= 40 "
3 - Sable : $0,03 \times 1700$	= 51 "
4 - isolation phonique :	= 10 "
5 - Hourdis + table : (20+6)	= 325 "

$$G = 470 \text{ KG/m}^2$$

$$+ cloisons : 75 "$$

$$G = 545 \text{ KG/m}^2$$

SURCHARGES D'EXPLOITATION :

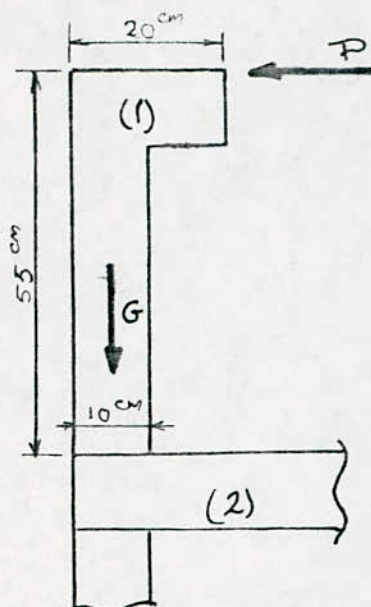
- Plancher terrasse (inaccessible) $P = 100 \text{ KG/m}^2$
- Plancher courant (salle de cours) $P = 350 \text{ "}$
- Escaliers : $P = 400 \text{ "}$

CALCUL

des

ELEMENTS

ACROTERE



L'acrotère (1) sera calculé en tenant que coincide au niveau du poste à four (2).
Elle sera soumise à :

- son poids propre
- une surcharge due à la main courante.

$$P = 100 \text{ kg/vl}$$

Le calcul se fera par bandes de 1^m de largeur.
La bande est sollicitée en flexion composée. On utilisera la méthode de P. CHARON.

- * Poids Propre: $G = (0,55 \times 0,1 \times 1 + 0,10 \times 0,1 \times 1) \cdot 2500 \Rightarrow G = 163 \text{ Kg/vl}$
- * Surcharges: $P = 100 \text{ Kg/vl}$
tenant compte de la fondation: $1,2 \cdot P = 120 \text{ Kg/vl}$

Le moment produit dans la section dangereuse (section d'encastrement) par la charge $1,2P$ sera:

$$M = 1,2 \cdot P \cdot h = 120 \times 0,55 \longrightarrow M = 66 \text{ Kg.m}$$

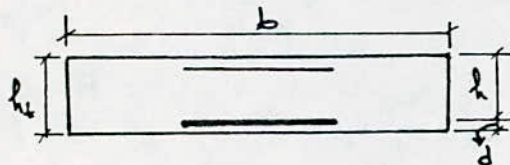
* Calcul du centre de pression:

$$N = G \times 1^m = 163 \text{ Kg} \\ \Rightarrow e_0 = \frac{M}{N} = 0,40 \text{ m} = 40 \text{ cm}$$

* distance du centre de gravité au bord du noyau central:

$$e_1 = \frac{ht}{6} = \frac{0,10}{6} = 0,016 \text{ m} = 16 \text{ cm}$$

on remarque que $e_0 > e_1$: La section est partiellement comprimée.
d'où, on peut dire que l'étude se fera par la théorie du moment fléchissant K_F en flexion simple par rapport au centre de gravité des armatures tendues.



$$d = 2 \text{ cm} ; b = 100 \text{ cm}$$

$$ht = 10 \text{ cm}$$

$$h = 8 \text{ cm}$$

$$cM = Nf + M.$$

$$\Rightarrow M = 7090 \text{ Kg.cm}$$

$$f = \left(\frac{ht}{2} - d \right) = 3 \text{ cm}$$

$$M = 66 \text{ Kg.m}$$

$$N = 163 \text{ Kg}$$

$$n = \frac{15 \cdot M}{\bar{\tau}_a \cdot b \cdot h^2} = 0,006 \xrightarrow[\substack{\text{tableau de} \\ \text{P.CHARON}}]{\substack{\text{K} = 128 \\ \Sigma = 0,965}} \begin{cases} K = 128 \\ \Sigma = 0,965 \end{cases}$$

$$\text{armatures comprimées: } \bar{\tau}'_b = \frac{\bar{\tau}_a}{K} = \frac{2800}{128} = 21,8 \text{ Kg/cm}^2 < \bar{\tau}'_b = 135 \text{ Kg/cm}^2$$

$$\Rightarrow A' = 0 \quad (\text{armatures comprimées non nécessaires})$$

$$\text{armatures tendues: } A = \frac{nb}{\bar{\tau}_a \cdot \Sigma \cdot l} - \frac{N}{\bar{\tau}_a} = \frac{7090}{2800 \times 0,965 \times 8} - \frac{163}{2800}$$

$$\Rightarrow A = 0,27 \text{ cm}^2 / \text{par mètre}$$

VERIFICATIONS:

① condition de non fragilité (art. 52. CCBA 68)

$$A \geq 0,69 \cdot \frac{\bar{\sigma}_b}{2} \cdot b \cdot h = 0,69 \cdot \frac{5,8}{4200} \cdot 100 \cdot 8 = 0,76 \text{ cm}^2$$

$$A \geq 0,76 \text{ cm}^2$$

Nous adopterons alors comme section : ST6/16L $\rightarrow A = 1,41 \text{ cm}^2$

- écartement: l'écartement des armatures principales sera $t = 20 \text{ cm}$ conformément à l'art. 57,33. CCBA 68
- en plus des armatures principales, on placera des armatures transversales ou encore de peau, ayant pour section :

$$A = 4T6 \text{ avec } t = 25 \text{ cm}$$

② condition de non fissuration :

ξ_1 et ξ_2 seront déterminés à l'aide des tableaux de CHARON

$$\bar{w_f} = \frac{A}{B_f} = \frac{1,41}{100 \times 4} = 0,0035 \quad \left\{ \begin{array}{l} K=10^6, \text{ fissure fragilisante} \\ \varnothing = 6 \text{ mm} \\ \eta = 1,6 \text{ (aciés. H.A)} \end{array} \right.$$

$$\xi_1 = 484 \times 1,6 = 774 \text{ bars}$$

$$\xi_2 = 2359 \times 1,265 = 2984 \text{ bars} \Rightarrow \max(\xi_1, \xi_2) = 2984 > \bar{\sigma}_a = 2800$$

La fissuration est ainsi vérifiée

③ Vérification à l'effort tranchant :

$$A \cdot \bar{\sigma}_a \geq T + \frac{M}{z}$$

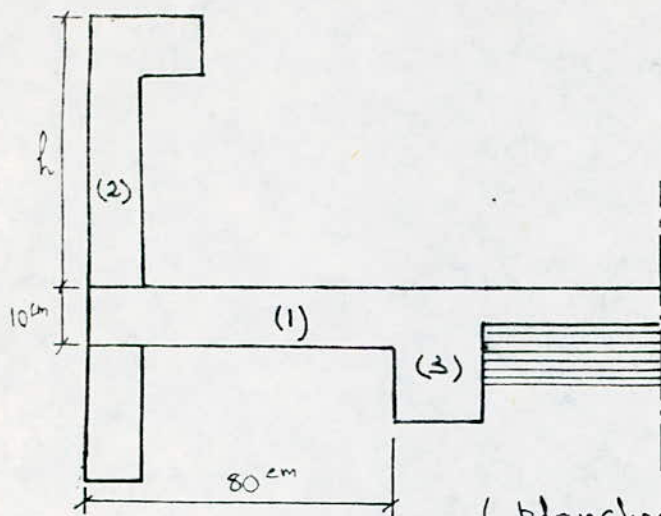
$$T = 1,2 \cdot P = 120 \text{ Kg}$$

$$M = 6600 \text{ kg.cm}$$

$$z = \frac{t}{8} (8) = 7 \text{ cm.}$$

$$A \cdot \bar{\sigma}_a \geq 120 + \frac{(-66000)}{7} \leftarrow \text{vérifiée.}$$

console-terrasse



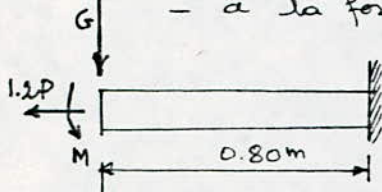
- (1) . console terrasse
- (2) . acrotière
- (3) . poutre longitudinale

La console sera calculée comme étant encastrée à la poutre longitudinale. Elle sera soumise à :

- son poids propre S ,
- une charge concentrée à l'extrémité (due à l'acrotière): G
- aux surcharges d'exploitation

(planches terrasse inaccessible)

- un moment fléchissant du à la force (1,2 P) agissant sur l'acrotière : $M = 1,2 \cdot P \cdot h$
- à la force $F = 1,2 \cdot P$ (main courante).



Le calcul se fera par bandes larges de 1m et la console sera sollicitée en flexion composée.

* Poids propre: $S = (0,1 \times 1 \times 2500) = 250 \text{ kg/m}$
revêtement: 300 kg/m .

* Surcharges:

$$P = 100 \text{ kg/m} \text{ (terrasse inaccessible)}$$

$$M_f = M + G \cdot l + M'$$

$$M' : \text{moment du au poids propre de la console et les surcharges d'exploitation}$$

$$M' = \frac{(250+300) \cdot 0,8^2}{2} + \frac{1,2 \cdot 100 \cdot 0,8^2}{2} \rightarrow M' = 215 \text{ kg.m}$$

$$\Rightarrow M_f = 66 + 130 + 215 \Rightarrow M_f = 412 \text{ kg.m}$$

calcul du centre de pression: $e_0 = \frac{M}{N} = \frac{412}{120} = 3,43 \text{ m}$.

distance du centre de gravité au bord du noyau central:

$$e_1 = \frac{ht}{6} = \frac{10}{6} = 1,66 \text{ cm}$$

on remarque que $e_0 > e_1$: section partiellement comprimée
théorie du moment fictif:

$$M_f = M + \left(\frac{ht}{2} - d \right) \cdot N = M + Na$$

$$d = 3 \text{ cm}$$

$$N = 120 \text{ kg (traction)} \rightarrow N < 0 \quad \} \Rightarrow CM_f = 412 - 0,03 \times 120 = 409 \text{ kg.m}$$

$$M = \frac{15 CM_f}{\bar{\epsilon} a \cdot b \cdot h^2} = 0,0342 \quad \rightarrow \begin{cases} K = 48 \\ \varepsilon = 0,9205 \end{cases}$$

armatures comprimées: $\sigma'_b = \frac{\bar{\sigma}_a}{K} = \frac{2800}{48} = 58 \text{ kg/cm}^2 < \bar{\sigma}'_b = 135 \text{ kg/cm}^2$

$\Rightarrow A' = 0$ Pas d'armatures comprimées.

armatures tendues:

$$A = \frac{M}{\bar{\sigma}_a \cdot E \cdot k} = \frac{40900}{2800 \cdot 0,9206 \cdot 8} = 2 \text{ cm}^2$$

nous adopterons une section: 10T6 $\rightarrow A = 2,8 \text{ cm}^2$ avec un espaceur: $t = 10 \text{ cm}$

on devrait aussi une section d'armatures de répartition qui est de: $A_r = 4T6 / m$ avec $t = 25 \text{ cm}$.

VERIFICATIONS:

① condition de non fragilité: (art 52.CCBA 68)

$$A \geq 0,69 \cdot \frac{\bar{\sigma}_t}{\bar{\sigma}_{en}} \cdot b \cdot h = 0,69 \cdot \frac{5,8}{4200} \cdot 100 \cdot 8 = 0,76 \text{ cm}^2 - \text{vérifiée}$$

② condition de non fissuration:

$$\bar{\psi}_f = \frac{A}{Bf} = \frac{2,81}{100 \cdot 4} = 0,0072 \Rightarrow \begin{cases} \sigma_1 = 1,6 \times 1200 = 1930 \text{ kg/cm}^2 \\ \sigma_2 = 1,265 \times 2359 = 2984 \text{ "} \end{cases}$$

$$\max(\sigma_1, \sigma_2) = 2984 > \bar{\sigma}_a - \text{vérifiée}$$

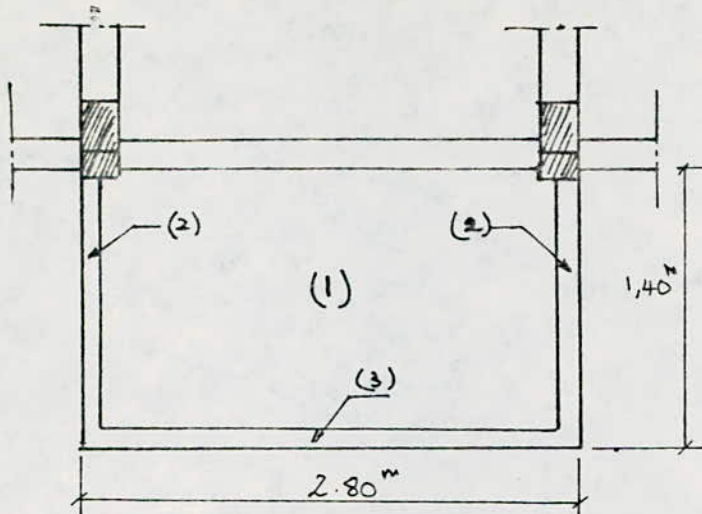
③ effort tranchant:

$$Z_b = \frac{T}{b \cdot z}$$

$$\left| \begin{array}{l} T = 699 \text{ kg} \\ b = 100 \text{ cm} \\ z = \frac{7}{8} \cdot 8 \end{array} \right. \Rightarrow Z_b = 1 \text{ kg/cm}^2 < 1,2 \bar{\sigma}_b = 7 \text{ "}$$

vérifiée.

l'auvent



L'étude de l'auvent comprendra :

- le calcul des 2 poutres en consoles (2)
- le calcul de la dalle (1) encastrée sur les poutres en consoles.

- (1) : dalle
- (2) : poutre-console
- (3) : bandeau

I - Etude des Poutres en console : (sollicitée - flexion simple)

Elle sera soumise à :

- son poids propre
- poids de la dalle (1)
- poids du bandeau (3)
- aux surcharges d'exploitation : ($P = 100 \text{ kg/m}^2$) .

$$b = 15 \text{ cm}$$

$$h_f = 65 \text{ cm}$$

$$h = 60 \text{ cm}$$

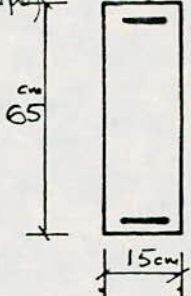
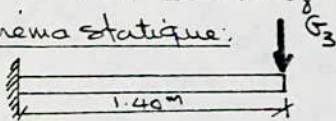


Schéma statique:



* Poids Propre :

$$G_0 = 0,15 + 0,65 \cdot 2500 = 244 \text{ kg/m}$$

* Poids de la dalle : $G_1 = 0,10 \times 1,4 \times 2500 = 350 \text{ kg/m}$

* Poids du bandeau : (charge concentrée).

$$G_3 = 0,5 \times 0,06 \times 1,40 \times 2500 = 190 \text{ kg.}$$

* Surcharges :

$$P = 1,4 \times 100 = 140 \text{ kg/m.}$$

* moment maximum : $M = \frac{(350 + 244) \cdot 1,14^2}{2} + \frac{(1,2 \cdot 1,40) \cdot 1,14^2}{2} + 190 \cdot 1,14$

donc $M = 1015 \text{ kg.m.}$

$$\mu = \frac{15 \cdot M}{\frac{\sigma_a \cdot \frac{I_b}{2}}{K} \cdot b} = \frac{1015 \cdot 10^2}{2800 \cdot 15 \cdot 60^2} = 0,11 \rightarrow \begin{cases} K = 91 \\ \Sigma = 0,9528 \end{cases}$$

A. armatures longitudinales :

* armatures comprimées : $\bar{A}_b = \frac{\bar{I}_b}{K} = \frac{2800}{91} = 30,77 \text{ kg/cm}^2 < \bar{A}_b^{-1}$

$\rightarrow A' = 0$ pas d'armatures comprimées.

* armatures tendues :

$$A = \frac{M}{\frac{\sigma_a \cdot \Sigma}{K} \cdot h} = \frac{1015 \cdot 10^2}{2800 \cdot 0,9528 \cdot 60} = 0,65 \text{ cm}^2$$

VERIFICATIONS:

① condition de non fragilité :

$$A \geq 0,69 \cdot \frac{\bar{A}_b}{\sigma_{en}} \cdot b \cdot h = 0,69 \cdot \frac{5,9}{4200} \cdot 15 \cdot 60 = 0,88 \text{ cm}^2$$

on prendra une section $A = 2T10 \rightarrow A = 1,57 \text{ cm}^2$

② condition de non fissuration :

$$\bar{w}_f = \frac{A}{B_f} = \frac{1157}{4 \times 15} = 0,026 \rightarrow \begin{cases} \sigma_1 = 3300 \text{ kg/cm}^2 \\ \sigma_2 = 2310 \text{ kg/cm}^2 \end{cases}$$

$$\max(\sigma_1, \sigma_2) = 3300 \text{ kg/cm}^2 > \bar{\sigma}_a = 2800 \text{ kg/cm}^2 - \text{Vérifiée}$$

③ contraintes: $\bar{\tau}_b = 100 \cdot \frac{A}{b \cdot h} = 100 \cdot \frac{1,57}{15 \cdot 60} = 0,174 \Rightarrow \begin{cases} K = 58,5 \\ \varepsilon = 0,9320 \end{cases}$

$$* \sigma_a = \frac{M}{A \cdot \varepsilon h} = \frac{1015 \cdot 10^2}{1,57 \cdot 0,9320 \cdot 60} = 1160 \text{ kg/cm}^2 < \bar{\sigma}_a$$

$$* \sigma'_b = \frac{\sigma_a}{K} = 20 \text{ kg/cm}^2 < \bar{\sigma}'_b - \text{Vérifiées -}$$

on prendra: $A = 2T10 \quad A' = 2T8 \text{ (montage)}$

④ armatures transversales: $T_{\max} = 1260 \text{ kg}$.

$$\bar{\tau}_b = \frac{T}{b \cdot g} = \frac{1260}{15 \cdot \frac{7}{8} \cdot 60} = 1,6 \text{ kg/cm}^2$$

on a $\sigma'_b < \bar{\sigma}'_{b0} \Rightarrow \bar{\tau}_b = 3,5 \cdot \bar{\tau}_b \Rightarrow \bar{\tau}_b = 20,3 \text{ kg/cm}^2$
 $\bar{\tau}_b < \bar{\tau}'_b$

écartement: $\bar{\sigma}_{at} = 1600 \text{ kg/cm}^2$ (acier deux nuances Fe E 24)

$$* t = \frac{A_t \cdot \varepsilon \cdot \bar{\sigma}_{at}}{T} \text{ ou choisir 2 brins de } \phi 6 \text{ mm.} \\ \text{1 cadre } \phi 6 \cdot A_t = 0,56 \text{ cm}^2 \\ \Rightarrow t = 35 \text{ cm.}$$

$$\bar{\varepsilon} = \max \left\{ \begin{array}{l} 0,2 h = 12 \text{ cm.} \\ h(1 - 0,3 \cdot \frac{\bar{\tau}_b}{\bar{\tau}'_b}) = 55 \text{ cm.} \end{array} \right\} \Rightarrow t = 30 \text{ cm.}$$

Le 1^{er} cours d'armatures sera placé à $\frac{t}{2}$ de l'appui ($\frac{t}{2} = 15 \text{ cm}$) puis on gardera le même écartement le long de la bretelle ($\frac{t}{2} = 15 \text{ cm}$)

II. Etude de la dalle: La dalle sera calculée comme étant une plaque semi-encastrée sur les 2 portes en console.

Elle sera soumise à son poids propre et aux charges d'exploitation. Le calcul se fera pour une bande de 1^m de largeur et ayant pour portée la longueur de l'avant, c'est à dire $L = 2,80 \text{ m}$.

* Poids propre:

$$G = 0,1 \times 1 \times 2500 = 250 \text{ kg/m}^2$$

$$\text{revêtement (posee de pente)} = 100 \text{ kg/m.}$$

* Charges: $R = 100 \text{ kg/m.}$

Efforts:

$$* \text{moment maximum: } M_o = \frac{q \cdot l^2}{8} = 460 \text{ kg.m.}$$

$$M_t = 0,85 \cdot M_o = 400 \text{ kg.m.} \quad (\text{travée})$$

$$M_a = 0,30 \cdot M_o = 180 \text{ kg.m.} \quad (\text{appui}).$$

- Ferraillage: * en travée: $\lambda = \frac{15 \cdot 400 \cdot 10^2}{2800 \cdot 100 \cdot 8^2} = 0,034 \rightarrow \begin{cases} K = 48,2 \\ \Sigma = 0,9209 \end{cases}$
- * armatures combinées: $\bar{\sigma}_b' = \frac{2800}{48,2} = 58,09 \text{ kg/cm}^2 < \bar{\sigma}_b'$
 $\Rightarrow A' = 0$. les armatures combinées.
- * armatures tendues: $\lambda = \frac{M}{\bar{\sigma}_a \cdot \Sigma \cdot h} = \frac{400 \cdot 10^2}{2800 \cdot 0,9209 \cdot 8} = 2 \text{ cm}^2$
- on prend: $A = 8T6$ par mètre.
- * appui: $A' = 0$ et $A = 4T6$ par mètre.

VERIFICATIONS:

- ① condition de non fragilité:

$$\lambda \geq 0,69 \cdot \frac{\bar{\sigma}_b}{\bar{\sigma}_{cu}} \cdot b \cdot h = 0,69 \cdot \frac{5,8}{4200} \cdot 100 \times 8 = 0,76 \text{ cm}^2$$

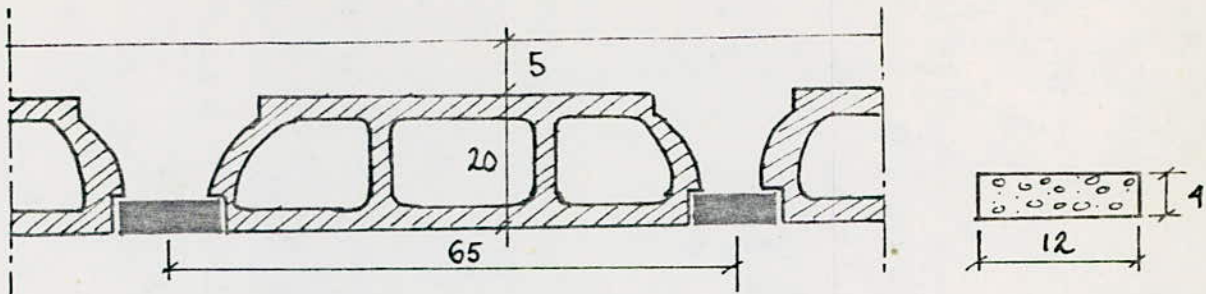
- vérifié -

- ② condition à un fixement:

$$\bar{w}_f = \frac{A}{B_f} = \frac{1,12}{4100} \rightarrow \begin{cases} \bar{\sigma}_1 = 550 \text{ kg/cm}^2 \\ \bar{\sigma}_2 = 2980 \text{ kg/cm}^2 \end{cases} \quad \text{Max} = 2980 \text{ kg/cm}^2$$

$2980 \text{ kg/cm}^2 > \bar{\sigma}_a$ vérifié

poutrelles-terrasse



Le plancher-terrasse est à coûts creux (20+5) réalisé comme indiqué sur la figure ci-dessus.

Les poutrelles sont préfabriquées sur chantier. Elles sont calculées sous les sollicitations du 1^{er} genre : G+1,2.P, et disposées dans le sens de la petite portée.

La surface revêtant à la poutrelle est : 0,65 x l

Le calcul se fait en deux (2) étapes :

1^{ere} étape: Avant coulage de la dalle de compression, on considère la poutrelle comme simplement appuyée. Elle va supporter :

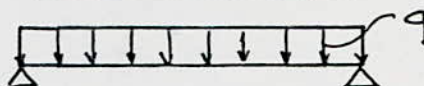
- son poids ; l'haut-dis et la charge due à l'ouvrage

2^{eme} étape: La poutrelle sera finie et travaillera comme une poutre reposant sur 8 appuis. Les charges et surcharges supportées étant définies précédemment.

CALCULS:

* 1^{ere} étape: schéma statique

Section :



4
12

. poids propre de la poutrelle : $0,12 \times 0,04 \times 2500 = 12 \text{ Kg/mel}$

. poids propre du coûts creux : $0,65 \times 110 = 71,5 \text{ "}$

. surcharge (ouvrage) : $1,2 \times 0,65 \times 100 = 78 \text{ "}$

Efforts: $M_o = q \cdot \frac{l^2}{8} = \frac{161,5 \times (4,25)^2}{8} = 365 \text{ kg.m.}$ $q = 161,5 \text{ kg/mel}$

$$T = q \cdot \frac{l}{2} = 161,5 \times \frac{4,25}{2} = 343 \text{ kg.m.}$$

Ferrailage: (méthode de P. CHARON). $d = 2 \text{ cm}$ (choix).

$$\mu = \frac{15 \cdot M}{\bar{\sigma}_b \cdot b \cdot h^2} = \frac{15 \times 365 \cdot 10^2}{2800 \times 12 \times 92^2} = 4,07 \longrightarrow K=1,2$$

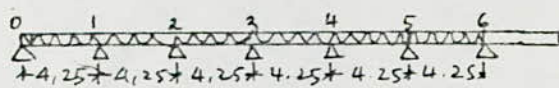
* armatures comprimées: $\bar{\sigma}_b = \frac{2800}{12} = 233 \text{ kg/cm}^2 > \bar{\sigma}_b'$

on voit que ces armatures sont nécessaires, mais à cause de la faible hauteur de la poutrelle, elles ne peuvent être placées

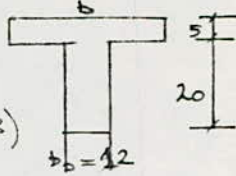
on prévoit pour cela un échauffe-ondage (pieds droits) qui aidera les poutrelles à supporter ces surcharges. (Pieds droits distants de 1m)

* 2^e étape: (calcul de la bouteille en section T continue sur 7 appuis)

Schéma statique:



Section:



détermination de b: (art. 23.3 CCBA 68)

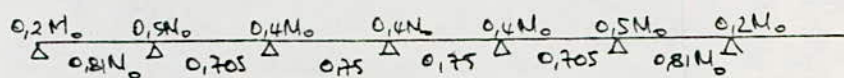
$$+\frac{(b-b_0)}{2} \leq \frac{l}{2} \Rightarrow \frac{65-12}{2} = 26,5 \text{ cm}$$

$$+\frac{(b-b_0)}{2} < \frac{1}{10} l = \frac{4,25}{10} = 4,25 \text{ cm}$$

$$+\frac{(b-b_0)}{2} \leq 6 h_0 \div 8 h_0 = (6 \times 5 \div 8 \times 5) = (30 \div 40)$$

La 1^{re} condition est la plus restrictive: $b-b_0 = 26,5 \Rightarrow b = 45 \text{ cm}$.

a. Efforts: Le plancher est à surcharges modélisées, nous utiliserons la méthode forfaitaire (art 55. CCBA 68).



Poids propre du plancher: 622 kg/m^2

Surcharges: $1,2 \times 100: \frac{120 \text{ kg/m}^2}{+ 42 \text{ kg/m}^2} \Rightarrow q = 742 \times 0,45 = 483 \text{ kg/m}^2$

Moments fléchissants maximum: $M_0 = \frac{q \cdot l^2}{8} = \frac{483 \times 4,25^2}{8} = 1090 \text{ kg.m}$

* en travée: $M_{t \max} = 0,81 N_0 = 0,81 \cdot 1090 = 883 \text{ kg.m}$

* aux appuis: $M_{a \max} = 0,50 N_0 = 0,50 \cdot 1090 = 545 \text{ kg.m}$.

Efforts tranchants: la travée la plus sollicitée étant celle de rive. on fait alors une majoration de 15%

$$\Rightarrow T_{\max} = 1,15 \cdot \frac{q \cdot l}{2} = 1,15 \times \frac{483 \times 4,25}{2} = 1180 \text{ kg.}$$

$$\Rightarrow \begin{cases} M_t = 883 \text{ kg.m} \\ M_a = 545 \text{ kg.m} \\ T = 1180 \text{ kg.} \end{cases}$$

b. Ferrailage:

1 - armatures longitudinales:

* En travée:

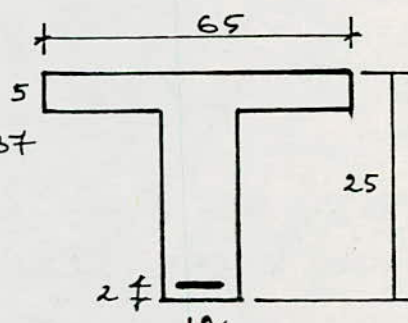
$$M_t = 883 \text{ kg.m} \Rightarrow \mu = \frac{15 \times 883 \cdot 10^2}{2800 \times 65 \times 23^2} = 0,0137$$

$$\Rightarrow \begin{cases} K = 81 \\ \alpha = 0,1563 \\ \Sigma = 0,9479 \end{cases}$$

Position de l'axe neutre: $f = \alpha h$

$$f = 0,1563 \times 23 = 3,6 \text{ cm} < 5 \text{ cm}$$

L'axe neutre se trouve dans la table de compression \Rightarrow sect: 65x25 cm.



armatures comprimées: $\sigma_b^1 = \frac{2800}{81} = 34 \text{ kg/cm}^2 < \bar{\sigma}_b^1 \Rightarrow A' = 0$

Les armatures comprimées ne sont pas nécessaires.

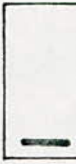
armatures tendues: $A = \frac{M_t}{\bar{\sigma}_a \cdot \varepsilon \cdot h} = \frac{883 \cdot 10^2}{2800 \cdot 0,9094 \cdot 23} = 1,44 \text{ cm}^2$

nous prenons : 2T 10 $\rightarrow A = 1,57 \text{ cm}^2$

aux appuis:

$M_a = 545 \text{ kg.w} \rightarrow N = 0,046 \Rightarrow \left| \begin{array}{l} K = 40,2 \\ \Sigma = 0,9094 \\ \alpha = 0,2717 \end{array} \right|$

armatures comprimées: $\sigma_b^1 = \frac{2800}{40,2} = 69 \text{ kg/cm}^2 < \bar{\sigma}_b^1$



$b = 12 \text{ cm}$
 $h = 23 \text{ cm}$
 $h_f = 25 \text{ cm}$

armatures tendues: $A = \frac{M}{\bar{\sigma}_a \cdot \varepsilon \cdot h} = \frac{545 \cdot 10^2}{2800 \cdot 0,9094 \cdot 23} = 0,93 \text{ cm}^2$

nous prenons: 1T 12 $\rightarrow A = 1,13 \text{ cm}^2$

c. vérifications:

(1) condition de non fragilité: (art 52.CCBA.68).

en travées

$$A \geq 0,69 \cdot 68 \cdot 23 \cdot \frac{5,8}{4200} = 1,42 \text{ cm}^2$$

$1,57 > 1,42$ - vérifiée

aux appuis

$$A \geq 0,69 \cdot 12 \cdot 23 \cdot \frac{5,8}{4200} = 0,26 \text{ cm}^2$$

$1,13 \text{ cm}^2 > 0,26 \text{ cm}^2$
- vérifiée -

(2) condition de non fissuration:

en travées

- $\bar{\omega}_f = \frac{A}{Bf} = \frac{1,57}{4 \times 12} = 0,0327$
- $\phi = 10 \text{ mm}$; $\eta = 1,6$ (H+) ; $\bar{\sigma}_b = 5,8 \text{ b}$
- $K = 1,5 \cdot 10^6$: fissuration peu nuisible

$$\Rightarrow \sigma_1 = 1,5 \cdot 1,6 \cdot 2480 = 5553 \text{ kg/cm}^2$$

$$\sigma_2 = 1,265 \cdot 2237 = 2829 \text{ kg/cm}^2$$

$$\max(\sigma_1, \sigma_2) = 5553 > \bar{\sigma}_a$$

- vérifiée -

aux appuis

- $\bar{\omega}_f = \frac{1,13}{4 \times 12} = 0,0235$
- $\phi = 20 \text{ mm}$; $\eta = 1,6$; $K = 1,5 \cdot 10^6$
- $\bar{\sigma}_b = 5,8 \text{ kg/cm}^2$

$$\sigma_1 = 3871 \text{ kg/cm}^2$$

$$\sigma_2 = 2584 \text{ kg/cm}^2$$

$$\max(\sigma_1, \sigma_2) = 3871 > \bar{\sigma}_a$$

- vérifiée -

(3) vérification des contraintes: (section rectangulaire).

en travées

$$\Delta = 1,57 \text{ cm}^2$$

$$\bar{W} = \frac{100}{b \cdot h} \cdot A = 0,105 \rightarrow \left| \begin{array}{l} K = 77,5 \\ \mu = 0,0148 \\ \Sigma = 0,9460 \end{array} \right|$$

$$\cdot \sigma_a = \frac{883 \cdot 10^2}{1,57 \times 0,9460 \times 23} = 2585 < \bar{\sigma}_a$$

$$\cdot \sigma_b^1 = \frac{2585}{77,5} = 33,35 < \bar{\sigma}_b^1 \text{ - vérifiée -}$$

aux appuis

$$\Delta = 1,13 \text{ cm}^2 \rightarrow K = 36$$

$$\bar{W} = 0,409 \rightarrow \mu = 0,0553$$

$$\Sigma = 0,9020$$

$$\cdot \sigma_a = \frac{545 \cdot 10^2}{1,13 \times 0,9020 \times 23} = 23224 < \bar{\sigma}_a$$

$$\cdot \sigma_b^1 = \frac{2324}{36} = 69,55 < \bar{\sigma}_b^1 \text{ - vérifiée -}$$

④ Condition de flèche: (art 58.4 CCBA 68)

Dans le cas où les conditions suivantes sont vérifiées, la justification de la flèche est alors inutile:

$$a - \frac{h_t}{l} \geq \frac{1}{22,5}$$

$$b - \frac{h_t}{l} \geq \frac{M_t}{15 \cdot M_0}$$

$$c - \frac{A}{b_0 h} \leq \frac{36}{75}$$

avec:

l : portée de la poutrelle ($4^{\text{m}} 25$)

M_t : moment en travée ($883 \text{ kg} \cdot \text{m}$)

M_0 : \rightarrow statique ($1090 \text{ kg} \cdot \text{m}$)

h_t : hauteur totale (25 cm)

h_u : hauteur utile (23 cm)

A : section d'acier ($1,57 \text{ cm}^2$)

σ_{en} : 4200 kg/cm^2

Les 3 conditions sont vérifiées pour le cas de la travée la plus défavorable.

⑤ Condition de non entraînement des barres:

$$\bar{\sigma}_d \leq \bar{\sigma}_d = 2 \psi_d \cdot \bar{\sigma}_b$$

ψ_d : coefficient de scellement = 1,5 (haut adhérence)

$$\bar{\sigma}_b = 5,8 \text{ kg/cm}^2$$

$$\bar{\sigma}_d = \frac{T_{\text{max}}}{n \cdot p \cdot z} = \frac{1180}{2 \times 3,14 \times \frac{7}{8} \times 23} = 9,34 \text{ kg/cm}^2$$

z : périmètre d'une barre.

n : nombre de barres

$$\bar{\sigma}_d < \bar{\sigma}_d - \underline{\text{vérifiée}}$$

⑥ Condition aux arêtes: (art 58.3 et 25. CCBA 68)

Recalcul des armatures transversales, se faisant

$$\Delta \geq \frac{T + M/z}{\bar{\sigma}_a} = \frac{1180 - 545 / 20,12 \cdot 10^{-2}}{2800} < 0$$

vérifiée

2-armatures transversales: (art 58.3 et 25. CCBA 68)

Le calcul des armatures transversales se fera à l'aide de l'effort tranchant maximum. Ces armatures seront adoptées à toutes les poutrelles.

• contrainte de cisaillement maximale:

$$\bar{\sigma}_b = \frac{T_{\text{max}}}{b_0 \cdot z} = \frac{1180}{12 \cdot 20,12} = 4,88 \text{ kg/cm}^2$$

$$\frac{1}{\bar{\sigma}_b} < \frac{1}{\bar{\sigma}_b} = 69,5 \text{ kg/cm}^2 < 2 \frac{1}{\bar{\sigma}_b} \Rightarrow \bar{\sigma}_b = \left(4,5 - \frac{1}{\bar{\sigma}_b} \right) \cdot \bar{\sigma}_b = 20,12 \text{ kg/cm}^2$$

$$\Rightarrow \bar{\sigma}_b < \bar{\sigma}_b$$

• espacement: on adoptera $2 \phi 6 \rightarrow A = 0,56 \text{ cm}^2$ (cas 2)

$$\bar{\sigma}_{\text{tot}} = 3 \cdot \sigma_{\text{en}} \quad \ell = \frac{2}{3} (\text{rapport de détonnage})$$

$$\sigma_{\text{en}} = 2400 \text{ kg/cm}^2 \text{ (acier doux)} \rightarrow \bar{\sigma}_{\text{tot}} = 1600 \text{ kg/cm}^2$$

• écartement admissible: $\bar{\ell} = \max \begin{cases} \ell_1 = 0,2h = 4,0 \text{ cm} \\ \ell_2 = h(1 - 0,3 \cdot \frac{\bar{\sigma}_b}{\bar{\sigma}_{\text{tot}}}) = 17 \text{ cm} \end{cases}$

$$\Rightarrow \bar{\ell} = 17 \text{ cm}$$

Nous allons prendre un espace constant tout le long de la poutrelle, pour éviter les écarts lors de la préfabrication.

Le 1^{er} espace (à l'appui) se calculera avec T_{max} :

$$t = \frac{\text{A}t \cdot 3 \cdot T_{\text{at}}}{T_{\text{max}}} = \frac{0,56 \times 20,12 \times 1600}{1180} = 15 \text{ cm.}$$

L'écartement constant sera: $t = 15 \text{ cm} < \bar{t}$; mais le 1^{er} cours d'armatures transversales sera à $\frac{t}{2}$ de l'appui.
L'article 25.12 du CCBIA 68 recommande: $t < h$ - vérifiez

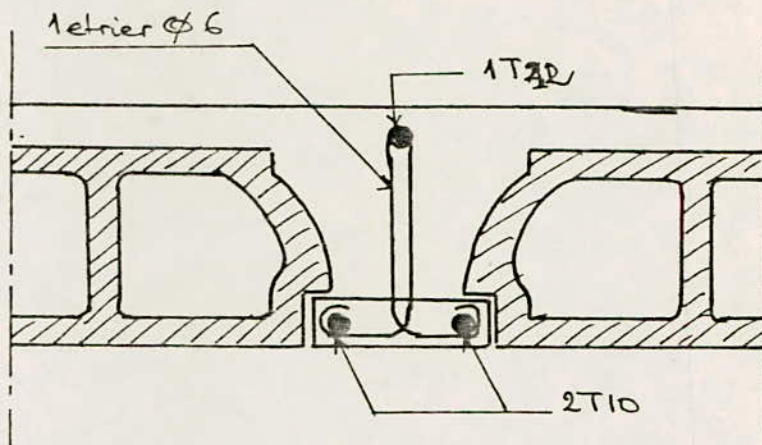


table de compression

Ferrage de la table (art 58.2. CCBIA 68)

Les dimensions des mailles du treillis ne doivent pas dépasser :
20cm: pour les armatures perpendiculaires aux nervures
33cm: " " " " " parallèles aux nervures

Ces armatures sont utiles:

- pour limiter les risques de fissuration par retrait.
- pour résister aux effets des charges appliquées sur des surfaces réduites

a - armatures perpendiculaires aux nervures: (A_{\perp})

$$50 < l_n = 65 \text{ cm} < 80 \text{ cm} \Rightarrow A_{\perp} \geq \frac{43 \cdot l_n}{T_{\text{en}}} = 0,53 \text{ cm}^2/\text{m}$$

l_n = écartement des nervures (entre axes)

$T_{\text{en}} = 5300 \text{ kg/cm}^2$ (treillis soudés $\phi \leq 6 \text{ mm}$)

$$A_{\perp} = 0,53 \text{ cm}^2/\text{m} - \text{écartement limite: } 20 \text{ cm (5 par m)}$$

b - armatures // aux nervures (A_{\parallel})

$$A_{\parallel} \geq \frac{A_{\perp}}{2} = 0,27 \text{ cm}^2/\text{m}.$$

Nous adopterons un treillis soudé: $\phi 5$ maille' 15x30.

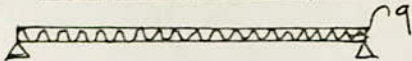
poutrelles - R.D.C

Le plancher de rez de chaussee est à cotes creux (20+6) réalisé comme pour le plancher(plate) terrasse. La présence d'un vide sanitaire nous oblige d'après le règlement à considérer une telle épaisseur (6cm) pour la table de compression.

La Marche de calcul étant la même que précédemment car c'est un plancher à surcharges modérées (art. 55.3. C.C.E.P. 68).

* 1^{ère} étape: (avant coulage de la table de compression)

schéma statique

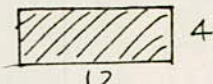


$$q = 161,5 \text{ kg/m}$$

$$M_o = 365 \text{ kg.m}$$

$$T = 343 \text{ kg}$$

section:



12

4

Pour cette 1^{ère} étape, nous raisonnons de la même façon que les poutrelles terrasse. C'est à dire nécessité d'armatures complémentaires mais à cause de la faible hauteur des poutrelles, on ne peut les placer. On trouverait alors un échauffaudage.

* 2^{ème} étape: (calcul en section T sur 7 appuis)

• détermination de b:

$$\left(\frac{b - b_0}{2} \right) \leq \frac{l}{2} \rightarrow b = 65 \text{ cm}$$

$$\left(\frac{b - b_0}{2} \right) < \frac{1}{10} l \rightarrow b = 97 \text{ cm}$$

$$\left(\frac{b - b_0}{2} \right) \leq c_{ho} : g_{hs} \rightarrow b = (36 : 48 \text{ cm})$$

$$\left. \begin{array}{l} b = 65 \text{ cm} \\ b = 97 \text{ cm} \end{array} \right\}$$

a- efforts: (méthode forfaitaire art 55. C.C.E.P. 68)

· poids propre du plancher: $545 + 25 = 570 \text{ kg/m}^2$

· surcharges: $1,2 \times 350 = 420 \text{ kg/m}^2$

$$q' = 990 \text{ kg/m}^2$$

* Moments fléchissants:

$$M_o = \frac{q \cdot l^2}{8} \quad \text{avec } q = q' \times 0,65 \rightarrow N_o = 1454 \text{ kg.m}$$

$$M_{t\max} = 0,81 M_o = 1178 \text{ kg.m}$$

$$M_{a\max} = 0,50 M_o = 727 \text{ kg.m}$$

* Efforts tranchants: Comme précédemment, ou majoré forfaitairement de 15%

$$T = 1,15 \cdot \frac{q \cdot l}{2} \longrightarrow T_{\max} = 1573 \text{ kg.}$$

$$M_{t\max} = 1178 \text{ kg.m}$$

$$M_{a\max} = 727 \text{ kg.m}$$

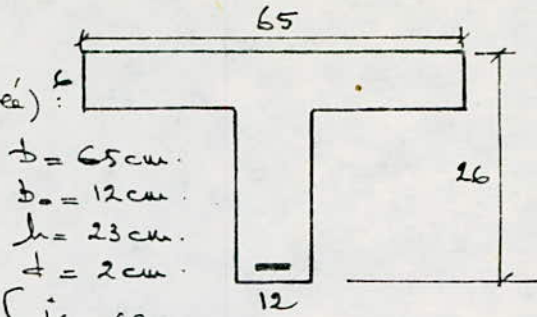
$$T_{\max} = 1573 \text{ kg.m}$$

b - Ferrailage :

1° - Armatures longitudinales (en travée) :

- Position de l'axe neutre

$$y = \alpha h \quad M_z = 1178 \text{ kg.m}$$



$$\mu = \frac{15.M}{\bar{\tau}a.b.h^2} = \frac{15 \times 1178 \cdot 10^2}{2800 \times 65 \times 23^2} = 0,0183 \implies \begin{cases} K = 69,0 \\ \alpha = 0,1786 \\ \Sigma = 0,9405 \end{cases}$$

$$\text{Donc : } y = 0,1786 \times 23 = 4,1 \text{ cm.}$$

$$y < h_o = 6 \text{ cm.}$$

L'axe neutre se trouvera donc, dans la table de compression. Notre étude se fera en section rectangulaire de dimensions : 65 x 26 cm.

- armatures comprimées :

$$\bar{\tau}b = \frac{\bar{\tau}a}{K} = \frac{2800}{69} = 40,6 \text{ Kg/cm}^2 < \bar{\tau}b' = 135 \text{ Kg/cm}^2$$

\implies les armatures comprimées sont inutiles.

- armatures tendues :

$$A = \frac{M_E}{\bar{\tau}a \cdot \Sigma \cdot h} = \frac{1178 \cdot 10^2}{2800 \cdot 0,9405 \cdot 23} = 1,95 \text{ cm}^2$$

nous prenons : 2T12 $\implies A = 2,26 \text{ cm}^2$

2° - Armatures longitudinales (aux appuis)

$$M_{max} = 727 \text{ Kg.m} \quad \text{sect. rectang : } 12 \times 26 \text{ cm.}$$

$$\mu = \frac{15.M}{\bar{\tau}a \cdot b_o \cdot h^2} = \frac{15 \times 727 \cdot 10^2}{2800 \times 12 \times 23^2} = 0,0613 \implies \begin{cases} K = 33,8 \\ \Sigma = 0,8975 \\ \alpha = _ \end{cases}$$

- armatures comprimées

$$\bar{\tau}b = \frac{\bar{\tau}a}{K} = \frac{2800}{33,8} = 82,84 \text{ Kg/cm}^2 < \bar{\tau}b'$$

\implies Pas d'armatures comprimées ($A' = 0$)

- armatures tendues :

$$A = \frac{M}{\bar{\tau}a \cdot \Sigma \cdot h} = \frac{727 \cdot 10^2}{2800 \cdot 0,8975 \cdot 23} = 1,25 \text{ cm}^2$$

nous prenons : 1T14 $\implies A = 1,54 \text{ cm}^2$

3° - Vérification.

- a) Vérification des contraintes : (sect. rectangulaire)

- en travée

$$\left\{ \begin{array}{l} A = 2,26 \text{ cm}^2 \\ \tilde{w} = \frac{100 \cdot A}{b \cdot h} = 0,151 \end{array} \right. \xrightarrow{\text{tableaux}} \left\{ \begin{array}{l} K = 63,5 \\ n = 0,0211 \\ \Sigma = 0,9363 \end{array} \right.$$

$$\sigma_a = \frac{M}{A \cdot \Sigma \cdot h} = \frac{1178 \cdot 10^2}{2,26 \times 0,9363 \times 23} = 2420 < 2800 \text{ Kg/cm}^2$$

$$\sigma_b = \frac{\sigma_a}{K} = \frac{2420}{63,5} = 38 \text{ Kg/cm}^2 < 135 \text{ Kg/cm}^2$$

Vérifiés.

Aux appuis :

$$\left\{ \begin{array}{l} A = 1,54 \text{ cm}^2 \\ \tilde{w} = \frac{100}{b_0 \cdot h} \cdot A = 0,558 \end{array} \right. \xrightarrow{\text{tableaux}} \left\{ \begin{array}{l} K = 29,9 \\ \Sigma = 0,8886 \end{array} \right.$$

$$\sigma_a = \frac{727 \cdot 10^2}{1,54 \cdot 0,8886 \times 23} = 2309 \text{ Kg/cm}^2 < 2800 \text{ Kg/cm}^2$$

$$\sigma_b = \frac{\sigma_a}{K} = \frac{2309}{29,9} = 77 \text{ Kg/cm}^2 < 135 \text{ Kg/cm}^2$$

Vérification satisfaisante.

b) Condition de non fragilité : (art. 52, CCBA 68)

$$A \geqslant 0,69 \cdot b \cdot h \cdot \frac{\sigma_b}{\sigma_{\text{en}}} \quad \boxed{A \geqslant 0,69 \cdot b \cdot h \cdot \frac{\sigma_b}{\sigma_{\text{en}}}}$$

* en travée : $A \geqslant 0,69 \cdot 65 \cdot 23 \cdot \frac{5,8}{4200} = 1,42 \text{ cm}^2$ - Vérifié.

* sur appui : $A \geqslant 0,69 \cdot 12 \cdot 23 \cdot \frac{5,8}{4200} = 0,26 \text{ cm}^2$ - Vérifié.

c) Vérification de flèche : (art. 58,4. CCBA 68)

la justification de flèche est inutile, si les conditions suivantes sont vérifiées :

$$1 - h \cdot t \geqslant \frac{l}{22,5} \Rightarrow 26 \stackrel{?}{\geqslant} \frac{425}{22,5} = 18,8 - \text{Vérifié}$$

$$2. h \cdot t \geqslant \frac{M_t}{M_0} \cdot \frac{l}{15} \Rightarrow 26 \stackrel{?}{\geqslant} 0,81 \cdot \frac{4,25}{15} = 23 - \text{Vérifié}$$

$$3. \frac{A}{b_0 \cdot h} < \frac{36}{4200} \Rightarrow 2,26 \stackrel{?}{<} \frac{36 \times 12 \times 23}{4200} = 2,36 - \text{Vérifié}$$

d) Vérification de la fissuration :

$\bar{\sigma}_a \leq \max(\sigma_1, \sigma_2)$. d'après les tableaux de CHARON.

* en travée :

- $\bar{w}_f = \frac{A}{B_f} = \frac{2,2C}{4,12} = 0,047$
- $\phi = 12 \text{ mn}$
- $n = 1,6 \text{ (aciens H.A)} \quad \bar{T_b} = 5,8 \text{ Kg/cm}^2$
- $K = 1,5 \cdot 10^6 \text{ (peu nuisible)}$
- $\Rightarrow \begin{aligned} T_1 &= 1,5 \cdot 1,6 \cdot 2625 &= 6300 \text{ Kg/cm}^2 \\ T_2 &= 1,265 \cdot 2043 &= 2584 \text{ Kg/cm}^2 \end{aligned}$
- Donc $T_{af} = 6300 > \bar{T_a} \Rightarrow \text{vérifiée.}$

* sur appui

- $\bar{w}_f = \frac{A}{B_f} = \frac{1,54}{4,12} = 0,032$
- $\phi = 14 \text{ mn}, \quad n = 1,6 \text{ (H.A)} ; \bar{T_b} = 5,8$
- $K = 1,5 \cdot 10^6 \text{ (peu nuisible)}$
- $\Rightarrow \begin{aligned} T_1 &= 1,5 \cdot 1,6 \cdot 1732 &= 4157 \text{ Kg/cm}^2 \\ T_2 &= 1,265 \cdot 1894 &= 2396 \text{ Kg/cm}^2 \end{aligned}$
- $\Rightarrow T_{af} = 4157 > \bar{T_a} \quad \text{Donc } \bar{T_a} \text{ est admissible.}$

e) Condition de non entraînement des barres

$$\gamma \leq \bar{\gamma}_d = 2 \psi_d \bar{T_b} \quad \bar{\gamma}_d = 17,4 \text{ Kg/cm}^2$$

avec $\bar{T_b} = 5,8 \text{ Kg/cm}^2$

$\bar{\gamma}_d$ calculé avec T_{max} : ($T_{max} = 1573 \text{ Kg}$) .

$$\bar{\gamma}_d = \frac{T_{max}}{n.P.3} = \frac{1573}{7,54 \cdot \frac{7}{8} \cdot 23} \Rightarrow \underline{\bar{\gamma}_d < \bar{\gamma}_d} \quad \text{Vérifiée}$$

f) condition aux appuis

$$A \geq \frac{T + M/3}{\bar{T_a}} = \frac{1573 - 727/20,12 \cdot 10^{-2}}{2800} < 0$$

3° Armatures transversales (art. 583 et 25 CCBA 68)

Calculées à l'aide de l'effort branchant maximum

- contrainte de cisaillement max :

$$\gamma_b = T_{max} = \frac{1573}{b_0 \cdot z} = 6,51 \text{ Kg/cm}^2$$

$$\sigma_b' = 77 \text{ Kg/cm}^2 \rightarrow \bar{\sigma}_{b_0}' < \sigma_b' < 2\bar{\sigma}_{b_0}'$$

$$\Rightarrow \bar{\sigma}_b = \left(4,5 - \frac{\sigma_{b_0}'}{\bar{\sigma}_{b_0}'}\right) \cdot \bar{\sigma}_b = \left(4,5 - \frac{77}{67,5}\right) \cdot 5,8 = 19,5 \text{ Kg/cm}^2$$

$$\Rightarrow \sigma_b < \bar{\sigma}_b - \text{Vérifié}$$

on adoptera des cadres $\phi 6$, avec une section $A = 0,56 \text{ cm}^2$ ($2\phi 6$)

- Contrainte admissible des armatures transversales

$\bar{\sigma}_{at} = f \cdot \bar{\sigma}_{en}$	$\rho = \frac{2}{3}$ (reprise de bétonnage)
---	---

$$ADX = 8 \cdot \bar{\sigma}_{en} = A200 \rightarrow \bar{\sigma}_{tu} = 1600 \text{ Kg/cm}^2$$

- écartement admissible: $\bar{E} = \max \begin{cases} t_1 = 0,2 h = 4,6 \text{ cm} \\ t_2 = h(1 - 0,3 \cdot \frac{\sigma_b}{\bar{\sigma}_b}) = 15,25 \text{ cm} \end{cases}$

$$\Rightarrow \bar{E} = 15 \text{ cm}$$

- espacement des armatures transversales:

Comme pour le plancher-terrasse, nous considérons un espacement constant, ceci dans le souci d'éviter les coûts de préfabrication.
Le 1^{er} espacement (à l'appui) se calculera avec $T_{u\max}$

$$t = At \cdot 3 \cdot \bar{\sigma}_{at} = \frac{0,56 \cdot 20 \cdot 12 \cdot 1600}{1573} = 11,5 \text{ cm}$$

Nous prendrons un écartement de $10 \text{ cm} < \bar{E}$, constant mais le 1^{er} couloir d'armatures sera à $5 \text{ cm} (\frac{t}{2})$ de l'appui
L'article 25.12 CCBA 68 est vérifié ($t < h = 23 \text{ cm}$)

4° Ferraillage de la table de compression (Art 58.2 CCBA 68)

Nous adopterons un treillis soudé $\phi 5$ de maille 15×30 , comme précédemment.
Ceci est conforme à l'article 58.2 du CCBA 68

PLANCHERS 1^{er}, 2^{ème}, 3^{ème} ETAGE

Nous adopterons pour ces planchers des corps creux de mêmes dimensions que le plancher R.D.C. ($20 + 6$)

Donc l'étude n'est pas nécessaire, puisqu'elle a été faite précédemment pour le plancher R.D.C

ESCAIERS

- Les escaliers sont à paillasse adiacentes, qui seront calculés comme des poutres isostatiques reposant sur :
 - la poutre palier, reposant sur les P. principales
 - une autre (secondaire) palier autre que la 1^{re}, reposant elle aussi sur des trotteaux.

schéma statique:

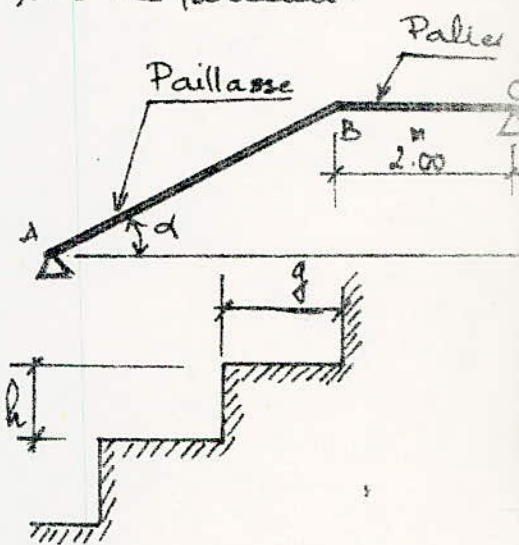
- Hauteur de l'étage : 3,52^m
d'après le plan architectural,
il y a 22 marches d'escalier

$$\Rightarrow h = \frac{3,52}{22} = 16 \text{ cm}$$

- on prend : $g = 30 \text{ cm}$.

Donc l'équation empirique de RONDELET est vérifiée - car

$$2h + g = 2 \times 16 + 30 = 60 \div 66 \text{ cm}$$



- calcul de l'angle α : $\tan \alpha = \frac{1,60}{3,00} = 0,53 \Rightarrow \alpha \approx 28^\circ$

ceci rentre dans le cas d'escaliers intérieurs dont l'angle d'inclinaison est compris entre 25° et 40° .

- épaisseur de la paillasse: on utilise la relation :

$$\frac{l_0}{30} \leq e_p \leq \frac{l_0}{20} \quad \text{avec } l_0 = AB = 3,40 \text{ m}$$

$$0,11 \leq e_p \leq 0,17 \Rightarrow \text{on prendra } e_p = 15 \text{ cm}$$

- épaisseur du palier:

$$\frac{h}{30} \leq e_p \leq \frac{h}{20} \quad \text{avec } h = 1,60 \text{ m}$$

on prendra l'épaisseur du palier $e = 15 \text{ cm}$

Ⓐ CALCUL de l'escalier.

Le calcul se fera par 1m d'emmarchement et par unité de projection horizontale.

Ⓐ charges et surcharges:

* Paillasses

$$\text{Poids propre: } \frac{0,15 \cdot 2500 \cdot 1,1}{\cos 28} = 425 \text{ kg/m}$$

$$\text{Poids des marches: } \frac{1}{2} \cdot \frac{2200 \cdot 0,16 \cdot 1 \cos 28}{0,30} = 176 \text{ kg/m}$$

$$\begin{aligned} \text{revêtement:} & \quad \begin{aligned} \text{mortier: (2cm)} &= 44 \text{ kg/m} \\ \text{carrelage (2cm)} &= 44 \text{ kg/m} \end{aligned} \\ \hline G &= 689 \text{ kg/m} \end{aligned}$$

$$\text{surcharges: } P = 400 \text{ kg/m}^2$$

$$\text{Le calcul: 1^{er} genre} \Rightarrow q_1 = G + 1,2P \longrightarrow \underline{\underline{q_1 = 1169 \text{ kg/m}}}$$

* Palier.

$$\text{Poids propre: } 0,15 \times 2500 \cdot 1 = 375 \text{ kg/m}$$

$$\begin{aligned} \text{revêtement:} & \quad \begin{aligned} \text{mortier (2cm)} &= 44 \text{ /} \\ \text{carrelage (2cm)} &= 44 \text{ /} \end{aligned} \\ \hline G &= 463 \text{ kg/m} \end{aligned}$$

$$\text{surcharges: } P = 400 \text{ kg/m}^2$$

$$\text{Le calcul se fera du 1^{er} genre: } q_2 = G + 1,2P \Rightarrow \underline{\underline{q_2 = 94}}$$

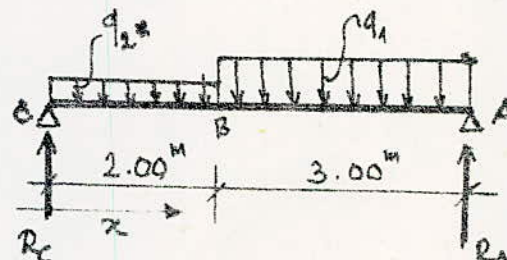
Ⓑ calcul des efforts:

$$\sum M_C = 0$$

$$R_A \cdot 5 - q_1 \cdot 3 \cdot 3,5 - q_2 \cdot 2 \cdot 1 = 0$$

$$\Rightarrow \underline{\underline{R_A = 2832 \text{ KG}}}$$

$$R_C = q_1 \cdot 3 + q_2 \cdot 2 - R_A \longrightarrow \underline{\underline{R_C = 2561 \text{ KG}}}$$



• moments fléchissants:

$$0 \leq x \leq 2^m : M(x) = R_c(x) - q_2 \cdot \frac{x^2}{2}$$

$$2 \leq x \leq 5^m : M(x) = R_c(x) - q_2(x-1) \cdot 2 - q_1 \frac{(x-2)^2}{2}$$

$$\underline{0 \leq x \leq 2^m} :$$

$$x = 0 \longrightarrow M = 0$$

$$x = 2^m \longrightarrow M = 3236 \text{ kg.m}$$

$$\underline{2 \leq x \leq 5^m}$$

$$x = 2 \longrightarrow M = 3236 \text{ kg.m}$$

$$x = 5^m \longrightarrow M = 0 \text{ kg.m}$$

• $x = 2,5^m \longrightarrow M_{\max} = 3430 \text{ kg.m}$

• efforts tranchants.

$$0 \leq x \leq 2^m : T = R_c - q_2 \cdot x$$

$$2^m \leq x \leq 5^m : T = R_c - 2q_2 - q_1(x-2)$$

$$\underline{0 \leq x \leq 2^m}$$

$$x = 0 \longrightarrow T = R_c = 2561 \text{ kg.}$$

$$x = 2 \longrightarrow T = 675 \text{ kg.}$$

$$\underline{2 \leq x \leq 5^m}$$

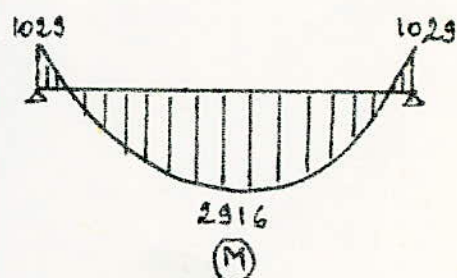
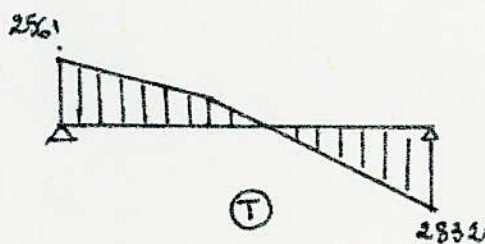
$$x = 2 \longrightarrow T = 675 \text{ kg.}$$

$$x = 5 \longrightarrow T = -2832 \text{ kg.}$$

Avec appuis, nous prendrons un moment parfaitaire de 0,3.M_{max} et un moment en travée : M_t = 0,85.M_{max}.

$$M_a = 0,3 \times 3430 = 1029 \text{ kg.m}$$

$$M_t = 0,85 \times 3430 = 2916 \text{ kg.m.}$$



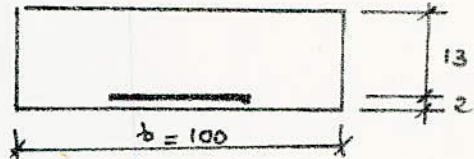
I.20

③ Ferraillage des escaliers: (pallasse)

Le calcul des armatures se fera par la méthode de CHARON.

+ Armatures longitudinales:

- en travée: $\mu = \frac{15 \cdot 2916 \cdot 10^2}{2800 \cdot 100 \cdot 13^2} = 0,092$



$$\rightarrow \begin{cases} K = 26,1 \\ \Sigma = 0,8783 \end{cases}$$

- armatures comprimées: $\sigma_b = \frac{2800}{26,1} = 107,3 < 135 \text{ kg/cm}^2$

\Rightarrow les armatures comprimées sont inutiles.

- armatures tendues:

$$A = \frac{M}{F_a \cdot \Sigma \cdot h} = \frac{2916 \cdot 10^2}{2800 \cdot 0,8783 \cdot 13} = 9,12 \text{ cm}^2$$

on prendra 10T12 $\rightarrow A = 11,31 \text{ cm}^2$

- sur appui: $\mu = \frac{15 \cdot 1029 \cdot 10^2}{2800 \cdot 100 \cdot 13^2} = 0,032 \rightarrow \begin{cases} K = 49,4 \\ \Sigma = 0,9224 \end{cases}$

- armatures comprimées: $\sigma_b = \frac{2800}{49,4} = 57 < 135 \text{ kg/cm}^2$

\Rightarrow Pas d'armatures comprimées

- armatures tendues:

$$A = \frac{M}{F_a \cdot \Sigma \cdot h} = \frac{1029 \cdot 10^2}{2800 \cdot 0,9224 \cdot 13} = 3,06 \text{ cm}^2$$

on prendra 5T10 $\rightarrow A = 3,92 \text{ cm}^2$

* Vérifications

) Vérification des contraintes:

- en travée: $\begin{cases} A = 11,31 \text{ cm}^2 \\ \tilde{w} = \frac{100}{b \cdot h} \cdot A = 0,87 \end{cases}$ tableaux $\begin{cases} K = 22,8 \\ \Sigma = 0,8677 \end{cases}$

$$F_a = \frac{M}{A \cdot \Sigma \cdot h} = \frac{2916 \cdot 10^2}{11,31 \cdot 0,8677 \cdot 13} = 2285 < 2800 \text{ kg/cm}^2$$

Vérifié

I.21

$$\sigma_b' = \frac{\sigma_a}{K} = \frac{2285}{228} \approx 100 \text{ kg/cm}^2 < \bar{\sigma}_b' \quad \text{Vérifie}$$

• sur appuis: $\sigma_a = \frac{1029 \cdot 10^2}{3,92 \cdot 0,9138 \cdot 13} = 2209 < \bar{\sigma}_a$ Vérifie

$$\left\{ \begin{array}{l} A = 3,92 \text{ cm}^2 \\ \tilde{w} = \frac{100 \cdot A}{b_0 \cdot h} = 0,3 \end{array} \right. \longrightarrow \left\{ \begin{array}{l} K = 43 \\ \Sigma = 0,9138 \end{array} \right.$$

$$\sigma_b' = \frac{\sigma_a}{K} = \frac{2209}{43} = 51,37 \text{ kg/cm}^2 < 135 \text{ kg/cm}^2 \quad \text{Vérifie}$$

* Armatures de répartition :

• on prendra $\frac{1}{4}$ de la section des armatures principales

$$\rightarrow A_r = 3,01 \text{ cm}^2 \cdot 6 \text{ T8/ml}$$

* 2) Vérification à la fissuration:

$$\bar{\sigma}_a \leq \max(\sigma_1, \sigma_2) \quad \text{d'après les tableaux de CHAR}$$

• en travée: • $\bar{w}_f = \frac{A}{B_f} = \frac{11,31}{4 \cdot 100} = 0,028$

• $\phi = 12 \text{ mm}$ • $\eta = 1,6 \text{ (H.A)}$ • $K = 1,5 \cdot 10^6 \text{ (peu)} \rightarrow$

$$\Rightarrow \sigma_1 = 1,5 \cdot 1,6 \cdot 1823 = 4387 \text{ kg/cm}^2$$

$$\sigma_2 = 1,265 \cdot 2043 = 2584 \text{ kg/cm}^2$$

$$\rightarrow \sigma_{af} = 4387 \text{ kg/cm}^2 > \bar{\sigma}_a \Rightarrow \text{Vérifie}$$

• sur appui: • $\bar{w}_f = \frac{3,92}{4 \cdot 100} = 0,0098 \approx 0,01$

• $\phi = 10 \text{ mm}$ • $\eta = 1,6 \text{ (H.A)}$ • $K = 1,5 \cdot 10^6 \text{ (peu nuancé)}$

$$\Rightarrow \sigma_1 = 1,5 \cdot 1,6 \cdot 909 = 2181 \text{ kg/cm}^2$$

$$\sigma_2 = 1,265 \cdot 2237 = 2830 \text{ kg/cm}^2$$

$$\rightarrow \sigma_{af} = 2830 \text{ kg/cm}^2 > \bar{\sigma}_a \rightarrow \text{vérifie}$$

3) condition de non fragilité: (art 52. CCBA.68)

$$A \geq 0,65 \cdot b \cdot h \frac{\sigma_b'}{\sigma_{eu}}$$

• en traveé: $A \geq 0,68 \cdot 100 \cdot 13 \cdot \frac{5,8}{4200} = 1,23 \text{ cm}^2$ vérifié

• sur appui: vérifié

4) Vérification de la flèche: (art 61.21 CEB 68)

$$A \leq 43 \cdot \frac{b \cdot h}{f_{\text{en}}}$$

La justification de la flèche est inutile, si la condition suivante est vérifiée:

$$A \leq 43 \cdot \frac{100 \cdot 13}{4200} = 13,31 \text{ cm}^2 \quad (A = 11,31 \text{ cm}^2)$$

vérifié.

5) Condition aux appuis: $A \geq \frac{T + M/3}{\bar{f}_a} = \frac{2832 + \frac{1029 \cdot 10^2}{4 \cdot 13}}{2800}$

vérifié

* Armatures transversales.

$$\bar{\tau}_{tb} = \frac{T_{\text{max}}}{b \cdot z} = \frac{2832 \cdot 10^3}{100 \cdot 11,37} = 2,49 \text{ kg/cm}^2$$

calcul de $\bar{\tau}_b$: $\bar{\tau}_b = 1,15 \cdot \bar{f}_b = 1,15 \cdot 5,8 = 6,68 \text{ kg/cm}^2$

$\bar{\tau}_{tb} < \bar{\tau}_b$ - vérifié.

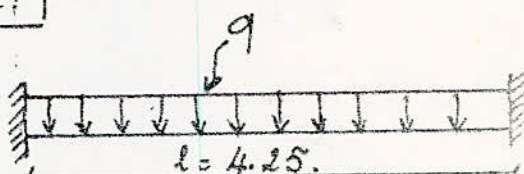
Les armatures transversales ne sont pas nécessaires

Ferraillage de la poutre Paliere:

on prendra une poutre de section: $25 \times 40. (\text{cm}^2)$

la poutre est considérée comme étant semi encastrée sur les poutres principales.

sa portée est de 4.25 m, elle sera sollicitée par:



$$\begin{aligned}
 & - \text{son poids propre: } 0,25 \times 0,4 \times 2500 = 250 \text{ kg/m.} \\
 & - \text{effort tranchant de la poutre} = 2832 \text{ kg/m.} \\
 & - revêtement : 88 \times 0,65 = 57,2 \text{ kg/m.}
 \end{aligned}$$

$$G = 3139 \text{ kg/m.}$$

$$q = G + 1,2 \cdot P = 3139 + 1,2 \cdot (350 \times 0,65).$$

$$q = 3412 \text{ kg/m.}$$

* Moments flexionnant.

$$M_{ap} = 0,3 M_0 = 0,3 \cdot q \frac{l^2}{8} = 2311 \text{ kgm.}$$

$$M_E = 0,85 M_0 = 6548 \text{ kgm.}$$

$$T = q \frac{P}{2} = 7250 \text{ kg.}$$

calcul des Armatures longitudinales

en travée: $M_E = 6548 \text{ kgm.}$ (Méthode de P. CHARON).

$$b = 25 \text{ cm}, \quad h_t = 40 \text{ cm}, \quad h = 38 \text{ cm.}$$

$$\mu = \frac{15 \cdot M}{6a \cdot b \cdot h^2} = \frac{15 \cdot 6548 \cdot 10^2}{2800 \cdot 25 \cdot 38^2} = 0,097 \Rightarrow \begin{cases} K = 25,2 \\ E = 0,875 \end{cases}$$

$$6'b = \frac{\overline{6a}}{K} = \frac{2800}{25,2} = 111 \text{ kg/cm}^2 < \overline{6'b} \text{ (pas d'armatures comprises)}$$

$$A = \frac{M}{6a E \cdot h} = \frac{6548 \cdot 10^2}{2800 \cdot 0,875 \cdot 38} = 7,03 \text{ cm}^2.$$

$$\text{soit } A = 4T14 + 2T8 = 7,16 \text{ cm}^2.$$

$$\text{Aux Appuis: } M_{ap} = 2311 \text{ kgm.} \rightarrow \mu = \frac{15 \cdot 2311 \cdot 10^2}{2800 \cdot 25 \cdot 38^2} = 0,0$$

$$K = 48,2.$$

$$E = 0,9209$$

$$6'b = \frac{\overline{6a}}{K} = \frac{2800}{48,2} = 58,09 \text{ kg/cm}^2 < \overline{6'b}$$

$$A = \frac{M}{6a E \cdot h} = \frac{2311 \cdot 10^2}{2800 \cdot 0,9209 \cdot 38} = 2,36 \text{ cm}^2: \text{ pat 4T10: } 3,14 \text{ cm}$$

verifications.

1. contraintes :

- entrée : $M = 6548 \text{ Rgm.}$ $A = 7,16 \text{ cm}^2$.

$$\bar{\omega} = \frac{100 A}{b \cdot h} = \frac{100 \cdot 7,16}{25 \cdot 38} = 0,75 \rightarrow \begin{cases} K = 2 \\ E = 0,8 \end{cases}$$

$$6a = \frac{M}{A \cdot E \cdot h} = \frac{6548 \cdot 10^2}{7,16 \cdot 0,875 \cdot 38} = 2750 \text{ kg/cm}^2 < \bar{6a}$$

$$6'b = \frac{6a}{K} = \frac{2750}{25} = 110 \text{ kg/cm}^2 < \bar{6'b} = 135 \text{ kg/cm}^2$$

- Appuis : $\bar{\omega} = \frac{314}{25 \cdot 38} = 0,33 \rightarrow K = 40,8$
 $E = 0,9104.$

$$6a = \frac{M}{A \cdot E \cdot h} = \frac{2311 \cdot 10^2}{3,14 \cdot 0,9104 \cdot 38} = 2127 \text{ kg/cm}^2 < \bar{6a}$$

$$6'b = \frac{6a}{K} = \frac{2127}{40,8} = 52 \text{ kg/cm}^2 < \bar{6'b}$$

2 - fissuration :

Entrée : $\bar{\omega}_f = \frac{A}{B_f} := \frac{7,16}{5 \times 25} = 0,057. \quad (K = 1,5 \cdot 1)$

$$6_1 = 1,5 \cdot 1,6 \cdot 2622 = 6290 \text{ kg/cm}^2$$

$$6_2 = 1,265 \cdot 1894 = 2395. \text{ kg/cm}^2$$

$$\bar{6}_f = \max(6_1, 6_2) = 6290 > \bar{6a} = 2800. \text{ kg/cm}^2$$

vérifie..

Appuis : $\bar{\omega}_f = \frac{3,14}{4 \times 25} = 0,0314 \Rightarrow$

$$6_1 = 1,5 \cdot 1,6 \cdot 2424 = 5812. \text{ kg/cm}^2$$

$$6_2 = 1,265 \cdot 2237 = 2829. \text{ kg/cm}^2$$

donc : $\bar{6}_f = \max(6_1, 6_2) > \bar{6a}$: c'est vérifié

3 - flèche.

$$A \leq 43 \cdot \frac{bh}{6en} = \frac{43 \cdot 25 \cdot 38}{4200} = 9,72 \text{ cm}^2.$$

$A = 7,16 < 9,72 \text{ cm}^2$. Il est donc inutile de donner une justification de flèche.

Armatures transversales.

la contrainte de cisaillement max est :

$$\overline{\tau}_b = \frac{T_{\max}}{b \cdot z} = \frac{7250 \text{ Kg}}{25 \cdot \frac{7}{8} \cdot 38} \Rightarrow \overline{\tau}_b = 8,72 \text{ Kg/cm}^2.$$

$$\widetilde{\tau}_b = 3,5 \cdot \overline{\tau}_b = 3,5 \cdot 8,72 = 30,5 \text{ Kg/cm}^2 < 67,5 \text{ Kg/cm}^2$$

$$\widetilde{\tau}_b = 3,5 \cdot 5,8 = 20,3 \text{ Kg/cm}^2. \text{ donc: } \overline{\tau}_b < \widetilde{\tau}_b.$$

on prendra pour cadres des $\phi 6$: (acier doux).

$$\overline{6at} = \frac{2}{3} \cdot 6en = \frac{2}{3} \cdot 2400 = 1600 \text{ Kg/cm}^2.$$

car il y'a reprise de bettonage.

on prend $A_t = 2 \text{ cadres } \phi 6 = 1,12 \text{ cm}^2$.

* espacement admissible:

$$t \leq \overline{t}_{\max} : \begin{cases} 0,2 \cdot h = 7,6 \text{ cm}. \\ h \cdot (1 - 0,3 \cdot \frac{\overline{\tau}_b}{\widetilde{\tau}_b}) = 20 \text{ cm}. \end{cases}$$

donc $\overline{t} = 20 \text{ cm}$.

* calcul de t.

$$t = \frac{z \cdot \overline{6at}}{T} \cdot A_t = \frac{33,25 \times 1600}{7250} \times 1,12 = 8,21 \text{ cm}$$

on prendra $t = 8 \text{ cm}$. (espacement constant).

le 1^e cours d'armatures transversales sera à $\frac{t}{2} = 4 \text{ cm}$ des appuis.

PREDIMENTIONNEMENT

predimensionnement

Le contreventement est assuré dans le sens longitudinal par les poteaux principaux. Dans le sens transversal, il le sera par les poteaux secondaires.

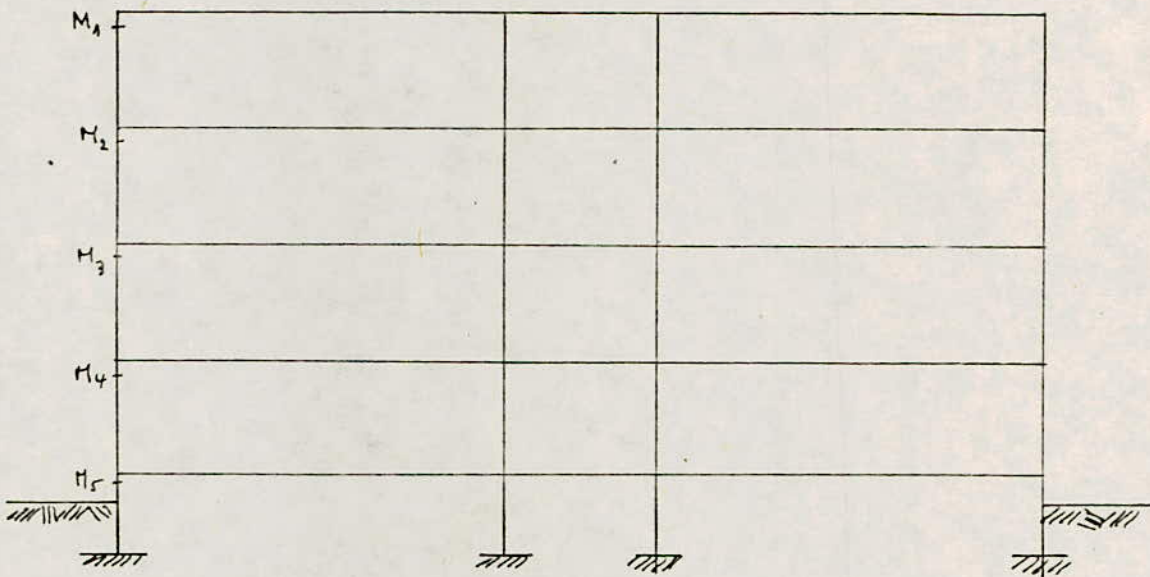
- POUTRES : Poutres longitudinales (secondaires)

- On vérifiera $\frac{l}{16} < h_t < \frac{l}{10}$ avec $l = 4,25\text{m}$
 $\Rightarrow 26\text{cm} < h_t < 42,5\text{cm} \rightarrow h_t = 40\text{cm}$

. Poutres transversales (principales)

$$0,43\text{m} < h_t < 0,69\text{m} \longrightarrow h_t = 65\text{cm}$$

POTEAUX (Descente de charge)



* Charges permanentes

. Poutres principales : 30×65

. Poutres secondaires : 30×40

- . Plancher terrasse 622 Kg/m^2

. Plancher courant 570 Kg/m^2

. Acrotère ($e = 10\text{ cm}$; $h = 55\text{ cm}$) : 163 Kg/m

* Surcharges :

- Plancher terrasse : 100 Kg/m^2

Plancher courant : 350 Kg/m^2

- On fera une descente de charges uniquement pour le poteau intérieur car dans notre cas la surface revenant au poteau intérieur est proche de celle revenant au poteau de rive

— Les sections des poteaux seront les mêmes et chaque section sera constante

sur toute sa hauteur ; ceci est dû à des conditions architecturales et aussi pour faciliter les éffrages

Surface maximale revenant au poteau le plus chargé

$$H,50 \times H,81 = 21,65 \text{ m}^2$$

* La section des poteaux à considérer pour le prédimensionnement est de 30 x 60 (toujours suivant les conditions architecturales)

• niveau n_1

$M = \{$	Poutres principales : $0,30 \times 0,65 \times 4,81 \times 2500$	-----	2345 kg
	Poutres secondaires : $0,30 \times 0,40 \times 4,50 \times 2500$	-----	1350 kg
	terrasse	$21,65 \times 622$	13166 kg
	Poids du poteau $0,30 \times 0,60 \times 2,90 \times 2500$	-----	1300 kg
	* Poids Permanent G_1	-----	18460 kg
	Surcharges : $P_1 = 21,65 \times 100$	-----	2165 kg

• niveau n_2

$M' = \{$	Venant de R_1	-----	18460 kg
	charge M	-----	5000 /
	Plancher formant $21,65 \times 5,70$	-----	12340
	* Poids permanent : G_2	-----	35800 kg
	Surcharges : $21,65 \cdot 350 + P_1$	-----	9742 /

• niveau n_3

$M' = \{$	Venant de n_2	-----	3580,0 kg
	charge M'	-----	17340 /
	* Poids Permanent : G_3	-----	53140 kg
	Surcharges : $P_3 = P_2 + 0,9 \cdot 21,65 \cdot 350$	-----	16562 kg

• niveau n_4

$M' = \{$	Venant de n_3	-----	53140 kg
	charge M'	-----	17340 /
	* Poids permanent : G_4	-----	70480 kg
	Surcharges : $P_4 = P_3 + 0,8 \cdot 21,65 \cdot 350$	-----	22624 /

• niveau n₅

. venant de n₄

charge M'

|| Poids permanent G_5

|| Surcharges $P_5 = P_u + 0,7 \cdot 21,65 \cdot 250$

70480 K_N

17340 -

$$G_5 = \underline{\underline{87800 \text{ K}_N}}$$

$$P_5 = \underline{\underline{27928 \text{ K}_N}}$$

Poids total pondéré :

$$G_5 + 1,2 \cdot P_5 = 87,80 + 1,2 \cdot 27,93 = G$$

$$\underline{\underline{G = 120 \text{ tonnes}}}$$

Si on considère que le béton reprend à lui seul, les efforts de compression \Rightarrow la section de béton sera :

$$B \geq \frac{1,1 \cdot G}{Z' b_0} = \frac{1,1 \cdot 120 \cdot 10^3}{68,8} = 1920 \text{ cm}^2$$

$$\rightarrow \underline{\underline{B = 30 \times 60 \text{ cm}}}$$

ETUDE

au

SEISME

Etude du séisme

A. EFFETS CAUSES PAR LE SEISME :

Le séisme provoque dans les constructions des accélérations pouvant parfois atteindre l'ordre de grandeur de la gravité.

Il en résulte des efforts pouvant s'exercer suivant les directions quelconques. Ainsi donc, on peut concevoir deux composantes : verticale et horizontale.

On admet que l'accélération horizontale du mouvement sismique s'adresse à la masse même des constructions.

On suppose de plus que les forces horizontales s'appliquent au niveau de chaque plancher.

Le classement peut se faire en 5 groupes :

Groupe I : secousses modérées - accélération : 25 mm/s^2

Groupe II : + fortes - " : $25 \div 100 \text{ mm/s}^2$

Groupe III : // violentes - " : $100 \div 500 \text{ mm/s}^2$

Groupe IV : // destructives - " : $500 \div 2500 \text{ mm/s}^2$

Groupe V : // catastrophiques - " : 10 m/s^2

Dans les ossatures d'immeubles, on essaiera de tenir compte de certaines recommandations de conception générale des bâtiments :

- réduire autant que possible la hauteur des bâtiments, ainsi que le rapport de cette hauteur avec la largeur.
- éviter les ensembles mal équilibrés en hauteur et en inertie.
- Prevoir si possible un sous-sol ou des fondations profondes qui ancrent la construction dans le sol.
- Eviter les éléments de constructions mal liés à l'ossature.
- Prevoir des fondations soigneusement chaînées et engagées dans le sol afin de s'opposer aux efforts de soulèvement dus au séisme.
- Eviter les grandes ouvertures.
- Abaisser le plus possible le centre de gravité de la construction.
- Dans les poteaux, le recouvrement des barres en attente devra être au moins égal à 50 fois le diamètre de ces barres réalisées sans crochets.

B. CALCUL SISMIQUE : La vérification de la stabilité d'un bâtiment vis à vis de l'action sismique se fait en substituant aux effets dynamiques réels des sollicitations statiques et en considérant ainsi des systèmes de forces fictifs dont les effets sont sensés équivaloir à ceux de l'action sismique. Les effets équivalents résultent de la combinaison :

- d'un système équivalent de forces élémentaires horizontales (SI_H)

- " " " " verticales ↑ (SI_V)

de couples de torsion d'ensemble d'axes

verticaux (S_T)

Pour les sollicitations sismiques horizontales, les règles permettent la vérification dans deux (2) directions perpendiculaires considérées successivement.

* Coefficients sismiques dans les directions horizontales :

L'intensité de la force horizontale agissant sur un élément de construction donné dans la direction O_x est : $F_x \cdot W$.

avec W : poids des charges et surcharges de l'élément soumis à l'action sismique.

$$\tau_x = \text{coefficient} = d \cdot p \cdot \gamma \cdot s$$

- d : coefficient d'intensité: dépend de I_N (intensité nominale)
Le bâtiment est implanté en zone II $\rightarrow d = 1,2$ (PS 69 art 4,2)
- p : coefficient de réponse: caractérise l'importance de la réponse de la structure à une secousse d'égale intensité avec celle de référence, il dépend:
 - de la période T du mode fondamental de vibration de la construction dans la direction étudiée.
 - degré d'amortissement de l'ouvrage
 - accessoirement de la nature du sol de fondation

a. Evaluation de la période du mode fondamental

Le contreventement est assuré dans le sens longitudinal et dans le sens transversal par des postiques.

L'article (3-113-3 . PS 69) donne:

H : hauteur du bâtiment (m)

L_x : dimension en plan du bloc dans la direction déterminée.

$$T = 0,09 \cdot \frac{H}{\sqrt{L_x}}$$

- sens longitudinal: $L_x = 27,27 \text{ m}$ } $H = 15,03 \text{ m}$ } $\rightarrow T_L = 0,26 \text{ s}$

- sens transversal: $L_x = 17,20 \text{ m}$ } $H = 15,03 \text{ m}$ } $\rightarrow T_t = 0,326 \text{ s}$

b - Calcul du coefficient de réponse: on considérera comme étant moyen, le degré d'amortissement dans les étages courants des bâtiments à usage pédagogique.

$$\beta = \frac{0,085}{\sqrt{T}} \Rightarrow \begin{cases} \beta_L = 0,133 \\ \beta_t = 0,123 \end{cases}$$

on prend (relativement au PS 69):

$$\begin{cases} \beta_L = 0,130 \\ \beta_t = 0,123 \end{cases}$$

- γ : coefficient de distribution: il dépend de la structure.

Dans les constructions courantes de flexibilité normale, il est permis d'assimiler la déformée du système à une droite.

$M(z)$: masse concentrée à la côte z

$$\gamma(k) = \frac{h \cdot \sum z \cdot M(z)}{\sum z^2 \cdot M(z)}$$

- s : coefficient de fondation: le coefficient s indépendant des propriétés dynamiques est un facteur correcteur tenant compte de l'incidence.

des conditions de fondation sur le comportement de l'ouvrage.

Le terrain est de moyenne consistance : $\gamma_{\text{se}} = 1,15$
seuilles superficielles : $\gamma_{\text{se}} = 1,00$
radier général : $\gamma_{\text{rad}} = 1,00$

Coefficient sismique horizontal : $\Gamma_H = \alpha \cdot \beta \cdot \gamma(h) \cdot \gamma$.

- * Sens longitudinal :
 - fondations sur seuilles : $\Gamma_{Hl} = 0,1794 \cdot \gamma(h)$
 - fondations sur radier : $\Gamma_{Hr} = 0,1560 \cdot \gamma(h)$
- * Sens transversal :
 - fondations sur seuilles : $\Gamma_{Ht} = 0,1690 \cdot \gamma(h)$
 - fondations sur radier : $\Gamma_{Tr} = 0,1476 \cdot \gamma(h)$

Coefficient sismique vertical:

Le coefficient sismique à prendre en compte dans le calcul de la stabilité d'ensemble est égal à :

Γ_H : + grand coefficient sismique trouvé
dans les diverses directions horizontales.

$$\Gamma_V = \pm \frac{1}{\sqrt{\alpha}} \cdot \Gamma_H$$

* fondations sur seuilles :

$$\Gamma_H = \max \begin{cases} \Gamma_{Hl} = 0,1794 \cdot \gamma(h) \\ \Gamma_{Ht} = 0,169 \cdot \gamma(h) \end{cases}$$

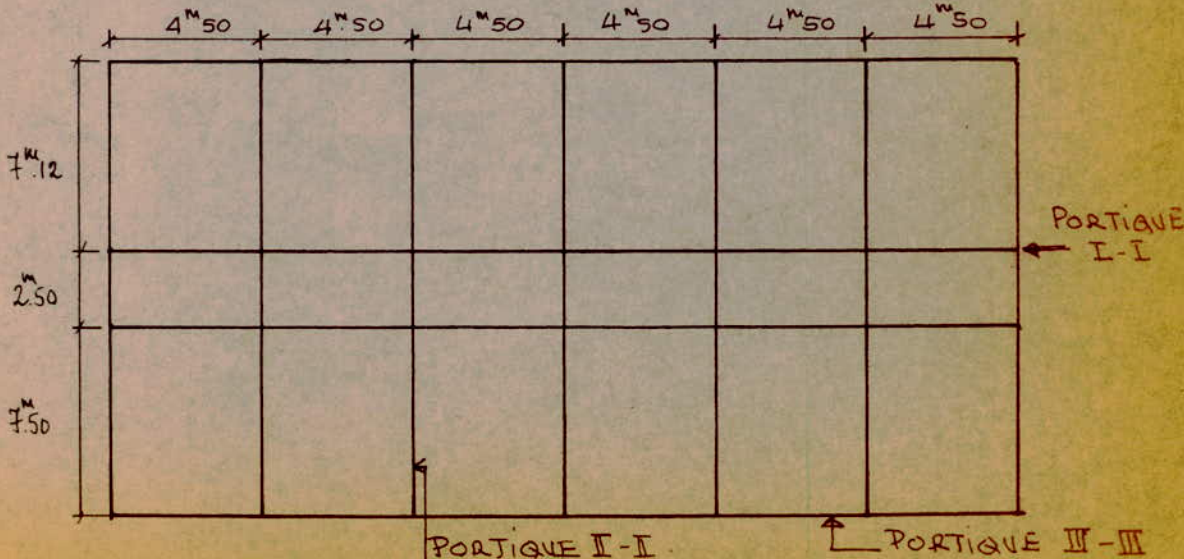
$$\Rightarrow \Gamma_V = \pm \frac{1}{\sqrt{\alpha}} \cdot 0,1794 \cdot \gamma(h) \rightarrow \underline{\Gamma_V = 0,163 \cdot \gamma(h)}$$

* fondations sur radier général :

$$\Gamma_H = \max \begin{cases} \Gamma_{Hl} = 0,156 \cdot \gamma(h) \\ \Gamma_{Tr} = 0,1476 \cdot \gamma(h) \end{cases}$$

$$\Rightarrow \underline{\Gamma_V = 0,142 \cdot \gamma(h)}$$

C. DETERMINATION de W DANS LES PORTIQUES.



PORTIQUE I-I:

- calcul de la surface lui revenant:

$$S_I = 4,81 \times 27 \Rightarrow S_I = 129,87 \text{ m}^2$$

- NIVEAU I: (terrasse: $G = 622 \text{ kg/m}^2$; $P = 100 \text{ kg/m}^2$)

1. charges permanentes:

• Acrotière: $(1,63 \times 2,75) + (2,75 \times 0,70 \times 0,1 \times 2500)$	930 Kg
• Plancher: $(622 \times 129,87)$	80779 Kg
• Poutres transversales: $(4,81 \times 0,3 \times 0,65 \times 2500)$	2345 Kg
• " longitudinales: $(27 \times 0,3 \times 0,4 \times 2500)$	8100 Kg
• demi-poteau: $(\frac{1}{2} \times 0,3 \times 0,60 \times 2,90 \times 7 \times 2500)$	4567 Kg
	<u>$G_I = 96721 \text{ Kg}$</u>

2. Surcharges:

$$P_I = 100 \times 129,87 \dots P_I = 12987 \text{ Kg}$$

$$W_I = G_I + \frac{P_I}{5} = 96,721 + \frac{12,987}{5} = 99,31 \text{ tonnes} \quad W_I = 99,31 \text{ t}$$

- NIVEAU II: (planches courant: $G = 570 \text{ kg/m}^2$; $P = 350 \text{ kg/m}^2$)

1. charges permanentes:

• Plancher: $(570 \times 129,87)$	74026 Kg
• Poutres transversales: $(4,81 \times 0,3 \times 0,65 \times 2500)$	2345 Kg
• Poutres longitudinales: $(27 \times 0,3 \times 0,40 \times 2500)$	8100 Kg
• Poteau: $(0,3 \times 0,60 \times 2,90 \times 7 \times 2500)$	9134 Kg

$$G_{II} = 93605 \text{ Kg}$$

2. Surcharges:

$$P_{II} = 350 \times 129,87 \dots P_{II} = 45455 \text{ Kg}$$

$$W_{II} = 102,69 \text{ t}$$

- NIVEAUX III, IV, V mêmes niveaux que le II.

$$W_{III} = W_{IV} = W_V = W_{II} = 102,69 \text{ t}$$

PORTIQUE II-II.

- surface lui revenant: niveaux R.D.C et I: $S_{II} = 4,50 \times 16,74 = 75,33 \text{ m}^2$
autres niveaux: $S_{II} = (4,50 \times 9,62) + (7,12 \cdot 22,5)$
 $S_{II} \approx 65,33 \text{ m}^2$

- NIVEAU I: (terrasse: $G = 622 \text{ kg/m}^2$; $P = 100 \text{ kg/m}^2$)

1. charges permanentes:

• Acrotière: $(1,63 \times 4,50 \times 2)$	1467 Kg
• Plancher: $(622 \times 75,33)$	46855 /
• Poutres transversales: $(16,74 \times 0,3 \times 0,65 \times 2500)$	8161 /
• Poutres longitudinales: $(4,50 \times 0,3 \times 0,40 \times 2500) \cdot 4$	5400 /
• demi-poteau: $\frac{1}{2} \times (0,3 \times 0,6 \times 2,90 \times 2500) \cdot 4$	2610 /
	<u>$G_I = 64493 \text{ Kg}$</u>

- Surcharges: $P_I = 100 \times 75,33$

$$P_I = 7533 \text{ Kg}$$

$$W_I = 66,0 \text{ t}$$

NIVEAU II: (plancher courant: $G = 570 \text{ kg/m}^2$; $P = 350 \text{ kg/m}^2$)

1 - charges permanentes:

• Poutres transversales: $(16,74 \times 0,65 \times 0,30 \times 2500)$ ---	8161 Kg
• Plancher: $(570 \times 65,33)$ ---	37238 /
• Poutres longitudinales: $(4,50 \times 0,30 \times 0,40 \times 2500) \cdot 4$ ---	5400 /
• Poteau: $(0,30 \times 0,60 \times 2,90 \times 2500) \cdot 4$ ---	5220 /
• Escaliers: (7250×2) ---	14500 /

$$G_{II} = 70520 \text{ Kg}$$

2 - Surcharges:

• Plancher: $(350 \times 65,33)$ ---	22866 Kg
• Escaliers: (400×10) ---	4000 Kg

$$P_{II} = 26866 \text{ Kg}$$

$$W_{II} = 75,89 \text{ t}$$

NIVEAUX III, IV: mêmes niveau que le II.

$$W_{III} = W_{IV} = W_{II} = 75,89 \text{ t.}$$

NIVEAU III: (plancher courant: $G = 570 \text{ kg/m}^2$; $P = 350 \text{ kg/m}^2$)

1 - charges permanentes:

• Plancher: $(570 \times 75,33)$ ---	42938 Kg
• autres éléments (voir niveau II) ---	33282 /

$$G_{III} = 76220 \text{ Kg}$$

2 - Surcharges:

• Plancher: $(350 \times 75,33)$ ---	26366 Kg
• Escaliers: (400×10) ---	4000 Kg

$$P_{III} = 30366 \text{ Kg}$$

$$W_{III} = 82,40 \text{ t}$$

PORTIQUE III-III:

• calcul de la surface à retenir:

$$S_{III} = 27 \times 3,56 = 96,12 \text{ m}^2$$

NIVEAU I: (terrasse: $G = 622 \text{ kg/m}^2$; $P = 100 \text{ bs/m}^2$)

1 - charges permanentes:

• Acrotière: $(163 \times 27,27) + (0,70 \times 0,10 \times 27,27 \times 2500)$ ---	9217 Kg
• Plancher: $622 \times 96,12$ ---	59787 Kg
• Plancher transversales: $(3,56 \times 0,30 \times 0,65 \times 2500) \cdot 7$ ---	12148 /
• Poutres longitudinales: $(0,30 \times 0,40 \times 27,27) \cdot 2500$ ---	4567 /
• 1/2 Poteau: $(\frac{1}{2} \times 0,30 \times 0,60 \times 2,90 \times 2500) \cdot 7$ ---	8181 /

$$G_I = 93900 \text{ Kg}$$

$$P_I = 9612 \text{ Kg}$$

$$W_I = 95,82 \text{ t}$$

NIVEAU II: (plancher courant: $G = 570 \text{ Kg/m}^2$; $P = 350 \text{ Kg/m}^2$)

1. charges permanentes:

- plancher: $(570 \times 96,12)$ ----- 54788 Kg
- Poutres transversales + Poutres longitudinale ----- 20329 Kg
- Poteau: $(0,30 \times 0,60 \times 2,90 \times 2500) 7$ ----- $9134 /$

$$\begin{array}{r} 54788 \text{ Kg} \\ 20329 \text{ Kg} \\ 9134 / \\ \hline G_{II} = 84251 \text{ Kg} \end{array}$$

2- Surcharges:

$$P_{II} = 350 \times 96,12 \text{ ----- } P_{II} = 33642 \text{ Kg}$$

$$W_{II} = 91 \text{ tonnes}$$

• NIVEAUX III, IV, V: mêmes niveaux que le II.

$$W_{III} = W_{IV} = W_{V} = W_{II} = 91 \text{ t}$$

TABLEAUX RECAPITULATIFS

NIVEAUX	G	P/S	W
I	96.70	2.59	99.31
II	93.60	9.09	102.69
III	93.60	9.09	102.69
IV	93.60	9.09	102.69
V	93.60	9.09	102.69
PORTIQUE . I . I			

NIVEAUX	G	P/S	W
I	64.49	1.50	66.00
II	70.52	5.37	75.89
III	70.52	5.37	75.89
IV	70.52	5.37	75.89
V	76.22	6.07	82.40
PORTIQUE . II . II			

détermination du coefficient $\gamma(h)$:

Après avoir déterminé les masses $M(z)$ aux différentes cotes, on calcule alors les coefficients

$$\gamma(h) = h \cdot \frac{\sum z \cdot M(z)}{\sum z^2 \cdot M(z)}$$

PORTIQUE LONGITUDINAL : I - I

NIVEAUX	I	II	III	IV	V
$z(m)$	16,52	13,00	9,48	5,96	2,44
$z^2(m^2)$	272,91	169,00	89,87	35,52	5,95
$M(z)(t)$	99,31	102,69	102,69	102,69	102,69
$z \cdot M(z)$	1640,6	1334,9	973,50	612,0	250,5
$z^2 \cdot M(z)$	27102,6	17354,6	9228,7	3647,5	611,0
$\frac{\sum z \cdot M(z)}{\sum z^2 \cdot M(z)}$	0,083				
$\gamma(h)$	1,37	1,08	0,78	0,49	0,20

PORTIQUE TRANSVERSAL
LONGITUDINAL : II - II

NIVEAUX	I	II	III	IV	V
$z(m)$	16,52	13,00	9,48	5,96	2,44
$z^2(m^2)$	272,91	169,00	89,87	35,52	5,95
$M(z) \cdot (t)$	66,00	75,89	75,89	75,89	82,40
$z \cdot M(z)$	1090,32	986,57	719,44	452,30	201,05
$z^2 \cdot M(z)$	18012,06	12825,41	6820,23	2695,61	490,28
$\frac{\sum z \cdot M(z)}{\sum z^2 \cdot M(z)}$	0,084				
$\gamma(h)$	1,38	1,09	0,75	0,50	0,24

• COEFFICIENT SISMIQUE HORIZONTAL:

* LONGITUDINAL:

• semelles isolées: $\beta_{H_L} = \alpha \cdot \beta_L \cdot \delta(h)_L = 0,1794 \cdot \delta(h)$.

• radier général: $\beta_{H_R} = 0,156 \cdot \delta(h)$.

* transversal:

• semelles isolées: $\beta_{H_T} = 0,169 \cdot \delta(h)$

• radier général: $\beta_{H_T} = 0,147 \cdot \delta(h)$.

• COEFFICIENT SISMIQUE VERTICAL:

$$\beta_V = \pm \frac{1}{\sqrt{\alpha}} \cdot \beta_H$$

$$\beta_H = \max (\beta_{H_L}; \beta_{H_R})$$

Pour chaque type de fondation.

SEMELLES ISOLEES:

NIVEAUX	PORTIQUE LONGITUDINAL I-I					PORTIQUE TRANSVERSAL II-II				
	I	II	III	IV	V	I	II	III	IV	V
$\delta(h)$	1,37	1,08	0,78	0,49	0,20	1,38	1,09	0,79	0,50	0,21
β_H	0,245	0,193	0,140	0,098	0,036	0,233	0,184	0,133	0,084	0,035
β_V	0,223	0,176	0,128	0,080	0,033	0,223	0,176	0,128	0,080	0,033

RADIER GENERAL:

NIVEAUX	PORTIQUE LONGITUDINAL I-I					PORTIQUE TRANSVERSAL II-II				
	I	II	III	IV	V	I	II	III	IV	V
$\delta(h)$	1,37	1,08	0,78	0,49	0,20	1,38	1,09	0,79	0,50	0,21
β_H	0,214	0,168	0,122	0,076	0,031	0,203	0,160	0,116	0,073	0,031
β_V	0,195	0,153	0,111	0,069	0,028	0,195	0,153	0,111	0,069	0,028

TABLEAU RECAPITULATIF POUR PORTIQUE III-III

NIVEAUX	G (t)	1/5 (t)	W (t)
I	93,90	1,92	95,82
II	84,25	6,73	91,00
III	84,25	6,73	91,00
IV	84,25	6,73	91,00
V	84,25	6,73	91,00

* détermination du coefficient $\gamma(h)$.

$$\gamma(h) = h \cdot \frac{\sum z \cdot M(z)}{\sum z^2 \cdot M(z)}$$

* on détermine les masses $M(z)$.

NIVEAUX	I	II	III	IV	V
$z(m)$	16,52	13,00	9,48	5,96	2,44
$z^2 (m^2)$	272,91	169,00	89,87	35,52	5,95
$M(z) (t)$	95,82	91,00	91,00	91,00	91,00
$z \cdot M(z)$	1583	1183	863	542	222
$\frac{\sum z \cdot M(z)}{\sum z}$	26150	15379	8178	3232	541
$\frac{\sum z \cdot M(z)}{\sum z^2 \cdot M(z)}$			0,082		
$\gamma(h)$	1,35	1,06	0,77	0,49	0,20

COEFFICIENTS SIGMIQUES:

S I M E R E L E C T R E	PORTIQUE III-III					
	NIVEAUX	I	II	III	IV	V
$\gamma(h)$	1,35	1,06	0,77	0,49	0,20	
σ_H	0,242	0,190	0,138	0,088	0,036	
σ_V	0,221	0,173	0,126	0,080	0,033	

S I M E R E L E C T R E	PORTIQUE III-III					
	NIVEAUX	I	II	III	IV	V
$\gamma(h)$	1,35	1,06	0,77	0,48	0,20	
σ_H	0,210	0,165	0,120	0,076	0,031	
σ_V	0,191	0,150	0,109	0,069	0,028	

FORCES SISMIQUES HORIZONTALES

obtenues à l'aide de la relation : $F_H = W \cdot \sigma_H(h)$

SEMELLES :

PORTIQUE LONGITUDINAL I-I	NIVEAUX	W (t)	σ_H	F_H (t)	FORCES CUMULEES
	I	99,31	0,245	24,33	
	II	102,69	0,193	19,82	
	III	102,69	0,140	14,37	
	IV	102,69	0,088	9,04	
	V	102,69	0,036	3,70	

PORTIQUE TRANSVERSE II-II	NIVEAUX	W (t)	σ_H	F_H (t)	FORCES CUMULEES
	I	66,00	0,233	15,38	
	II	75,89	0,184	13,96	
	III	75,89	0,133	10,09	
	IV	75,89	0,084	6,37	
	V	82,40	0,035	2,88	

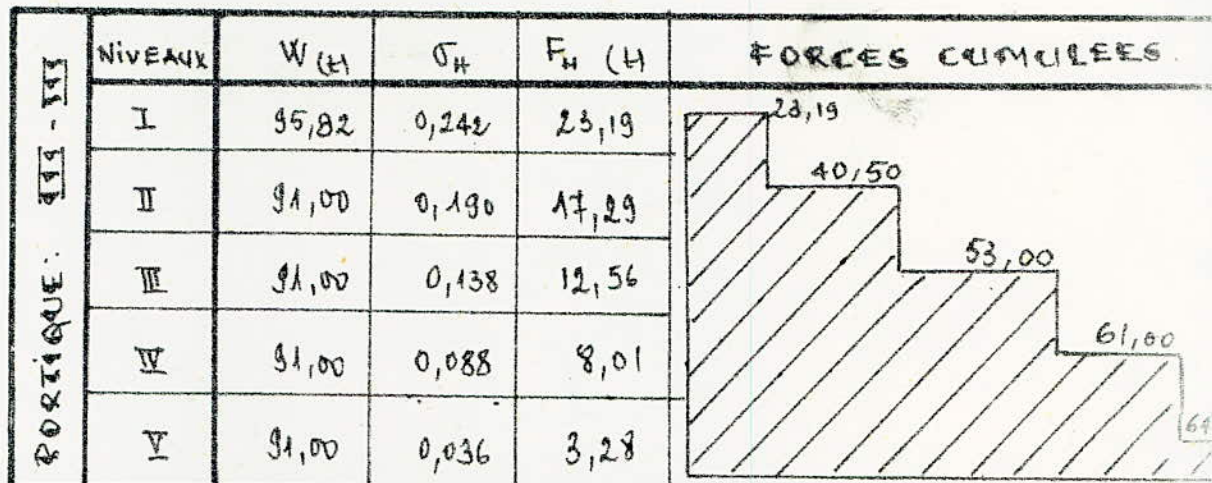
RADIER :

PORTIQUE LONGITUDINAL I-I	NIVEAUX	W (t)	σ_H	F_H (t)	FORCES CUMULEES
	I	99,31	0,214	21,25	
	II	102,69	0,168	17,25	
	III	102,69	0,122	12,53	
	IV	102,69	0,076	7,80	
	V	102,69	0,031	3,18	

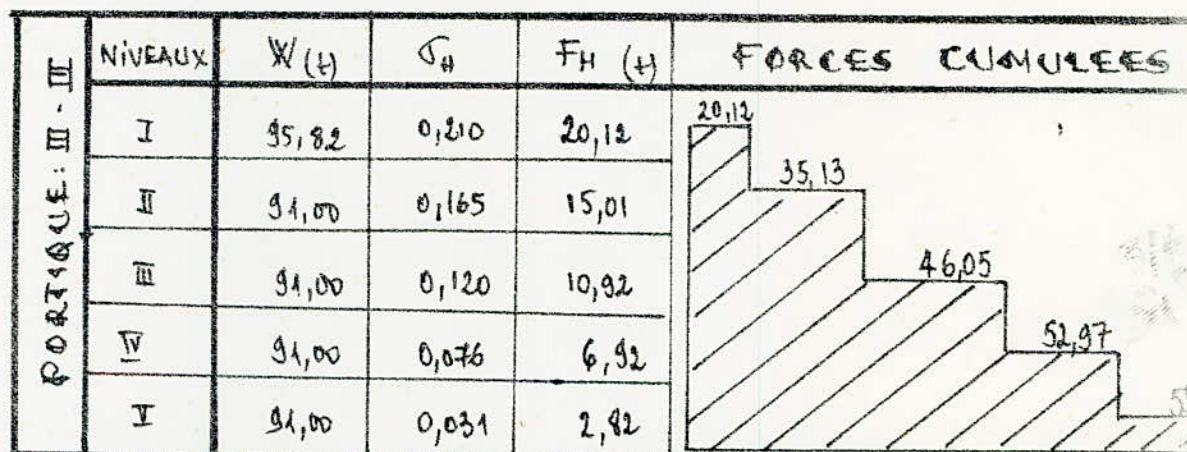
PORTIQUE TRANSVERSE II-II	NIVEAUX	W (t)	σ_H	F_H (t)	FORCES CUMULEES
	I	66,00	0,203	13,40	
	II	75,89	0,160	12,14	
	III	75,89	0,116	8,80	
	IV	75,89	0,073	5,54	
	V	82,40	0,031	2,85	

SEMELLES:

$$F_H = W \cdot \sigma_H$$



RADIER:



FORCES SISMIQUES VERTICALES

SEMELLES:

PORTIQUE I-I LONGITUDINAL $L = 27^m$	NIVEAUX	W (+)	σ_v	$F_v = W \cdot \sigma_v$	
				(t)	(t/m²)
I	99,31	0,223	22,14	0,82	
II	102,69	0,176	18,07	0,67	
III	102,69	0,128	13,14	0,48	
IV	102,69	0,080	8,21	0,30	
V	102,69	0,033	3,39	0,12	
PORTIQUE II-II TRANSVERSE $L = 16,74^m$	I	66,00	0,223	14,72	0,89
	II	75,89	0,176	13,35	0,80
	III	75,89	0,128	9,71	0,58
	IV	75,89	0,080	6,07	0,36
	V	82,40	0,033	9,72	0,16

RADIER GENERAL:

PORTIQUE I-I LONGITUDINAL $L = 27^m$	NIVEAUX	W (+)	σ_v	$F_v = W \cdot \sigma_v$	
				(t)	(t/m²)
I	99,31	0,185	19,36	0,71	
II	102,69	0,153	15,74	0,58	
III	102,69	0,111	11,40	0,42	
IV	102,69	0,069	7,08	0,26	
V	102,69	0,028	2,87	0,11	
PORTIQUE II-II TRANSVERSE $L = 16,74^m$	I	66,00	0,185	12,87	0,77
	II	75,89	0,153	11,61	0,69
	III	75,89	0,111	8,42	0,50
	IV	75,89	0,069	5,23	0,31
	V	82,40	0,028	2,32	0,13

SEMELLES:

$$F_v = W \cdot \sigma_v$$

PORTIQUE NIVEAU - 400 $\frac{1}{L} = 27^m$	NIVEAUX	W (t)	σ_v	$F_v = W \cdot \sigma_v$	
				(t)	(t/m²)
	I	95,82	0,221	21,17	0,78
	II	91,00	0,173	15,74	0,58
	III	91,00	0,126	11,47	0,42
	IV	91,00	0,080	7,28	0,27
	V	91,00	0,033	3,00	0,11

RADIER:

PORTIQUE NIVEAU - 400 $\frac{1}{L} = 27^m$	NIVEAUX	W (t)	σ_v	$F_v = W \cdot \sigma_v$	
				(t)	t/m²
	I	95,82	0,191	18,30	0,68
	II	91,00	0,150	13,65	0,50
	III	91,00	0,109	9,92	0,37
	IV	91,00	0,069	6,28	0,23
	V	91,00	0,028	2,55	0,09

joint de dilatation

Dans le but de vérifier la sécurité vis à vis des déformations, nous essaierons de dimensionner le joint de dilatation.

D'après l'article (3.1) du PS.69

$$e = 39,7 (T_1^2 \cdot \tau_1 + T_2^2 \cdot \tau_2)$$

contreventement par portiques

T_1 et T_2 : périodes respectives des blocs de construction considérés

τ_1 et τ_2 : coefficients sismiques des blocs au niveau dangereux.

Dans l'ouvrage que nous étudions, les 2 blocs sont identiques

$$\Rightarrow T_1 = T_2 \quad ; \quad \tau_1 = \tau_2$$

on aura: $T = T_1 = 0,26 \text{ s}$

$\tau = 0,245 \rightarrow$ pour seuilles isolées ou filantes

$\tau = 0,214 \rightarrow$ pour radier général

d'où:

$$e = 1,31 \text{ cm} \rightarrow \text{seuilles isolées ou filantes}$$

$$e = 1,15 \text{ cm} \rightarrow \text{radier général}$$

or d'après l'article 3.21 du PS.69, la largeur du joint de dilatation ne doit en aucun cas être inférieure à 2 cm.

$$e \geq 2 \text{ cm} \quad (\text{art. 3.21 . PS 69})$$

Nous préférons garder la largeur donnée par le plan d'architecture

$$e = 3 \text{ cm}$$

quelque soit le type de fondations.

METHODE de CALCUL

pour la

determination des efforts

sous les

FORCES HORIZONTALES

forces horizontales

La détermination des efforts sous les forces horizontales se fera par la méthode de BOWMAN ; toute fois celle-ci n'est applicable que si les conditions suivantes sont satisfaites :

- + Les poteaux d'un même étage doivent avoir la même hauteur et où les raideurs des différentes travées des portes portées d'un plancher solidaire des poteaux doivent être supérieures au cinquième ($1/5$) de la raideur du poteau le plus raide.

on admet alors que :

- + les forces horizontales agissant sur une file de poteaux se répartissent proportionnellement aux moments d'inertie de ces poteaux. Toutefois les moments d'inertie des poteaux de rive seront affectés du coefficient 0,8
- + les poteaux des étages courants sont encastrés au niveau des planchers et articulés à des hauteurs définies ci-après.

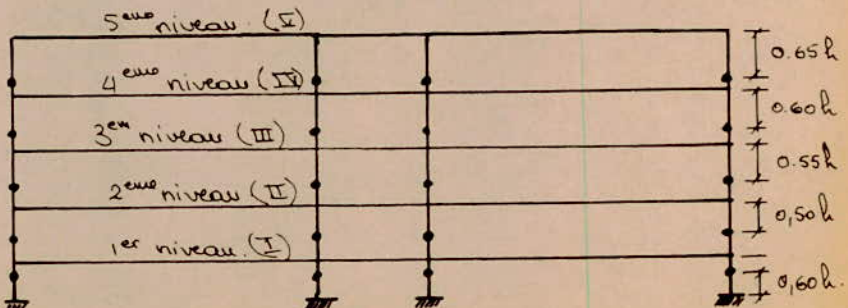
EXPOSE de la METHODE :

- A chaque niveau, le partage de l'effort tranchant se fera proportionnellement aux inerties des poteaux.

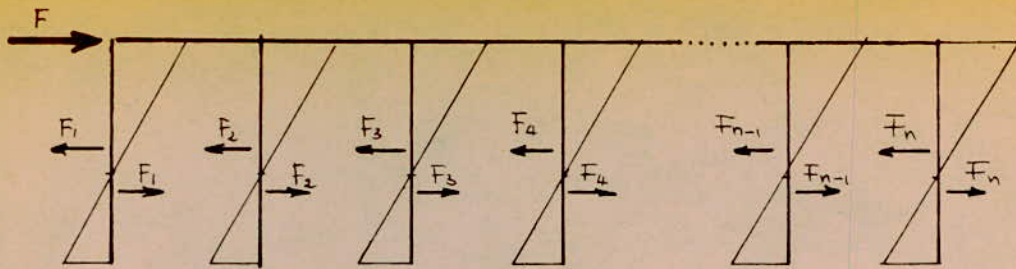
Les articulations dans les poteaux se situent comme suit :

- * dernier niveau : à $0,65h$ de la partie supérieure du poteau
- * avant dernier niveau : à $0,60h$ " " " " "
- * niveau immédiatement au dessus : à $0,55h$ de la partie supérieure
- * tout niveau, autre que le 1^{er} : à $0,50h$ " " " "
- * 1^{er} niveau : à $0,60h$ à partir de la base du poteau.

- Les moments seront partagés proportionnellement aux raideurs des barres situées à gauche du nœuds considéré et à droite de celui-ci



Compte tenu de ces hypothèses, on peut écrire:
Pour un seul niveau:



$$F = F_1 + F_2 + F_3 + F_4 + \dots + F_{n-1} + F_n$$

avec :

$$F_i^o = \frac{0,8 I_i^o}{0,8 I_1 + I_2 + I_3 + \dots + 0,8 I_n} \cdot F \quad i = 1 \text{ et } n$$

$$F_j^o = \frac{I_j}{0,8 I_1 + I_2 + I_3 + \dots + 0,8 I_n} \cdot F \quad j = 2, \dots, n-1$$

+ moments fléchissants dans les poteaux.

* en tête des poteaux

$$M = F_{i,j} \cdot \alpha \cdot h$$

$$i = 1 \text{ et } n$$

à la base des poteaux

$$M = F_{i,j} \cdot \beta \cdot h$$

$$j = 2, \dots, n-1$$

α, β : coefficient de BOWMAN définis précédemment : $\alpha + \beta = 1$

+ moments dans les portes. Le moment du poteau doit être équilibré par les moments fléchissants des portes.

Pour le noeud 1 de la file 1: $M_1 = F_1 \alpha h$

Pour le noeud 2 " " " 1: $M_{2g} = F_2 \alpha h \cdot \frac{K_g}{K_g + K_d}$ (à gauche)

I_g : portée libre de gauche

I_d : " " " de droite

J_g : incertie de la travée de gauche

J_d : " " " " de droite

h : hauteur entre faces supérieures de 2 planches consécutifs.

$$M_{2d} = F_2 \alpha h \cdot \frac{K_d}{K_g + K_d} \quad (\text{à droite})$$

$$K_g = \frac{J_g}{I_g} \quad \text{et} \quad K_d = \frac{J_d}{I_d}$$

* Pour un niveau intermédiaire: Soit le niveau d'un plancher de rang i

$\sum F_i^o = F = F_i^o + F_{i+1}^o + F_{i+2}^o + \dots + F_{i+n}^o$ charges cumulées à l'étage de rang $i+1$, l'effort créé au pied des poteaux supportant le plancher $(i+1)$ des moments calculés conformément à ce qui a été exposé précédemment (partage de $\sum F_i^o$, suivant les incerties des poteaux)

Exemple: poteau 3 de l'étage I+1

$$M = F_3 \cdot h \quad \text{avec} \quad F_3 = \frac{\sum F_{I+1} \cdot I_3}{0,8 I_1 + I_2 + I_3 + \dots + 0,8 I_n}$$

Le même calcul mené pour l'effort $\sum F_i$, nous permettra de déterminer les moments en tête des poteaux supportant le plancher I.

Au droit d'un nœud, on pourra calculer les moments dans les travées aboutissant à ce nœud en fonction des moments M_s et M_d obtenus pour les poteaux supérieurs et inférieurs correspondants à ce nœud.

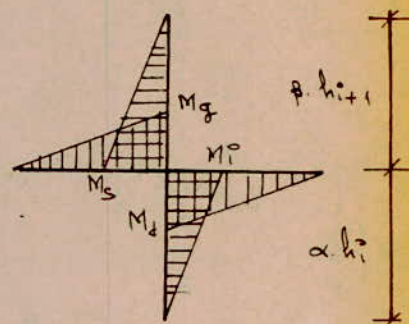
• Pour un nœud intermédiaire :

$$M_g = - (M_s + M_d) \cdot \frac{K_g}{K_g + K_d}$$

$$M_d = - (M_s + M_g) \cdot \frac{K_d}{K_d + K_g}$$

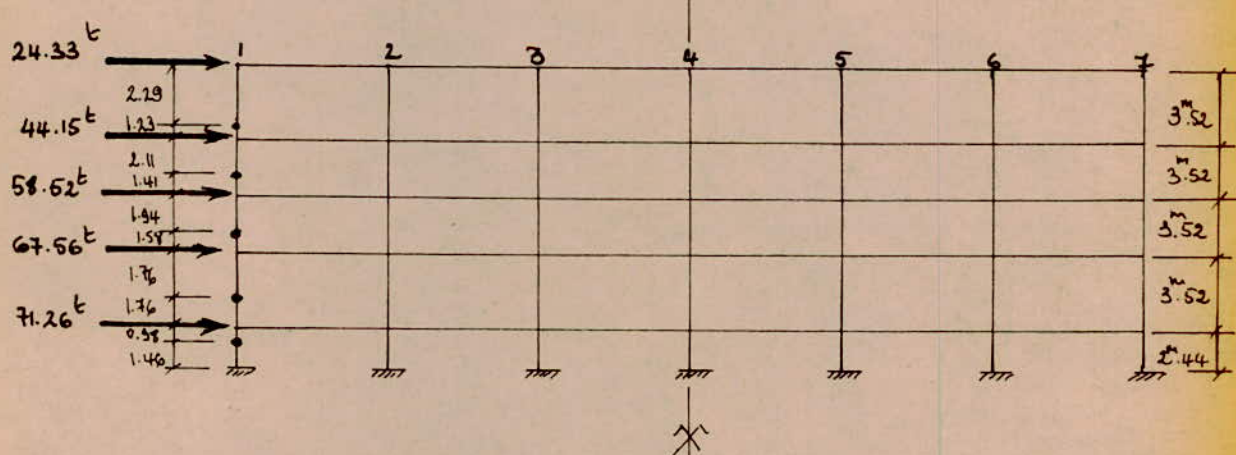
• Pour un nœud de rive :

$$M_g \text{ ou } M_d = - (M_s + M_g)$$



PORTIQUE LONGITUDINALE I-I.

A - SEMELLES



1°. détermination des forces $F_1, F_2, F_3, \dots, F_7$ par niveau.

• L'inertie des poteaux est la même pour tous ceux du portique, mais varie de portique en portique.

Poteaux: section 30x60

• Force totale par plancher : $F = F_1 + F_2 + F_3 + F_4 + F_5 + F_6 + F_7$

$$F_1 = F_7 = \frac{0.8I}{6.6I} \cdot F \Rightarrow F_1 = F_7 = \frac{0.8}{6.6} \cdot F$$

$$* F_2 = F_3 = F_4 = F_5 = F_6 = \frac{F}{6.6}$$

Tableau donnant les F_i par niveau, ainsi que les articulations :

NIVEAU	$F_1 = F_7$	$F_2 = \dots = F_6$	αh (m)	βh (m)
I	2.95	3.69	2.29	1.23
II	5.35	6.69	2.11	1.41
III	7.10	8.87	1.94	1.58
IV	8.19	10.23	1.76	1.76
V	8.64	10.79	0.98	1.46

2° - détermination des moments aux noeuds :

a - moments en tête et à la base des poteaux :

• moment en tête : $M_t^e = F \cdot \alpha h$

• moment à la base : $M_b = F \cdot \beta \cdot h$.

NIVEAU	NOEUD	M_t^e (t.m)	M_b (t.m)	M_g (t.m)	M_d (t.m)
I	1	6.75	/	/	6.75
	2 à 6	3.45	/	4.22	4.22
	7	6.75	/	6.75	/
II	1	11.29	3.63	/	14.92
	2 à 6	14.12	4.54	9.33	9.33
	7	11.29	3.63	14.92	/
III	1	13.77	7.54	/	21.31
	2 à 6	17.20	9.40	13.30	13.30
	7	13.77	7.54	21.31	/
IV	1	14.41	11.22	/	25.63
	2 à 6	18.00	14.00	16.00	16.00
	7	14.41	11.22	25.63	/
V	1	8.47	14.41	/	22.88
	2 à 6	10.57	18.00	14.28	14.28
	7	8.47	14.41	22.88	/
Fondations	1	/	12.61	/	/
	2 à 6	/	15.75	/	/
	7	/	12.61	/	/

b- moments dans les bantes. Les dimensions des bantes de ce portique sont : $30 \times 40 \text{ cm}$, de hauteur : 3.90 . Ceci étant constant pour toutes les bantes du portique :

$$\left. \begin{array}{l} I_g = I_d \\ l_g = l_d \end{array} \right\} \Rightarrow K_g = K_d$$

• moments :

- pour travées intermédiaires :

$$M_g = M_d = \frac{M_s + M_i}{2}$$

- pour travées de rive : $M_g = M_d = M_s + M_i$

3° détermination des moments en travée.

• sous $\overrightarrow{SI_H}$:

$$M_t = \frac{M_d - M_g}{2}$$

• sous $\overleftarrow{SI_H}$:

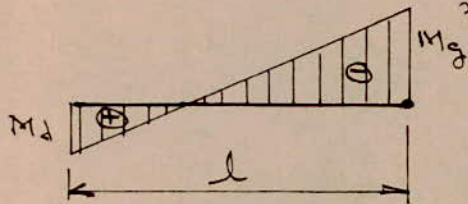
$$M_t = - \frac{M_d - M_g}{2}$$

4° détermination des efforts tranchants. Le calcul des efforts tranchants se fait en tenant compte des moments de continuité des bantes (M_t aux nœuds).

• méthode de calcul :

• sous $\overrightarrow{SI_H}$: équation du moment : $M(x) = \alpha x + \beta$.

$$\left. \begin{array}{l} x=0 \\ x=l \end{array} \right\} \rightarrow \alpha = - \frac{(M_d + M_g)}{l} \Rightarrow M(x) = - \frac{M_d + M_g}{l} x + M_d$$



$$T = \frac{dM}{dx} = - \frac{M_d + M_g}{l}$$

• sous $\overleftarrow{SI_H}$:

$$T = \frac{M_d + M_g}{l}$$

5° détermination des efforts normaux dans les poteaux. Le poteau supportant le portique au niveau du nœud i, subira un effort normal :

$$N_i = T_{id} - T_{ig}$$

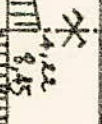
$N_i > 0 \rightarrow$ poteau comprimé
 $N_i < 0 \rightarrow$ poteau tendu.

	2	3	4
5	6	7	8
9	10	11	12
13	14	15	16
17	18	19	20
21	22	23	24

LE GRADUOGRAMME DES MOMENTS - CHAÎNES HORizontales.

(POUR SEMEURES).

NIVEAU I



6,75
4,22
8,45
4,22
8,45
4,22
8,45
4,22
8,45
4,22
8,45

NIVEAU II



3,63
11,29
9,33
9,33
4,54
4,54
9,33
9,33
4,54
4,54
9,33
9,33

NIVEAU III

13,30
13,30
13,30
13,30
13,30
13,30
13,30
13,30

NIVEAU IV

7,54
10,77
9,40
9,40
17,10
17,10
9,40
9,40
17,10
17,10
9,40
9,40

- IV.6 -

NIVEAU V

16,00
16,00
16,00
16,00
16,00
16,00

14,41
14,00
14,00
14,00
14,00
14,00
14,00
14,00

16
14,28
14,28
14,28
14,28
14,28
14,28
14,28

25,63
14,63
14,63
14,63
14,63
14,63
14,63
14,63

11,22
19,00
19,00
19,00
19,00
19,00
19,00
19,00

22,88
15,75
15,75
15,75
15,75
15,75
15,75
15,75

CONSTRUCTIONS.

-IV.7-

TABLEAU DONNANT EFFORTS TRANCHANTS ET MOMENTS EN TRAVEES:

NIVEAUX	TRAVEES	$\lambda(m)$	M_d (t.m)	M_g (t.m)	$T_{(H)} \xrightarrow{SI_H}$	$T_{(H)} \xleftarrow{SI_H}$	$M_t \xrightarrow{SI_H}$ (t.m)	$M_e \xrightarrow{SI_H}$ (t.m)
I	1-2	3,90	6,75	4,22	-2,81	2,81	+1,26	-1,26
	2-3	3,90	4,22	4,22	-2,16	2,16	-0	-0
II	5-6	3,90	14,92	9,33	-6,22	6,22	2,79	-2,79
	6-7	3,90	9,33	9,33	-4,78	4,78	0	0
III	9-10	3,90	21,31	13,30	-8,87	8,87	4,00	-4,00
	10-11	3,90	13,30	13,30	-6,82	6,82	0	0
IV	13-14	3,90	25,63	16,00	-10,67	10,67	4,81	-4,81
	14-15	3,90	16,00	16,00	-8,20	8,20	0	0
V	17-18	3,90	22,88	14,28	-9,53	9,53	4,30	-4,30
	18-19	3,90	14,28	14,28	-7,32	7,32	0	0

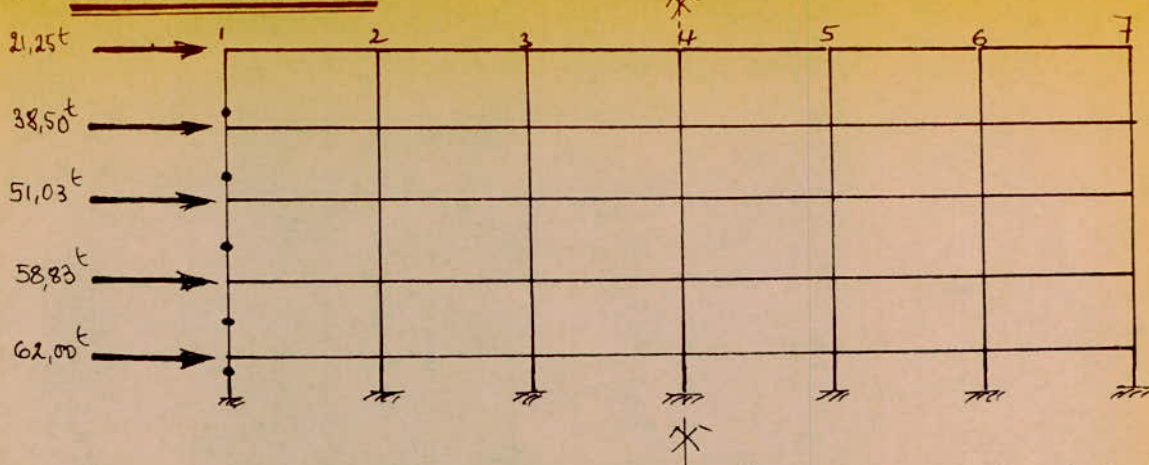
TABLEAU - EFFORTS NORMAUX DANS LES POTEAUX:

files	Poteaux	$T_{i,j} (t)$	$T_{i,i} (t)$	$N (t)$	$N . cumulé (t)$
1	1 - 5	/	- 2,81	- 2,81	- 2,81
	5 - 9	/	- 6,22	- 6,22	- 9,03
	9 - 13	/	- 8,87	- 8,87	-17.9
	13 - 17	/	- 10,67	- 10,67	- 28.57
	17 - 21	/	- 9,53	- 9,53	- 38.10
2	2 - 6	- 2,81	- 2,16	+ 0.65	+ 0.65
	6 - 10	- 6,22	- 4,78	+ 1.44	+ 2.08
	10 - 14	- 8,87	- 6,82	+ 2.05	+ 4.13
	14 - 18	- 10,67	- 8,20	+ 2.47	+ 6.60

-IV. 8-

2	18-22	- 9,53	- 7,32	+ 2,20	+ 8,82
3	3-7	- 2,16	- 2,16	0	/
	7-11	- 4,78	- 4,78	0	/
3	11-15	- 6,82	- 6,82	0	/
	15-19	- 8,20	- 8,20	0	/
4	19-23	- 7,32	- 7,32	0	/
	4-8	- 2,16	- 2,16	0	/
	8-12	- 4,78	- 4,78	0	/
4	12-16	- 6,82	- 6,82	0	/
	16-20	- 8,20	- 8,20	0	/
	20-24	- 7,32	- 7,32	0	/
5	3'-7'	- * 2,16	- * 2,16	0	/
	7'-11'	- * 4,78	- * 4,78	0	/
	11'-15'	- * 6,82	- * 6,82	0	/
	15'-19'	- * 8,20	- * 8,20	0	/
	19'-23'	- * 7,32	- * 7,32	0	/
6	2'-6'	- 2,16	- 2,81	- 0,65	- 0,65
	6'-10'	- 4,78	- 6,22	- 1,44	- 2,09
	10'-14'	- 6,82	- 8,87	- 2,05	- 4,14
	14'-18'	- 8,20	- 10,67	- 2,47	- 6,61
	18'-22'	- 7,32	- 9,53	- 2,21	- 8,82
7	1'-5'	- 2,81	/	2,81	2,81
	5'-9'	- 6,22	/	6,22	9,03
	9'-13'	- 8,87	/	8,87	17,9
	13'-17'	- 10,67	/	10,67	29,57
	17'-21'	- 9,53	/	9,53	88,10

B - RADIER. GENERAL.



L'étude des efforts horizontaux, dans le cas du radier général, sera la même que celle faite pour la selle. C'est dans un bref de temps que nous ne donnerons que les résultats obtenus.

1^e- Forces F_i par niveau :

NIVEAU	$F_1 = F_7$	$F_2 = \dots = F_6$	$\alpha h(w)$	$\beta h(w)$
I	2.58	3.22	2.29	1.23
II	4.67	5.83	2.11	1.41
III	6.19	7.73	1.94	1.58
IV	7.18	8.91	1.76	1.76
V	7.52	9.40	0.98	1.46

avec :

$$F = F_1 + F_2 + F_3 + F_4 + F_5 + F_6 + F_7$$

$$\Rightarrow F_1 = F_7 = \frac{0,8}{6,6} F$$

$$F_2 = F_3 = F_4 = \dots = F_6 = \frac{F}{6,6}$$

-IV.10-

II. DETERMINATION DES MOMENTS AUX NOEUDS:

1. moments dans les poteaux.

en tête : $M_i = F \cdot a \cdot h$

en la base : $M_s = F \cdot B \cdot h$

2. moments dans les toutes:

traverses intermédiaires : $M_g = M_d = \frac{M_s + M_i}{2}$

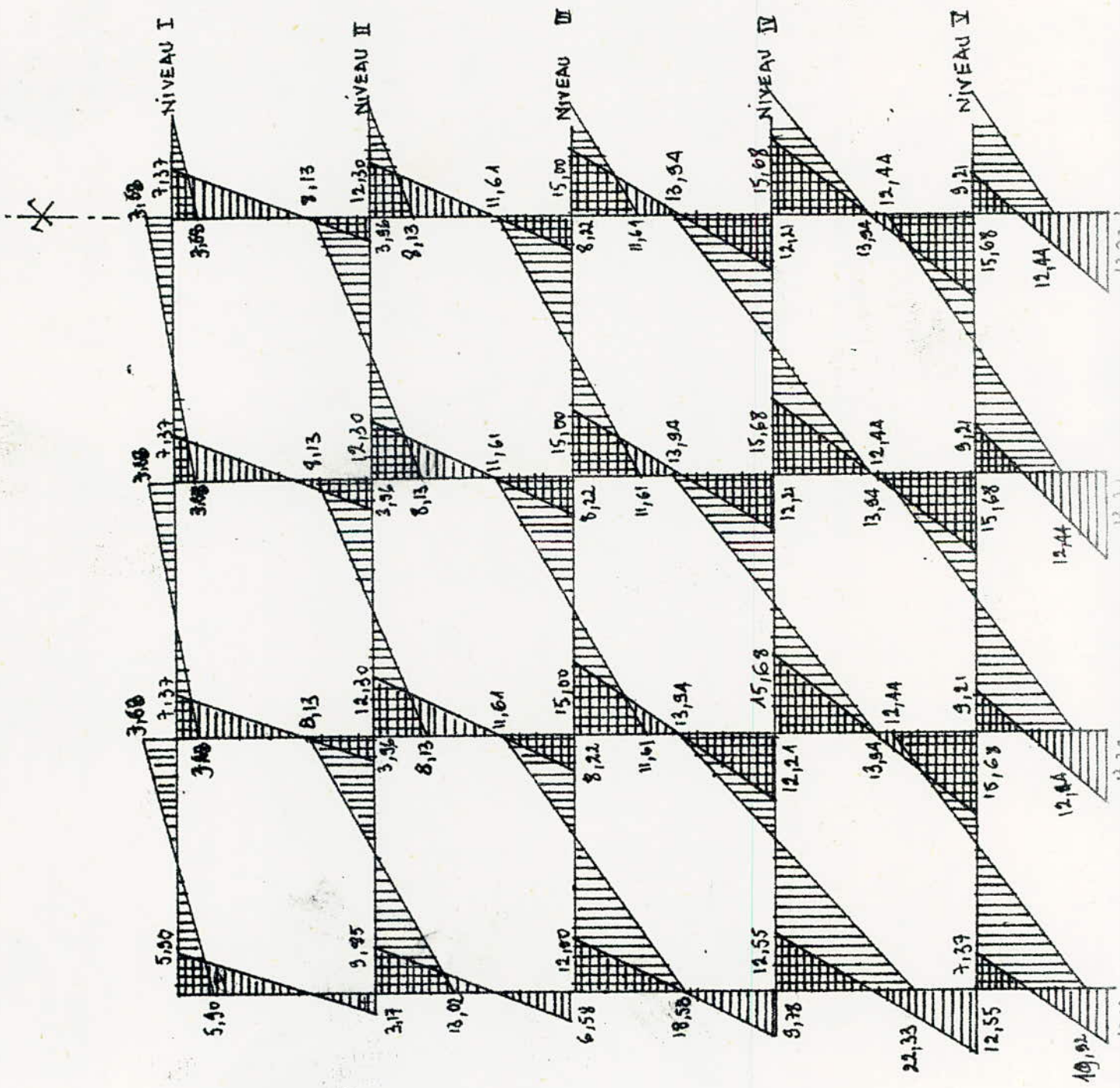
traverses de rive : $M_g = M_d = M_s + M_i$

TABLEAU RECAPITULATIF - MOMENTS AUX NOEUDS:

NIVEAU	NOEUD	M_i (t/m)	M_s (t/m)	M_g (t/m)	M_d (t/m)
I	1	5,90	—	—	5,90
	2 à 6	7,37	—	3,88	3,68
	7	5,90	—	5,90	—
II	1	9,85	3,17	—	13,02
	2 à 6	12,30	3,96	8,13	8,13
	7	9,85	3,17	13,02	—
III	1	12,00	6,58	—	18,58
	2 à 6	15,00	8,22	11,61	11,61
	7	12,00	6,58	18,58	—
IV	1	12,55	9,78	—	22,33
	2 à 6	15,68	12,21	13,94	13,94
	7	12,55	9,78	22,33	—
V	1	7,37	12,55	—	19,92
	2 à 6	9,21	15,68	12,44	12,44
	7	7,37	12,55	19,92	—
FONDAIONS	1	—	10,97	—	10,97
	2 à 6	—	13,72	6,86	6,96
	7	—	10,97	10,97	—

- // / -

DIAGRAMME MOMENTS AUX NOEUDS - CHARGES
HORizontALES.



III. DETERMINATION DES MOMENTS EN TRAVEES :

• sous $\overrightarrow{SI_H}$:

$$M_t = + \frac{M_d - M_g}{2}$$

• sous $\overleftarrow{SI_H}$:

$$M_t = - \frac{M_d - M_g}{2}$$

IV. DETERMINATION DES EFFORTS TRANCHANTS : (aux appuis)

• sous $\overrightarrow{SI_H}$:

$$T = - \frac{M_d + M_g}{l}$$

l : portée de la travée
 $l = 3,90\text{m}$.

• sous $\overleftarrow{SI_H}$:

$$T = \frac{M_d + M_g}{l}$$

V. DETERMINATION DES EFFORTS NORMAUX :

$$N_t^e = T_{t,d}^e - T_{t,g}^e$$

TABLEAU - EFFORTS TRANCHANTS ET MOMENTS EN TRAVEES

NIVEAU	TRAVEE	l (m)	M_d (k.m)	M_g (k.m)	$T_{t,d}^e \overrightarrow{SI_H}$	$T_{t,g}^e \overleftarrow{SI_H}$	$M_t \overrightarrow{SI_H}$ (k.m)	$M_t \overleftarrow{SI_H}$ (k.m)
I	1-2	3,90	5,90	3,68	-2,45	2,45	1,11	-1,11
	2-3	3,90	3,68	3,68	-1,89	1,89	0	0
II	5-6	3,90	13,02	8,13	-5,42	5,42	2,44	-2,44
	6-7	3,90	8,13	8,13	-4,17	4,17	0	0
III	9-10	3,90	18,58	11,61	-7,74	7,74	3,48	-3,48
	10-11	3,90	11,61	11,61	-5,95	5,95	0	0
IV	13-14	3,90	22,33	13,94	-9,30	9,30	4,20	-4,20
	14-15	3,90	13,94	13,94	-7,15	7,15	0	0
V	17-18	3,90	19,92	12,44	-8,30	8,30	3,74	-3,74
	18-19	3,90	12,44	12,44	-6,38	6,38	0	0

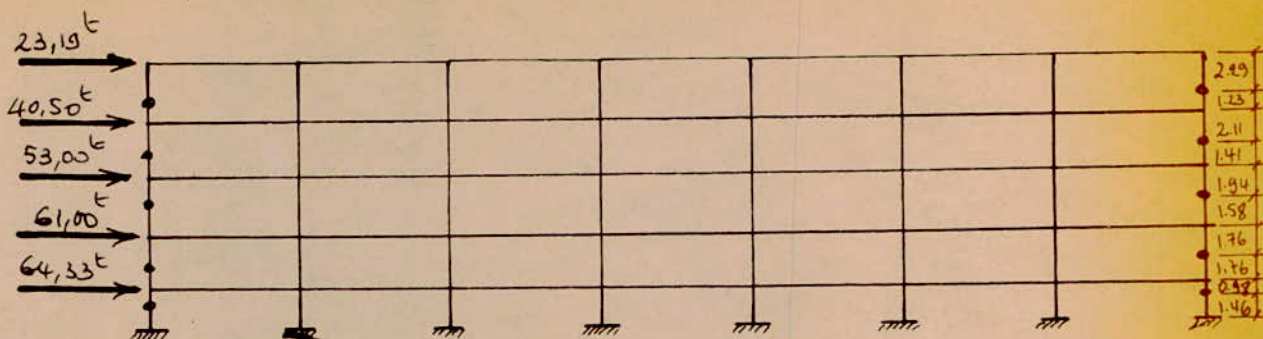
TABLEAU. EFFORTS NORMAUX DANS LES POTEAUX

file	Poteau	T_{tg} (t)	T_{td} (t)	N (tonnes)	N cumulé
1	1-5	/	-2.45	-2.45	-2.45
	5-9	/	-5.42	-5.42	-7.87
	9-13	/	-7.74	-7.74	-15.61
	13-17	/	-9.30	-9.30	-24.91
	17-21	/	-8.30	-8.30	-33.21
2	2-6	-2.45	-1.89	+0.56	+0.56
	6-10	-5.42	-4.17	+1.25	+1.81
	10-14	-7.74	-5.95	+1.79	+3.60
	14-18	-9.30	-7.15	+2.15	+5.75
	18-22	-8.30	-6.38	+1.92	+7.67
3	3-7	-1.89	-1.89	/	/
	7-11	-4.17	-4.17	/	/
	11-15	-5.95	-5.95	/	/
	15-19	-7.15	-7.15	/	/
	19-23	-6.38	-6.38	/	/
4	4-8	-1.89	-1.89	/	/
	8-12	-4.17	-4.17	/	/
	12-16	-5.95	-5.95	/	/
	16-20	-7.15	-7.15	/	/
	20-24	-6.38	-6.38	/	/
5	3'-7'	-1.89	-1.89	/	/
	7'-11'	-4.17	-4.17	/	/
	11'-15'	-5.95	-5.95	/	/
	15'-19'	-7.15	-7.15	/	/
	19'-23'	-6.38	-6.38	/	/
6	2'-6'	-1.89	-2.45	-0.56	-0.56
	6'-10'	-4.17	-5.42	-1.25	-1.81
	10'-14'	-5.95	-7.74	-1.79	-3.60
	14'-18'	-7.15	-9.30	-2.15	-5.75
	18'-22'	-6.38	-8.30	-1.92	-7.61
7	1'-5'	-2.45	/	-2.45	+2.45
	5'-9'	-5.42	/	-5.42	+7.87
	9'-13'	-7.74	/	-7.74	+15.61
	13'-17'	-9.30	/	-9.30	+24.91
	17'-21'	-8.30	/	-8.30	+33.21

PORTIQUE LONGITUDINAL III-III.

A - SEMELLES:

- L'inertie des poteaux est la même pour chaque niveau.
Poteaux de dimensions : $30 \times 60 \text{ cm}$.



1^o détermination des forces F_i par niveau:

Force totale par plancher: $F = \sum_{i=1}^7 F_i$

avec $F_i = F_7 = \frac{0.8I}{6.6I} F$

$F_2 = F_3 = \dots = F_6 = \frac{F}{6.6}$

tableau donnant F_1, \dots, F_7 pour chaque niveau.

NIVEAU	$F_1 = F_7$	$F_2 = \dots = F_6$	$\alpha h (\text{m})$	$\beta h (\text{m})$
I	2.81	3.51	2.29	1.23
II	4.90	6.13	2.11	1.41
III	6.42	8.03	1.94	1.58
IV	7.40	9.24	1.76	1.76
V	7.79	9.74	0.98	1.46

2^o - détermination des moments aux noeuds:

a - moments en tête et à la base des poteaux:

à la tête: $F = \alpha h$

à la base: $F = \beta h$

b - moments dans des poutres:

• $I_g = I_d \quad \left\{ \begin{array}{l} \Rightarrow K_d = K_g \\ I_g = I_d \end{array} \right.$

• travées de rive: $M_g = M_d = M_s + M_f$

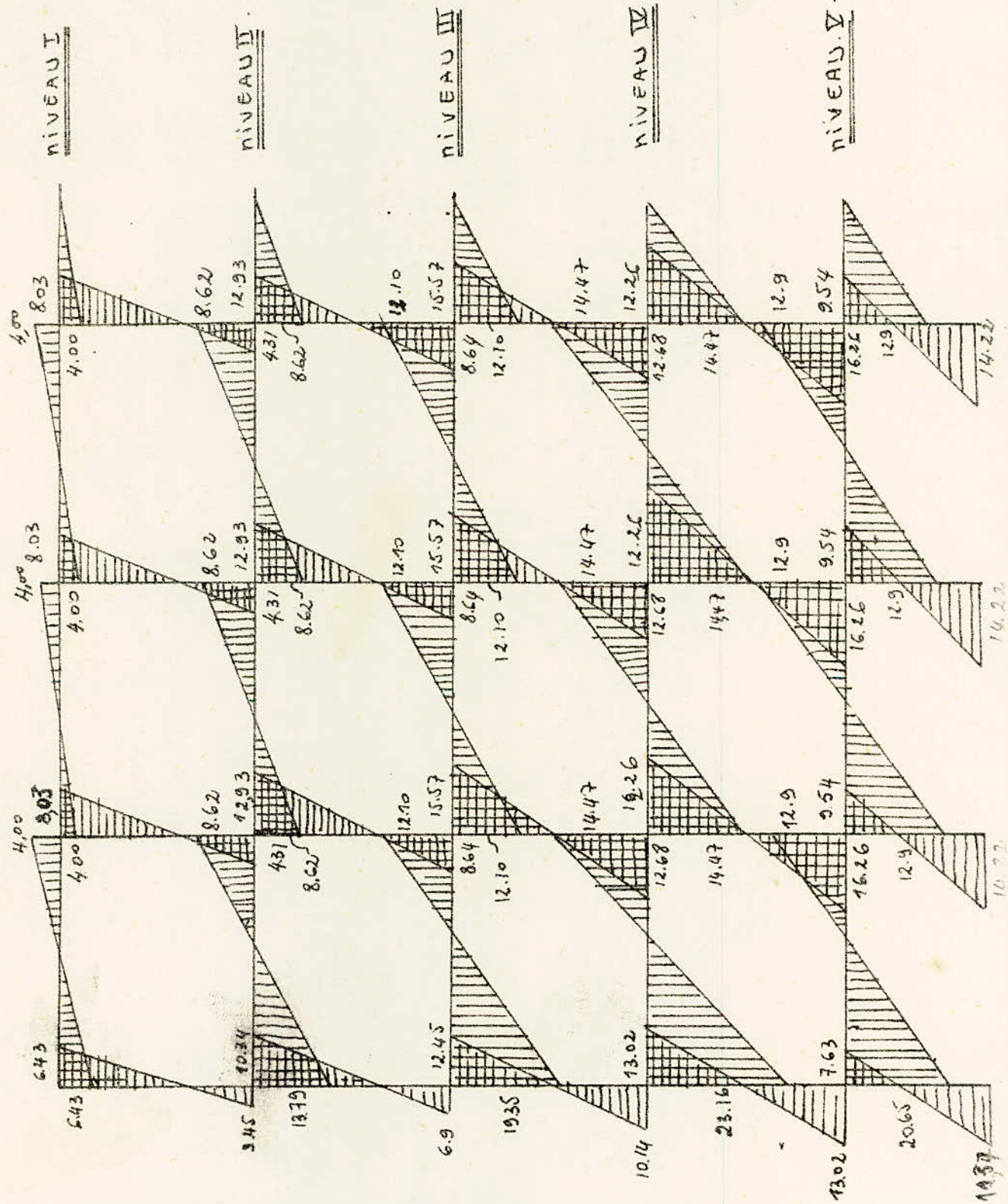
• travées intermédiaires: $M_g = M_d = \frac{M_s + M_f}{2}$

MOMENTS AUX NOEUDS - TABLEAU RECAPITULATIF:

Moments exprimés en t.m.

NIVEAU	NOEUD	M_i (t)	M_s (t)	M_g (t)	M_d (t)
I	1	6.43	/	/	6.43
	2 à 6	8.03	/	4.00	4.00
	7	6.43	/	6.43	/
II	1	10.34	3.45	/	13.79
	2 à 6	12.93	4.31	8.62	8.62
	7	10.34	3.45	13.79	/
III	1	12.45	6.90	/	19.35
	2 à 6	15.57	8.64	12.10	12.10
	7	12.45	6.90	19.35	/
IV	1	13.02	10.14	/	23.16
	2 à 6	16.26	12.68	14.47	14.47
	7	13.02	10.14	23.16	/
V	1	7.63	13.02	/	20.65
	2 à 6	9.54	16.26	12.90	12.90
	7	7.63	13.02	20.65	/
FONDACTIONS	1	/	11.37	/	11.37
	2 à 6	/	14.22	14.22	14.22
	7	/	11.37	11.37	/

DIAGRAMME MOMENTS AUX NOEUDS -
FORCES HORIZONTALES



3^e- détermination des moments en travées

- sous $\overrightarrow{SI_H}$: $M_t = \frac{M_{di} - M_{gi+1}}{2}$

- sous $\overleftarrow{SI_H}$: $M_t = -\frac{M_{di} - M_{gi+1}}{2}$

4^e- détermination des efforts normaux:

- sous $\overrightarrow{SI_H}$: $T = -\frac{M_{di} + M_{gi+1}}{l}$

- sous $\overleftarrow{SI_H}$: $T = \frac{M_{di} + M_{gi+1}}{l}$

5^e- détermination des efforts normaux dans les poteaux:

$$N_i^o = T_{id} - T_{ig}$$

$N_i^o > 0 \longrightarrow$ poteau comprimé
 $N_i^o < 0 \longrightarrow$ tendu.

Tableau donnant - efforts tranchants - moments entravés:

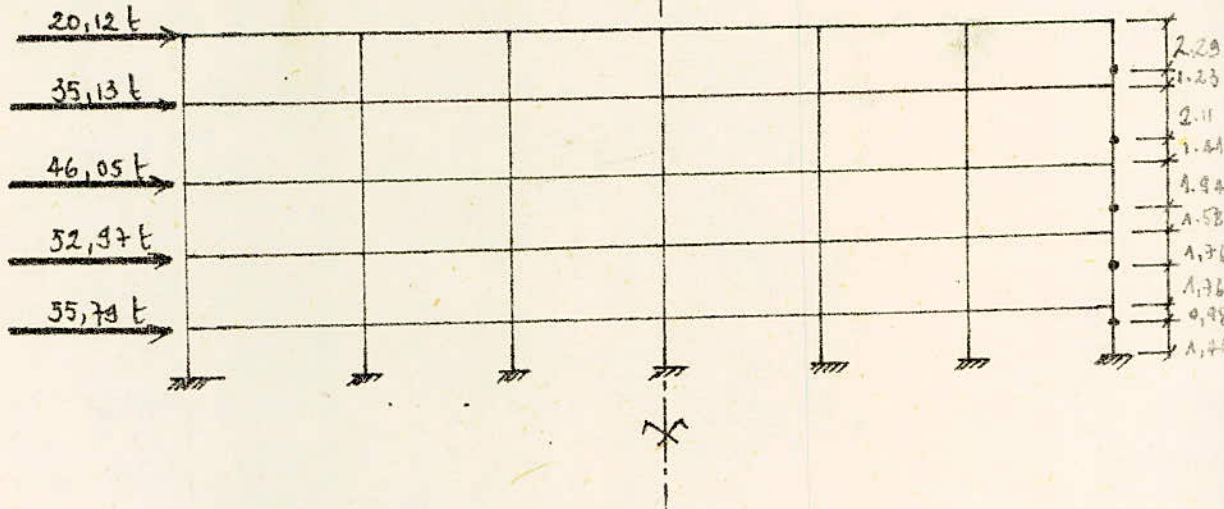
NIVEAU	TRAVERS	l (m)	M_d (kNm)	M_g (kNm)	$T_{(H)} (\overrightarrow{SI_H})$	$T_{(H)} (\overleftarrow{SI_H})$	$M_t (\overrightarrow{SI_H})$ (kNm)	$M_t (\overleftarrow{SI_H})$ (kNm)
I	1-2	3.90	6.43	4.00	-2.67	2.67	1.21	-1.21
	2-3	3.90	4.00	4.00	-2.05	2.05	0	0
II	5-6	3.90	13.79	8.62	-5.74	5.74	2.58	-2.58
	6-7	3.90	8.62	8.62	-4.42	4.42	0	0
III	9-10	3.90	19.35	12.10	-8.06	8.06	3.62	-3.62
	10-11	3.90	12.10	12.10	-6.20	6.20	0	0
IV	13-14	3.90	23.16	14.47	-9.65	9.65	4.34	-4.34
	14-15	3.90	14.47	14.47	-7.42	7.42	0	0
V	17-18	3.90	20.65	12.90	-8.60	8.60	3.87	-3.87
	18-19	3.90	12.90	12.90	-6.61	6.61	0	0

EFFORTS NORMAUX - TABLEAU RECAPITULATIF:

FILE	POTEAU	T _g (t)	T _{id} (t)	N (t)	N cumulé
1	1-5	/	-2.67	-2.67	-2.67
	5-9	/	-5.74	-5.74	-8.41
	9-13	/	-8.06	-8.06	-16.47
	13-17	/	-9.65	-9.65	-26.12
	17-21	/	-8.60	-8.60	-34.72
2	2-6	-2.67	-2.05	0.62	0.62
	6-10	-5.74	-4.42	1.32	1.32
	10-14	-8.06	-6.20	1.86	3.80
	14-18	-9.65	-7.42	2.23	5.66
	18-22	-8.60	-6.61	1.99	7.65
3	3-7	-2.05	-2.05	/	/
	7-11	-4.42	-4.42	/	/
	11-15	-6.20	-6.20	/	/
	15-19	-7.42	-7.42	/	/
	19-23	-6.61	-6.61	/	/
4	4-8	-2.05	-2.05	/	/
	8-12	-4.42	-4.42	/	/
	12-16	-6.20	-6.20	/	/
	16-20	-7.42	-7.42	/	/
	20-24	-6.61	-6.61	/	/
5	3'-7'	-2.05	-2.05	/	/
	7'-11'	-4.42	-4.42	/	/
	11'-15'	-6.20	-6.20	/	/
	15'-19'	-7.42	-7.42	/	/
	19'-23'	-6.65	-6.65	/	/
6	2'-6'	-2.05	-2.67	-0.62	-0.62
	6'-10'	-4.42	-5.74	-1.32	-1.32
	10'-14'	-6.20	-8.06	-1.86	-3.80
	14'-18'	-7.42	-9.65	-2.23	-5.66
	18'-21'	-6.61	-8.60	-1.99	-7.65
7	1'-5'	-2.67	/	2.67	2.67
	5'-9'	-5.74	/	5.74	8.41
	9'-13'	-8.06	/	8.06	16.47
	13'-17'	-9.65	/	9.65	26.12
	17'-21'	-8.60	/	8.60	34.72

(B)

RADIER GENERAL

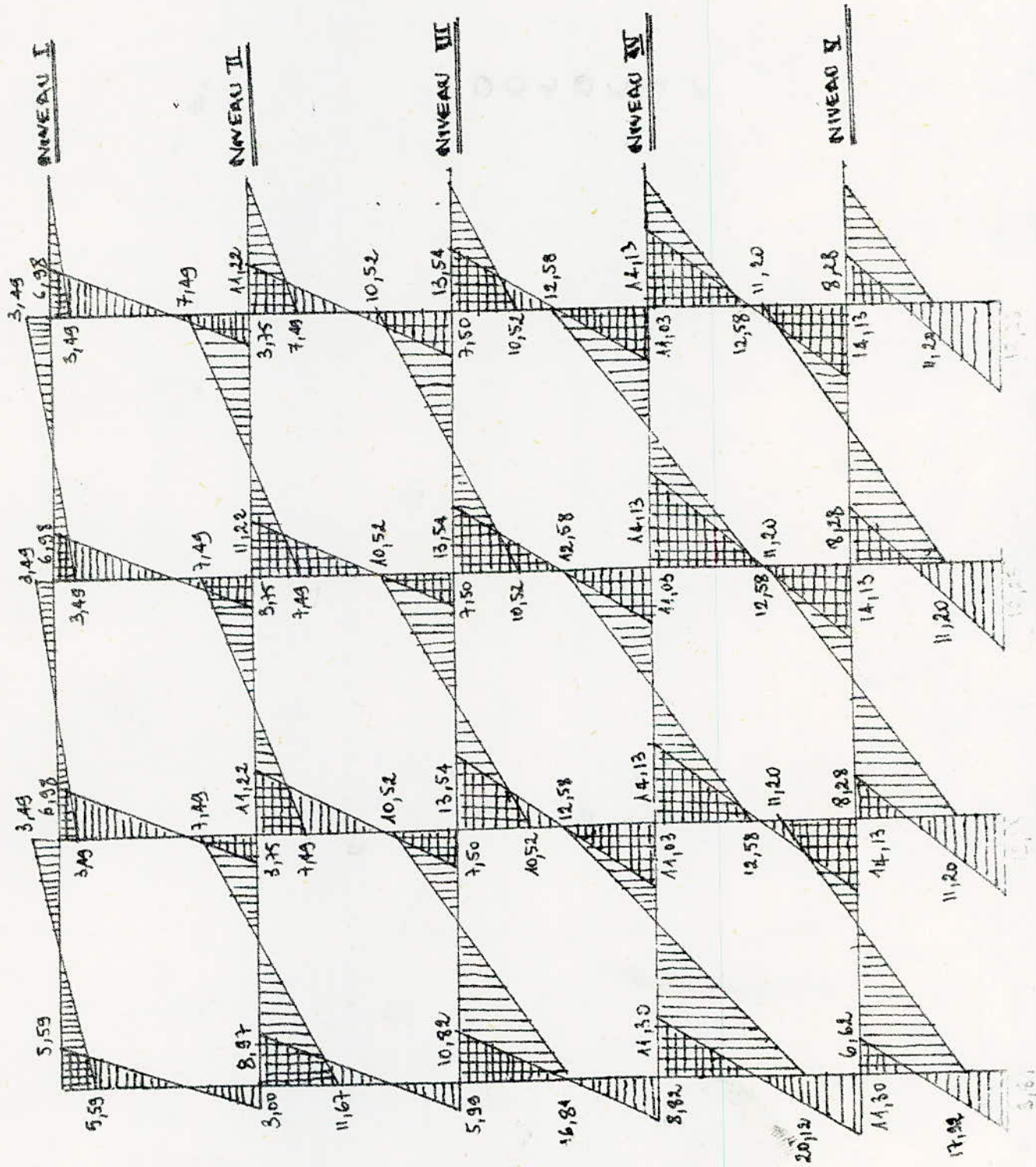
I. FORCES F_1, \dots, F_7 . — TABLEAU. ($F_i \rightarrow$ en tonnes)

NIVEAU	$F_1 = F_7$	$F_2 = \dots = F_6$	d.h	b.h
I	2,14	3,05	2,29	1,23
II	4,45	5,32	2,11	1,41
III	5,58	6,98	1,94	1,58
IV	6,42	8,03	1,76	1,76
V	6,76	8,45	0,98	1,46

II. MOMENTS AUX NOEUDS - TABLEAU RECAPITULATIF:

NIVEAU	NOEUD	M_i (t)	M_s (t)	M_g (t)	M_d (t)
I	1	5,59	—	—	5,59
	2 à 6	6,98	—	3,49	3,49
	7	5,59	—	5,59	—
II	1	8,97	3,00	—	11,67
	2 à 6	11,22	3,75	7,49	7,49
	7	8,97	3,00	11,67	—
III	1	10,82	5,99	—	16,81
	2 à 6	13,54	7,50	10,52	10,52
	7	10,82	5,99	16,81	—
IV	1	11,30	8,82	—	20,12
	2 à 6	14,13	11,03	12,58	12,58
	7	11,30	8,82	20,12	—
V	1	6,62	11,30	—	17,92
	2 à 6	8,28	14,13	11,20	11,20
	7	6,62	11,30	17,92	—
FONDRONS	1	—	9,87	—	9,87
	2 à 6	—	12,33	6,16	6,16
	7	—	9,87	9,87	—

**DIAGRAMME - MOMENTS AUX NOEUDS
FORCES HORIZONTALES.**



III. TABLEAU RECAPITULATIF - EFFORTS TRANCHANTS / MOMENTS EN TRAVEES.

NIVEAU	TRAVEE	$l(m)$	M_d (t.m)	M_g (t.m)	$T_{(L)} \xrightarrow{SI_H}$	$T_{(L)} \xleftarrow{SI_H}$	M_e (t.m) $\xleftrightarrow{SI_H}$	M_L (t.m) $\xleftrightarrow{SI_H}$
I	1-2	3,90	5,59	3,49	-2,32	2,32	1,05	-1,05
	2-3	3,90	3,49	3,49	-1,79	1,79	0	0
II	5-6	3,90	11,67	7,49	-4,91	4,91	2,09	-2,09
	6-7	3,90	7,49	7,49	-3,84	3,84	0	0
III	9-10	3,90	16,81	10,52	-7,00	7,00	3,14	-3,14
	10-11	3,90	10,52	10,52	-5,39	5,39	0	0
IV	13-14	3,90	20,12	12,58	-8,38	8,38	3,77	-3,77
	14-15	3,90	12,58	12,58	-6,45	6,45	0	0
V	17-18	3,90	17,92	11,20	-7,47	7,47	3,36	-3,36
	18-19	3,90	11,20	11,20	-5,74	5,74	0	0

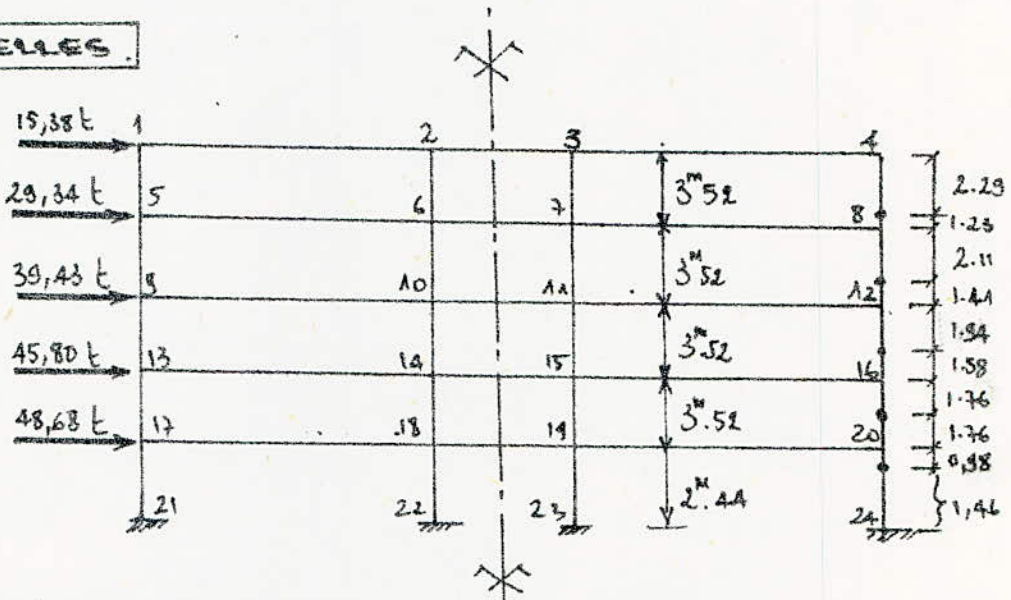
III. EFFORTS NORMAUX - TABLEAU RECAPITULATIF

FILE	POTEAU	T_{ig} (t)	T_{id} (t)	T_N (t)	N cumulé
1	1-5	/	-2.32	-2.32	-2.32
	5-9	/	-4.91	-4.91	-7.23
	9-13	/	-7.00	-7.00	-14.23
	13-17	/	-8.38	-8.38	-22.61
	17-21	/	-7.47	-7.47	-30.08
2	2-6	-2.32	-1.79	0.53	+0.53
	6-10	-4.91	-3.84	1.07	1.60
	10-14	-7.00	-5.39	1.61	3.21
	14-18	-8.38	-6.45	1.93	5.14
	18-22	-7.47	-5.74	1.73	6.87
3	3-7	-1.79	-1.79	/	/
	7-11	-3.84	-3.84	/	/
	11-15	-5.39	-5.39	/	/
	15-19	-6.45	-6.45	/	/
	19-23	-5.74	-5.74	/	/
4	4-8	-1.79	-1.79	/	/
	8-12	-3.84	-3.84	/	/
	12-16	-5.39	-5.39	/	/
	16-20	-6.45	-6.45	/	/
	20-24	-5.74	-5.74	/	/
5	3'-7'	-1.79	-1.79	/	/
	7'-11'	-3.84	-3.84	/	/
	11'-15'	-5.39	-5.39	/	/
	15'-19'	-6.45	-6.45	/	/
	19'-23'	-5.74	-5.74	/	/
6	2'-6'	-1.79	-2.32	-0.53	-0.53
	6'-10'	-3.84	-4.91	-1.07	-1.60
	10'-14'	-5.39	-7.00	-1.61	-3.21
	14'-18'	-6.45	-8.28	-1.93	-5.14
	18'-21'	-5.74	-7.47	-1.73	-6.87
7	1'-5'	-2.32	/	2.32	2.32
	5'-9'	-4.91	/	4.91	7.23
	9'-13'	-7.00	/	7.00	14.23
	13'-17'	-8.38	/	8.38	22.61
	17'-21'	-7.47	/	7.47	30.08

IV. 23

PORTIQUE · TRANSVERSAL . II-II

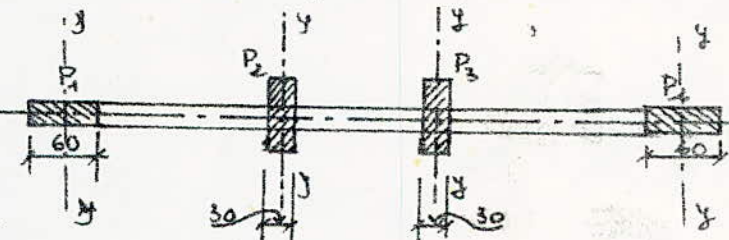
(A) **SEMELLES.**



I. DÉTERMINATION DES FORCES F_1, F_2, F_3, F_4 PAR NIVEAU.

- L'inertie des poteaux (poteaux) est variable, dans un même portique.
- L'inertie des poteaux de rive est plus grande que celle des poteaux intermédiaires.

Vue en plan:



$$\left\{ I_1 = I_4 \text{ (par rapport à } y-y\text{).} \right.$$

$$I_2 = I_3 \text{ (par rapport à } y-y\text{).}$$

$$F = F_1 + F_2 + F_3 + F_4$$

$$F_1 = \frac{0,8 I_1}{0,8 I_1 + I_2 + I_3 + I_4 + 0,8} \cdot F = F_4$$

$$F_2 = \frac{0,8 I_2 \cdot F}{0,8 I_1 + I_2 + I_3 + I_4 + 0,8} = F_3$$

$$\left. \begin{array}{l} F = 2F_1 + 2F_3 \\ F = 2(0,8 \cdot I_1 + I_3) \cdot \frac{F}{16I_1 + 2I_3} \end{array} \right\}$$

$$\left. \begin{array}{l} I_1 = \frac{30 \cdot 60^3}{12} = \\ I_2 = \frac{60 \cdot 30^3}{12} = \end{array} \right\} \Rightarrow \frac{I_1}{I_2} = \frac{\frac{30 \cdot 60^3}{12}}{\frac{60 \cdot 30^3}{12}} = \left(\frac{60}{30} \right)^2 = 4$$

$$\Rightarrow I_1 = 4 I_2$$

$$F_1 = F_4 = 0,38 \cdot F$$

$$F_2 = F_3 = 0,12F$$

-IV.25-

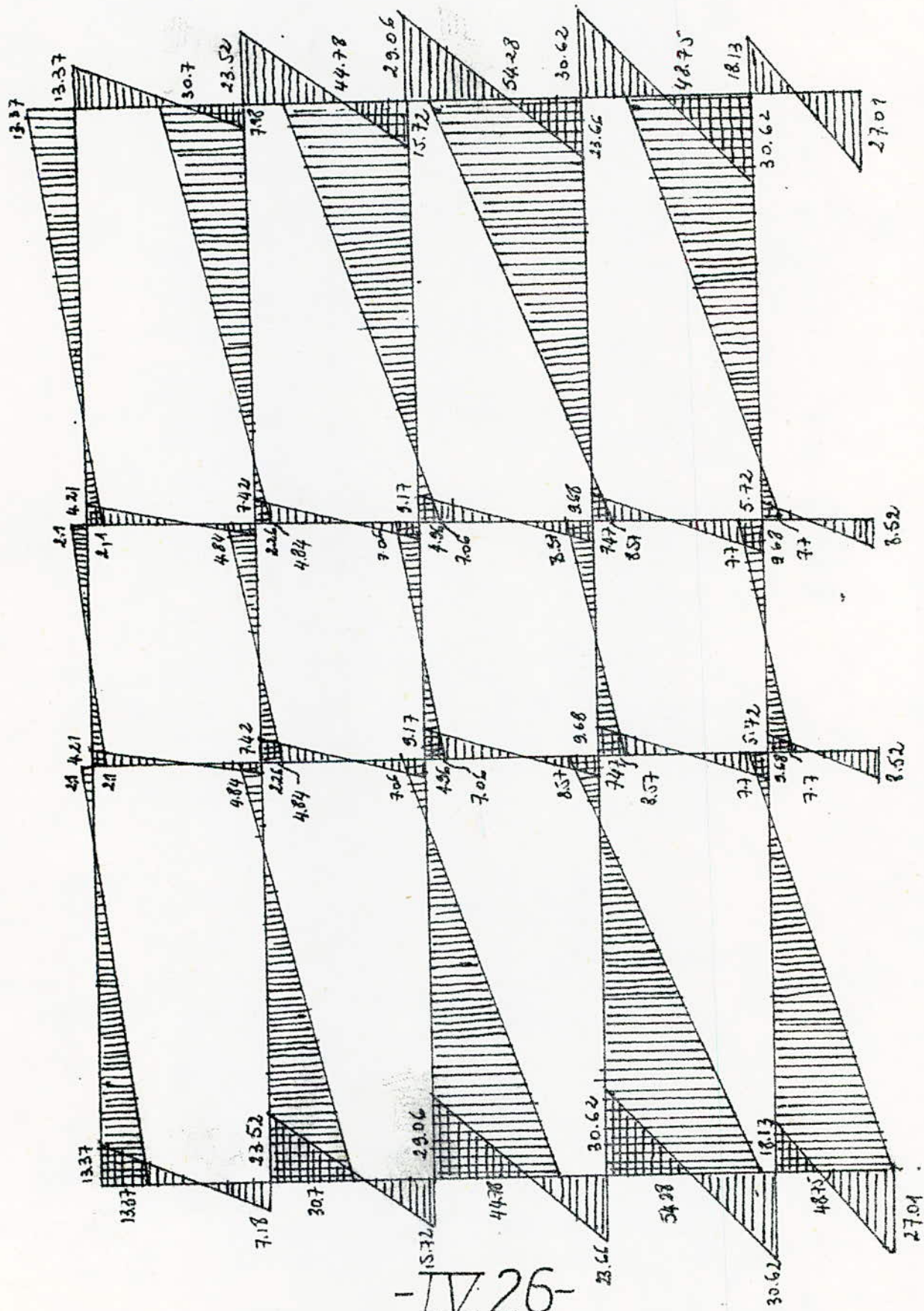
~~XX.~~ - TABLEAU RECAPITULATIF - FORCES PAR NIVEAU:

NIVEAU	$F_1 = F_4$ (H)	$F_2 = F_3$ (H)	$\alpha \cdot L$ (m)	$\alpha \cdot h$ (m)	$\beta \cdot h$ (m)
I	5,84	1,84	3,52	2,23	1,23
II	11,15	3,52	3,52	2,81	1,41
III	14,98	4,73	3,52	1,94	1,58
IV	17,40	5,50	3,52	1,76	1,76
V	18,50	5,84	3,52	0,98	1,46

II. MOMENTS AUX NOEUDS - TABLEAU:

NIVEAU	NOEUD	M_T (t.m)	M_S (t.m)	M_B (t.m)	M_d (t.m)
I	1	13,38	—	—	13,38
	2 et 3	4,21	—	2,10	2,10
	4	13,38	—	13,38	—
II	1	23,53	7,18	—	30,71
	2 et 3	7,143	2,26	4,84	4,84
	4	23,53	7,18	30,71	—
III	1	29,06	15,72	—	44,78
	2 et 3	9,17	4,96	7,06	7,06
	4	29,06	15,72	44,78	—
IV	1	30,62	23,67	—	54,29
	2 et 3	9,68	7,47	8,57	8,57
	4	30,62	23,67	54,29	—
V	1	18,13	30,62	—	48,75
	2 et 3	5,72	9,68	7,70	7,70
	4	18,13	30,62	48,75	—

DIAGRAMME MOMENTS AUX NOEUDS
FORCES HORIZONTALES



- 26 -

III. MOMENTS EN TRAVEES . EFFORTS TRANCANTS - TABLEAU

NIVEAU	TRAVEE	$l(m)$	M_d (t.m)	M_g (t.m)	$T(E) \rightarrow SI_H$	$T(H) \leftarrow SI_H$	M_t (t.m) $\rightarrow SI_H$	M_t (t.m) $\leftarrow SI_H$
I	1-2	6,75	13,38	2,10	-2,29	2,29	5,64	-5,64
	2-3	2,25	2,10	2,10	-1,87	1,87	0	0
	3-4	6,75	2,10	13,38	-2,29	2,29	-5,64	5,64
II	5-6	6,75	30,71	4,84	-5,27	5,27	12,93	-12,93
	6-7	2,25	4,84	4,84	-4,30	4,30	0	0
	7-8	6,75	4,84	30,71	-5,27	5,27	-12,93	12,93
III	9-10	6,75	44,78	7,06	-7,68	7,68	18,86	-18,86
	10-11	2,25	7,06	7,06	-6,27	6,27	0	0
	11-12	6,75	7,06	44,78	-7,68	7,68	-18,86	18,86
IV	13-14	6,75	54,29	8,57	-9,31	9,31	22,86	-22,86
	14-15	2,25	8,57	8,57	-7,62	7,62	0	0
	15-16	6,75	8,57	54,29	-9,31	9,31	-22,86	22,86
V	17-18	6,75	48,75	7,70	-8,36	8,36	20,52	-20,52
	18-19	2,25	7,70	7,70	-6,84	6,84	0	0
	19-20	6,75	7,70	48,75	-8,36	8,36	-20,52	20,52

IV EFFORTS NORMAUX - TABLEAU RECAPITULATIF :

FILE	POTEAU	T_{ig} (t)	T_{id} (t)	N (tonnes)	N cumulé
1	1 - 5	/	-2.29	-2.29	-2.29
	5 - 9	/	-5.27	-5.27	-7.56
	9 - 13	/	-7.68	-7.68	-15.24
	13 - 17	/	-9.31	-9.31	-24.55
	17 - 21	/	-8.36	-8.36	-32.91
2	2 - 6	-2.29	-1.87	0.42	0.42
	6 - 10	-5.27	-4.30	0.97	1.39
	10 - 14	-7.68	-6.27	1.41	2.80
	14 - 18	-9.31	-7.62	1.69	4.49
	18 - 22	-8.36	-6.84	1.52	6.01
3	3 - 7	-1.87	-2.29	-0.42	-0.42
	7 - 11	-4.30	-5.27	-0.97	-1.39
	11 - 15	-6.27	-7.68	-1.41	-2.80
	15 - 19	-7.62	-9.31	-1.69	-4.49
	19 - 23	-6.84	-8.36	-1.52	-6.01
4	4 - 8	-2.29	/	2.29	2.29
	8 - 12	-5.27	/	5.27	7.56
	12 - 16	-7.68	/	7.68	15.24
	16 - 20	-9.31	/	9.31	24.55
	20 - 24	-8.36	/	8.36	32.91

⑧ RADIER. GENERAL :

I. DETERMINATION FORCES F_1, F_2, F_3, F_4 - TABLEAU RECAPITULATIF :

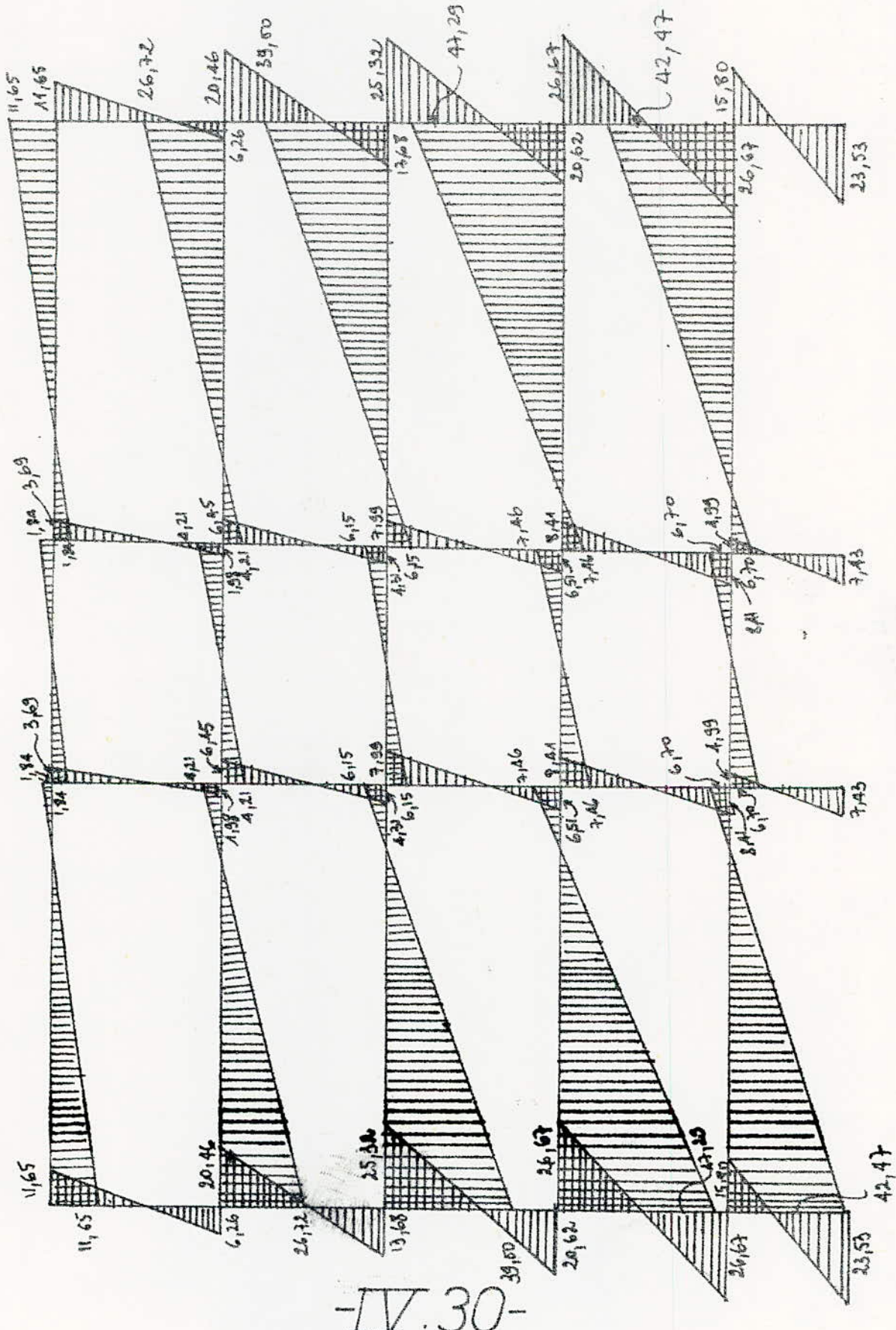
NIVEAU	$F_1 = F_4$ (t)	$F_2 = F_3$ (t)	Δh (m)	$\beta \cdot h$ (m)
I	5,00	1,61	2,29	1,23
II	9,70	3,06	2,11	1,11
III	13,05	4,12	1,94	1,58
IV	15,15	4,78	1,76	1,76
V	16,12	5,09	0,98	1,46

II. MOMENTS AUX NOEUDS - TABLEAU RECAPITULATIF

NIVEAU	NOEUD	M_i (t.m)	M_s (t.m)	M_g (t.m)	M_d (t.m)
I	1	11,65	—	—	11,65
	2 et 3	3,69	—	1,845	1,84
	4	11,65	—	11,65	—
II	1	20,46	6,26	—	26,72
	2 et 3	6,45	1,98	4,21	4,21
	4	20,46	6,26	26,72	—
III	1	25,32	13,68	—	39,50
	2 et 3	7,99	4,31	6,15	6,15
	4	25,32	13,68	39,50	—
IV	1	26,67	20,62	—	47,29
	2 et 3	8,41	6,51	7,46	7,46
	4	26,67	20,62	47,29	—
V	1	15,80	26,67	—	42,47
	2 et 3	4,99	8,41	6,70 V3,600	6,70 V3,60
	4	15,80	26,67	42,47	—
FONATIONS	1	—	23,53	—	23,53
	2 et 3	—	7,43	3,71	3,71
	4	—	23,53	23,53	—

IV. 29

DIAGRAMME MOMENTS AUX NOEUDS. FORCES
HORizontALES. — FONDATION: RADIER



III - EFFORTS TRANCHANTS - MOMENTS EN TRAVEES - TABLEAU RÉCAPITULATIF

NIVEAU	TRAVEE	l (m)	M_d (kNm)	M_g (kNm)	$T(h) \rightarrow SI_H$	$T(h) \leftarrow SI_H$	M_E (kNm) $\rightarrow SI_H$	M_E (kNm) $\leftarrow SI_H$
I	1-2	6,75	11,65	1,84	-2,00	2,00	4,90	-4,90
	2-3	2,25	1,84	1,84	-1,63	1,63	0	0
	3-4	6,75	1,84	11,65	-2,00	2,00	-4,90	4,90
II	5-6	6,75	26,72	4,21	-4,58	4,58	11,25	-11,25
	6-7	2,25	4,21	4,21	-3,74	3,74	0	0
	7-8	6,75	4,21	26,72	-4,58	4,58	-11,25	11,25
III	9-10	6,75	39,00	6,15	-6,69	6,69	16,42	-16,42
	10-11	2,25	6,15	6,15	-5,46	5,46	0	0
	11-12	6,75	6,15	39,00	-6,69	6,69	-16,42	16,42
IV	13-14	6,75	47,29	7,46	-8,11	8,11	19,91	-19,91
	14-15	2,25	7,46	7,46	-6,63	6,63	0	0
	15-16	6,75	7,46	47,29	-8,11	8,11	-19,91	19,91
V	17-18	6,75	42,47	6,70	-7,28	7,28	17,88	-17,88
	18-19	2,25	6,70	6,70	-5,95	5,95	0	0
	19-20	6,75	6,70	42,47	-7,28	7,28	-17,88	17,88

IV. EFFORTS NORMAUX SANS LES POTEAUX - TABLEAU RECAPITULATIF:

FILE	POTEAU	T_{ig} (t)	T_{id} (t)	N (tonnes)	N cumulé
1	1-5	/	-2.00	-2.00	-2.00
	5-9	/	-4.58	-4.58	-6.58
	9-13	/	-6.69	-6.69	-13.27
	13-17	/	-8.11	-8.11	-21.38
	17-21	/	-7.28	-7.28	-28.66
2	2-6	-2.00	-1.63	0.37	0.37
	6-10	-4.58	-3.74	0.84	1.21
	10-14	-6.69	-5.46	1.23	2.44
	14-18	-8.11	-6.63	1.48	3.92
	18-22	-7.28	-5.95	1.33	5.25
3	3-7	-1.63	-2.00	-0.37	-0.37
	7-11	-3.74	-4.58	-0.84	-1.21
	11-15	-5.46	-6.69	-1.23	-2.44
	15-19	-6.63	-8.11	-1.48	-3.92
	19-23	-5.95	-7.28	-1.33	-5.25
4	4-8	-2.00	/	2.00	2.00
	8-12	-4.58	/	4.58	6.58
	12-16	-6.69	/	6.69	13.27
	16-20	-8.11	/	8.11	21.38
	20-24	-7.28	/	7.28	28.66

METHODE de CALCUL
pour la
determination des efforts
sous les
CHARGES-VERTICALES.

charges verticales

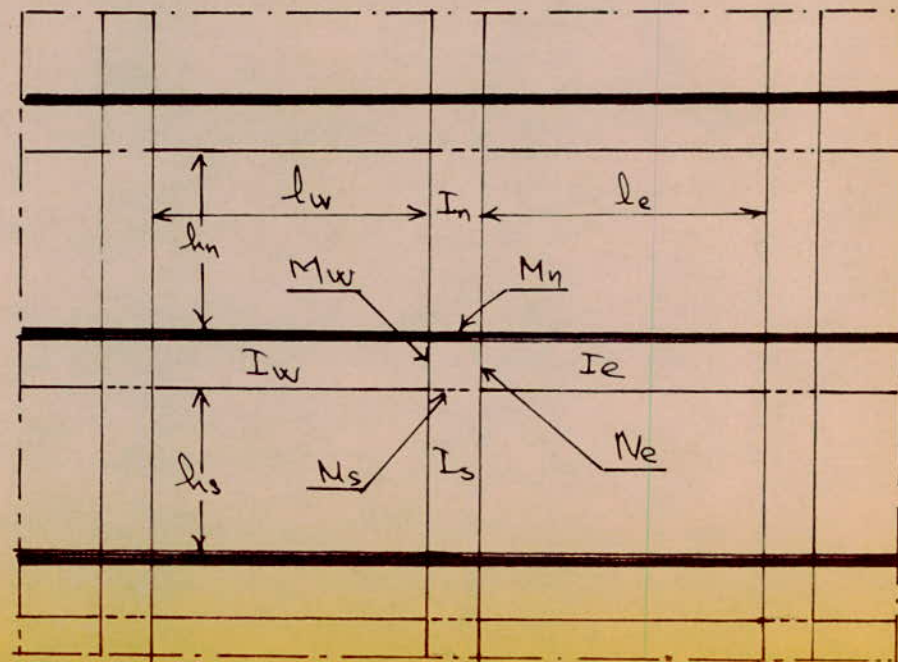
Le calcul des efforts dans les portiques sous les charges verticales se fait par la méthode de Cagnot en annexe A du C.C.B.A. 68. Cette méthode s'applique essentiellement à des éléments de planchers constitués de nervures et de boulins associées à des hourdis ; (applicable dans notre cas).

Les portiques constituant l'ossature sont soumis à :

- leur poids propre
- le poids propre des planchers qui les supportent
- surcharges d'exploitation transmises par les planchers
- surcharges sismiques

PRINCIPE de la METHODE: Le principe de la méthode consiste à choisir un nœud et à déterminer les moments agissant sur les éléments à gauche et à droite en haut et en bas des poteaux en fonction de l'état des charges et des caractéristiques des 2 travées encadrant ces nœuds par la relation des 3 moments.

Afin de tenir compte de la non continuité au droit des nœuds entourant le nœud considéré, on remplace les portées et les hauts murs réels par ceux appuis par des hauts murs et des portées fictives.



• hautens fictives des poteaux:

- $h_n = 0,9 h_n$ si le nœud considéré appartient à l'avant-dernière planche . h_n : hauteur libre
- $h_n = 0,8 h_n$ dans les autres cas
- $h_s = 0,8 h_s$ sauf niveau fondations ($h_s = h_s$)

• travées fictives des portes:

- * travées intermédiaires . $l'w = 0,8 l_w$
 $l'e = 0,8 l_e$

avec: $l'w$: portée libre de la travée gauche
 l_e : " " " " droite.

soit q_w : charge uniformément répartie sur la travée gauche

q_e : " " " " sur la travée droite

Q_w : charge concentrée appliquée sur la travée gauche
à la distance a_w du nez de l'appui

Q_e et a_e : pour la travée de droite

on pose:

$$M'_w = \frac{q_w \cdot l'w^2}{8,5} + l'w \cdot 2 K_w Q_w$$

$$M'_e = \frac{q_e \cdot l'e^2}{8,5} + l'e \cdot 2 K_e Q_e$$

les valeurs de K (K_w, K_e) étant données (portes à sections constantes), par l'échelle fonctionnelle en fonction de $\frac{q_w}{l'w}$ et $\frac{q_e}{l'e}$

I_w, I_e, I_s et I_n désignent respectivement les moments d'inertie de la travée de gauche, de la travée de droite, du bâche inférieur et du bâche supérieur.

on pose:

$$K_w = \frac{I_w}{l'w}$$

$$K_e = \frac{I_e}{l'e}$$

$$K_s = \frac{I_s}{h_s}$$

$$K_n = \frac{I_n}{h_n}$$

on pose : $D = K_w + K_e + K_s + K_n$

d'après l'article (A_{11,12}) du CCBA.68 les moments dans les sections dangereuses (nœuds de l'appui) sont en valeur absolue

- au nœud de l'appui dans la travée de gauche :

$$M_w = M'_e \cdot \frac{K_w}{D} + M'_w \left(1 - \frac{K_w}{D}\right)$$

- au nœud de l'appui dans la travée de droite

$$M_e = M'_e \left(1 - \frac{K_e}{D}\right) + M'_w \frac{K_e}{D}$$

- au nœud inférieur des poutres dans le poteau inférieur :

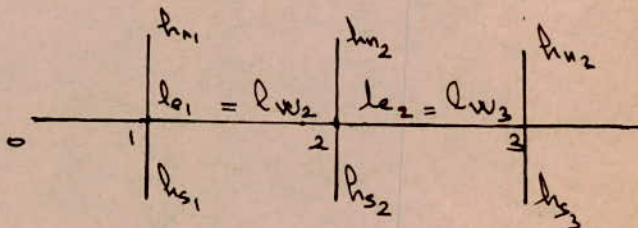
$$M_s = \frac{K_s}{D} (M'_e - M'_w)$$

- au nœud supérieur du poutre dans le poteau supérieur :

$$M_n = \frac{K_n}{D} (M'_e - M'_w)$$

Remarque :

- . Pour les traverses, les moments M_e, M_w sont négatifs.
 - . Pour les poteaux, la face tendue du triangle supérieur est du côté correspondant à la plus grande des 2 valeurs absolues M'_e ou M'_w .
 - . La face tendue du triangle inférieur est du côté opposé.
- * travées de rive: on utilisera les conventions de la figure ci-dessous :



Dans notre cas.. $l_{w1} = 0$; $M_{w1} = 0$ (pas de console), on aura les formules suivantes:

- nœud de rive (pas de console):

$$M_{s1} = M'_e \cdot \frac{K_{s1}}{D_1}$$

$$M_{n1} = M'_e \cdot \frac{K_{n1}}{D_1}$$

$$M_{ei} = M'_{ei} \left(1 - \frac{K_{ei}}{D_i}\right)$$

- nœud voisin de rive:

la longueur l_{nv2} de la travée fictive de rive est prise égale à $x_1 \cdot l_{nv2}$ x_1 : coefficient compris entre 0,8 et 1

$$x_1 = 0,8 \quad \text{pour } K_{s1} + K_{n1} \geq 1,5 K_{e1}$$

$$x_1 = 1 - \frac{K_{s1} + K_{n1}}{7,5 K_{e1}} \quad \text{pour } K_{s1} + K_{n1} < 1,5 K_{e1}$$

* Moments en travée des poutres:

on tracera la courbe des moments de la travée indépendante de portée l avec les charges permanentes, puis avec les charges permanentes et les surcharges.

On prendra comme ligne de fermeture:

- pour les moments positifs, celle qui joint les moments d'appuis minimaux en valeur absolue
- pour les moments négatifs, celle qui joint les moments d'appuis maximaux en valeur absolue

* Effets tranchants dans les poutres:

Ils sont calculés suivant la méthode générale applicable aux poutres continues, en faisant état des moments de continuité. Ainsi sur une travée ($i-1, i$) ces effets tranchants sont donnés par les relations suivantes:

$$T_{i-1,e} = q \cdot \frac{l}{2} + \frac{M_{i-1,e} - M_{i,w}}{l}$$

$$T_{i,w} = -q \cdot \frac{l}{2} + \frac{M_{i-1,e} - M_{i,w}}{l}$$

$M_{i-1,e}$ et $M_{i,w}$
sont en valeur absolue

* Moments dans les poteaux: on admet que les points de moment nul dans les poteaux se trouvent à l'in au dessus des planchers et à l'h au dessous du niveau inférieur des poutres.

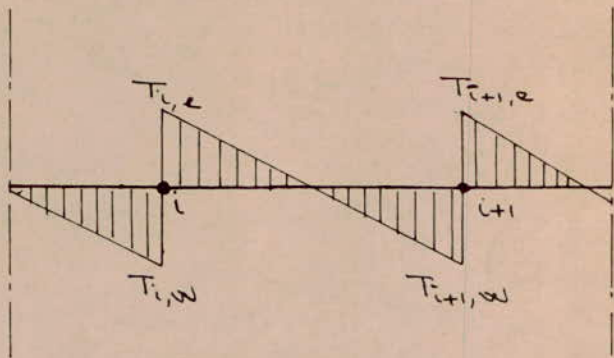
* Efforts tranchants dans les poteaux et efforts normaux dans les portes:

Par simplification, on négligera dans les calculs les efforts tranchants dans les poteaux et les efforts normaux dans les portes.

* Efforts normaux dans les poteaux:

Les efforts normaux dans les poteaux sont engendrés par les efforts tranchants dans les portes.

Ainsi pour des charges verticales uniformément réparties, trouvant des efforts tranchants schématisés dans le diagramme ci-dessous :



Les réactions développées dans les appuis (i) et ($i+1$) donnent des efforts de compression dans les poteaux dont les valeurs sont

$$N_i = T_{i,e} - T_{i,N}$$

$$N_{i+1} = T_{i+1,e} - T_{i+1,N}$$

* Les efforts tranchants sont en valeurs algébriques.

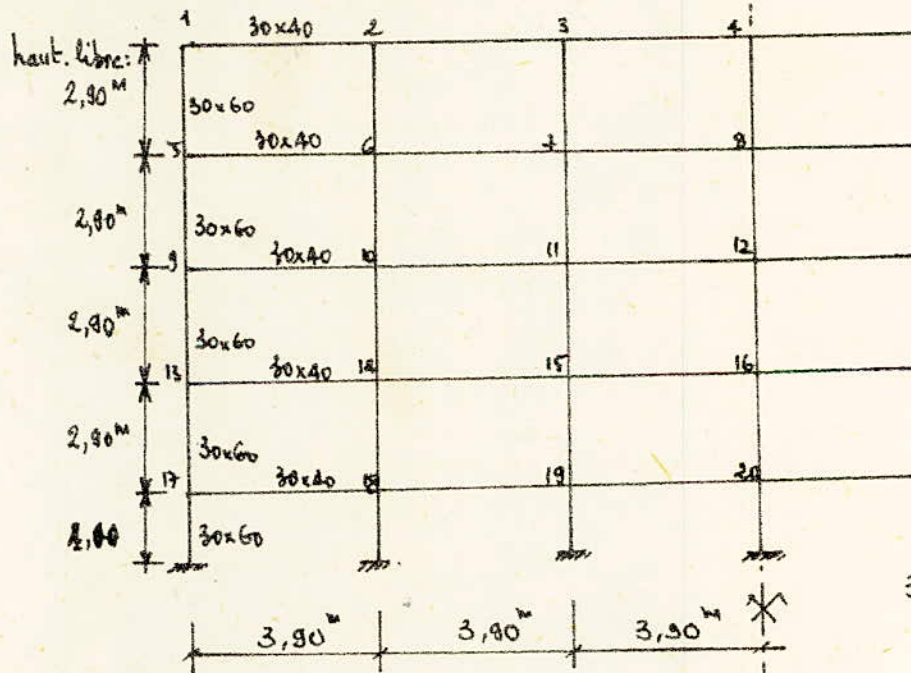
PORTIQUE LONGITUDINAL I-I

I. TABLEAU RECAPITULATIF DES CHARGES VERTICALES:

(Par m/l)

NIVEAU	G (t/m)	P (t/m)	SEMELLES		RADIER
			SI _V ↓ t/m	SI _V ↓ t/m	
I	1,44	0,13	0,82		0,71
II	1,54	0,45	0,67		0,58
III	1,54	0,45	0,48		0,42
IV	1,54	0,45	0,30		0,26
V	1,54	0,45	0,12		0,11

Schéma du portique:



3,90" = Poste libre
mns des app

- Pour la détermination des moments aux nœuds, elle sera menée sous forme de tableaux.
- Les unités utilisées sont :

- Hauteurs et longueurs : en mètres
- moments d'inertie : $10^{-4} \cdot m^4$
- K_w, K_e, L_s, K_g et β : $10^{-4} m^3$

(1)

CARACTÉRISTIQUES GÉOMÉTRIQUES DU PORTIQUE - TABLEAU

NIVEAU	I				II				III				IV					
	4	2	3	4	5	6	7	8	9	10	11	12	13	14	15	16	17	
A_{w0}	-	3,90	3,9	3,9	-	3,9	3,9	3,9	3,9	3,9	3,9	3,9	-	3,9	3,9	3,9	3,9	
δ_e	3,9	3,9	3,9	3,9	3,9	3,9	3,9	3,9	3,9	3,9	3,9	3,9	3,9	3,9	3,9	3,9	3,9	
δ_m	-	-	-	-	2,90	2,90	2,90	2,90	2,90	2,9	2,9	2,9	2,9	2,9	2,9	2,9	2,9	
k_s	2,9	2,9	2,9	2,9	2,9	2,9	2,9	2,9	2,9	2,9	2,9	2,9	2,9	2,9	2,9	2,9	2,9	
$T_w; T_e$	16	16	16	16	16	16	16	16	16	16	16	16	16	16	16	16	16	
$T_h; T_b$	-	-	-	-	54	54	54	54	54	54	54	54	54	54	54	54	54	
λ'	/	3,12	3,12	3,12	/	3,12	3,12	3,12	3,12	3,12	3,12	3,12	/	3,12	3,12	3,12	3,12	
λ''	3,12	3,12	3,12	3,12	3,12	3,12	3,12	3,12	3,12	3,12	3,12	3,12	3,12	3,12	3,12	3,12	3,12	
δ'_e	/	/	/	/	2,61	2,61	2,61	2,61	2,61	2,62	2,62	2,62	2,62	2,62	2,62	2,62	2,62	
k'_s	2,32	2,32	2,32	2,32	2,32	2,32	2,32	2,32	2,32	2,32	2,32	2,32	2,32	2,32	2,32	2,32	2,32	
K_w	/	5,13	5,13	5,13	/	5,13	5,13	5,13	5,13	5,13	5,13	5,13	/	5,13	5,13	/	5,13	
K_e	5,13	5,13	5,13	5,13	5,13	5,13	5,13	5,13	5,13	5,13	5,13	5,13	5,13	5,13	5,13	5,13	5,13	
K_m	/	/	/	/	20,68	20,68	20,68	20,68	20,68	23,3	23,3	23,3	23,3	23,3	23,3	23,3	23,3	
K_g	23,3	23,3	23,3	23,3	23,3	23,3	23,3	23,3	23,3	23,3	23,3	23,3	23,3	23,3	23,3	23,3	23,3	
D	28,43	33,56	33,56	49,1	54,24	54,24	54,24	54,24	54,24	51,73	56,86	56,86	51,73	56,86	56,86	82,43	87,56	87,56
I_s	54	54	54	54	54	54	54	54	54	54	54	54	54	54	54	54	54	

III DETERMINATION DES MOMENTS AUX NOEUDS:

on utilisera les formules suivantes:

$$M_w = M'_e \cdot \frac{K_w}{D} + M'_w \left(1 - \frac{K_w}{D}\right) ; \quad M_e = M'_e \left(1 - \frac{K_e}{D}\right) + M'_w \cdot \frac{K_e}{D}$$

$$M_s = \frac{K_s}{D} (M'_e - M'_w)$$

$$M_2 = \frac{K_2}{D} (M'_e - M'_w)$$

TABLEAUX RECAPITULATIFS:

* travées intermédiaires:
(art. A 11,21 CCBA 68)

$$M'_w = \frac{q_w l_w^{1/2}}{8,5} ; \quad M'_e = \frac{q_e l_e^{1/2}}{8,5}$$

* Moments sous G:

NIVEAU	NOEUD	q_e	q_w	M'_e	M'_w	M_e	M_w	M_n	M_s
I	1	1,44	—	1,65	—	1,35	✓	—	1,35
	2	1,44	1,44	1,65	1,65	1,65	1,65	—	—
	3	1,44	1,44	1,65	1,65	1,65	1,65	—	—
	4	1,44	1,44	1,65	1,65	1,65	1,65	—	—
II	5	1,54	—	1,76	—	1,57	—	0,74	0,83
	6	1,54	1,54	1,76	1,76	1,76	1,76	—	—
	7	1,54	1,54	1,76	1,76	1,76	1,76	—	—
	8	1,54	1,54	1,76	1,76	1,76	1,76	—	—
III	9	1,54	—	1,76	—	1,58	—	0,79	0,79
	10	1,54	1,54	1,76	1,76	1,76	1,76	—	—
	11	1,54	1,54	1,76	1,76	1,76	1,76	—	—
	12	1,54	1,54	1,76	1,76	1,76	1,76	—	—
IV	13	1,54	—	1,76	—	1,58	—	0,79	0,79
	14	1,54	1,54	1,76	1,76	1,76	1,76	—	—
	15	1,54	1,54	1,76	1,76	1,76	1,76	—	—
	16	1,54	1,54	1,76	1,76	1,76	1,76	—	—
V	17	1,54	—	1,76	—	1,65	✓	0,47	1,15
	18	1,54	1,54	1,76	1,76	1,76	1,76	—	—
	19	1,54	1,54	1,76	1,76	1,76	1,76	—	—
	20	1,54	1,54	1,76	1,76	1,76	1,76	—	—

MOMENTS SOUS (P)

- V.9 -

NIVEAU N°EUD	q_e	q_w	$M'e$	$M'w$	M_e	M_w	M_n	M_s
I	1 0,13	/	0,15	/	0,12	/	/	0,12
	2 0,13	0,13	0,15	0,15	0,15	0,15	/	/
	3 0,13	0,13	0,15	0,15	0,15	0,15	/	/
	4 0,13	0,13	0,15	0,15	0,15	0,15	/	/
II	5 0,45	/	0,52	/	0,46	/	0,22	0,24
	6 0,45	0,45	0,52	0,52	0,52	0,52	/	/
	7 0,45	0,45	0,52	0,52	0,52	0,52	/	/
	8 0,45	0,45	0,52	0,52	0,52	0,52	/	/
III	9 0,45	/	0,52	/	0,47	/	0,23	0,23
	10 0,45	0,45	0,52	0,52	0,52	0,52	/	/
	11 0,45	0,45	0,52	0,52	0,52	0,52	/	/
	12 0,45	0,45	0,52	0,52	0,52	0,52	/	/
IV	13 0,45	/	0,52	/	0,47	/	0,23	0,23
	14 0,45	0,45	0,52	0,52	0,52	0,52	/	/
	15 0,45	0,45	0,52	0,52	0,52	0,52	/	/
	16 0,45	0,45	0,52	0,52	0,52	0,52	/	/
V	17 0,45	/	0,52	/	0,49	/	0,14	0,35
	18 0,45	0,45	0,52	0,52	0,52	0,52	/	/
	19 0,45	0,45	0,52	0,52	0,52	0,52	/	/
	20 0,45	0,45	0,52	0,52	0,52	0,52	/	/

MOMENTS SOUS (SI_V) : SEMELLES

Niveau N°EUD	q_e	q_w	$M'e$	$M'w$	M_e	M_w	M_n	M_s
I	1 0,82	/	0,94	/	0,77	/	/	0,77
	2 0,82	0,82	0,94	0,94	0,94	0,94	/	/
	3 0,82	0,82	0,94	0,94	0,94	0,94	/	/
	4 0,82	0,82	0,94	0,94	0,94	0,94	/	/
II	5 0,67	/	0,77	/	0,69	/	0,32	0,37
	6 0,67	0,67	0,77	0,77	0,77	0,77	/	/
	7 0,67	0,67	0,77	0,77	0,77	0,77	/	/
	8 0,67	0,67	0,77	0,77	0,77	0,77	/	/
III	9 0,48	/	0,55	/	0,50	/	0,25	0,25
	10 0,48	0,48	0,55	0,55	0,55	0,55	/	/
	11 0,48	0,48	0,55	0,55	0,55	0,55	/	/
	12 0,48	0,48	0,55	0,55	0,55	0,55	/	/
IV	13 0,30	/	0,34	/	0,30	/	0,15	0,15
	14 0,30	0,30	0,34	0,34	0,34	0,34	/	/
	15 0,30	0,30	0,34	0,34	0,34	0,34	/	/
	16 0,30	0,30	0,34	0,34	0,34	0,34	/	/
V	17 0,12	/	0,14	/	0,13	/	0,04	0,09
	18 0,12	0,12	0,14	0,14	0,14	0,14	/	/
	19 0,12	0,12	0,14	0,14	0,14	0,14	/	/
	20 0,12	0,12	0,14	0,14	0,14	0,14	/	/

MOMENTS SOUS SIV : RADIER GENERAL.

(t/mL)
ce
(L.W/m)

NIVEAU	NOEUD	q_e	q_w	M'_e	M'_w	M_e	M_w	M_N	M_S
I	1	0,71	—	0,81	—	0,66	—	—	0,66
	2	0,71	0,71	0,81	0,81	0,81	0,81	—	—
	3	0,71	0,71	0,81	0,81	0,81	0,81	—	—
	4	0,71	0,71	0,81	0,81	0,81	0,81	—	—
II	5	0,58	—	0,66	—	0,59	—	0,27	0,32
	6	0,58	0,58	0,66	0,66	0,66	0,66	—	—
	7	0,58	0,58	0,66	0,66	0,66	0,66	—	—
	8	0,58	0,58	0,66	0,66	0,66	0,66	—	—
III	9	0,42	—	0,48	—	0,43	—	0,21	0,27
	10	0,42	0,42	0,48	0,48	0,48	0,48	—	—
	11	0,42	0,42	0,48	0,48	0,48	0,48	—	—
	12	0,42	0,42	0,48	0,48	0,48	0,48	—	—
IV	13	0,26	—	0,30	—	0,26	—	0,13	0,13
	14	0,26	0,26	0,30	0,30	0,30	0,30	—	—
	15	0,26	0,26	0,30	0,30	0,30	0,30	—	—
	16	0,26	0,26	0,30	0,30	0,30	0,30	—	—
V	17	0,11	—	0,13	—	0,11	—	0,03	0,08
	18	0,11	0,11	0,13	0,13	0,13	0,13	—	—
	19	0,11	0,11	0,13	0,13	0,13	0,13	—	—
	20	0,11	0,11	0,13	0,13	0,13	0,13	—	—

V EFFORTS TRANCHANTS - CHARGES VERTICALES

PORTEE LONGITUDINALE

METHODE DE CALCUL

Conformément à l'annexe A13 du CCBA 68, les efforts tranchants sont calculés en considérant la travée indépendante et en faisant état des moments de continuité et de la charge qui lui est appliquée.

$$\sum M_B = 0 ; R_A l - M_e + M_W - q \frac{l^2}{2} = 0$$

$$\Rightarrow R_A = \frac{M_e - M_W}{l} + q \frac{l}{2}$$

l'équation de l'effort tranchant

sera alors : $T = R_A - q x$:
$$T(x) = q \frac{l}{2} + \frac{M_e - M_W}{l} - q x$$

EFFORTS TRANCHANTS SOUS G:

$$l = 3,90 \text{ m}$$

NIVEAU	TRAVEE	q (t/m)	M _w	M _e	$x=0 T_e$	$x=l T_w$
I	1-2	1,44	1,65	1,35	2,73	-2,84
	2-3	1,44	1,65	1,65	2,80	-2,80
II	5-6	1,54	1,76	1,57	2,95	-3,05
	6-7	1,54	1,76	1,76	3,00	-3,00
III	9-10	1,54	1,76	1,58	2,96	-3,05
	10-11	1,54	1,76	1,76	3,00	-3,00
IV	13-14	1,54	1,76	1,58	2,96	-3,05
	14-15	1,54	1,76	1,76	3,00	-3,00
V	17-18	1,54	1,76	1,65	2,97	-3,03
	18-19	1,54	1,76	1,76	3,00	-3,00

$$\cdot x=0 \longrightarrow T_e = q \cdot \frac{l}{2} + \frac{M_e - M_w}{l}$$

$$\cdot x=l \longrightarrow T_w = -q \cdot \frac{l}{2} + \frac{M_e - M_w}{l}$$

EFFORTS TRANCHANTS SOUS P:

NIVEAU	TRAVEE	q (t/m)	M _w	M _e	$x=0 T_e$	$x=l T_w$
I	1-2	0,13	0,15	0,12	0,25	-0,26
	2-3	0,13	0,15	0,15	0,25	-0,25
II	5-6	0,45	0,52	0,46	0,86	-0,89
	6-7	0,45	0,52	0,52	0,88	-0,88
III	9-10	0,45	0,52	0,47	0,86	-0,89
	10-11	0,45	0,52	0,52	0,88	-0,88
IV	13-14	0,45	0,52	0,47	0,86	-0,89
	14-15	0,45	0,52	0,52	0,88	-0,88
V	17-18	0,45	0,52	0,49	0,87	-0,89
	18-19	0,45	0,52	0,52	0,88	-0,88

EFFORTS TRANCHANTS SOUS SIV_{\downarrow} : SEMELLES

NIVEAU	TRAVEE	q (t/m)	M_e	M_w	$\left. T_e \right _{x=0}$	$\left. T_w \right _{x=0}$
I	1-2	0,82	0,77	0,94	1,55	-1,64
	2-3	0,82	0,94	0,94	1,60	-1,60
II	5-6	0,67	0,69	0,77	1,28	-1,32
	6-7	0,67	0,77	0,77	1,30	-1,30
III	9-10	0,48	0,50	0,55	0,92	-0,95
	10-11	0,48	0,55	0,55	0,94	-0,94
IV	13-14	0,30	0,30	0,34	0,57	-0,59
	14-15	0,30	0,34	0,34	0,58	-0,58
V	17-18	0,12	0,13	0,14	0,23	-0,24
	18-19	0,12	0,14	0,14	0,23	-0,23

EFFORTS TRANCHANTS SOUS SIV_{\downarrow} : RADIER.

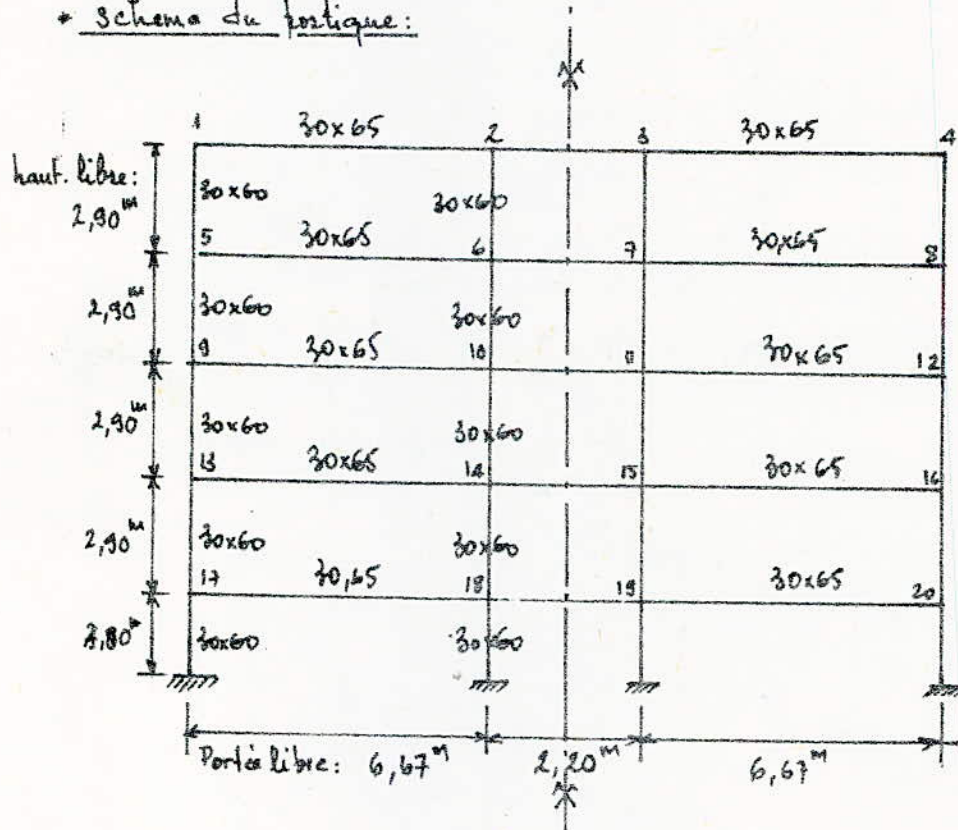
NIVEAU	TRAVEE	q (t/m)	M_e (t.m)	M_w (t.m)	$\left. T_e \right _{x=0}$ (t)	$\left. T_w \right _{x=0}$ (t)
I	1-2	0,71	0,66	0,81	1,35	-1,42
	2-3	0,71	0,81	0,81	1,38	-1,38
II	5-6	0,58	0,59	0,66	1,11	-1,15
	6-7	0,58	0,66	0,66	1,13	-1,13
III	9-10	0,42	0,43	0,48	0,81	-0,83
	10-11	0,42	0,48	0,48	0,82	-0,82
IV	13-14	0,26	0,26	0,30	0,50	-0,52
	14-15	0,26	0,30	0,30	0,51	-0,51
V	17-18	0,11	0,11	0,13	0,21	-0,22
	18-19	0,11	0,13	0,13	0,21	-0,21

PORTIQUE TRANSVERSAL II-II

II TABLEAU RECAPITULATIF - CHARGES VERTICALES: <Par m/l>

NIVEAU	G (t/m)	P (t/m)	ΣI_v (Hm)	Radier
			Semelles	
I	3,50	0,45	0,89	0,77
II	3,60	1,58	0,80	0,69
III	3,60	1,58	0,58	0,50
IV	3,60	1,58	0,36	0,31
V	3,60	1,58	0,16	0,13

* Schéma du portique:



(H)

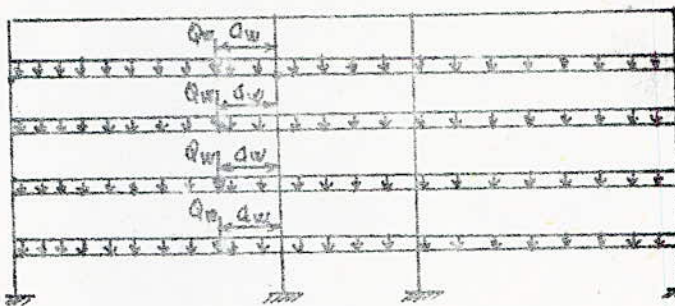
CARACTÉRISTIQUES GÉOMÉTRIQUES DU PORTIQUE

NIVEAU	I	II	III	IV	V
NOEUD	1	2	3	4	5
δ_w	/	6,67	2,2	6,67	/
δ_e	6,67	2,2	6,67	/	6,67
δ_w	/	/	2,9	2,9	2,9
λ_{w1}	2,9	2,9	2,9	2,9	2,9
I_w, I_e	68,6	68,6	68,6	68,6	68,6
I_w	/	/	54	13,5	54
I_s	54	13,5	54	54	54
δ_w^1	/	5,34	1,76	5,34	/
δ_e^1	5,34	1,76	5,34	/	5,34
δ_w^1	/	/	2,61	2,61	2,61
δ_w^1	2,32	2,32	2,32	2,32	2,32
K_w	/	12,85	38,98	12,85	/
K_e	12,85	38,98	12,85	/	12,85
K_w	/	/	20,69	5,17	20,69
K_e	23,27	5,82	23,27	5,82	23,27
D	36,12	57,65	36,12	56,81	62,82

V. 16

III DETERMINATION DES MOMENTS AUX NOEUDS

$$M'_w = \frac{q_w \cdot l'_w^2}{8,5} + l'_w \cdot \sum k_{w,i} \cdot Q_{w,i}; \quad M'_e = \frac{q_e \cdot l'_e^2}{8,5} + l'_e \cdot \sum k_{e,i} \cdot Q_e$$



$$\begin{aligned} \cdot \Delta w_i &= 1,50 \text{ m} \\ \cdot Q_{w,i} &= Q_{w,i-1} = 7,25 \text{ t} \\ \cdot \Delta e_{i-1} &= 5,17 \text{ m} \\ \frac{\Delta w}{l'_w} &= 0,28 \rightarrow \underline{k_{w,i}} = 0,162 \\ \cdot \frac{\Delta e}{l'_e} &= 0,97 \rightarrow \underline{k_{e,i}} = 0,015 \end{aligned}$$

+ moments sous G :

• Les moments sont donnés en t.m ; les charges en t/m.

NIVEAU	NOEUD	q _e	q _w	M' _e	M' _w	M _e	M _w	M _n	M _s
I	1	3,50	/	11,74	-	7,56	/	/	9,56
	2	3,50	3,50	1,27	11,74	8,35	9,40	/	-1,06
	3	3,50	3,50	11,74	1,27	9,40	8,35	/	1,06
	4	/	3,50	/	11,74	/	7,56	/	-7,56
II	5	3,60	/	12,66	/	9,79	/	4,61	5,18
	6	3,60	3,60	1,31	18,35	11,88	14,86	-1,41	-1,58
	7	3,60	3,60	12,07	1,31	9,87	7,99	0,88	0,99
	8	/	3,60	/	12,07	/	9,34	-4,39	-4,94
III	9	3,60	/	12,66	/	9,92	/	4,96	4,96
	10	3,60	3,60	1,31	18,35	11,77	14,90	-1,56	-1,56
	11	3,60	3,60	12,07	1,31	9,89	7,92	0,99	0,99
	12	/	3,60	/	12,07	/	9,46	-4,73	-4,73
IV	13	3,60	/	12,66	/	9,92	/	4,96	4,96
	14	3,60	3,60	1,31	18,35	11,77	14,90	-1,56	-1,56
	15	3,60	3,60	12,07	1,31	9,89	7,92	0,99	0,99
	16	/	3,60	/	12,07	/	9,46	-4,73	-4,73
V	17	3,60	/	12,66	/	0,85	/	3,27	7,58
	18	3,60	3,60	1,31	18,35	10,64	15,27	-1,39	-3,23
	19	3,60	3,60	12,07	1,31	10,12	7,20	0,88	2,04
	20	/	3,60	/	12,07	/	10,35	-3,11	-7,23

-V.96-

* MOMENTS SOUS P:

NIVEAU	NOEUD	q_e (t/m)	q_w (t/m)	M_e (t.m)	M'_w (t.m)	M_e (t)	M_w (t)	M_n (t)	M_s (t)
I	1	0,45	—	1,51	—	0,97	—	—	0,97
	2	0,45	0,45	0,16	1,51	1,07	1,21	—	-0,14
	3	0,45	0,45	1,51	0,16	1,24	1,07	—	0,14
	4	—	0,45	—	1,51	—	0,97	—	-0,97
II	5	1,58	—	5,30	—	4,10	—	1,93	2,17
	6	1,58	1,58	0,57	5,30	3,50	4,34	-0,39	-0,44
	7	1,58	1,58	5,30	0,57	4,33	3,50	0,39	0,44
	8	—	1,58	—	5,30	—	4,10	-1,93	-2,17
III	9	1,58	—	5,30	—	4,15	—	2,07	2,07
	10	1,58	1,58	0,57	5,30	3,47	4,34	-0,43	-0,43
	11	1,58	1,58	5,30	0,57	4,34	3,47	0,43	0,43
	12	—	1,58	—	5,30	—	4,15	-2,07	-2,07
IV	13	1,58	—	5,30	—	4,15	—	2,07	2,07
	14	1,58	1,58	0,57	5,30	3,47	4,34	-0,43	-0,43
	15	1,58	1,58	5,30	0,57	4,34	3,47	0,43	0,43
	16	—	1,58	—	5,30	—	4,15	-2,07	-2,07
V	17	1,58	—	5,30	—	4,34	—	1,37	3,17
	18	1,58	1,58	0,57	5,30	3,16	4,44	-0,39	-0,90
	19	1,58	1,58	5,30	0,57	4,44	3,16	0,39	0,90
	20	—	1,58	—	5,30	—	4,54	-1,37	-3,17

* MOMENTS SOUS S_{IV} : SEMEILLES

NIVEAU	NOEUD	q_e	q_w (t/m)	M_e (t.m)	M'_w (t.m)	M_e (t)	M_w (t)	M_n (t)	M_s (t)
I	1	0,89	—	2,98	—	1,92	—	—	1,92
	2	0,89	0,89	0,32	2,98	2,12	2,39	—	-0,27
	3	0,89	0,89	2,98	0,32	2,38	2,12	—	0,27
	4	—	0,89	—	2,98	—	1,92	—	-1,92
II	5	0,80	—	2,68	—	2,07	—	0,98	1,10
	6	0,80	0,80	0,29	2,68	1,77	2,19	-0,2	-0,22
	7	0,80	0,80	2,68	0,29	2,19	1,77	0,21	0,22
	8	—	0,80	—	2,68	—	2,07	-0,98	-1,90
III	9	0,58	—	1,94	—	1,52	—	0,76	0,76
	10	0,58	0,58	0,21	1,94	1,27	1,59	-0,16	-0,16
	11	0,58	0,58	1,94	0,21	1,59	1,27	0,16	0,16
	12	—	0,58	—	1,94	—	1,52	-0,76	-0,76
IV	13	0,36	—	1,21	—	0,95	—	0,47	0,47
	14	0,36	0,36	0,13	1,21	0,79	0,99	-0,10	-0,10
	15	0,36	0,36	1,21	0,13	0,99	0,79	0,10	0,10
	16	—	0,36	—	1,21	—	0,95	-0,47	-0,47
V	17	0,16	—	0,54	—	0,46	—	0,14	0,32
	18	0,16	0,16	0,06	0,54	0,32	0,45	-0,04	-0,09
	19	0,16	0,16	0,54	0,06	0,45	0,32	0,04	0,09
	20	—	0,16	—	0,54	—	0,46	-0,14	-0,32

MOMENTS SOUS §IV : RADIER GENERAL

NIVEAU NOEUD	$q_e(t/m)$	$q_w(t/m)$	$M'_e(tm)$	$M'_w(tm)$	$M_e(tm)$	$M_w(tm)$	$M_n(tm)$	$M_s(tm)$
I	1 0,77	/	2,58	/	1,66	/	/	1,66
	2 0,77	0,77	0,28	2,58	1,83	2,06	/	-0,23
	3 0,77	0,77	2,58	0,28	2,06	1,83	/	0,23
	4 /	0,77	/	2,58	/	1,66	/	-1,66
II	5 0,69	/	2,31	/	1,78	/	0,84	0,95
	6 0,69	0,69	0,25	2,31	1,53	1,89	-0,17	-0,19
	7 0,69	0,69	2,31	0,25	1,89	1,53	0,17	0,19
	8 /	0,69	/	2,31	/	1,78	-0,84	-0,95
III	9 0,50	/	1,68	/	1,31	/	0,65	0,65
	10 0,50	0,50	0,18	1,68	1,10	1,37	-0,14	-0,14
	11 0,50	0,50	1,68	0,18	1,37	1,10	0,14	0,14
	12 /	0,50	/	1,68	/	1,31	-0,65	-0,65
IV	13 0,31	/	1,04	/	0,82	/	0,40	0,41
	14 0,31	0,31	0,11	1,04	0,68	0,85	-0,09	-0,09
	15 0,31	0,31	1,04	0,11	0,85	0,68	0,09	0,09
	16 /	0,31	/	1,04	/	0,82	-0,40	-0,41
V	17 0,13	/	0,44	/	0,37	/	0,11	0,26
	18 0,13	0,13	0,05	0,44	0,26	0,37	-0,03	-0,07
	19 0,13	0,13	0,44	0,05	0,37	0,26	0,03	0,07
	20 /	0,13	/	0,44	/	0,37	-0,11	-0,26

(V)

EFFORTS TRANCHANTS - TABLEAUX RECAPITULATIF:

Enoncé précédemment pour le cas du postique I-I, la méthode de calcul (conforme à l'annexe A₁₃ du C.C.B.A 68) sera la même

$$T(x) = q \cdot \frac{l}{2} + \frac{M_e - M_w}{l} - q \cdot x.$$

$$\underline{x=0} \implies T = q \cdot \frac{l}{2} + \frac{M_e - M_w}{l}$$

$$\underline{x=l} \implies T = -q \cdot \frac{l}{2} + \frac{M_e - M_w}{l}$$

EFFORTS TRANCHANTS SOUS G:

NIVEAU	TRAVEE	q (t/m)	M _e (t)	M _w (t)	T _e _{x=0}	T _w _{x=L}
I	1 - 2	3,50	7,56	9,40	11,39	-11,95
	2 - 3	3,50	8,35	8,35	3,85	-3,85
	3 - 4	3,50	9,40	7,56	11,95	-11,95
II	5 - 6	3,60	9,79	14,86	11,25	-12,76
	6 - 7	3,60	11,88	7,99	5,73	-2,19
	7 - 8	3,60	9,87	9,34	12,08	-11,93
III	9 - 10	3,60	9,92	14,90	11,26	-12,75
	10 - 11	3,60	11,77	7,92	5,71	-2,21
	11 - 12	3,60	9,89	9,46	12,07	-11,94
IV	13 - 14	3,60	9,92	14,90	11,26	-12,75
	14 - 15	3,60	11,77	7,92	5,71	-2,21
	15 - 16	3,60	9,89	9,46	12,07	-11,94
V	17 - 18	3,60	10,85	15,27	11,34	-12,67
	18 - 19	3,60	10,64	7,20	5,52	-2,39
	19 - 20	3,60	10,12	10,35	11,97	-12,04

EFFORTS TRANCHANTS SOUS Ø:

NIVEAU	TRAVEE	q (t/m)	M _e (t)	M _w	T _e _{x=0}	T _w _{x=L}
I	1 - 2	0,45	0,97	1,21	1,46	-1,53
	2 - 3	0,45	1,07	1,07	0,50	-0,50
	3 - 4	0,45	1,24	0,97	1,54	-1,46
II	5 - 6	1,58	4,10	4,34	5,23	-5,30
	6 - 7	1,58	3,50	3,50	1,74	-1,74
	7 - 8	1,58	4,33	4,10	5,30	-5,23
III	9 - 10	1,58	4,15	4,34	5,24	-5,30
	10 - 11	1,58	3,17	3,47	1,74	-1,74
	11 - 12	1,58	4,34	4,15	5,30	-5,24
IV	13 - 14	1,58	4,15	4,34	5,24	-5,30
	14 - 15	1,58	3,17	3,47	1,74	-1,74
	15 - 16	1,58	4,34	4,15	5,30	-5,24
V	17 - 18	1,58	4,54	4,44	5,28	-5,25
	18 - 19	1,58	3,16	3,16	1,74	-1,74
	20 - 21	1,58	4,44	4,54	5,25	-5,30

V.18

EFFORTS TRANCHANTS SOUS S_I : SEMELLES.

NIVEAU	TRAVEE	q (t/m)	M_e (t.m)	M_w (t.m)	T_e $x=0$	T_w $x=l$
I	1-2	0,89	1.92	2.39	2.90	-3.04
	2-3	0,89	2.12	2.12	0.98	-0.98
	3-4	0,89	2.38	1.92	3.04	-2.90
II	5-6	0.80	2.07	2.19	2.65	-2.69
	6-7	0.80	1.77	1.77	0.88	-0.88
	7-8	0.80	2.19	2.07	2.69	-2.65
III	9-10	0.58	1.52	1.39	1.92	-1.95
	10-11	0.58	1.27	1.27	0.64	-0.64
	11-12	0.58	1.59	1.52	1.95	-1.92
IV	13-14	0.36	0.95	0.99	1.19	-1.21
	14-15	0.36	0.79	0.79	0.40	-0.40
	15-16	0.36	0.99	0.95	1.21	-1.19
V	17-18	0.16	0.46	0.45	0.54	-0.53
	18-19	0.16	0.32	0.32	0.18	-0.18
	19-20	0.16	0.45	0.46	0.53	-0.54

EFFORTS TRANCHANTS SOUS S_I : RADIER.

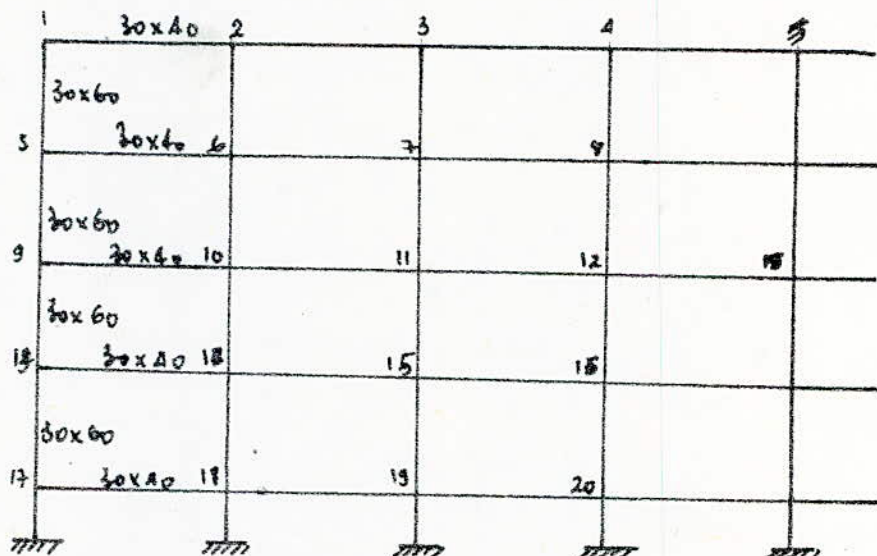
NIVEAU	TRAVEE	q (t/m)	M_e (t.m)	M_w (t.m)	T_e $x=0$ (t)	T_w $x=l$ (t)
I	1-2	0.77	1.66	2.06	2.51	-2.63
	2-3	0.77	1.83	1.83	0.85	-0.85
	3-4	0.77	2.06	1.66	2.63	-2.51
II	5-6	0.69	1.78	1.89	2.28	-2.31
	6-7	0.69	1.53	1.53	0.76	-0.76
	7-8	0.69	1.89	1.78	2.31	-2.28
III	9-10	0.50	1.31	1.37	1.66	-1.68
	10-11	0.50	1.10	1.10	0.55	-0.55
	11-12	0.50	1.37	1.31	1.68	-1.66
IV	13-14	0.31	0.82	0.85	1.03	-1.04
	14-15	0.31	0.68	0.68	0.34	-0.34
	15-16	0.31	0.85	0.82	1.04	-1.03
V	17-18	0.13	0.37	0.37	0.48	-0.48
	18-19	0.13	0.26	0.26	0.14	-0.14
	19-20	0.13	0.37	0.37	0.48	-0.48

PORTEQUE LONGITUDINAL III . III

(I) TABLEAU RECAPITULATIF - CHARGES VERTICALES

NIVEAU	G (t/ml)	P (t/ml)	SIV (t/ml)	semelle	radier.
					SIV(t/ml)
I	1.29	0.065	0.78		0.68
II	1.09	0.23	0.58		0.50
III	1.09	0.23	0.42		0.37
IV	1.09	0.23	0.27		0.23
V	1.09	0.23	0.11		0.09

Schema du portique:



Portée libre: 3,90^m

Hauteur libre: 2,90^m

V.20

II. CARACTÉRISTIQUES GÉOMÉTRIQUES DU PORTIQUE

NIVEAU	I	II	III	IV	V	VI	VII	VIII	V	X	XI	XII	XIII	XIV
Noeud A	2	3	4	5	6	7	8	9	10	11	12	13	14	15
λ_w	-	3.9	3.9	3.9	-	3.9	3.9	3.9	3.9	3.9	-	3.9	3.9	3.9
λ_e	3.9	3.9	3.9	3.9	3.9	3.9	3.9	3.9	3.9	3.9	3.9	3.9	3.9	3.9
λ_{ne}	-	-	-	-	2.9	2.9	2.9	2.9	2.9	2.9	2.9	2.9	2.9	2.9
λ_{ns}	2.9	2.9	2.9	2.9	2.9	2.9	2.9	2.9	2.9	2.9	2.9	2.9	2.9	2.9
$T_{wi} T_e$	16	16	16	16	16	16	16	16	16	16	16	16	16	16
T_n	-	-	-	13.5	13.5	13.5	13.5	13.5	13.5	13.5	13.5	13.5	13.5	13.5
T_s	13.5	13.5	13.5	13.5	13.5	13.5	13.5	13.5	13.5	13.5	13.5	13.5	13.5	13.5
λ'_w	-	3.12	3.12	-	3.12	3.12	-	3.12	3.12	-	3.12	3.12	-	3.12
λ'_e	3.12	3.12	3.12	3.12	3.12	3.12	3.12	3.12	3.12	3.12	3.12	3.12	3.12	3.12
λ'_{ne}	-	-	-	2.61	2.61	2.61	2.61	2.61	2.61	2.61	2.61	2.61	2.61	2.61
λ'_{ns}	2.32	2.32	2.32	2.32	2.32	2.32	2.32	2.32	2.32	2.32	2.32	2.32	2.32	2.32
K_w	-	5.13	5.13	5.13	-	5.13	5.13	5.13	5.13	5.13	-	5.13	5.13	5.13
K_e	5.13	5.13	5.13	5.13	5.13	5.13	5.13	5.13	5.13	5.13	5.13	5.13	5.13	5.13
K_n	-	-	-	5.14	5.14	5.14	5.14	5.14	5.14	5.14	-	5.14	5.14	5.14
K_s	5.82	5.82	5.82	5.82	5.82	5.82	5.82	5.82	5.82	5.82	5.82	5.82	5.82	5.82
D	10.95	16.08	16.08	16.08	16.12	16.12	16.12	16.12	16.12	16.12	16.12	16.12	16.12	16.12

V.21

III. DETERMINATION DES MOMENTS AUX NOEUDS:

$$M_w = M'_e \cdot \frac{K_w}{D} + M'_w \left(1 - \frac{K_w}{D}\right); \quad M_e = M'_e \cdot \left(1 - \frac{K_e}{D}\right) + M'_w \cdot \frac{K_e}{D}$$

$$M_s = \frac{K_s}{D} (M'_e - M'_w); \quad M_n = \frac{K_n}{D} (M'_e - M'_w).$$

TABLEAUX RECAPITULATIFS:

+ MOMENTS SOUS. G:

NIVEAU	NOEUD	q_e (t/m)	q_w (t/m)	M'_e (t)	M'_w (t)	M_e (t)	M_w (t)	M_n (t.w)	M_s (t.m)
I	1	1.29	/	1.47	/	0.78	/	/	0.78
	2	1.29	1.29	1.47	1.47	1.47	1.47	/	/
	3	1.29	1.29	1.47	1.47	1.47	1.47	/	/
	4	1.29	1.29	1.47	1.47	1.47	1.47	/	/
II	5	1.09	/	1.25	/	0.85	/	0.40	0.45
	6	1.09	1.09	1.25	1.25	1.25	1.25	/	/
	7	1.09	1.09	1.25	1.25	1.25	1.25	/	/
	8	1.09	1.09	1.25	1.25	1.25	1.25	/	/
III	9	1.09	/	1.25	/	0.87	/	0.43	0.44
	10	1.09	1.09	1.25	1.25	1.25	1.25	/	/
	11	1.09	1.09	1.25	1.25	1.25	1.25	/	/
	12	1.09	1.09	1.25	1.25	1.25	1.25	/	/
IV	13	1.09	/	1.25	/	0.87	/	0.43	0.33
	14	1.09	1.09	1.25	1.25	1.25	1.25	/	/
	15	1.09	1.09	1.25	1.25	1.25	1.25	/	/
	16	1.09	1.09	1.25	1.25	1.26	1.25	/	/
V	17	1.09	/	1.25	/	0.99	/	0.30	0.69
	18	1.09	1.09	1.25	1.25	1.25	1.25	/	/
	19	1.09	1.09	1.25	1.25	1.25	1.25	/	/
	20	1.09	1.09	1.25	1.25	1.25	1.25	/	/

MOMENTS SOUS (P) :

V.23

Niveau	Noeud	q_e (t/m)	q_w (t/m)	M'_e (t.m)	M'_w (t.m)	M_e	M_w (t.)	M_n	M_s
I	1	0,065	/	0,08	/	0,08	/	/	0,04
	2	0,065	0,065	0,08	0,08	0,08	0,08	/	/
	3	0,065	0,065	0,08	0,08	0,08	0,08	/	/
	4	0,065	0,065	0,08	0,08	0,08	0,08	/	/
II	5	0,23	/	0,26	/	0,18	/	0,08	0,10
	6	0,23	0,23	0,26	0,26	0,26	0,26	/	/
	7	0,23	0,23	0,26	0,26	0,26	0,26	/	/
	8	0,23	0,23	0,26	0,26	0,26	0,26	/	/
III	9	0,23	/	0,26	/	0,18	/	0,09	0,09
	10	0,23	0,23	0,26	0,26	0,26	0,26	/	/
	11	0,23	0,23	0,26	0,26	0,26	0,26	/	/
	12	0,23	0,23	0,26	0,26	0,26	0,26	/	/
IV	13	0,23	/	0,26	/	0,18	/	0,09	0,09
	14	0,23	0,23	0,26	0,26	0,26	0,26	/	/
	15	0,23	0,23	0,26	0,26	0,26	0,26	/	/
	16	0,23	0,23	0,26	0,26	0,26	0,26	/	/
V	17	0,23	/	0,26	/	0,21	/	0,06	0,16
	18	0,23	0,23	0,26	0,26	0,26	0,26	/	/
	19	0,23	0,23	0,26	0,26	0,26	0,26	/	/
	20	0,23	0,23	0,26	0,26	0,26	0,26	/	/

MOMENTS SOUS (SI_V) : SEMELLES.

Niveau	Noeud	q_e (t/m)	q_w (t/m)	M'_e (t.m)	M'_w (t.m)	M_e (t.m)	M_w (t.m)	M_n (t.m)	M_s (t.m)
I	1	0,78	/	0,89	/	0,47	/	/	0,47
	2	0,78	0,78	0,89	0,89	0,89	0,89	/	/
	3	0,78	0,78	0,89	0,89	0,89	0,89	/	/
	4	0,78	0,78	0,89	0,89	0,89	0,89	/	/
II	5	0,58	/	0,66	/	0,45	/	0,21	0,24
	6	0,58	0,58	0,66	0,66	0,66	0,66	/	/
	7	0,58	0,58	0,66	0,66	0,66	0,66	/	/
	8	0,58	0,58	0,66	0,66	0,66	0,66	/	/
III	9	0,42	/	0,48	/	0,33	/	0,17	0,16
	10	0,42	0,42	0,48	0,48	0,48	0,48	/	/
	11	0,42	0,42	0,48	0,48	0,48	0,48	/	/
	12	0,42	0,42	0,48	0,48	0,48	0,48	/	/
IV	13	0,27	/	0,31	/	0,21	/	0,11	0,10
	14	0,27	0,27	0,31	0,31	0,31	0,31	/	/
	15	0,27	0,27	0,31	0,31	0,31	0,31	/	/
	16	0,27	0,27	0,31	0,31	0,31	0,31	/	/
V	17	0,11	/	0,13	/	0,11	/	0,03	0,08
	18	0,11	0,11	0,13	0,13	0,13	0,13	/	/
	19	0,11	0,11	0,13	0,13	0,13	0,13	/	/
	20	0,11	0,11	0,13	0,13	0,13	0,13	/	/

MOMENTS SOUS (SIE_v) : RADIÉR GENERAL

NIVEAU	NOEUD	q _e (t/m)	q _w (t/m)	M' _e (t.m)	M' _w (t.m)	M _e (t.m)	M _w (t.m)	M _n (t.m)	M _s (t.m)
I	1	0.68	—	0.79	—	0.42	—	—	0.42
	2	0.68	0.68	0.79	0.79	0.79	0.79	—	—
	3	0.68	0.68	0.79	0.79	0.79	0.79	—	—
	4	0.68	0.68	0.79	0.79	0.79	0.79	—	—
II	5	0.50	—	0.57	—	0.38	—	0.18	0.20
	6	0.50	0.50	0.57	0.57	0.57	0.57	—	—
	7	0.50	0.50	0.57	0.57	0.57	0.57	—	—
	8	0.50	0.50	0.57	0.57	0.57	0.57	—	—
III	9	0.37	—	0.42	—	0.28	—	0.14	0.14
	10	0.37	0.37	0.42	0.42	0.42	0.42	—	—
	11	0.37	0.37	0.42	0.42	0.42	0.42	—	—
	12	0.37	0.37	0.42	0.42	0.42	0.42	—	—
IV	13	0.23	—	0.26	—	0.18	—	0.09	0.09
	14	0.23	0.23	0.26	0.26	0.26	0.26	—	—
	15	0.23	0.23	0.26	0.26	0.26	0.26	—	—
	16	0.23	0.23	0.26	0.26	0.26	0.26	—	—
V	17	0.09	—	0.10	—	0.08	—	0.02	0.06
	18	0.09	0.09	0.10	0.10	0.10	0.10	—	—
	19	0.09	0.09	0.10	0.10	0.10	0.10	—	—
	20	0.09	0.09	0.10	0.10	0.10	0.10	—	—

IV - EFFORTS TRANCHANTS SOUS (G) :

$$l = 3,90 \text{ m}$$

NIVEAU	TRAVEE	q (t/m)	M_w (t.m)	M_e (t.m)	T_e $x=0$	T_w $x=l$
I	1-2	1.29	1.47	0.78	2.34	-2.69
	2-3	1.29	1.47	1.47	2.51	-2.51
II	5-6	1.09	1.25	0.95	2.02	-2.22
	6-7	1.09	1.25	1.25	2.12	-2.12
III	9-10	1.09	1.25	0.87	2.03	-2.22
	10-11	1.09	1.25	1.25	2.12	-2.12
IV	13-14	1.09	1.25	0.87	2.03	-2.22
	14-15	1.09	1.25	1.25	2.12	-2.12
V	17-18	1.09	1.25	0.99	2.06	-2.19
	18-19	1.09	1.25	1.25	2.12	-2.12

EFFORTS TRANCHANTS SOUS (P) :

NIVEAU	TRAVEE	q (t/m)	M_w (t.m)	M_e (t.m)	T_e $x=0$	T_w $x=l$
I	1-2	0.065	0.08	0.04	0.12	-0.14
	2-3	0.065	0.08	0.08	0.13	-0.13
II	5-6	0.23	0.26	0.18	0.43	-0.47
	6-7	0.23	0.26	0.26	0.45	-0.45
III	9-10	0.23	0.26	0.18	0.43	-0.47
	10-11	0.23	0.26	0.26	0.45	-0.45
IV	13-14	0.23	0.26	0.18	0.43	-0.47
	14-15	0.23	0.26	0.26	0.45	-0.45
V	17-18	0.23	0.26	0.21	0.43	-0.46
	18-19	0.23	0.26	0.26	0.45	-0.45

EFFORTS TRANCHANTS SOUS $S_{IV} \downarrow$: SEMELLES.

NIVEAU	TRAVEE	q (t/m)	M_e (t.m)	M_w (t.m)	T_e	T_w
<u>I</u>	1-2	0.78	0.47	0.89	1,41	-1,63
	2-3	0.78	0.89	0,89	1,52	-1,52
<u>II</u>	5-6	0.58	0.45	0,66	1,08	-1,18
	6-7	0.58	0.66	0.66	1,13	-1,13
<u>III</u>	9-10	0.42	0.33	0,48	0,78	-0,86
	10-11	0.42	0.48	0,48	0,82	-0,82
<u>IV</u>	13-14	0.27	0.21	0,31	0,50	-0,55
	14-15	0.27	0.31	0,31	0,53	-0,53
<u>V</u>	17-18	0,11	0,11	0,13	0,21	-0,22
	18-19	0,11	0,13	0,13	0,21	-0,21

EFFORTS TRANCHANTS SOUS S_{IV} : RADIER. GENERAL.

NIVEAU	TRAVEE	q (t/m)	M_e (t.m)	M_w (t.m)	T_e (t)	T_w (t)
<u>I</u>	1-2	0.68	0.42	0,79	1,23	-1,42
	2-3	0.68	0,79	0,79	1,32	-1,32
<u>II</u>	5-6	0.50	0.38	0,57	0,93	-1,02
	6-7	0.50	0,57	0,57	0,97	-0,97
<u>III</u>	9-10	0.37	0.28	0,42	0,68	-0,75
	10-11	0.37	0,42	0,42	0,72	-0,72
<u>IV</u>	13-14	0.23	0,18	0,26	0,43	-0,46
	14-15	0.23	0,26	0,26	0,45	-0,45
<u>V</u>	17-18	0.09	0.08	0,10	0,17	-0,18
	18-19	0.09	0,10	0,10	0,17	-0,17

SUPERPOSITION. DES
DIFFERENTES
SOLLICITATIONS

Superposition des différentes sollicitations

Combinaisons des charges: En envisageant les combinaisons de sollicitation

de l'article 7 du C.C.B.A. 68 qui formule :

art. 7.1. dans les justifications de calcul relatives à l'équilibre statique, à la résistance et à la stabilité de forme, on prend en compte les sollicitations dites pénalisantes définies ci-dessous :

* art 7.5: sollicitations totales pénalisantes du 1^{er} genre:

$$\begin{cases} (S_1) = (G) + 1,2(P) + (T) \\ (S'_1) = (G) + (P) + (V) + (T) \end{cases} \quad \begin{array}{l} \text{justification du} \\ \text{type habituel} \end{array}$$

- La considération des surcharges y a pour but de tenir compte de ce que les effets des efforts susceptibles de valoir peuvent être plus élevés que ceux des efforts permanents.

* art 7.6: Sollicitations totales pénalisantes du 2^{me} genre:

$$\begin{cases} (S_2) = (G) + 1,5(P) + 1,5(V) + (T) \\ (S'_2) = (G) + (P) + \gamma_{ws}(W) + (T) \\ (S''_2) = (G) + (P) + (T) + (SI) \end{cases} \quad \begin{array}{l} \text{vérification de} \\ \text{la sécurité par} \\ \text{rapport aux} \\ \text{surcharges} \end{array}$$

- γ_{ws} : dépend des surcharges d'exploitation.

$$\gamma_{ws} = \begin{cases} 1,10 - 0,5 \frac{(P_{gmax})}{(G)} & \text{si } P_{gmax} < 0,2(G) \\ 1 & \text{si } P_{gmax} \geq 0,2(G) \end{cases}$$

- P_{gmax} : sollicitation maximale développée par les surcharges pesantes d'exploitation.

* art. 7.2:

(G): sollicitation due à la charge permanente

(P): sollicitation due aux surcharges d'exploitation y compris leurs majorations éventuelles et effets dynamiques

(V): sollicitation due aux charges climatiques normales

(W): sollicitation due aux charges climatiques extrêmes

(T): sollicitation due aux effets de la température et au retrait.

(SI_v) : sollicitation due aux seismes.
 Ceci ayant été défini dans un cadre général, nous l'appliquons pour le cas de l'ouvrage considéré.

1. La sollicitation due aux effets de la température et du retrait n'est pas à considérer, car il y a aujant de dilatation de bresue dans le bâtiment.
2. La sollicitation due aux effets du vent sera négligée devant celle développée par les surcharges besantes d'exploitation (qui est plus prédominante) en raison de la faible hauteur du bâtiment.
3. De même pour les sollicitations du 2^e genre ; la sollicitation due aux seismes (SI) est prédominante devant celle due aux surcharges climatiques.

Finalement, les combinaisons à considérer seront :

$$1^{\text{er}} \text{ genre: } (S_1) = (G) + 12(P)$$

$$2^{\text{e}} \text{me genre: } (S_2) = (G) + (P) + (SI)$$

(C.C.B.A. 68)

En ce qui concerne les sollicitations du 2^e genre, nous nous référons au P.S. 69 qui préconise les sollicitations résultante à prendre en compte (art 3,103) :

a- Sollicitation due aux charges et surcharges définies à l'article 3,101 du P.S. 69 : $G + \frac{P}{5}$ (bâtiment assimilé) à laquelle il convient d'associer pour obtenir la combinaison la plus défavorable.

Les sollicitations d'origines signique : elles résultent de la combinaison des systèmes (SI_H) ; (SI_v) et (ST) (art 3,111-2 . P.S. 69)

avec :

* (SI_H) : systèmes de forces horizontales

* (SI_v) : systèmes de forces verticales

* (ST) : torsion d'ensemble

Dans notre cas, comme il a été convenu dans l'étude de la torsion, nous ne tenons compte des systèmes (ST).

Finalement la combinaison à considérer est :

$$S'_2 = (G) + \left(\frac{P}{5}\right) + SI$$

PS.69

En conclusion, il y a 3 combinaisons à considérer :

$$(S_1) = (G) + 1,2(P) \quad (1)$$

$$(S_2) = (G) + (P) \pm SI_H \pm SI_V \quad (2)$$

$$(S'_2) = (G) + \left(\frac{P}{5}\right) \pm SI_H \pm SI_V \quad (3)$$

Il peut y avoir une action simultanée du système de forces horizontales et verticales dues au séisme.

MOMENTS EN TRAÎNEE : (art. A12. CCBA. 68)

• La détermination des moments entravé se fera par les courbes des moments de la travée indépendante suivant les cas de charges suivants :

* charges permanentes : (G)

* charges permanentes et surcharges : (G) + 1,2(P)
on prendra comme ligne de fermeture :

- la courbe qui joint les moments d'appui minimaux (en valeur absolue) dans le cas de moments positifs

- la courbe qui joint les moments d'appuis maximaux (en valeur absolue aussi) dans le cas de moments négatifs

Dans notre cas de charge, en les supposant indépendantes.

$$\underline{\text{Ex:}} \quad M_t (G+1,2P) = M_o (G+1,2P) - \frac{M_w(G) + M_e(G)}{2}$$

POUTRES

COMBINAISON DES

EFFORTS DANS

LES POUTRES

— FERRAILLAGE —

COMBINAISON DES EFFORTS DANS LES POUTRES.
FERRAILLAGE.

Calcul des moments M_o :

$$\cdot M_o (G + 1,2 \cdot P) = (q_G + 1,2 \cdot q_P) \cdot \frac{l^2}{8}$$

$$\cdot M_o (G + P + SI_{V\downarrow}) = (q_G + q_P + q_{SI_{V\downarrow}}) \cdot \frac{l^2}{8}$$

$$\cdot M_o (G + P + SI_{V\uparrow}) = (q_G + q_P + q_{SI_{V\uparrow}}) \cdot \frac{l^2}{8}$$

Calcul des moments aux appuis:

$$\cdot M_{ap} (G + 1,2 \cdot P) = M_a (G) + 1,2 M_a (P)$$

$$\cdot M_a (G + P + SI_{V\downarrow} + \overleftarrow{SI_H}) = M_a (G) + M_a (P) + M_a (SI_{V\downarrow}) + M_a (\overleftarrow{SI_H})$$

$$\cdot M_a (G + P + SI_{V\uparrow} + \overleftarrow{SI_H}) = M_a (G) + M_a (P) + M_a (SI_{V\uparrow}) + M_a (\overleftarrow{SI_H})$$

$$\cdot M_a (G + P + SI_{V\downarrow} + \overleftarrow{SI_H}) = M_a (G) + M_a (P) + M_a (SI_{V\downarrow}) + M_a (\overleftarrow{SI_H})$$

$$\cdot M_a (G + P + SI_{V\uparrow} + \overrightarrow{SI_H}) = M_a (G) + M_a (P) + M_a (SI_{V\uparrow}) + M_a (\overrightarrow{SI_H})$$

Calcul des moments en travée:

$$\cdot M_t (G + 1,2 \cdot P) = M_o (G + 1,2 \cdot P) - \frac{M_e (G) + M_w (G)}{2}$$

$$\cdot M_t (G + P + SI_{V\downarrow} + \overrightarrow{SI_H}) = M_o (G + P + SI_{V\downarrow}) - \frac{M_e (G) + M_w (G)}{2} + M_t (\overrightarrow{SI_H})$$

$$\cdot M_t (G + P + SI_{V\uparrow} + \overleftarrow{SI_H}) = M_o (G + P + SI_{V\uparrow}) - \frac{M_e (G) + M_w (G)}{2} + M_t (\overleftarrow{SI_H})$$

$$\cdot M_t (G + P + SI_{V\downarrow} + \overleftarrow{SI_H}) = M_o (G + P + SI_{V\downarrow}) - \frac{M_e (G) + M_w (G)}{2} + M_t (\overleftarrow{SI_H})$$

$$\cdot M_t (G + P + SI_{V\uparrow} + \overrightarrow{SI_H}) = M_o (G + P + SI_{V\uparrow}) - \frac{M_e (G) + M_w (G)}{2} + M_t (\overrightarrow{SI_H})$$

Efforts tranchants aux appuis:

$$\cdot T_a (G + 1,2 \cdot P) = T_a (G) + 1,2 \cdot T_a (P)$$

$$\cdot T_a (G + P + SI_{V\downarrow} + \overleftarrow{SI_H}) = T_a (G) + T_a (P) + T_a (SI_{V\downarrow}) + T_a (\overleftarrow{SI_H})$$

$$\cdot T_a (G + P + SI_{V\uparrow} + \overrightarrow{SI_H}) = T_a (G) + T_a (P) + T_a (SI_{V\uparrow}) + T_a (\overrightarrow{SI_H})$$

memoria 17

Membres dans les boutiques - SENNEVILLE - PORTAGE I.-Y.

VI.2

MOMENTS dans les POUTRES - RADIER - PORTIQUE II-I (t.m.).

N° TRAVEE	Me + Mw	G+P+SI _{1,4}		G+P+SI _{1,1}		G		P		SI _{1,4} ↓		SI _{1,1} ↑		SI _{4,4} ↑		SI _{4,4} ↓				
		q	M _o	q	M _o	q _{Me}	M _w	Me	M _w	Me	M _w	Me	M _w	Me	M _w	Me	M _w			
I	1-2	1.50	1.60	3.04	2.28	4.33	0.86	1.63	-1.35	-1.65	-0.12	-0.15	-0.66	-0.81	0.66	0.81	5.90	-3.68	-5.90	3.68
	2-3	1.65	1.60	3.04	2.28	4.33	0.46	1.63	-1.65	-1.65	-0.15	-0.15	-0.81	-0.81	0.81	0.81	3.68	-3.68	3.68	3.68
	3-4	1.65	1.60	3.04	2.28	4.33	0.86	1.63	-1.65	-1.65	-0.15	-0.15	-0.81	-0.81	0.81	0.81	3.68	-3.68	3.68	3.68
	4-5	1.66	2.08	3.95	2.57	4.88	1.41	2.68	-1.53	-1.76	-0.46	-0.52	-0.59	-0.66	4.05	0.66	13.02	-8.13	-13.02	8.13
II	5-6	1.66	2.08	3.95	2.57	4.88	1.41	2.68	-1.36	-1.76	-0.52	-0.52	-0.66	-0.66	0.66	0.66	8.13	-8.13	8.13	8.13
	6-7	1.76	2.08	3.95	2.57	4.88	1.41	2.68	-1.76	-1.76	-0.52	-0.52	-0.66	-0.66	0.66	0.66	8.13	-8.13	8.13	8.13
	7-8	1.76	2.08	3.95	2.57	4.88	1.41	2.68	-1.76	-1.76	-0.52	-0.52	-0.66	-0.66	0.66	0.66	8.13	-8.13	8.13	8.13
	8-9	1.76	2.08	3.95	2.57	4.88	1.41	2.68	-1.76	-1.76	-0.52	-0.52	-0.66	-0.66	0.66	0.66	8.13	-8.13	8.13	8.13
III	9-10	1.77	2.08	3.95	2.41	4.58	1.51	2.98	-1.58	-1.76	-0.47	-0.52	-0.43	-0.48	0.43	0.43	19.58	-11.61	-18.58	11.61
	10-11	1.76	2.08	3.95	2.41	4.58	1.51	2.98	-1.76	-1.76	-0.52	-0.52	-0.48	-0.48	0.48	0.48	11.61	-11.61	-11.61	11.61
	11-12	1.76	2.08	3.95	2.41	4.58	1.51	2.98	-1.76	-1.76	-0.52	-0.52	-0.48	-0.48	0.48	0.48	11.61	-11.61	-11.61	11.61
	12-13	1.67	2.08	3.95	2.25	4.28	1.73	3.23	-1.58	-1.76	-0.44	-0.52	-0.26	-0.30	0.26	0.30	22.33	-13.94	-22.33	13.94
IV	13-14	1.67	2.08	3.95	2.25	4.28	1.73	3.23	-1.76	-1.76	-0.52	-0.52	-0.30	-0.30	0.30	0.30	13.94	-13.94	-13.94	13.94
	14-15	1.76	2.08	3.95	2.25	4.28	1.73	3.23	-1.76	-1.76	-0.52	-0.52	-0.30	-0.30	0.30	0.30	13.94	-13.94	-13.94	13.94
	15-16	1.76	2.08	3.95	2.25	4.28	1.73	3.23	-1.76	-1.76	-0.52	-0.52	-0.30	-0.30	0.30	0.30	13.94	-13.94	-13.94	13.94
	16-17	1.70	2.08	3.95	2.10	3.99	1.88	3.53	-1.65	-1.76	-0.49	-0.52	-0.14	-0.13	0.14	0.13	19.92	-12.44	-19.92	12.44
V	17-18	1.70	2.08	3.95	2.10	3.99	1.88	3.53	-1.65	-1.76	-0.49	-0.52	-0.14	-0.13	0.14	0.13	12.44	-12.44	-12.44	12.44
	18-19	1.76	2.08	3.95	2.10	3.99	1.88	3.53	-1.76	-1.76	-0.52	-0.52	-0.13	-0.13	0.13	0.13	12.44	-12.44	-12.44	12.44
19-20		1.76	2.08	3.95	2.10	3.99	1.88	3.53	-1.76	-1.76	-0.52	-0.52	-0.13	-0.13	0.13	0.13	12.44	-12.44	-12.44	12.44

VI.4

NIVEAU HAUTEUR	G + 1,2,4			G + 4 + 5I ₁ ↓ + 5I ₁ ↑			G + 4 + 5I ₂ ↓ + 5I ₂ ↑			G + 4 + 5I ₃ ↓ + 5I ₃ ↑			G + 4 + 5I ₄ ↓ + 5I ₄ ↑		
	M _E	M _L	M _W	M _E	M _L	M _W	M _E	M _L	M _W	M _E	M _L	M _W	M _E	M _L	M _W
I	-1.49	1.54	-1.83	4.51	4.30	-6.96	-8.99	1.78	1.48	6.05	1.19	-5.08	-7.45	-1.33	3.36
II	-1.83	1.39	-1.83	1.48	2.89	-6.96	-6.96	2.89	1.48	3.36	-0.22	-5.08	-5.08	-0.22	3.36
III	-1.83	1.39	-1.83	1.48	2.89	-6.96	-6.96	2.89	1.48	3.36	-0.22	-5.08	-5.08	-0.22	3.36
IV	-2.12	2.29	-2.38	12.20	6.19	-12.38	-17.64	0.61	6.28	13.58	3.64	-10.84	-16.26	-1.94	7.82
V	-2.38	2.19	-2.38	6.28	3.30	-12.38	3.30	6.28	7.82	0.75	-10.84	-10.84	0.45	7.82	
VI	-2.38	2.19	-2.38	6.28	3.30	-12.38	3.30	6.28	7.82	0.75	-10.84	-10.84	0.45	7.82	
VII	-2.14	2.28	-2.38	18.46	7.03	-16.13	-23.86	-0.97	10.47	19.46	5.20	-15.03	-22.86	-2.80	11.57
VIII	-2.38	2.19	-2.38	10.47	2.94	-16.13	-16.13	2.94	10.47	11.57	1.11	-15.03	-15.03	1.11	11.57
IX	-2.38	2.19	-2.38	10.47	2.94	-16.13	-16.13	2.94	10.47	11.57	1.11	-15.03	-15.03	1.11	11.57
X	-2.14	2.28	-2.38	23.28	7.49	-18.62	-27.98	-2.13	13.38	23.88	6.35	-17.94	-24.38	-3.27	14.06
XI	-2.38	2.19	-2.38	13.38	2.59	-18.63	-18.62	2.59	13.38	14.06	1.45	-17.94	-17.94	1.45	14.06
XII	-2.38	2.19	-2.38	+13.38	2.59	-18.62	-18.62	2.59	13.38	14.06	1.45	-17.94	-17.94	1.45	14.06
XIII	-2.24	2.25	-2.38	20.61	6.61	-16.40	-25.15	-1.99	11.86	20.87	6.15	-16.42	-24.89	-2.45	12.14
XIV	-2.38	2.19	-2.38	11.86	2.25	-16.40	-16.40	2.25	11.86	12.14	1.79	-16.42	-16.42	1.79	12.14
XV	-2.38	2.19	-2.38	11.86	2.25	-16.40	-16.40	2.25	11.86	12.14	1.79	-16.42	-16.42	1.79	12.14

Combinaison des moments dans les portes - Régime II-II. (tm)

VI.5

NIVEAU TRAVÉE	G + I,2,P				G + P + SI _V ↓ + SI _H ↑				G + P + SI _V ↓ + SI _H				G + P + SI _V ↑ + SI _H				G + P + SI _V ↑ + SI _H ↓				
	M _e	M _h	M _w	M _a	M _e	M _h	M _w	M _a	M _e	M _h	M _w	M _a	M _e	M _h	M _w	M _a	M _e	M _h	M _w	M _a	
I	-1.2	-1.49	1.54	-1.83	3.77	3.94	-6.29	-8.03	1.72	1.07	5.09	1.24	-14.67	-6.71	-0.98	2.69					
I	2-3	-1.83	1.39	-1.83	1.07	2.68	-6.29	-6.29	2.68	1.07	2.69	-0.02	-4.67	-4.67	-0.02	2.69					
II	3-4	-1.83	1.39	-1.83	1.07	2.68	-6.29	-6.29	2.68	1.07	2.69	-0.02	-4.67	-4.67	-0.02	2.69					
II	5-6	-2.12	2.29	-2.38	10.40	5.66	-11.07	-15.64	0.78	5.19	11.58	3.46	-9.75	-14.46	-1.42	6.51					
II	6-7	-2.38	2.19	-2.38	5.19	3.12	-11.07	-11.07	3.12	5.19	6.51	0.92	-9.75	-9.75	0.92	6.51					
II	7-8	-2.38	2.19	-2.38	5.19	3.12	-11.07	-11.07	3.12	5.19	6.51	0.92	-9.75	-9.75	0.92	6.51					
III	8-9	-2.14	2.28	-2.38	16.10	6.39	-14.37	-21.06	-0.57	8.85	16.96	4.79	-13.41	-20.20	-2.17	9.81					
III	9-10	-2.14	2.28	-2.38	16.10	6.39	-14.37	-21.06	-0.57	8.85	16.96	4.79	-13.41	-20.20	-2.17	9.81					
III	10-11	-2.38	2.19	-2.38	8.85	2.82	-14.37	-14.37	2.82	8.85	9.81	1.22	-13.41	-13.41	1.22	9.81					
III	11-12	-2.38	2.19	-2.38	8.85	2.82	-14.37	-14.37	2.82	8.85	9.81	1.22	-13.41	-13.41	1.22	9.81					
IV	12-13	-2.14	2.28	-2.38	20.02	6.81	-16.52	-24.64	-1.59	11.36	20.54	5.82	-15.92	-24.12	-2.58	11.96					
IV	13-14	-2.38	2.19	-2.38	11.36	2.52	-16.52	-16.52	2.52	11.36	11.96	1.53	-15.92	-15.92	1.53	11.96					
IV	14-15	-2.38	2.19	-2.38	11.36	2.52	-16.52	-16.52	2.52	11.36	11.96	1.53	-15.92	-15.92	1.53	11.96					
IV	15-16	-2.38	2.19	-2.38	11.36	2.52	-16.52	-16.52	2.52	11.36	11.96	1.53	-15.92	-15.92	1.53	11.96					
V	16-17	-2.24	2.25	-2.38	17.67	6.03	-14.85	-22.17	-1.45	10.03	17.89	5.61	-14.61	-21.95	-1.87	10.29					
V	17-18	-2.38	2.19	-2.38	10.03	2.23	-14.85	-14.85	2.23	10.03	10.29	1.81	-14.61	-14.61	1.81	10.29					
V	18-19	-2.38	2.19	-2.38	10.03	2.23	-14.85	-14.85	2.23	10.03	10.29	1.81	-14.61	-14.61	1.81	10.29					
V	19-20	-2.38	2.19	-2.38	10.03	2.23	-14.85	-14.85	2.23	10.03	10.29	1.81	-14.61	-14.61	1.81	10.29					

Effort tranchant en "t"

COMBINAISON DES EFFORTS TRANCHANTS DANS LES POUTRES - PORTIQUE I-I

S.P₁ S.P₂ max

VI. 6

— SEMELLES —

NIVEAU TRAVEE	G + 1,2 P	G + P + SI _V + SI _H	S.P ₁	S.P ₂ max	
I	T _e	T _w	T _e	T _w	
1 - 2	3.03	-3.15	7.34	-7.55	
2 - 3	3.10	-3.10	6.81	-6.81	
3 - 4	3.10	-3.10	6.81	-6.81	
IV	5 - 6	3.98	-4.12	11.31	-11.48
6 - 7	4.06	-4.06	9.96	-9.96	
V	7 - 8	4.06	-4.06	9.96	-9.96
VI	9 - 10	3.99	-4.12	13.01	-13.16
VII	10 - 11	4.06	-4.06	11.64	-11.64
VIII	11 - 12	4.06	-4.06	11.64	-11.64
IX	13 - 14	3.99	-4.12	15.06	-15.20
X	14 - 15	4.06	-4.06	12.66	-12.66
XI	15 - 16	4.06	-4.06	12.66	-12.66
XII	17 - 18	3.99	-4.12	13.66	-13.69
XIII	18 - 19	4.06	-4.06	11.43	-11.43
XIV	19 - 20	4.06	-4.06	11.43	-11.43

— RADIER —

NIVEAU TRAVEE	G + 1,2 P	G + P + SI _V + SI _H	S.P ₁	S.P ₂ max	
I	T _e	T _w	T _e	T _w	
13 - 14	3.99	-4.12	13.62	-13.76	
IV	14 - 15	4.06	-4.06	11.54	-11.54
V	15 - 16	4.06	-4.06	11.54	-11.54
VI	17 - 18	3.99	-4.12	12.35	-12.44
VII	18 - 19	4.06	-4.06	10.47	-10.47
VIII	19 - 20	4.06	-4.06	10.47	-10.47

MOMENTS DANS LES PORTES - SEMEUSES - PORTION III - III

N° LIGNE	N° ROUTE	M+MW		G+1,2 P		G+P+Si↑↓		G+P+Si↑↑		G		P		Si↑↓		Si↑↑		Si↑↓		Si↑↑			
		2	q	m _o	q	m _o	9	m _o	m _e	m _w	m _o	m _e	m _w	m _o	m _e	m _w	m _o	m _e	m _w	m _o	m _e	m _w	
I	1-2	1,13	1,39	2,64	2,14	4,06	0,58	1,09	-0,78	-1,47	-0,04	-0,08	-0,44	-0,89	0,47	0,89	6,43	-4,00	-6,43	4,00			
	2-3	1,47	1,39	2,64	2,14	4,06	0,58	1,09	-1,47	-1,47	-0,08	-0,08	-0,89	-0,89	0,89	0,89	4,00	-4,00	-4,00	4,00			
	3-4	1,47	1,39	2,64	2,14	4,06	0,58	1,09	-1,47	-1,47	-0,08	-0,08	-0,89	-0,89	0,89	0,89	4,00	-4,00	-4,00	4,00			
II	5-6	1,05	1,37	2,60	1,90	3,61	0,74	1,44	-0,85	-1,25	-0,18	-0,26	-0,45	-0,66	0,45	0,66	13,79	-8,62	-13,79	8,62			
	6-7	1,25	1,37	2,60	1,90	3,61	0,74	1,44	-1,25	-1,25	-0,26	-0,26	-0,66	-0,66	0,66	0,66	8,62	-8,62	-8,62	8,62			
	7-8	1,25	1,37	2,60	1,90	3,61	0,74	1,44	-1,25	-1,25	-0,26	-0,26	-0,66	-0,66	0,66	0,66	8,62	-8,62	-8,62	8,62			
III	9-10	1,06	1,37	2,60	1,74	3,31	0,90	1,71	-0,84	-1,25	-0,18	-0,26	-0,33	-0,48	0,33	0,48	19,35	-12,10	-19,35	12,10			
	10-11	1,25	1,37	2,60	1,74	3,31	0,90	1,71	-1,25	-1,25	-0,26	-0,26	-0,48	-0,48	0,48	0,48	12,10	-12,10	-12,10	12,10			
	11-12	1,25	1,37	2,60	1,74	3,31	0,90	1,71	-1,25	-1,25	-0,26	-0,26	-0,48	-0,48	0,48	0,48	12,10	-12,10	-12,10	12,10			
IV	13-14	1,06	1,37	2,60	1,59	3,02	1,05	1,99	-0,87	-1,25	-0,18	-0,26	-0,21	-0,31	0,21	0,31	23,16	-14,47	-23,16	14,47			
	14-15	1,25	1,37	2,60	1,59	3,02	1,05	1,99	-1,25	-1,25	-0,26	-0,26	-0,31	-0,31	0,31	0,31	14,47	-14,47	-14,47	14,47			
	15-16	1,25	1,37	2,60	1,59	3,02	1,05	1,99	-1,25	-1,25	-0,26	-0,26	-0,31	-0,31	0,31	0,31	14,47	-14,47	-14,47	14,47			
V	17-18	1,12	1,37	2,60	1,43	2,72	1,21	2,30	-0,99	-1,25	-0,21	-0,26	-0,11	-0,13	0,11	0,13	20,65	-12,90	-20,65	12,90			
	18-19	1,25	1,37	2,60	1,43	2,72	1,21	2,30	-1,25	-1,25	-0,26	-0,26	-0,13	-0,13	0,13	0,13	12,90	-12,90	-12,90	12,90			
	19-20	1,25	1,37	2,60	1,43	2,72	1,21	2,30	-1,25	-1,25	-0,26	-0,26	-0,13	-0,13	0,13	0,13	12,90	-12,90	-12,90	12,90			

1.77

MOMENTS DANS LES POUTRES - RADIER PORTIQUE III - III

moments $\rightarrow t.m$

NIVEAU	N°	G + 1.2 P		G + P + SIV		G + P + SIV'		G		P		SIV ↓		SIV ↑		SIIH		SIIH'		
		Me + Mw	2	Mo	q	Mo	q	Mo	Me	Mo	Me	Mo	Me	Mo	Me	Mo	Me	Mo	Me	
I	1-2	1.13	1.39	2.64	2.03	3.83	0.67	1.28	-0.78	-1.44	-0.04	-0.08	-0.42	-0.79	0.42	0.79	5.59	-3.49	-5.59	3.49
I	2-3	1.47	1.39	2.64	2.03	3.83	0.67	1.28	-1.44	-1.44	-0.08	-0.08	-0.79	-0.79	0.79	0.79	3.49	-3.49	-3.49	3.49
I	3-4	1.47	1.39	2.64	2.03	3.83	0.67	1.28	-1.44	-1.44	-0.09	-0.08	-0.79	-0.79	0.79	0.79	3.49	-3.49	-3.49	3.49
II	5-6	1.05	1.37	2.60	1.82	3.46	0.82	1.56	-0.85	-1.25	-0.18	-0.18	-0.38	-0.57	0.38	0.57	11.67	-7.49	-11.67	7.49
II	6-7	1.25	1.37	2.60	1.82	3.46	0.82	1.56	-1.25	-1.25	-0.26	-0.26	-0.57	-0.57	0.57	0.57	7.49	-7.49	-7.49	7.49
II	7-8	1.25	1.37	2.60	1.82	3.46	0.82	1.56	-1.25	-1.25	-0.26	-0.26	-0.57	-0.57	0.57	0.57	7.49	-7.49	-7.49	7.49
III	9-10	1.06	1.37	2.60	1.69	3.21	0.95	1.81	-0.89	-1.25	-0.18	-0.18	-0.28	-0.42	0.28	0.42	16.81	-10.52	-16.81	10.52
III	10-11	1.25	1.37	2.60	1.69	3.21	0.95	1.81	-1.25	-1.25	-0.26	-0.26	-0.42	-0.42	0.42	0.42	10.52	-10.52	-10.52	10.52
III	11-12	1.25	1.37	2.60	1.69	3.21	0.95	1.91	-1.25	-1.25	-0.26	-0.26	-0.42	-0.42	0.42	0.42	10.52	-10.52	-10.52	10.52
IV	13-14	1.06	1.37	2.60	1.55	2.95	1.09	2.07	-0.87	-1.25	-0.18	-0.18	-0.26	-0.18	0.26	0.26	20.12	-12.58	-20.12	12.58
IV	14-15	1.25	1.37	2.60	1.55	2.95	1.09	2.07	-1.25	-1.25	-0.26	-0.26	-0.46	-0.46	0.46	0.46	12.58	-12.58	-12.58	12.58
IV	15-16	1.25	1.37	2.60	1.55	2.95	1.09	2.07	-1.25	-1.25	-0.26	-0.26	-0.46	-0.46	0.46	0.46	12.58	-12.58	-12.58	12.58
V	17-18	1.12	1.37	2.60	1.41	2.68	1.23	2.84	-0.90	-1.25	-0.21	-0.21	-0.08	-0.10	0.08	0.10	17.92	-11.20	-17.92	11.20
V	18-19	1.25	1.37	2.60	1.41	2.68	1.23	2.84	-1.25	-1.25	-0.26	-0.26	-0.10	-0.10	0.10	0.10	11.20	-11.20	-11.20	11.20
V	19-20	1.25	1.37	2.60	1.41	2.68	1.23	2.84	-1.25	-1.25	-0.26	-0.26	-0.10	-0.10	0.10	0.10	11.20	-11.20	-11.20	11.20

27

COMPARAISON DES MOMENTS DANS LES POUTRES - BEMELEA - POUR LA COURSE III-III

moments : t.m.

N° DE LA POUTRE	G + 1.2 P				G + P + Siv ✓ Sin				G + P + Siv ✓ Sin ✓ Sin				G + P + Siv ✓ Sin ✓ Sin ✓ Sin			
	M _C	M _E	M _W	M _e	M _C	M _E	M _W	M _e	M _C	M _E	M _W	M _e	M _C	M _E	M _W	
I	-1.2	-0.83	1.51	-1.57	5.14	4.14	-6.44	-7.72	1.72	1.56	6.08	1.17	-4.66	-6.78	-1.25	3.34
	2.3	-1.57	1.14	-1.57	1.56	2.59	-6.44	-6.44	2.59	1.56	3.64	-0.38	-4.66	-4.66	-0.38	3.34
	3.4	-1.57	1.14	-1.57	1.56	2.59	-6.44	-6.44	2.59	1.56	3.64	-0.38	-4.66	-4.66	-0.38	3.34
	5.6	-1.07	1.55	-1.56	12.31	5.14	-10.79	-15.27	-0.02	6.45	13.21	2.94	-9.47	-14.37	-2.22	7.77
II	6.7	-1.56	1.35	-1.56	6.45	2.36	-10.79	-10.79	2.36	6.45	7.77	0.16	-9.47	-9.47	0.16	7.77
	7.8	-1.56	1.35	-1.56	6.45	2.36	-10.79	-10.79	2.36	6.45	7.77	0.16	-9.47	-9.47	0.16	7.77
	9.-10	-1.09	1.54	-1.56	17.97	5.87	-14.09	-20.73	-1.57	10.11	18.63	4.27	-13.13	-20.04	-2.97	11.07
	10.-11	-1.56	1.35	-1.56	10.11	2.06	-14.09	-14.09	2.06	10.11	11.07	0.46	-13.13	-13.13	0.46	11.07
III	11.-12	-1.56	1.35	-1.56	10.11	2.06	-14.09	-14.09	2.06	10.11	11.07	0.46	-13.13	-13.13	0.46	11.07
	13.-14	-1.09	1.54	-1.56	21.90	6.30	-16.29	-24.42	-2.38	12.65	22.32	5.27	-15.67	-24.00	-3.41	13.27
	14.-15	-1.56	1.35	-1.56	12.65	1.77	-16.29	-16.29	1.77	12.65	13.27	0.74	-15.67	-15.67	0.74	13.27
	15.-16	-1.56	1.35	-1.56	12.65	1.77	-16.29	-16.29	1.77	12.65	13.27	0.74	-15.67	-15.67	0.74	13.27
IV	17.18	-1.24	1.42	-1.56	19.34	5.47	-14.54	-21.96	-2.27	11.26	19.56	5.05	-14.28	-21.74	-2.69	11.52
	18.-19	-1.56	1.35	-1.56	11.26	1.47	-14.54	-14.54	1.47	11.26	11.52	1.05	-14.28	-14.28	1.05	11.52
	19.-20	-1.56	1.35	-1.56	11.26	1.47	-14.54	-14.54	1.47	11.26	11.52	1.05	-14.28	-14.28	1.05	11.52

67

VI. 10

G + 1,2 P				G + P + SIV \downarrow + ST \downarrow				G + P + SIV \downarrow + ST \downarrow				G + P + SIV \uparrow + ST \downarrow				G + P + SIV \uparrow + ST \downarrow			
NIVEAU	TRAPEZ	M _e	M _w	M _e	M _w	M _e	M _w	M _e	M _w	M _e	M _w	M _e	M _w	M _e	M _w				
I	1-2	-0.83	1.51	-1.57	4.35	3.79	-5.83	-6.83	1.69	1.15	5.19	4.20	-4.25	-5.99	-0.90	2.73			
I	2-3	-1.57	1.17	-1.57	1.15	2.40	-5.83	-5.83	2.40	1.15	2.73	-0.19	-4.25	-4.25	-0.19	2.73			
II	3-4	-1.57	1.17	-1.57	1.15	2.40	-5.83	-5.83	2.40	1.15	2.73	-0.19	-4.25	-4.25	-0.19	2.73			
II	5-6	-1.07	1.55	-1.56	10.26	4.50	-5.57	-13.08	0.32	5.41	11.02	2.60	-8.43	-12.32	-1.58	6.55			
II	6-7	-1.56	1.35	-1.56	5.41	2.21	-9.57	-9.57	2.21	5.41	6.55	0.31	-8.43	-8.43	0.31	6.55			
II	7-8	-1.56	1.35	-1.56	5.41	2.21	-9.57	-9.57	2.21	5.41	6.55	0.31	-8.43	-8.43	0.31	6.55			
III	8-9	-1.09	1.54	-1.56	15.48	5.29	-12.45	-18.14	-0.99	8.59	16.04	3.89	-11.61	-14.58	-2.39	9.43			
III	9-10	-1.56	1.35	-1.56	8.59	1.96	-12.45	-12.45	1.96	8.59	9.43	0.56	-11.61	-11.61	0.56	9.43			
III	10-11	-1.56	1.35	-1.56	8.59	1.96	-12.45	-12.45	1.96	8.59	9.43	0.56	-11.61	-11.61	0.56	9.43			
III	11-12	-1.56	1.35	-1.56	8.59	1.96	-12.45	-12.45	1.96	8.59	9.43	0.56	-11.61	-11.61	0.56	9.43			
III	12-13	-1.09	1.54	-1.56	18.89	5.66	-14.35	-21.35	-1.88	10.81	19.25	4.78	-13.83	-20.89	-2.76	11.33			
III	13-14	-1.56	1.35	-1.56	10.81	1.70	-14.35	-14.35	1.70	10.81	11.33	0.82	-13.83	-13.83	0.82	11.33			
III	14-15	-1.56	1.35	-1.56	10.81	1.70	-14.35	-14.35	1.70	10.81	11.33	0.82	-13.83	-13.83	0.82	11.33			
III	15-16	-1.56	1.35	-1.56	10.81	1.70	-14.35	-14.35	1.70	10.81	11.33	0.82	-13.83	-13.83	0.82	11.33			
IV	17-18	-1.24	1.48	-1.56	16.64	4.92	-12.81	-19.20	-1.80	9.59	16.80	4.58	-12.61	-19.04	-2.14	9.79			
IV	18-19	-1.56	1.35	-1.56	9.59	1.43	-12.81	-12.81	1.43	5.59	9.49	1.09	-12.61	-12.61	1.09	9.79			
IV	19-20	-1.56	1.35	-1.56	9.59	1.43	-12.81	-12.81	1.43	5.59	9.49	1.09	-12.61	-12.61	1.09	9.79			

VI. 77

NIVEAU TRAVEREE	$G + I, 2, \Phi$		$G + \Phi + S\bar{L}_V + S\bar{L}_H$		$S_P, \text{ MAX}$					
	T_e	T_w	T_e	T_w	T_e	T_w				
I	1-2	2.48	-2.86	6.54	-7.13	1-2	2.48	-2.86	6.04	-6.57
	2-3	2.67	-2.67	6.21	-6.21	2-3	2.67	-2.67	5.75	-5.75
	3-4	2.67	-2.67	6.21	-6.21	3-4	2.67	-2.67	5.75	-5.75
	5-6	2.54	-2.78	9.27	-9.61	5-6	2.54	-2.78	8.29	-8.62
	6-7	2.66	-2.66	8.12	-8.12	6-7	2.66	-2.66	7.38	-7.38
	7-8	2.66	-2.66	8.12	-8.12	7-8	2.66	-2.66	7.38	-7.38
	9-10	2.55	-2.78	11.30	-11.61	9-10	2.55	-2.78	10.14	-10.44
	10-11	2.66	-2.66	9.59	-9.59	10-11	2.66	-2.66	8.68	-8.68
	11-12	2.66	-2.66	9.59	-9.59	11-12	2.66	-2.66	8.68	-8.68
	13-14	2.55	-2.78	12.61	-12.89	13-14	2.55	-2.78	11.27	-11.53
	14-15	2.66	-2.66	10.52	-10.52	14-15	2.66	-2.66	9.47	-9.47
	15-16	2.66	-2.66	10.52	-10.52	15-16	2.66	-2.66	9.47	-9.47
	17-18	2.58	-2.74	11.30	-11.47	17-18	2.58	-2.74	10.13	-10.30
	18-19	2.66	-2.66	9.39	-9.39	18-19	2.66	-2.66	8.48	-8.48
	19-20	2.66	-2.66	9.39	-9.39	19-20	2.66	-2.66	8.48	-8.48

NIVEAU TRAVEREE	$G + I, 2, \Phi$		$G + \Phi + S\bar{L}_V + S\bar{L}_H$		$S_P, \text{ MAX}$					
	T_e	T_w	T_e	T_w	T_e	T_w				
I	1-2	2.48	-2.86	6.54	-7.13	1-2	2.48	-2.86	6.04	-6.57
	2-3	2.67	-2.67	6.21	-6.21	2-3	2.67	-2.67	5.75	-5.75
	3-4	2.67	-2.67	6.21	-6.21	3-4	2.67	-2.67	5.75	-5.75
	5-6	2.54	-2.78	9.27	-9.61	5-6	2.54	-2.78	8.29	-8.62
	6-7	2.66	-2.66	8.12	-8.12	6-7	2.66	-2.66	7.38	-7.38
	7-8	2.66	-2.66	8.12	-8.12	7-8	2.66	-2.66	7.38	-7.38
	9-10	2.55	-2.78	11.30	-11.61	9-10	2.55	-2.78	10.14	-10.44
	10-11	2.66	-2.66	9.59	-9.59	10-11	2.66	-2.66	8.68	-8.68
	11-12	2.66	-2.66	9.59	-9.59	11-12	2.66	-2.66	8.68	-8.68
	13-14	2.55	-2.78	12.61	-12.89	13-14	2.55	-2.78	11.27	-11.53
	14-15	2.66	-2.66	10.52	-10.52	14-15	2.66	-2.66	9.47	-9.47
	15-16	2.66	-2.66	10.52	-10.52	15-16	2.66	-2.66	9.47	-9.47
	17-18	2.58	-2.74	11.30	-11.47	17-18	2.58	-2.74	10.13	-10.30
	18-19	2.66	-2.66	9.39	-9.39	18-19	2.66	-2.66	8.48	-8.48
	19-20	2.66	-2.66	9.39	-9.39	19-20	2.66	-2.66	8.48	-8.48

MOMENTS DANS LES POUTRES - SANNELLES - PORTIQUE VI-II

moments : t.m.

VI. 72

NIVEAU TRAUPEE	Me + Mw 2 (G)	G + 1.2 P		G + P + Sinv↓		G + P + Sinv↑		G		P		Sinv↓		Sinv↑		Sinv→		Sinv←		
		q	Mo	q	Mo	q	Mo	Me	Mw	Me	Mw	Me	Mw	Me	Mw	Me	Mw	Me	Mw	
I	1 - 2	8.48	4.04	22.47	4.84	26.92	3.06	17.02	-7.56	-9.40	-0.97	-1.21	-1.92	-2.39	1.92	2.39	13.37	-2.10	-13.37	2.10
	2 - 3	8.35	4.04	24.45	4.84	2.93	3.06	1.85	-8.35	-8.35	-1.07	-1.07	-2.12	-2.12	2.12	2.12	2.10	-2.10	-2.10	2.10
	3 - 4	8.48	4.04	22.47	4.84	26.92	3.06	17.02	-9.40	-7.56	-1.21	-6.97	-2.38	-1.92	2.38	1.92	2.10	-13.37	-2.10	13.37
II	5 - 6	12.32	5.50	30.58	5.98	33.26	4.38	24.26	-9.79	-14.86	-4.10	-4.34	-2.07	-2.19	2.07	2.19	30.70	-4.84	-30.70	4.84
	6 - 7	9.94	5.50	3.33	5.98	3.62	4.38	2.65	-11.38	-7.99	-3.50	-3.50	-1.77	-1.77	1.77	1.77	4.84	-4.84	4.84	4.84
	7 - 8	9.60	5.50	30.58	5.98	33.26	4.38	24.36	-9.87	-9.34	-4.33	-4.10	-2.19	-2.07	2.19	2.07	4.84	-30.70	4.84	30.70
III	9 - 10	12.41	5.50	30.58	5.98	32.03	4.60	25.58	-9.92	-14.90	-4.15	-4.34	-1.52	-1.59	1.52	1.59	44.78	-7.06	-44.78	7.06
	10 - 11	9.85	5.50	3.33	5.98	3.48	4.60	2.78	-11.77	-7.92	-3.47	-3.47	-1.27	-1.27	1.27	1.27	7.06	-7.06	7.06	7.06
	11 - 12	9.67	5.50	30.58	5.98	32.03	4.60	25.58	-9.89	-9.46	-4.34	-4.15	-1.59	-1.52	1.59	1.52	7.06	-44.78	7.06	44.78
IV	13 - 14	12.41	5.50	30.58	5.94	30.80	4.82	26.80	-9.92	-14.90	-4.15	-4.34	-0.95	-0.99	0.95	0.99	54.28	-8.57	-54.28	8.57
	14 - 15	9.84	5.50	3.33	5.94	3.35	4.82	2.92	-11.77	-7.92	-3.47	-3.47	-0.79	-0.79	0.79	0.79	8.57	-8.57	8.57	8.57
	15 - 16	9.67	5.50	30.58	5.94	30.80	4.82	26.80	-9.89	-9.46	-4.34	-4.15	-0.99	-0.95	0.95	0.99	8.57	-54.28	-8.57	54.28
V	17 - 18	13.06	5.50	30.58	5.94	29.69	5.02	27.92	-10.85	-15.27	-4.54	-4.44	-0.46	-0.45	0.46	0.45	48.75	-7.70	-48.75	7.70
	18 - 19	8.92	5.50	3.33	5.94	3.23	5.02	3.04	-10.64	-7.20	-3.16	-3.16	-0.32	-0.32	0.32	0.32	7.70	-7.70	7.70	7.70
	19 - 20	10.23	5.50	30.58	5.94	29.69	5.02	27.92	-10.12	-10.35	-4.44	-4.54	-0.45	-0.46	0.46	0.46	7.70	-48.75	-7.70	48.75

VI.13

NIVEAU	TRAVERSE	G + R, P		G + R, Suy		G + R, Suy		G		P		Siv↓		Siv↑		Siv↑		Siv↑		
		M + MW	g	g	Mo	g	Mo	MW	Me	MW	Me	MW	Me	MW	Me	MW	Me	MW	Me	MW
I	1 - 2	8,48	4,04	22,47	4,70	26,25	3,18	17,68	-7,56	-9,40	0,92	4,87	-1,66	4,06	1,66	2,06	14,65	-7,84	-14,65	1,84
	2 - 3	8,35	4,04	2,45	4,72	2,85	3,18	18,0	-8,35	-8,35	-1,07	1,07	-7,83	1,83	1,83	1,84	1,84	1,84	1,84	1,84
	3 - 4	8,48	4,04	20,45	4,92	26,05	3,18	17,68	-9,40	-7,56	1,24	9,97	-2,06	1,66	2,06	1,66	1,84	-11,65	-11,84	14,65
	5 - 6	12,32	5,50	30,58	5,87	32,66	4,49	24,97	-9,79	-14,86	-6,10	-4,34	-1,78	1,89	1,78	1,89	2,72	-4,81	-2,62	4,21
II	6 - 7	9,94	5,50	3,33	5,87	3,55	4,49	2,72	-4,88	-7,93	-3,50	-1,53	1,53	1,53	1,53	4,21	-4,21	4,21	4,21	4,21
	7 - 8	9,60	5,50	30,58	5,87	32,64	4,49	24,97	-9,87	-9,34	-4,33	-4,10	-1,89	-1,78	1,89	1,78	4,21	-26,21	-4,21	2,62
	9 - 10	12,41	5,50	30,58	5,68	31,59	4,68	26,03	-9,92	-14,90	-4,15	-4,34	-1,31	1,37	1,31	1,37	39,00	-6,75	-39,00	6,75
	10 - 11	9,85	5,50	3,33	5,68	3,44	4,68	2,83	-14,71	-7,92	3,47	-3,47	-1,10	-1,10	1,10	1,10	6,75	-6,75	6,75	6,75
III	11 - 12	9,67	5,50	30,58	5,68	31,59	4,68	16,03	-9,89	-9,46	-4,34	-4,15	-1,37	-1,31	1,31	1,31	6,75	-39,00	-6,75	39,00
	13 - 14	12,41	5,50	30,58	5,49	30,53	4,87	27,08	-9,92	-14,90	-4,15	-4,34	-9,82	-9,82	0,82	0,82	47,29	-7,46	47,29	7,46
	14 - 15	9,84	5,50	3,33	5,49	3,32	4,87	2,95	-11,77	-7,92	-3,47	-3,47	-0,68	-0,68	0,68	0,68	7,46	-7,46	7,46	7,46
	15 - 16	9,67	5,50	30,58	5,49	30,53	4,87	27,08	-9,89	-9,46	-4,34	-4,15	-0,85	-0,82	0,85	0,82	7,46	-47,29	-7,46	47,29
IV	17 - 18	13,06	5,50	30,58	5,31	29,53	5,05	28,08	-10,85	-15,21	-4,54	-4,44	-9,37	-9,37	0,37	0,37	47,44	-6,70	42,44	6,70
	18 - 19	8,92	5,50	3,33	5,31	3,21	5,05	3,05	-10,84	-7,20	-3,16	-3,16	-0,26	-0,26	0,26	0,26	6,70	-6,70	6,70	6,70
	19 - 20	10,23	5,50	30,58	5,31	29,53	5,05	28,08	-10,85	-14,44	-4,18	-4,37	0,37	0,37	6,70	6,70	-47,29	-6,70	42,44	6,70

moments: t_m

VI.

G + 1.2 R				G + P + S \downarrow S \uparrow				G + P + S \downarrow S \downarrow				G + P + S \uparrow S \uparrow				G + P + S \uparrow S \downarrow			
NIVEAU	TRAUPE	me	Mw	me	Mt	mw	me	me	Mw	me	Mt	mw	me	Mw	me	Mt	mw		
I	1-2	-8,72	13,99	-10,85	2,92	24,08	-75,10	-23,82	12,80	-10,90	6,76	14,18	-10,32	-19,98	2,90	-6,12			
	2-3	-9,13	-5,90	-9,63	-9,44	-5,42	-13,64	-13,64	-5,42	-9,44	-5,2	-6,50	-9,40	-9,40	-6,50	-5,20			
	3-4	-10,65	13,99	-8,72	-10,89	12,80	-23,82	15,09	24,08	2,92	-6,16	2,90	-19,98	-10,36	14,18	6,76			
	5-6	-14,71	18,26	-20,07	14,74	33,87	-26,23	-46,66	8,01	-16,65	18,88	24,97	-21,85	-42,52	-9,89	-12,17			
II	6-7	-16,08	-6,61	-12,19	-12,31	-6,32	-18,10	-21,99	-6,32	-8,42	-8,77	-7,29	-14,56	-18,45	-7,29	-4,88			
	7-8	-15,07	20,98	-14,26	-11,55	10,73	-46,21	-21,23	36,59	15,19	-7,17	1,83	-4,07	-16,85	27,69	19,33			
	8-9	-14,90	18,17	-20,11	29,19	38,48	-27,89	-6,93	0,76	-13,77	32,23	32,03	-24,71	-57,33	-5,69	-19,59			
	10-11	-15,93	-6,52	-12,08	-9,45	-6,37	-19,72	-23,57	-6,37	-5,60	-6,91	-7,07	-17,18	-21,03	-7,07	-3,06			
III	11-12	-15,70	20,91	-14,44	-8,76	3,50	-59,91	-22,88	41,22	29,65	-5,58	-3,95	-56,87	-19,70	34,77	32,69			
	12-13	-14,90	18,77	-20,11	39,26	41,25	-28,80	-6,93	-4,47	-21,66	41,16	37,25	-26,82	-67,40	-8,47	-9,68			
	13-14	-15,93	-6,51	-12,08	-7,46	-6,49	-29,75	-24,60	-6,49	-3,61	-5,88	-6,92	-19,77	-23,02	-6,92	-2,03			
	14-15	-15,10	20,91	-14,44	-6,65	-1,73	-63,84	-23,79	43,99	39,72	-4,67	-5,73	-66,94	-21,81	39,99	41,62			
IV	15-16	-16,30	17,52	-20,60	32,90	37,15	-27,86	-64,60	-3,89	-12,46	33,82	35,38	-26,96	-63,68	-5,66	-11,52			
	16-17	-14,43	-5,59	-10,99	-6,42	-5,69	-18,38	-21,82	5,69	-2,98	-5,78	-5,88	-17,74	-21,78	-5,88	-2,34			
	17-18	-15,45	20,35	-15,80	-7,31	-1,06	-64,16	-22,71	39,98	33,40	-6,41	-2,83	-63,18	-21,81	38,21	34,32			

VI. 15

NIVEAU TRAVEE	G + 1.2 P			G + P + $\overleftarrow{\sin \uparrow}$ + $\overrightarrow{\sin}$			G + P + $\overleftarrow{\sin \downarrow}$ + $\overrightarrow{\sin}$			G + P + $\overleftarrow{\sin \uparrow}$ + $\overleftarrow{\sin}$			G + P + $\overleftarrow{\sin \uparrow}$ + $\overleftarrow{\sin}$			
	M _e	M _t	M _w	M _e	M _t	M _w	M _e	M _t	M _w	M _e	M _t	M _w	M _e	M _t	M _w	
I	-8,72	13,99	-14,85	1,46	22,67	-14,51	-21,84	12,87	-10,83	4,71	14,10	-19,39	-18,52	4,30	-6,71	
	2,3	-9,63	-5,90	-9,63	-9,41	-5,50	-13,09	-13,09	-5,50	-9,41	-5,75	-6,43	-9,43	-6,43	-5,75	
	3,4	-10,85	13,99	-8,72	-10,86	12,87	-21,84	-14,54	22,67	1,46	-6,74	4,30	-78,52	-10,42	14,10	4,78
	5,6	-14,71	18,26	-29,07	11,05	31,57	-25,30	-42,39	9,07	-16,88	14,61	23,90	-21,52	-38,83	1,40	-13,10
II	6,7	-16,08	-6,61	-12,19	-12,70	-6,39	-17,23	-21,12	-6,39	-8,81	-9,64	-7,22	-14,17	-18,06	-7,22	-5,75
	8,8	-15,07	20,98	-14,26	-11,88	11,79	-11,94	-26,30	34,29	11,50	-8,10	4,12	-38,38	-16,52	26,62	15,06
	9-10	-14,90	18,17	-20,11	23,62	-35,60	-26,76	-54,38	27,6	-14,46	26,24	30,04	-24,02	-5,176	-2,80	-11,72
	10-11	-15,93	-6,52	12,08	-10,19	-6,41	-18,64	-22,49	-6,41	-6,34	-7,99	-7,02	-16,44	-20,29	-7,02	-4,14
III	11-12	-15,10	20,91	-14,44	-9,45	5,50	53,92	-21,95	38,34	24,08	-6,71	-6,06	-5,130	-19,01	32,78	26,70
	13-14	-14,90	18,17	-20,11	32,40	38,03	-27,55	-62,18	-1,79	-12,63	34,04	34,58	-25,85	-69,54	-5,24	-10,93
	14-15	-15,93	-6,51	-12,08	-8,46	-6,52	-19,53	-23,38	-6,52	-4,61	-7,10	-6,89	-18,17	-23,02	-6,89	-3,25
	15-16	-15,10	20,91	-14,44	-7,62	0,95	-6,72	-22,54	40,77	32,86	-5,92	-2,50	-6,08	-20,84	37,32	34,50
IV	14-18	-16,30	17,52	-29,60	26,71	34,35	-26,78	-58,23	-1,41	-13,38	27,45	32,90	-26,04	-57,49	-2,86	-12,64
	18-19	-14,43	-5,59	-10,99	-7,36	-5,71	-17,32	-20,76	-5,71	-3,92	-6,84	-5,87	-16,80	-20,24	-5,87	-3,40
V	19-20	-15,45	20,35	-15,80	-8,23	1,42	-57,73	-21,63	37,78	27,21	-7,49	-9,03	-56,99	-20,89	35,73	27,95

COMBINAISON DES EFFETS TRANCHANTS DANS LES POUTRES - PORTIQUE II-II

VI. 16

I. SEMEULES.

NIVEAU TRAUVEE	$G + 1.2 P$		$G + P + S_{IN} + S_{IH}$		S_R		$S_{R, MAX}$	
	T_e	T_w	T_e	T_w	T_e	T_w	T_e	T_w
I 1-2	13,14	-13,79	18,94	-18,81				
2-3	4,45	-4,45	7,20	-7,20				
3-4	13,80	-13,14	18,82	-18,04				
5-6	17,53	-19,12	24,4	-26,02				
6-7	7,82	-4,28	12,65	-9,11				
7-8	18,44	-18,21	25,30	-25,08				
9-10	17,55	-19,11	26,10	-27,68				
10-11	7,80	-4,30	16,36	-10,96				
11-12	18,43	-18,23	27,00	-26,78				
13-14	17,53	-15,11	27,00	-28,57				
14-15	7,80	-4,30	15,47	-11,97				
15-16	18,43	-18,23	27,00	-27,68				
17-18	17,68	-18,97	25,52	-26,81				
18-19	7,61	-4,48	14,28	-11,15				
19-20	18,27	-18,40	26,11	-26,21				

I. RADIER.

NIVEAU TRAUVEE	$G + 1.2 P$		$G + P + S_{IN} + S_{IH}$		S_R		$S_{R, MAX}$	
	T_e	T_w	T_e	T_w	T_e	T_w	T_e	T_w
I 1-2	13,14	-13,79	17,36	-18,11				
2-3	4,45	-4,45	6,83	-6,83				
3-4	13,80	-13,14	18,12	-17,36				
5-6	17,53	-19,12	23,34	-24,95				
6-7	7,82	-4,28	11,97	-8,43				
7-8	18,44	-18,21	24,27	-24,02				
9-10	17,55	-19,11	24,85	-26,42				
10-11	7,80	-4,30	13,46	-9,96				
11-12	18,43	-18,23	25,74	-25,55				
13-14	17,53	-19,11	25,64	-27,20				
14-15	7,80	-4,30	14,39	-10,92				
15-16	18,43	-18,23	26,52	-26,32				
17-18	17,68	-18,97	24,33	-25,63				
18-19	7,61	-4,48	13,35	-10,22				
19-20	18,27	-18,40	24,93	-25,05				

FERRAILLAGE DES PONTRES

I Armatures longitudinales

conformément à l'article A15 du CCBA.6B, il ne sera pas fait état dans les calculs des effets normaux dans les poutres.

Les poutres seront donc ferrailées en FLEXION SIMPLE.

On calculera la section d'acier sous la sollicitation S_{P_1} ($G+1,2P$) et sous la plus défavorable des sollicitations S_{P_2} . puis on adoptera la plus grande.

La méthode adoptée est celle de P. CHARON.

$$\text{on calcule } \mu = \frac{nM}{6a \cdot b \cdot h^2} \xrightarrow{\text{tableau}} \begin{cases} E \\ K \end{cases} \text{ et } K \rightarrow 6'b = \frac{6a}{K}$$

(1) si $6'b < \bar{6'b}$ alors $A' = 0$ et $A = \frac{M}{6a \cdot E \cdot h}$

(2) si $6'b > \bar{6'b}$ les armatures comprimées sont nécessaires.

$$\text{on calculera } \begin{cases} K_1 = \frac{15}{n} \cdot \frac{6a}{6'b} \\ K_2 = \frac{15(h-d')}{\frac{6'b}{6a} h + d'} \end{cases}$$

- si $K_1 > K_2$ on prendra $K = K_1 \xrightarrow{\text{tableau}} \alpha, \mu', E$.

$$M_1 = \mu' \bar{6'b} \cdot b \cdot h^2 \rightarrow M_2 = M - M_1$$

$$y = dh \rightarrow 6'a = \frac{15}{\gamma} (y-d') \cdot \bar{6'b}$$

$$\text{Armatures comprimées: } A' = \frac{M_2}{6'a(h-d')}$$

$$\text{Armatures tendues: } A = \frac{M_1}{6a \cdot E \cdot h} + \frac{M_2}{6a(h-d')}$$

V.E.18

si $K_1 < K_2$: on prendra $K = K_2 \xrightarrow{\text{tableau}} M', E$.

$$6'b = \frac{15}{n} \frac{6a}{K_2} \rightarrow M_1 = M'.6'b.bh^2 ; M_2 = M.M_1$$

armatures comprimées : $A' = \frac{M_2}{6a'(h-d')}$

armatures tendues $A = A' + \frac{M_1}{6a.E.h}$

II Armatures transversales :

Elles seront calculées pour l'effort tranchant max à l'appui pour tout le niveau considéré: on adoptera les mêmes armatures et espacements pour toutes les travées (du même niveau)

Contrainte de cisaillement max.:

$$\bar{6b} = \frac{T_{\max}}{b.z} \quad T: \text{effort tranchant max.} \\ b = \text{largeur de la poutre} \\ z = \frac{7}{8}h.$$

Contraintes de cisaillement admissibles

$$\bar{6b}_1 = 3,5 \bar{6b} ; \bar{6b}_2 = \left(4,5 - \frac{6b'}{6b_0}\right) \cdot \bar{6b} ; \bar{6b}_3 = 5 \bar{6b}$$

si $\begin{cases} \bar{6b} \leq \bar{6b}_1 \text{ lorsque } 6'b \leq \bar{6b}_0 \\ \bar{6b} \leq \bar{6b}_2 \text{ lorsque } \bar{6b}_0 \leq 6'b \leq 2\bar{6b}_0 \end{cases} \quad \left. \begin{array}{l} \text{utilisation des cadres} \\ + \text{etriers} \end{array} \right\}$

si $\begin{cases} \bar{6b}_1 < \bar{6b} \leq \bar{6b}_3 \text{ lorsque } 6'b \leq \bar{6b}_0 \\ \bar{6b}_2 < \bar{6b} \leq \bar{6b}_3 \text{ lorsque } \bar{6b}_0 < 6'b \leq 2\bar{6b}_0 \end{cases} \quad \left. \begin{array}{l} \text{utilisation des cadres} \\ + \text{etriers} \\ + \text{des barres obliques} \end{array} \right\}$

Si $\bar{6b} > \bar{6b}_3$ nous devrons changer la section de béton

Contraintes admissibles des armatures transversales:

Armatures en FeE24 $\rightarrow 6cn = 2400 \text{ kg/cm}^2$

Il y a reprise de betonnage : $\bar{6at} = \rho_a \cdot 6cn$. $\rho_a = \frac{2}{3}$

donc : $\bar{6at} = 1600 \text{ kg/cm}^2$

calcul des espacements : t_0 :

$$t_0 = \frac{At \cdot z \cdot 6ab}{T_{max}} : At: \text{ section des armatures transversales.}$$

espacement admissible \bar{t} :

$$\bar{t} = \max \left\{ \begin{array}{l} \bar{t}_1 = 0.2h \\ \bar{t}_2 = (1 - 0.3 \frac{z_b}{b_b}) \cdot h \end{array} \right.$$

Le 1^e cours d'armatures sera toujours placé à $\frac{\bar{t}}{2}$ de l'appui.

PORTIQUE LONGITUDINAL III-III

SEMELLES

A) SEMELLES :

efforts maximaux pour SP₁, et SP₂ (en t, km)



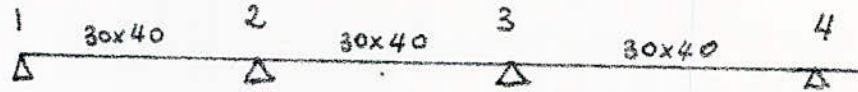
sections	niveau I			niveau II			niveau III			niveau IV			niveau V		
	Min SP ₁	Max SP ₁	Tmax SP ₁	Min SP ₂	Max SP ₂	Tmax SP ₂	Min SP ₁	Max SP ₁	Tmax SP ₁	Min SP ₂	Max SP ₂	Tmax SP ₂	Min SP ₁	Max SP ₁	Tmax SP ₁
1	-0.83	-7.72	7.13	-1.07	-19.27	9.61	-1.09	-20.73	11.61	-1.09	-24.42	12.89	-1.24	-21.96	11.47
		6.08			13.21			18.63			22.32			19.56	
1'	1.51	4.14	7.13	1.55	5.14	9.61	1.54	5.87	11.61	1.54	6.30	12.89	1.48	5.47	11.47
		-1.25			-2.22			-2.97			-3.41			-2.69	
2	-1.57	-6.44	7.13	-1.56	-10.79	9.61	-1.56	-14.09	11.61	-1.56	-16.29	12.89	-1.56	-14.54	11.47
		3.34			7.77			11.07			13.27			11.52	
2'	1.17	2.59	7.13	1.35	2.36	9.61	1.35	2.06	11.61	1.35	1.77	12.89	1.35	1.47	11.47
		-0.38													
3	-1.57	-6.44	7.13	-1.56	-10.79	9.61	-1.56	-14.09	11.61	-1.56	-16.29	12.89	-1.56	-14.54	11.47
		3.34			7.77			11.07			13.27			11.52	
3'	1.17	2.59	7.13	1.35	2.36	9.61	1.35	2.06	11.61	1.35	1.77	12.89	1.35	1.47	11.47
		-0.38													
4	-1.57	-6.44	7.13	-1.56	-10.79	9.61	-1.56	-14.09	11.61	-1.56	-16.29	12.89	-1.56	-14.54	11.47
		3.34			7.77			11.07			13.27			11.52	

V.20

I) Armatures longitudinales

$$SP_1 : \begin{cases} \bar{6}a = 2800 \text{ Kg/cm}^2 \\ \bar{6}b = 135 \text{ Kg/cm}^2 \end{cases}$$

$$; SP_2 : \begin{cases} \bar{6}a = 4200 \text{ Kg/cm}^2 \\ \bar{6}b = 202,5 \text{ Kg/cm}^2 \end{cases}$$

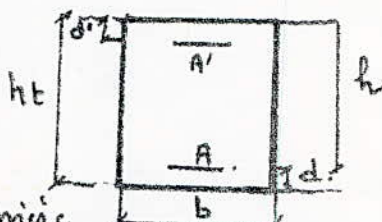
niveaux I, II

$$b = 30 \text{ cm}$$

$$ht = 40 \text{ cm}$$

$$d = d' = 3 \text{ cm}$$

$$h = 37$$



Les niveaux I, II seront ferrailés de la même

manière. On procédera de la même manière

pour les niveaux III, IV, V, car les moments et effets tranchants sont équivalents
(voir tableau récapitulatif)

section	1	1'	2	2'	3	3'	4	
Q ² U G O D O G	M(tm)	-1.07	1.55	-1.57	1.35	-1.57	1.35	-1.57
	M	0.0139	0.0202	0.0205	0.0176	0.0205	0.0176	0.0205
	E	0.9476	0.9375	0.9371	0.9415	0.9371	0.9415	0.9371
	K	80.5	65	64.5	70.5	64.5	70.5	64.5
	6'b	34.7	43	43.40	39.7	43.40	39.7	43.4
	A' cm ²	—	—	—	—	—	—	—
	A cm ²	1.10	1.60	1.62	1.38	1.62	1.38	1.62

section	1	1'	2	2'	3	3'	4	
Q ² U G O D O G	M. tm	-19.23 13.21	5.14 -2.22	-10.79 7.77	2.59 -0.38	-10.79 7.77	2.59 -0.38	-10.79 7.77
	M	0.1327 0.0143	0.0447 0.0193	0.0938 0.0675	0.0225 0.0033	0.0938 0.0675	0.0225 0.0033	0.0938 0.0675
	E	0.8592 0.8671	0.9108 0.9390	0.8774 0.8432	0.9342 0.9938	0.8774 0.93325	0.9342 0.9738	0.8774 0.8932
	K	20.5 22.6	41 67	25.8 31.8	61 176	25.8 31.8	61 176	25.8 31.8
	6'b	202 185	102 62.6	162 132	69 24	162 132	69 24	162 132
	A' cm ²	— —	— —	— —	— —	— —	— —	— —
	A cm ²	11.4 9.80	3.63 1.51	7.90 5.59	1.78 0.25	7.9 5.59	1.78 0.25	7.90 5.59

3T14

2T20+IT16

2T20+IT16

2T20+IT16

SECTIONS
ADOPTÉES

Δ 3T16 Δ

3T14

Δ

3T14

Δ

niveaux III, IV, V :

$b = 30 \text{ cm}$

$ht = 40 \text{ cm}$

$d = d' = 3 \text{ cm}$.

$h = 37.$



section	1	1'	2	2'	3	3'	4
$\frac{\sigma}{\sigma_0}$	M (tm)	-1.24	1.54	-1.56	1.35	-1.56	1.35
	μ	0.0162	0.0202	0.0205	0.0176	0.0205	0.0176
	ϵ	0.9435	0.9375	0.9371	0.9415	0.9371	0.9415
	K	73.5	65.0	64.5	70.5	64.5	70.5
	$b^2 b$	38.0	43.0	43.4	39.7	43.4	39.7
	$A^1 \text{ cm}^2$	—	—	—	—	—	—
	$A \text{ cm}^2$	1.27	1.60	1.62	1.38	1.62	1.38

Section	1	1'	2	2'	3	3'	4
$\frac{\sigma}{\sigma_0}$	M (tm)	-21.42 22.32	6.50 -3.01	-16.29 13.27	2.06	-16.29 13.27	2.06
	μ	0.216 0.194	0.055 0.029	0.142 0.115	0.018	0.142 0.115	0.018
	ϵ	0.8325 0.8377	0.9020 0.9267	0.8955 0.8662	0.9408	0.8955 0.8662	0.9408
	K	14.9 15.8	36.0 53.0	19.6 23.5	69.50	19.6 22.5	69.50
	$b^2 b$	280 265	116 79	204 156	60	204 186	60
	$A^1 \text{ cm}^2$	17.14 13.87	— —	— —	—	— —	— —
	$A \text{ cm}^2$	18.82 17.14	4.49 2.87	12.25 8.85	1.41	12.25 9.85	1.41

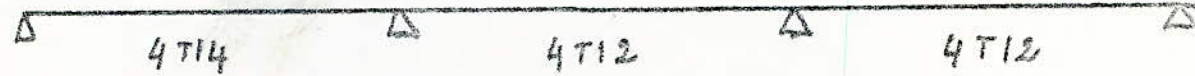
SECTIONS ADOPTÉES:

4T14

4T20

4T20

4T20



V1.21

③ RADDIER :

efforts maximaux sous SP₁ et SP₂ (t, t_m) .

tableau récapitulatif :

SECTIONS	I			II			III			IV			V		
	Max SP ₁	Max SP ₂	Taux SP ₂	Max SP ₁	Max SP ₂	Taux SP ₂	Max SP ₁	Max SP ₂	Taux SP ₂	Max SP ₁	Max SP ₂	Taux SP ₂	Max SP ₁	Max SP ₂	Taux SP ₂
1	-0.83	-6.83	6.57	-1.07	-13.08	8.62	-1.09	-18.14	10.44	-1.09	-21.35	11.53	-1.24	-19.20	10.30
		5.15			11.02			16.04			19.25			16.80	
1'	1.51	3.75	6.57	1.55	4.50	8.62	1.54	5.29	10.44	1.54	5.66	11.53	1.48	4.92	10.31
		-1.90			-1.58			-2.39			-2.76			-2.14	
2	-1.57	-5.83	6.57	-1.56	-9.57	8.62	-1.56	-12.45	10.44	-1.56	-14.85	11.53	-1.56	-12.81	10.3
		2.73			6.55			9.43			11.33			9.79	
2'	1.17	2.40	6.57	1.35	2.21	8.62	1.35	1.96	10.44	1.35	1.70	11.53	1.85	1.43	10.3
		-0.19													
3	-1.57	-6.83	6.57	-1.56	-9.57	8.62	-1.56	-12.45	10.44	-1.56	-14.85	11.53	-1.56	-12.91	10.3
		2.73			6.55			9.43			11.33			9.79	
3'	1.17	2.40	6.57	1.35	2.21	8.62	1.35	1.96	10.44	1.35	1.70	11.53	1.85	1.43	10.3
		-0.19													
4	-1.57	-5.83	6.57	-1.56	-9.57	8.62	-1.56	-12.45	10.44	-1.56	-14.85	11.53	-1.56	-12.91	10.3
		2.73			6.55			9.43			11.33			9.79	

I) Armatures longitudinales

on feraiiller le niveau II de la même manière que le niveau car les moments sont presque équivalents: (voir tableau récapitulatif).

On procédera de la même manière pour les niveaux III, IV,

$$\text{sous SP}_1 \left\{ \begin{array}{l} \bar{G_a} = 2800 \text{ kg/cm}^2 \\ \bar{G_b} = 135 \text{ kg/cm}^2 \end{array} \right.$$

$$\text{sous SP}_2, \left\{ \begin{array}{l} \bar{G_a} = 4200 \text{ kg/cm}^2 \\ \bar{G_b} = 202,5 \text{ kg} \end{array} \right.$$



Sections	1	1'	2	2'	3	3'	4	
Σ	M (t.m)	-1,07	1,55	-1,57	1,85	-1,57	1,35	-1,57
	μ	0.0139	0.0202	0.0205	0.0176	0.0205	0.0176	0.0205
	ε	0.9476	0.9375	0.9371	0.9415	0.9371	0.9415	0.9371
	K	80,5	65,0	64,5	70,5	64,5	70,5	64,5
	δ'_b	34,7	43,0	43,40	39,7	43,4	39,7	43,4
	$A' (cm^2)$	—	—	—	—	—	—	—
	A (cm^2)	1.10	1.60	1.62	1.38	1.62	1.38	1.62

Sections	1	1'	2	2'	3	3'	4	
Σ	M (t.m)	-13,08 11,02	4,50 -1,58	-9,57 6,55	2,40 -0,19	-9,57 6,55	2,40 -0,19	-9,57 6,55
	μ	0,113 0,093	0,039 0,014	0,013 0,057	0,021 0,002	0,083 0,057	0,021 0,002	0,083 0,057
	ε	0,7673 0,8365	0,3158 0,9474	0,8934 0,9004	0,9563 0,9792	0,8834 0,9004	0,9363 0,9792	0,8834 0,9004
	K	22,8 25,5	44,4 80,0	27,9 35,2	63,5 22,5	27,9 35,2	63,5 22,5	27,9 35,2
	δ'_b	134 164	95 53	150 119	66 20	150 120	66 20	150 120
	$A' (cm^2)$	— —						
	A (cm^2)	9,70 9,09	3,16 1,07	6,97 4,68	1,65 0,12	6,97 11,68	1,65 0,12	6,97 11,68

Sections adoptées :

3T14

2T20
+IT142T20
+IT142T20
+IT14 Δ
3T14 Δ
3T12 Δ
3T12

VI.23

V1.24

niveaux III. IV. V

1 2 3 4
 Δ 1' Δ 2' Δ 3' Δ

Sections	1	1'	2	2'	3	3'	4
P ₁	M (Nm)	-1,24	1,54	-1,56	1,35	-1,56	1,35
	μ	0,0162	0,0202	0,0205	0,0176	0,0205	0,0176
	E	0,9435	0,9375	0,9371	0,9415	0,9371	0,9415
	K	73,5	65	64,5	70,5	64,5	70,5
	G ^b	38	43	43,4	39,7	43,4	39,7
	A' cm ²	—	—	—	—	—	—
P ₂	A cm ²	1,27	1,6	1,62	1,38	1,62	1,38

Sections	1	1'	2	2'	3	3'	4
P ₂	M (Nm)	-21,35 19,25	5,60 -2,76	-14,85 11,33	1,96	-14,85 11,33	1,96
	μ	0,185 0,167	0,049 0,024	0,125 0,098	0,017	0,125 0,098	0,017
	E	0,8403 0,8468	0,8067 0,9324	0,8633 0,8753	0,9422	0,8633 0,8753	0,9422
	K	16,3 17,5	38,6 32	59,0 25,1	71,5	21,3 25,1	71,5
	G ^b	257 240	109 72	167 167	58	197 167	58
	A' cm ²	14,04 16,35	— —	— —	—	— —	—
P ₁	A cm ²	10,85 14,64	4,02 1,80	10,31 8,33	1,84	10,71 8,33	1,84

SECTIONS ADOPTEES :

4T14

+ 2T20
2T16

+ 2T20
2T16

+ 2T20
2T16

4T14

+ 2T10
2T12

2T10
2T12

PORTIQUE LONGITUDINAL I-I

A - SEMEILLES:

Section	NIVEAU I			NIVEAU II			NIVEAU III			NIVEAU IV			NIVEAU V			
	Moyen SP ₁	Moyen SP ₂	Taux SP ₂	Moyen SP ₁	Moyen SP ₂	Taux SP ₂	Moyen SP ₁	Moyen SP ₂	Taux SP ₂	Moyen SP ₁	Moyen SP ₂	Taux SP ₂	Moyen SP ₁	Moyen SP ₂	Taux SP ₂	
1	-1.49 6.05	-8.99 7.55	-2.12 13.59	-17.64 11.48	-2.14 13.76	-23.86 13.76	-2.14 2.28	-27.58 13.76	-2.14 2.28	-23.88 13.76	-2.14 2.28	-27.58 13.76	-2.14 15.20	-2.14 15.20	-25.15 20.87	13.69
1'	1.54	4.30		6.19			7.03			4.29			8.61			
2	-1.83 3.36	-6.96 7.55	-2.38 2.29	-12.39 11.48	-2.38 11.57	-16.13 13.76	-2.38 -2.38	-18.63 -2.38	-2.38 13.76	-18.63 14.06	-2.38 15.20	-2.38 15.20	-16.70 -2.38	-16.70 12.14	13.69	
2'	1.39 -0.22	2.89 7.55	2.19	3.50	11.48	2.15	2.94	13.76	2.15	2.59	15.20	2.15	2.25		13.69	
3	-1.83 3.36	-6.96 7.55	-2.38 2.29	-12.39 11.48	-2.38 11.57	-16.13 13.76	-2.38 -2.38	-18.63 14.06	-2.38 14.06	-18.63 15.20	-2.38 -2.38	-18.63 15.20	-16.70 -2.38	-16.70 12.14	13.69	
3'	1.39 -0.22	2.89 7.55	2.19	3.50	11.48	2.15	2.94	13.76	2.15	2.59	15.20	2.15	2.25		13.69	
4	-1.83 3.36	-6.96 7.55	-2.38 2.29	-12.39 11.48	-2.38 11.57	-16.13 13.76	-2.38 -2.38	-18.63 -2.38	-2.38 14.06	-18.63 14.06	-2.38 15.20	-2.38 -2.38	-16.70 13.14	-16.70 13.14	13.69	

B - RADIER. GENERAL:

Section	NIVEAU I			NIVEAU II			NIVEAU III			NIVEAU IV			NIVEAU V			
	Moyen SP ₁	Moyen SP ₂	Taux SP ₂	Moyen SP ₁	Moyen SP ₂	Taux SP ₂	Moyen SP ₁	Moyen SP ₂	Taux SP ₂	Moyen SP ₁	Moyen SP ₂	Taux SP ₂	Moyen SP ₁	Moyen SP ₂	Taux SP ₂	
1	-1.49 5.09	-8.03 6.97	-2.12 11.58	-15.64 10.51	-2.14 -2.14	-21.06 16.06	-2.14 12.51	-24.64 -2.14	-2.14 10.50	-24.64 13.76	-2.14 -2.14	-24.64 13.76	-2.14 17.89	-23.14 12.44		
1'	1.54 -0.93	3.94 6.97	2.29 -1.42	5.66 10.51	2.28 -2.17	+6.39 -2.17	2.28 12.51	6.81 2.28	2.28 -2.58	6.81 13.76	2.28 -2.28	6.81 13.76	6.03 -1.87		12.44	
2	-1.83 2.69	-6.28 6.97	-2.38 -1.42	-11.07 6.51	-2.38 -2.38	-14.39 5.81	-2.38 12.51	-16.52 -2.38	-2.38 11.96	-16.52 13.76	-2.38 -2.38	-16.52 13.76	-14.85 10.29		12.44	
2'	1.39 -0.02	2.68 6.97	2.19	3.12	10.51	2.19	2.82	12.51	2.19	2.52	13.76	2.19	2.23		12.44	
3	-1.83 2.69	-6.28 6.97	-2.38 -1.42	-11.07 6.51	-2.38 -2.38	-14.39 5.81	-2.38 12.51	-16.52 -2.38	-2.38 11.96	-16.52 13.76	-2.38 -2.38	-16.52 13.76	-14.85 10.29		12.44	
3'	1.39 -0.02	2.68 6.97	2.19	3.12	10.51	2.19	2.82	12.51	2.19	2.52	13.76	2.19	2.23		12.44	
4	-1.83 2.69	-6.28 6.97	-2.38 -1.42	-11.07 6.51	-2.38 -2.38	-14.39 5.81	-2.38 12.51	-16.52 -2.38	-2.38 11.96	-16.52 13.76	-2.38 -2.38	-16.52 13.76	-14.85 10.29		12.44	

VI.25

NIVEAUX I, II Semelles :

Sections	1	1'	2	2'	3	3'	4
M(m)	-2.12	2.29	-2.38	2.19	-2.38	2.19	-2.38
μ	0.027	0.030	0.031	0.028	0.031	0.028	0.031
E	0.9286	0.9248	0.9237	0.9275	0.9237	0.9275	0.9237
K	55,0	51,5	50,5	54,0	50,5	54,0	50,5
G^b	51	54	55	52	55	52	55
A/cm^2	—	—	—	—	—	—	—
A/cm^2	2.20	2.39	2.49	2.28	2.49	2.28	2.49

Section	1	1'	2	2'	3	3'	4
M(m)	-13.64 13.58	6.18 -1.94	-12.38 7.82	3.30 -0.22	-12.38 7.82	3.30 -0.22	-12.38 7.82
μ	0.153 0.118	0.054 0.017	0.108 0.068	0.029 0.002	0.108 0.068	0.029 0.002	0.108 0.068
E	0.8512 0.8656	0.9027 0.9422	0.8701 0.8927	0.9265 0.9792	0.8701 0.8927	0.9265 0.9792	0.8701 0.8927
K	18,6 22,2	36,4 31,5	28,5 31,6	53,0 22,5	23,5 31,6	53,0 22,5	23,5 31,6
G^b	225 189	115 58	179 133	79 20	179 133	79 20	179 133
A/cm^2	10.08 10.88	— —	— —	— —	— —	— —	— —
A/cm^2	13.33 10.09	4.41 1.32	9.15 5.64	2.29 0.14	9.15 5.64	2.29 0.14	9.15 5.64

Sections adoptées :

3T16

3T20

3T20

3T20



3T16

3T14

3T14.

V1.26

NIVEAUX III. IV. V Semelles

Sections	1	1'	2	2'	3	3'	4
P ₁ Sections	M(tm)	-2.24	2.28	-2.38	2.19	-2.38	2.19
	μ	0.029	0.030	0.031	0.028	0.031	0.028
	ϵ	0.9259	0.9248	0.9275	0.9275	0.9237	0.9275
	K	52.5	51.5	50.0	54.0	50.5	54.0
	6' b	53	54	55	52	55	52
	A' cm ²	—	—	—	—	—	—
	A cm ²	2.34	2.39	2.49	2.28	2.49	2.28

Sections	1	1'	2	2'	3	3'	4
P ₂ Sections	M(tm)	-27.98 23.98	7.49 -3.27	-18.63 14.06	2.634	-18.63 14.06	2.634
	μ	0.243 0.208	0.065 0.025	0.162 0.122	0.025	0.162 0.122	0.025
	ϵ	0.9239 0.8333	0.8945 0.8333	0.9275 0.8480	0.9310	0.8480 0.8638	0.9310
	K	13.4 15.0	32.5	17.9 21.7	57.5	17.9 21.7	57.5
	6' b	313 280	130	78 133	73	235 193	73
	A' cm ²	18.44 21.85	—	10.47 —	—	10.47 —	—
	A cm ²	21.85 18.44	5.39 2.27	14.14 10.47	2.03	14.14 10.47	2.03

Sections adoptées :

4T16

+ 4T20 (élite)
2T14

4T20 (2U6)
2T14

(2U6) 4T20
2T14

△

△

△

△

4T16

4T14

4T14

V1.27

NIVEAUX I, II : RADIER

Sections	1	1'	2	2'	3	3'	4
P C n S G	M(tm)	-2.12	2.29	-2.38	2.19	-2.38	2.19
	μ	0.027	0.030	0.031	0.028	0.031	0.028
	E	0.9286	0.9248	0.9237	0.9275	0.9237	0.9275
	K	55.0	51.5	50.5	54.0	50.5	54.0
	G ^b	51	54	55	52	55	52
	A(cm ²)	—	—	—	—	—	—
	A(cm ²)	2.20	2.39	2.49	2.28	2.49	2.28

Sections	1	1'	2	2'	3	3'	4
P C n S G	M(tm)	-15.64 11.58	5.66 -1.42	-11.07 6.51	3.12 -0.02	-11.07 6.51	3.12 -0.02
	μ	0.136 0.100	0.049 0.012	0.096 0.057	0.027 0.0002	0.096 0.057	0.027 0.0002
	E	0.9560 0.9744	0.9771 0.9510	0.9362 0.9044	0.9286 0.9942	0.9762 0.9762	0.9366 0.9577
	K	20.2 24.8	38.6 103	95.4 48	37.2 165	55.0 113	25.4 165
	G ^b	20.2 17.0	17.0 103	48 165	113 113	165 113	113 165
	A(cm ²)	—	—	—	—	—	—
	A(cm ²)	11.73 8.52	4.01 0.96	8.13 4.65	2.16 0.0	8.13 4.65	2.16 0.00

SECTIONS ADOPTEES :

Δ 3T14	Δ 2T20 1T16	Δ 2T20 1T16	Δ 2T20 1T16
Δ 3T14	Δ	Δ	Δ

V1.28

NIVEAUX III, IV, V. RADIER

Sections	1	1'	2	2'	3	3'	4
R ² S ⁹ S ⁹ S ⁹ S ⁹ S ⁹ S ⁹	M(t/m)	-2.24	2.28	-2.38	2.19	-2.38	2.19
	ll	0.029	0.030	0.031	0.028	0.031	0.028
	E	0.9259	0.9249	0.9275	0.9275	0.9257	0.9275
	K	52.5	51.5	50.0	54.0	50.5	54.0
	6'6	53	54	55	52	55	52
	A' cm ²	—	—	—	—	—	—
	A cm ²	2.34	2.39	2.49	2.98	2.49	2.28

Sections	1	1'	2	2'	3	3'	4
R ² S ⁹ S ⁹ S ⁹ S ⁹ S ⁹ S ⁹	M(t/m)	-24.64 10.50	0.81 -2.58	-16.52 11.96	2.82 -16.52 11.96	2.82 -16.52 11.96	2.82 -16.52 11.96
	ll	0.214 0.178	0.059 0.022	0.143 0.104	0.024 0.143 0.104	0.024 0.143 0.104	0.024 0.143 0.104
	E	0.9317 0.8423	0.8936 0.9351	0.8551 0.8721	0.9324 0.8551 0.8721	0.9324 0.8551 0.8721	0.9324 0.8551 0.8721
	K	14.7 10.7	34.5 62.0	15.5 24.1	59.0 19.5 24.1	59.0 19.5 24.1	19.5 24.1
	6'6	285 251	122 67	215 174	72 215 174	72 215 174	215 174
	A' cm ²	15.69 19.06	— —	8.82 —	— 8.82	— 8.82	— 8.82
	A cm ²	19.06 15.69	4.87 1.77	12.43 8.82	1.94 12.43 8.82	1.94 12.43 8.82	1.94 12.43 8.82

2T16
2T14

4T20

4T20

4T20

Δ

A

Δ

Δ

2T16
2T14

2T14
2T12

2T14
2T12

VI.29

PORTIQUE TRANSVERSAL III-II

- SEMELLES

SECTIONS	I			II			III			IV			V		
	Min Sp ₁	Max Sp ₂	Tmax Sp ₁	Min Sp ₁	Max Sp ₂	Tmax Sp ₁	Min Sp ₁	Max Sp ₂	Tmax Sp ₁	Min Sp ₁	Max Sp ₂	Tmax Sp ₁	Min Sp ₁	Max Sp ₂	Tmax Sp ₁
1	-8.72 6.76	-26.92 18.82	18.82	-14.71 18.82	-46.61 18.82	26.02	-14.9 32.23	-60.57 27.68	-14.90 41.16	-68.30 28.57	-16.30 -16.30	-64.60 33.92	-33.92 26.81	-37.15 26.81	
1'	13.99	24.08	18.82	18.26	33.87	26.02	18.17	38.49	27.68	18.17	41.25	41.25	37.15	-5.66	26.81
2	-10.85	-15.10	-	-20.07	-26.23	-	26.02	-20.11	-27.89	-	-28.20	-	-27.86	-	26.81
2'	-5.90	-6.50	18.82	-6.61	-7.28	26.02	-6.52	-7.07	27.68	-6.51	-6.92	28.57	-5.59	-5.88	26.81
3	-10.85	-15.10	18.82	-15.07	-21.23	26.02	-15.10	-22.89	27.68	-15.10	-23.79	28.57	-15.45	-22.71	26.81
3'	13.99	24.08	18.82	20.98	36.59	26.02	20.91	41.22 -2.95	27.68	20.91	43.89 -5.43	28.57	20.35 -2.83	39.98 26.81	-2.83
4	-8.72 6.76	-23.82 18.82	18.82	-14.26 19.33	-46.21 26.02	-14.44 -14.44	-50.91 32.69	27.68	-14.44 44.62	-68.89 28.57	-15.80 -15.80	-64.10 34.32	-34.32 26.81	-	-

B - RADIER

Sections	I			II			III			IV			V		
	Min Sp ₁	Max Sp ₂	Tmax Sp ₁	Min Sp ₁	Max Sp ₂	Tmax Sp ₁	Min Sp ₁	Max Sp ₂	Tmax Sp ₁	Min Sp ₁	Max Sp ₂	Tmax Sp ₁	Min Sp ₁	Max Sp ₂	Tmax Sp ₁
1	-8.72 4.78	-21.84 18.12	18.12	-14.71 14.61	-42.36 24.95	-14.90 26.24	-54.38 26.42	-14.90 34.04	-62.18 27.20	-16.30 -16.30	-58.23 27.45	-27.45 25.63	-	-	-
1'	13.99	22.67	18.12	18.26	31.57	24.95	18.17	35.60 -2.80	26.42	18.17 -5.24	38.03 27.20	34.35 17.52	-2.86	-2.86	25.63
2	-10.85	-14.51	18.12	-20.07	-25.30	24.95	-20.11	-20.16 26.42	-20.11	-27.55	27.20	-20.60	-26.78	-26.78	25.63
2'	-5.90	-6.43	18.12	-6.61	-7.22	24.95	-6.52	-7.02 26.42	-6.51	-6.89	27.20	-5.59	-5.87	-5.87	25.63
3	-10.85	-14.54	18.12	-15.07	-20.30	24.95	-15.10	-21.75 26.42	-15.10	-22.54	27.20	-15.45	-21.63	-21.63	25.63
3'	13.99	22.67	18.12	20.98	34.29	24.95	20.91	38.34 26.42	20.91	40.77 -2.50	37.18 27.20	20.35 -1	-	35.65	-
4	-8.72 4.78	-21.84 18.12	18.12	-14.26 15.06	-41.94 24.95	-14.44 26.70	-53.92 26.42	-14.44 34.50	-61.72 27.20	-15.80 -15.80	-57.73 27.95	-57.73 25.63	-	-	-

VI.30

NIVEAU II - SEMEULES

$h_t = 60\text{cm}$

$h = 55\text{cm}$

$b = 30\text{cm}$.

Sections	1	1'	2	2'	3	3'	4
σ	M(tn)	-8.72	13.99	-10.85	-5.90	-10.85	13.99
	μ	0.0514	0.0826	0.0640	0.0326	0.0640	0.0826
	ϵ	0.3049	0.8837	0.8954	0.9201	0.8954	0.8837
	K	37.6	28.0	32.8	47.6	32.8	28.0
	G	74	100	85	59	85	100
	$A' \text{cm}^2$	/	/	/	/	/	/
	$A \text{cm}^2$	6.25	10.28	7.87	4.16	7.87	10.28
							6.25

Sections	1	1'	2	2'	3	3'	4
σ	M(tn)	23.32 6.76	24.08	-15.10	-6.50	-15.10	24.08
	μ	0.0933 0.0266	0.0547	0.0594	0.0256	0.0594	0.0947
	ϵ	0.8774 0.9291	0.8771	0.8988	0.9306	0.8988	0.8771
	K	25.8 55.5	25.7	34.4	57.0	34.4	25.7
	G	162 76	163	122	74	122	163
	$A' \text{cm}^2$	/	/	/	/	/	/
	$A \text{cm}^2$	11.75 3.15	11.80	7.27	3.02	7.27	11.85
							11.75 3.15

sections adoptées :

3T16

2T20
1T16

2T20
1T16

3T16

3T20
3T14 (2U)

3T20
3T14 (2U)

V1.31

NIVEAUX II - SEMELLES

ht = 65 cm

h = 60 cm

Sections	1	1'	2	2'	3	3'	4
O ² J S O ² S	M (tm)	-14.70	18.26	-20.07	-6.61	-15.07	20.98
	ll	0.0729	0.0905	0.0995	0.0327	0.0747	0.104
	E	0.8896	0.8792	0.8744	0.9224	0.8884	0.8721
	K	30.3	26.4	24.8	49.4	29.8	24.1
	G ¹ b	92	106	112	56	94	116
	A' cm ²	—	—	—	—	—	—
	A cm ²	9.83	12.36	13.66	4.26	10.10	14.32

Sections	1	1'	2	2'	3	3'	4
O ² J S O ² S	M (tm)	-46.60 18.88	33.87	-26.23	-7.29	-21.23	36.59 -46.21 19.33
	ll	0.1540 0.0624	0.1120	0.0867	0.024	0.0702	0.1210 0.1530 0.0639
	E	0.8508 0.8967	0.8681	0.8812	0.9324	0.8913	0.8641 0.8512 0.8956
	K	18.5 33.4	26.9	27.1	59.0	31.0	21.8 18.6 32.9
	G ¹ b	227 125	183	155	72	135	192 226 127
	A' cm ²	—	—	—	—	—	—
	A cm ²	21.76 8.36	15.48	11.81	3.10	9.45	16.80 21.54 8.56

Sections adoptées :

3T20

3T20
3T14

3T20
3T14

3T20

Δ

Δ

Δ

Δ

3T20
3T16

3T20
3T20

V1.32

NIVEAUX III-IV-V : SEMELLES

$h_E = 60 \text{ cm}$
 $h_t = 65 \text{ cm}$

Sections	1	1'	2	2'	3	3'	4
$\frac{M}{\mu}$	M (tm)	-16.30	18.17	-20.60	-6.52	-15.45	20.91
	μ	0.0810	0.0900	0.1020	0.032	0.0766	0.1037
	E	0.8845	0.8795	0.8731	0.9231	0.8674	0.8725
	K	28.3	26.5	24.4	50.0	29.4	24.2
	G^b	99	105	115	56	95	116
	$A' (\text{cm}^2)$	—	—	—	—	—	—
	$A (\text{cm}^2)$	10.96	12.29	14.04	4.20	10.36	14.26

Sections	1	1'	2	2'	3	3'	4
$\frac{G^b}{\mu}$	M (tm)	69.30 41.16	41.25 -8.47	-28.36	-7.07	-23.79	43.92 -5.73
	μ	0.2291 0.1360	0.1360 0.0289	0.0850	0.0233	0.0786	0.145 0.0189
	E	0.8236 0.8580	0.8580 0.9275	0.8768	0.9334	0.8861	0.9542 0.9394
	K	14.0 20.2	20.2 54.0	25.6	60.0	28.9	18.3 67.5
	G^b	300 203	203 77	164	70	145	218 62
	$A' (\text{cm}^2)$	19.03 —	—	—	—	—	2.42 —
	$A (\text{cm}^2)$	33.28 19.03	19.07 3.62	13.03	3.005	10.65	20.43 3.42

Sections adoptées :

4T20

4T10

4T20
2T16

4T20
2T16

4T10

2T20
2T16

4T20
4T16 (2 lots)

4T20 (2 lots)
4T20

V1.33

NIVEAUX I. RADIER

$ht = 60 \text{ cm}$
 $h = 55 \text{ cm}$

$b = 30 \text{ cm}$.

sections	1	1'	2	2'	3	3'	4
G O S O N U	M(lbm)	-8.72	13.99	-10.85	-5.90	-10.85	13.99
	M	0.0514	0.0826	0.0640	0.0326	0.0640	0.0826
	E	0.9049	0.8837	0.8954	0.9201	0.8954	0.8837
	K	37.6	28.0	32.8	47.6	32.8	28.0
	6lb	74	100	85	59	85	100
	A/cm ²	—	—	—	—	—	—
	A/cm ²	6.25	10.28	7.87	4.16	7.87	10.28

sections	1	1'	2	2'	3	3'	4
G O S O N U	M(lbm)	-21.84 4.78	22.67	-14.51	-6.43	-14.54	22.67 -21.84 4.78
	M	0.0860 0.0188	0.0892	0.0570	0.0253	0.0570	0.0892 0.0860 0.0188
	E	0.9818 0.9348	0.8798	0.9004	0.9306	0.9004	0.8798 0.9818 0.9348
	K	27.3 68.0	26.6	35.2	57.0	35.2	26.6 27.3 68
	6lb	154 62	158	120	74	120	158 154 62
	A/cm ²	—	—	—	—	—	—
	A/cm ²	10.72 2.20	11.15	6.98	2.99	6.98	11.15 10.72 2.20

sections adoptées

3T16

2T20
1T16

2T20
1T16

3T16

Δ

Δ

Δ

Δ

3T16
3T16

3T16
3T16

V1.34

NIVEAUX II - RADIER :

Sections	1	1'	2	2'	3	3'	4
P ₀ G ₁ G ₂ G ₃ G ₄	M(lm)	-14.70	18.26	-20.07	-6.61	-15.07	20.98
	μ	0.0729	0.0905	0.0995	0.0827	0.0747	0.1040
	ϵ	0.8596	0.8792	0.8744	0.9224	0.8884	0.8721
	K	30.3	26.4	24.8	49.4	29.8	30.9
	G ^b	92	106	112	56	94	116
	A' cm ²	/	/	/	/	/	/
	A cm ²	9.83	12.36	13.66	4.26	10.10	14.32

Sections	1	1'	2	2'	3	3'	4
P ₂ G ₁ G ₂ G ₃ G ₄	M(lm)	-42.39 14.61	31.57	-25.30	-7.22	-20.30	34.29 -41.94 15.06
	μ	0.140 0.0480	0.104	0.0836	0.0238	0.0671	0.1133 0.138 0.0498
	ϵ	0.6559 0.9077	0.8721	0.9832	0.9329	0.8984	0.8677 0.8571 0.9064
	K	19.7 39.2	24.1	27.8	59.5	31.9	22.8 20.0 38.4
	G ^b	213 107	174	151	71	132	184 210 104
	A' cm ²	6.38	/	/	/	/	6.59 —
	A cm ²	19.65 6.38	14.36	11.36	3.07	9.01	15.08 19.44 6.59

Sections adoptées :

3T20

3T20
3T14

3T20
3T14

3T20



3T20
3T16

3T20
3T20

V1.35

NIVEAUX . III . IV . V : RADIER

Sections	1	1'	2	2'	3	3'	4
$\frac{q^2}{J}$	M (km)	-16.30	18.17	-20.60	-6.52	-15.45	20.91
	μ	0.0810	0.0900	0.1020	0.0320	0.0766	0.1037
	E	0.8845	0.8795	0.8731	0.9231	0.8874	0.8725
	K	28.3	26.5	24.4	50.0	29.4	24.2
	G^b	99	105	115	56	95	116
	$A' \text{ cm}^2$	—	—	—	—	—	—
	$A \text{ cm}^2$	10.96	12.29	14.04	4.20	10.36	14.26
							10.61

Sections	1	1'	2	2'	3	3'	4
$\frac{q^2}{J}$	M (km)	-68.18 34.04	38.03 -5.24	-27.55	-7.02	-22.54	40.77 -2.50
	μ	0.205 0.112	0.125 0.093	0.0910	0.0232	0.0745	0.135 0.0082
	E	0.8342 0.8681	0.8623 0.9419	0.8789	0.9334	0.8886	0.8580 0.9590
	K	15.2 22.9	21.3 71.0	26.3	60.0	29.9	20.2 107
	G^b	176 183	197 60.0	160	70.0	140	205 40
	$A' \text{ cm}^2$	15.56 —	—	—	—	—	—
	$A \text{ cm}^2$	29.5 15.56	17.5 2.20	12.43	2.98	10.06	18.85 1.03
							15.78 —
							29.35 15.78

sections adoptées :

4T20

4T20

4T20

2T20
2T16

△

△

△

△

4T20
4T16

4T20
4T20

V1.36

III VERIFICATIONS PORTIQUE. III - III

NIVEAU I-II : Semelles

a) condition de non fragilité

$$A \geq b \cdot h \Psi \cdot \frac{6b}{6a} \left(\frac{ht}{h} \right)^2 = 30.37.0.54 \cdot \frac{5.9}{2800} \left(\frac{40}{37} \right)^2 = 1,47 \text{ cm}^2$$

verified pour toutes les sections.

b) condition de flèche

$$\cdot ht \geq \frac{1}{16} l = \frac{1}{16} \cdot 3.90 = 24.4. \quad \text{verified } (ht = 40 \text{ cm})$$

$$\cdot ht \geq \frac{1}{10} \frac{M_e}{m_0} l. \quad \text{not true}$$

$$\underline{\text{tranche 1-2}}: \rightarrow ht \geq \frac{1}{10} \frac{1.55}{2.6} 390 = 23.25 \text{ cm sous SP}_1$$

$$ht \geq \frac{1}{10} \cdot \frac{0.14}{0.06} \cdot 390 = 38 \text{ cm. sous SP}_2.$$

tranche 2-3 :

$$ht \geq \frac{1}{10} \cdot \frac{1.35}{2.6} 390 = 20.25 \text{ cm sous SP}_1$$

$$ht \geq \frac{1}{10} \cdot \frac{2.36}{3.61} 390 = 25.5 \text{ cm. sous SP}_2.$$

$$\cdot A \leq \frac{43}{6w} b_o \cdot h = \frac{43}{4200} \cdot 30 \cdot 37 = 11.36 \text{ cm}^2$$

verified

c) condition de non entraînement des barres

$$\bar{Gd} = 2 \Psi d \cdot \bar{6b} = 2 \cdot 1.5 \cdot 5.9 = 17.7 \text{ kg/cm}^2.$$

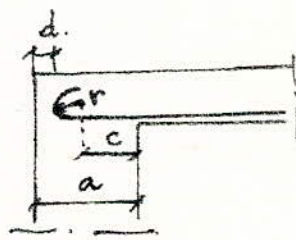
$$Gd = \frac{T_{\max}}{n_p z} = \frac{2860}{3.502 \cdot \frac{7}{8} \cdot 37} = 7.8 \text{ kg/cm}^2.$$

verified

d) conditions aux appuis.

$$c \geq \frac{2T}{b \cdot \bar{6b}_o} = \frac{2 \cdot 2860}{30 \cdot 67.5} = 2.8 \text{ cm.}$$

$$c = a - (d + r) = 30 - (4 + 3 \cdot 1.6) = 22.4 \text{ cm.}$$



• Armatures inférieures

VI.38

$$A \cdot \bar{b}_a \geq T + M/z \Rightarrow A \geq \frac{T + M/z}{\bar{b}_a}$$

appui	1	2	3
M (tm)	-4,4 tm	-7,90	-7,90
T. (t)	6,54	6,21	6,21
A (cm²)	<0	<0	<0

sous SP₂ (plus défavorable)

les armatures prolongées dans l'axe sont suffisantes.

e) verification des contraintes

la section d'armatures adoptée étant toujours supérieure à la section trouvée on aura alors $\bar{b}_a < \bar{b}_a$ quel que soit la section pour toutes les sections du poteau.

f) verification de la fissuration

Section 1: $\bar{w}_f = \frac{A}{B_f} = \frac{4,62}{4 \times 30} = 0,0385 \rightarrow 6_1 = 3200 \text{ kg/cm}^2$
 3T14: $\bar{b}_b = 5,9 \text{ kg/cm}^2 \rightarrow 6_2 = 1955 \text{ kg/cm}^2$

$$\bar{b}_a = 2800 \text{ kg/cm}^2 < \max(6_1, 6_2) = 3200 \text{ kg/cm}^2$$

Section 2

2T20+IT16. $\bar{w}_f = 0,069 \rightarrow \begin{cases} 6_1 = 3295 \text{ kg/cm}^2 \\ 6_2 = 1630 \end{cases}$
 vérifié.

Section 3

3T16: $\bar{w}_f = 0,050 \rightarrow \begin{cases} 6_1 = 3320 \text{ kg/cm}^2 \\ 6_2 = 1829 \text{ "} \end{cases}$
 vérifié.

niveaux I - II . RADIER

a) condition de non fragilité: vérifiée. + la section choisie

$$A \geq b h \Psi \cdot \frac{\bar{b}_b}{\bar{b}_a} \left(\frac{h_t}{h} \right)^2$$

b) condition de flèche:

$$\bullet h_t \geq \frac{1}{16} l_c = \frac{390}{16} = 24,4 \text{ cm.}$$

$$\bullet h_t \geq \frac{1}{10} \frac{M_b}{M_0} l_c$$

• travée 1-2. $ht \geq \frac{1}{10} \cdot \frac{455}{2,6} \cdot 390 = 23 \text{ cm sous SP}_1$

$$ht \geq \frac{1}{10} \cdot \frac{37,9}{3,87} \cdot 390 = 38 \text{ cm sous SP}_2.$$

• travée 2-3 $ht \geq \frac{1}{10} \cdot \frac{2,35}{2,6} \cdot 390 = 20,2 \text{ cm sous SP}_1$

$$ht \geq \frac{1}{10} \cdot \frac{2,21}{3,46} \cdot 390 = 25 \text{ cm sous SP}_2.$$

• $A \leq \frac{43}{6 \text{ en}} \text{ bo.h} = 11,36 \text{ cm}^2.$

✓ vérifiée.

• c) condition de non entraînement des barres

$$\bar{G_d} = 17,7 \text{ kg/cm}^2, \text{ avec } \bar{G_d} = \frac{T_{\max}}{n_p z} = \frac{2860}{3 \times 32,37} = 7,8 \text{ kg/cm}^2$$

$$\bar{G_d} < \bar{G_d}$$

✓ vérifiée.

• d) conditions aux appuis

$$A \bar{G_d} \geq T + M/z$$

les armatures de la travée suffisent.

appui	1	2	3
M (Nm)	-4,34	-6,97	-6,97
T (t)	8,62	7,38	7,38
A · cm ²	< 0	< 0	< 0

e) verification des contraintes : la section d'armatures adoptée étant toujours supérieure à la section trouvée donc $\bar{G_a} < G_a$

f) fissuration:

section 1 et 1' déjà vérifiée.
3T14:

section 2 $\bar{w_f} = 0,062$. $\begin{cases} G_1 = 30,62 \text{ kg/cm}^2 \\ G_2 = 16,33 \end{cases}$
2T20+1T12.

vérifiée.

section 2' $\bar{w_f} = 0,028$. $\begin{cases} G_1 = 29,16 \text{ kg/cm}^2 \\ G_2 = 21,10 \end{cases}$
3T12.

vérifiée.

VI.40

NIVEAUX. III. IV. V. Semelles et Radier.

a) condition de non fragilité :

$$A \geq b \cdot h \cdot 4 \cdot \frac{6b}{6a} \cdot \left(\frac{ht}{h}\right)^2 : \text{ vérifiée pour toute section.}$$

b) condition de flèche:

$$\bullet \quad ht \geq \frac{1}{16} \cdot l = \frac{1}{16} \cdot 390 = 24 \text{ cm.} \quad (ht = 40 \text{ cm})$$

$$\bullet \quad A \leq \frac{43}{6en} \cdot b_0 \cdot h_0 = \frac{43}{4200} \cdot 30 \cdot 37 = 11,36 \text{ cm}^2. \quad \text{vérifié pour toute section}$$

$$\bullet \quad ht \geq \frac{1}{10} \cdot \frac{M_t}{m_0} \cdot l.$$

trave 1.2. $ht \geq \frac{1}{10} \cdot \frac{1,54}{2,60} \cdot 390 = 24 \text{ cm.}$

trave 2.3 $ht \geq \frac{1}{10} \cdot \frac{135}{2,60} \cdot 390 = 20,2 \text{ cm.}$

c) condition de non entraînement des barres

$$\bar{\sigma}_d = 2 \psi_d \cdot \bar{\epsilon}_b = 2 \cdot 1,5 \cdot 5,9 = 17,7 \text{ kg/cm}^2.$$

$$\sigma_d = \frac{T}{npz}$$

$$\text{semelle: } \Rightarrow \sigma_d = \frac{2780}{4(44) \cdot 32,37} = 4,88 \text{ kg/cm}^2.$$

$$\text{radier } \sigma_d = 4,88 \text{ kg/cm}^2. \quad \text{vérifié}$$

donc $\sigma_d < \bar{\sigma}_d$.

d) conditions aux appuis :

$$A \bar{\epsilon}_a \geq T + \frac{M}{z}.$$

Semelles

	appui 1	2	3
M (tm)	-5,99	-12,25	-12,25
T (t)	2,58	2,78	2,78
A · cm ²	≤ 0	≤ 0	≤ 0.

Les armatures prolongées de la travée suffisent.

idem pour le Radier.

e) vérification des contraintes.

la section d'armatures adopté étant supérieure à la section calculé on aura alors $\bar{b}_a < \bar{b}_a$.

f) fissuration :

section 1: $\bar{w}_f = \frac{A}{B_f} = \frac{6,15}{4 \times 30} = 0,051 \Rightarrow \begin{cases} \sigma_1 = 3420 \text{ Kg/cm}^2 \\ \sigma_2 = 1955 \end{cases}$

$$\bar{b}_a < \max(\sigma_1, \sigma_2) \rightarrow \text{vérifiée.}$$

section 2: $\bar{w}_f = \frac{12,56}{4 \times 30} = 0,104 \Rightarrow \begin{cases} \sigma_1 = 4078 \text{ Kg/cm}^2 \\ \sigma_2 = 1633 \end{cases}$

semelle: 4T20 :

vérifiée.

radier:

$$2T20 + 2T16. \quad \bar{w}_f = \frac{10,3}{4 \times 30} = 0,0858 \Rightarrow \begin{cases} \sigma_1 = 3700 \text{ Kg/cm}^2 \\ \sigma_2 = 1633 \end{cases}$$

vérifiée.

section 2':

semelle: 4T12 : $\bar{w}_f = \frac{4,52}{4 \times 30} = 0,0376 \Rightarrow \begin{cases} \sigma_1 = 3600 \text{ Kg/cm}^2 \\ \sigma_2 = 2110 \end{cases}$

Radier:

$$\frac{2T10}{2T12} \quad \bar{w}_f = \frac{3,83}{4 \times 30} = 0,032 \Rightarrow \begin{cases} \sigma_1 = 3230 \text{ Kg/cm}^2 \\ \sigma_2 = 2110 \end{cases}$$

vérifiée.

VERIFICATION POUR PORTIQUE I-I:

NIVEAUX I.II Semelles - Radier:

a) condition de non fragilité

$$A \geq b \cdot h \cdot \psi \cdot \frac{\bar{b}}{\bar{b}_a} \left(\frac{h_t}{h} \right)^2 = 30 \cdot 37 \cdot 0,54 \cdot \frac{5,9}{2800} \left(\frac{40}{37} \right)^2 = 1,47 \text{ cm}^2$$

Elle est vérifiée pour toute action du portique I-I.

VI.42

b) condition de flèche:

- $ht \geq \frac{1}{16} l = \frac{1}{16} \cdot 390 = 24\text{cm.}$ ($ht = 40\text{cm}$) .
- $A \leq \frac{43}{6en} \cdot b \cdot h = 11,36\text{cm}^2.$ vérifié pour toute section.
- $ht \geq \frac{1}{10} \frac{M_t}{M_0} \cdot l.$

semelle

$$\text{travée 1-2 : } ht \geq \frac{1}{10} \cdot \frac{2,29}{3,95} \cdot 390 = 22,6\text{cm.}$$

$$\text{travée 2-3 : } ht \geq \frac{1}{10} \cdot \frac{2,19}{3,95} \cdot 390 = 21,6\text{cm}$$

idem. pour le radier.

vérifié.

c) condition de non entraînement des barres.

$$\tilde{\sigma}_d = 2 \psi_d \cdot \tilde{\epsilon}_b = 17,7 \text{ kg/cm}^2.$$

$$\tilde{\sigma}_d = \frac{T}{n_p Z}.$$

$$\text{semelles: } \tilde{\sigma}_d = \frac{4120}{3 \cdot 5,03 \cdot 32,37} = 8,43 \text{ kg/cm}^2,$$

$$\text{radier: } \tilde{\sigma}_d = \frac{4120}{3 \cdot 4,4 \cdot 32,37} = 9,64 \text{ kg/cm}^2.$$

c'est vérifié.

d) conditions aux appuis.

Idem que pour le portique III - III.

des armatures prolongées de la travée suffisent.

e) verification des contraintes: la contrainte $\bar{\sigma}_a < \tilde{\sigma}_a$ car la section adoptée dépasse toujours la section ~~ende~~ trouvée.

f) fissuration:

section 1 et 1':

$$3T16: \quad \tilde{\omega}_f = \frac{A}{B_f} = \frac{6,03}{4 \cdot 30} = 0,05 \rightarrow \begin{cases} \bar{\sigma}_1 = 3332 \text{ kg/cm}^2 \\ \bar{\sigma}_2 = 1829 \end{cases} -$$

$$3T14: \quad \tilde{\omega}_f = \frac{4,62}{4 \cdot 30} = 0,0385 \rightarrow \begin{cases} \bar{\sigma}_1 = 3147 \text{ kg/cm}^2 \\ \bar{\sigma}_2 = 1955 \end{cases} -$$

VI.43

Section 2 :

$$2T20 + 1T16 \rightarrow w_f = 0.069 \rightarrow \begin{cases} G_1 = 3295 \text{ kg/cm}^2 \\ G_2 = 1630 \end{cases}$$

$$3T20 \rightarrow \bar{w}_f = 0.0785 \rightarrow \begin{cases} G_1 = 3500 \text{ kg/cm}^2 \\ G_2 = 1630 \end{cases}$$

Section 2' :

3T12 : vérifié déjà précédemment

NIVEAUX . III . IV . V Semelle - RADIER

a) condition de non fragilité :

$$A \geq b \cdot h \cdot \psi \cdot \frac{\bar{G}_b}{G_a} \left(\frac{ht}{h} \right)^2 \quad \text{vérifié pour toute section.}$$

b) condition de flèche :

$$\bullet ht \geq \frac{1}{16} \cdot l = 24 \text{ cm.} \quad (ht = 40 \text{ cm}).$$

$$\bullet A \leq \frac{43}{6 \pi} \cdot b \cdot h = 11,36 \text{ cm}^2 \quad \text{vérifié pour toute section.}$$

$$\bullet ht \geq \frac{1}{10} \cdot \frac{M_t}{M_b} \cdot l.$$

Semelles

$$\underline{\text{Barre 1-2}} \quad ht \geq \frac{1}{10} \cdot \frac{228}{3.95} \cdot 390 = 22.5 \text{ cm.}$$

$$ht \geq \frac{1}{10} \cdot \frac{2.19}{3.95} \cdot 390 = 21.6 \text{ cm.}$$

Idem pour le Radier.

vérifié.

c) condition de non entraînement des barres.

$$\bar{G}_d = 2\psi_d \cdot \bar{G}_b = 17.7 \text{ kg/cm}^2.$$

$$G_d = \frac{T}{n \cdot PZ} \quad \text{semelles : } G_d = \frac{4120}{4 \cdot 5,03 \cdot 32,37} = 6,32 \text{ kg/cm}^2.$$

$$\text{radier : } G_d = \frac{4120}{4 \times 4,4 \cdot 32,37} = 7,23 \text{ kg/cm}^2.$$

vérifié

d) conditions aux appuis

Idem que le pontique III. III.

les armatures prolongées de la travée suffisent.

e) verification des contraintes

La contrainte $\sigma_a < \bar{\sigma}_a$ car la section adoptée est toujours supérieure à la section calculée.

f) fissuration

section 1 et 1':

$$4T16 \rightarrow \bar{w}_f = 0.067 \rightarrow \begin{cases} \sigma_1 = 4048 \text{ kg/cm}^2 \\ \sigma_2 = 1827 \text{ -} \end{cases}$$

$$\frac{2T16}{2T14} \rightarrow \bar{w}_f = 0.059 \rightarrow \begin{cases} \sigma_1 = 3680 \text{ kg/cm}^2 \\ \sigma_2 = 1827 \text{ -} \end{cases}$$

section 2:

$$4T20: \bar{w}_f = 0.104 \rightarrow \begin{cases} \sigma_1 = 4078 \text{ kg/cm}^2 \\ \sigma_2 = 1633 \text{ -} \end{cases}$$

section 2' :

$$4T14 \quad \bar{w}_f = 0.051 \rightarrow \begin{cases} \sigma_1 = 3420 \text{ kg/cm}^2 \\ \sigma_2 = 1955 \text{ -} \end{cases}$$

$$\frac{2T14}{2T12}: \bar{w}_f = 0.0445 \rightarrow \begin{cases} \sigma_1 = 3088 \text{ kg/cm}^2 \\ \sigma_2 = 1955 \text{ kg/cm}^2 \end{cases}$$

toutes les conditions sont vérifiées.

VERIFICATION POUR PORTIQUE. II-IINIVEAU I . Semelle-radier :a) condition de non fragilité :

$$A \geq b \cdot h \cdot 1\mu \cdot \frac{6b}{6a} \left(\frac{ht}{h} \right)^2 = 30 \cdot 55 \cdot 0,54 \cdot \frac{5,9}{2800} \cdot \left(\frac{60}{55} \right)^2 = 2,23 \text{ cm}^2$$

vérifié.

b) condition de flèche :

- $ht \geq \frac{1}{16} \cdot l = \frac{1}{16} \cdot 667 = 42 \text{ cm.} \quad (ht = 60 \text{ cm})$

- $A \leq \frac{43}{6en} \cdot bo \cdot h = \frac{43}{4200} \cdot 30 \cdot 55 = 16,89 \text{ cm}^2$

- $ht \geq \frac{1}{10} \frac{M_t}{M_0} \cdot l :$

$$ht \geq \frac{1}{10} \cdot \frac{13,99}{22,47} \cdot 667 = 41,5 \text{ cm.}$$

vérifié.

c) condition de non entraînement des barres :

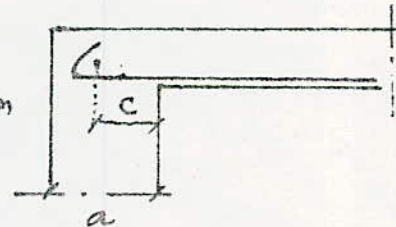
$$\tilde{\sigma}_d = 2 \cdot \psi_d \cdot \bar{b} = 17,7 \text{ kg/cm}^2$$

$$\tilde{\sigma}_d = \frac{T_{max}}{n.p.z} \quad \text{semelle: } \tilde{\sigma}_d = \frac{13800}{3 \cdot 6,28 \cdot \frac{7,55}{8}} = 1,52 \text{ kg/cm}^2$$

$$\text{radier: } \tilde{\sigma}_d = \frac{13800}{3 \cdot 5,03 \cdot 5,5} = 19,9 \text{ kg/cm}^2$$

donc on a $\tilde{\sigma}_d \leq \bar{\sigma}_d$.d) conditions aux appuis.

$$c \geq \frac{2T}{b \bar{b}^2 b_0} = \frac{2 \times 13800}{30 \cdot 67,5} = 13,6 \text{ cm}$$

armatures inférieures

$$A \geq \frac{T + M/z}{6a}$$

appui	1	2	3	4
M (Nm)	-8,72	-10,85	-10,85	-8,72
T (k)	13,80	13,80	13,80	13,80
A. cm ²	<0	<0	<0	<0

VI.46

e) vérifications des contraintes

la section adoptée étant supérieure à la section trouvée \Rightarrow
 $6a < \bar{6a}$.

f) fissuration :

$$\text{section. 1} \quad \bar{w_f} = \frac{A}{B_f} = 0.050 \rightarrow \begin{cases} 6_1 = 3320 \text{ kg/cm}^2 \\ 6_2 = 1829 \text{ -} \end{cases}$$

3T16.

section. 1 : vérifiée précédemment

section 2 : vérifiée précédemment

NIVEAU II . Semelle et radier :

a) condition de non fragilité :

effort

$$A \geq b \cdot h \cdot 4 \cdot \frac{\bar{6b}}{6a} \left(\frac{ht}{h} \right)^2 = 30 \cdot 60 \cdot 0,54 \cdot \left(\frac{65}{60} \right)^2 \frac{5,8}{2800} = 2,3$$

vérifiée pour toute section du portique.

b) condition de flèche :

- $ht \geq \frac{1}{16} l = 42 \text{ cm.}$

- $A \leq \frac{43}{6en} \cdot b_o \cdot h = \frac{43}{4200} \cdot 30 \cdot 60 = 18,8 \text{ cm}^2$

- $ht \geq \frac{1}{10} \cdot \frac{M_t \cdot l}{M_o} \quad ht \geq \frac{1}{10} \cdot \frac{20,98}{30,58} \cdot 6,67$

$$ht \geq \frac{1}{10} \cdot \frac{20,98}{30,58} \cdot 6,67 = 45,7 \text{ cm.}$$

vérifié

c) condition de non entraînement des barres :

$$\bar{\sigma}_d = 17,7 \text{ kg/cm}^2.$$

$$\bar{\sigma}_d = \frac{T_{\max}}{n_p Z} = \text{Semelle: } \bar{\sigma}_d = \frac{19120}{3 \cdot 6.28 \cdot 60} = 16,90 \text{ kg/cm}^2$$

$$\text{radier: } \bar{\sigma}_d = \frac{19120}{3 \cdot 6.28 \cdot 60} = 16,9 \text{ kg/cm}^2$$

vérifié

d) condition aux appuis

$$A \geq \frac{T + M/z}{6a}$$

appui	1	2	3
M(tm)	-14,70	-2007	-1507
T(t)	19,12	19,12	19,12
A·cm²	<0	<0	<0

les armatures prolongées dans l'arc suffisent.

e) verifications des contraintes:

on a toujours $6a < \bar{6}a$ car la section adoptée étant toujours supérieure à la section trouvée.

f) fissuration:

section 1,1' } vérifiés précédemment.
section 2,2' }

NIVEAUX. III. IV. V :

a) condition de non fragilité:

$$A \geq b \cdot h \cdot \psi \cdot \frac{\bar{G}_b}{6a} \left(\frac{ht}{h} \right)^2 = 2,36 \text{ cm}^2 \quad \text{vérifié.}$$

b) condition de flèche:

elle est vérifiée précédemment (voir niveau. II)

c) condition de non entraînement des barres:

$$\bar{\sigma}_d = 17,7 \text{ kg/cm}^2$$

$$\left. \begin{array}{l} \text{semelle, q} \\ \text{radier} \end{array} \right\} \bar{\sigma}_d = \frac{19120}{4 \times 6,28 \cdot 60} = 12,68 \text{ kg/cm}^2$$

$$\bar{\sigma}_d < \bar{\sigma}_d \quad \text{vérifié.}$$

d) conditions aux appuis :

verified précédemment. (voir niveau II).

Les armatures prolongées de la travée suffisent.

e) verification des contraintes :

on a toujours $\bar{g}_a < \bar{g}_a$ car la section adoptée dépasse la section trouvée

f) fissuration : toutes les sections sont vérifiées précédemment

ARMATURES TRANSVERSALES

PORTEIQUE I-I :

Les travées sont identiques, on déterminera l'effort tranchant max pour tout le niveau considéré puis on adoptera les mêmes armatures et les mêmes espacements pour toutes les travées.

NIVEAU I :

$$T_{\max} = 3150 \text{ Kg.}$$

$$\bar{g}_b = \frac{T}{b \cdot Z} = \frac{3150}{30 \cdot \frac{7,37}{8}} = 3,24 \text{ kg/cm}^2$$

$$A = 6,03 \text{ cm}^2. \quad M = 5,85 \text{ tm.}$$

$$\bar{\omega} = \frac{100 A}{bh} = \frac{100 \cdot 6,03}{30 \cdot 3,8} = 0,5$$

on tire $K = 30,4$
 $E = 0,8899$ } $\Rightarrow g_a = 2800 \text{ kg/cm}^2$. $\rightarrow g'_b = 92 \text{ kg/cm}^2$

donc $\bar{g}'_b < g'_b < \bar{g}'_b$. $\Rightarrow \bar{g}_b = (4,5 - \frac{g'_b}{g'_b}) \bar{g}'_b$

$$\bar{g}_b = (4,5 - \frac{92}{67,5}) 5,8 = 18,2 \text{ kg/cm}^2$$

les cadres et les étriers suffisent.

VI.49

espacement

$$6at = \frac{2}{3} \cdot 6en = \frac{2}{3} \cdot 2400 = 1600 \text{ kg/cm}^2$$

acier doux Fe E 24.

$$t = \frac{At \cdot Z \cdot 6at}{T}$$

on choisit un cadre + 1 ethier en $\phi 6$

$$At = 1,12 \text{ cm}^2$$

$$\underline{t = 18 \text{ cm.}}$$

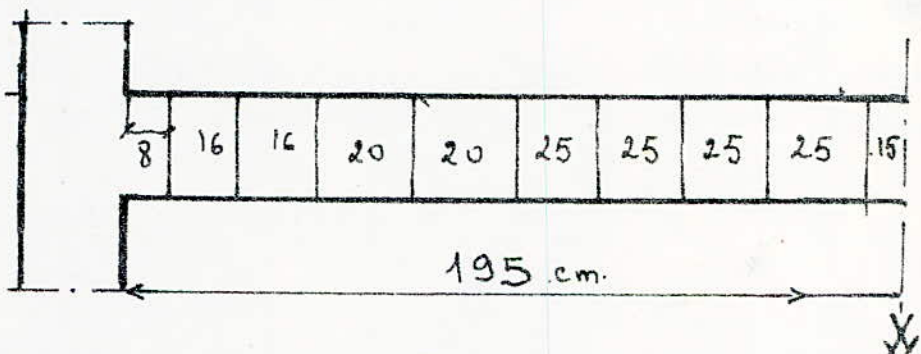
espacement admissible:

$$\bar{t} = \max \left\{ \begin{array}{l} 0,2h = 7,5 \text{ cm.} \\ h \left(1 - 0,3 \frac{\bar{t}b}{6b} \right) = 30 \text{ cm.} \end{array} \right.$$

$$\underline{\bar{t} = 30 \text{ cm}}$$

$$\text{portée} = 3,90 \text{ m} \Rightarrow \frac{l}{2} \approx 2 \text{ m} \quad \underline{t = 16 \text{ cm}}$$

le 1^e cours d'armatures sera placé à $\frac{t}{2} = 8 \text{ cm.}$, les autres suivent la suite de CAQUOT.



8 ; 2x16 ; 2x20 ; 2x25 . x 2x25 + 15.

NIVEAUX II, III, IV, V

$$T_{\max} = 4120 \text{ kg.}$$

Pour le niveau II, on utilisera 1 cadre + 1 ethier.

Pour les autres niveaux on utilise un double cadre.

$$\frac{cb}{bZ} = \frac{T}{30,32,87} = 4,25 \text{ kg/cm}^2$$

$$M = 8,04 \text{ tm} \quad A = 8,04 \text{ cm}^2 \quad w = \frac{100A}{b \cdot h} = 0,724 \quad K = 25,6$$

$$G_a = 6'b = \frac{6a}{K} = 110 \text{ kg/cm}^2$$

$$E = 0,876$$

VI.50

$$\overline{G_b} = \left(4,5 - \frac{110}{67,5}\right) \cdot 5,8 = 16,65 \text{ Kg/cm}^2.$$

les cadres et les étriers suffisent.

espacement

$$6at = 1600 \text{ Kg/cm}^2$$

$$t = \frac{At \cdot Z \cdot \overline{G_b}}{T}$$

on choisit 4 brins de $\phi 6$.

niveau II : 1 cadre + 1 étrier

niveau III, IV, V : 2 cadres.

$$t = \frac{1,12 \cdot \frac{7}{8} \cdot 37 \cdot 1600}{4120} = 14 \text{ cm.}$$

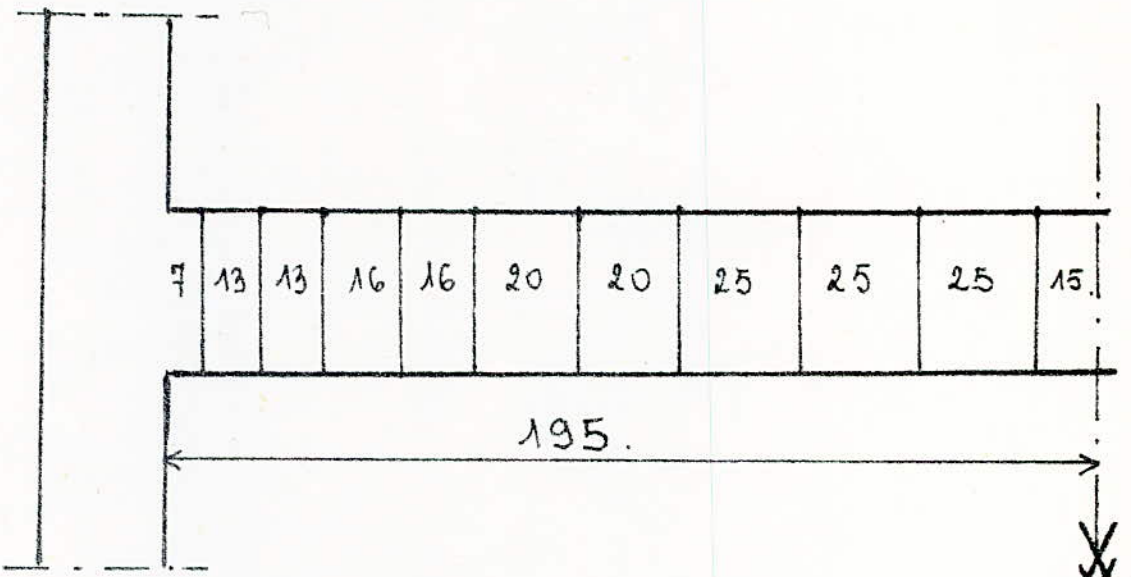
$$\underline{t = 13 \text{ cm.}}$$

espacement admissible

$$\bar{t} = \max \begin{cases} 0,2h = 7,5 \text{ cm.} \\ h(1 - 0,3 \frac{\overline{G_b}}{G_b}) = 29 \text{ cm.} \end{cases}$$

$$\underline{\bar{t} = 29 \text{ cm.}}$$

le 1^e cours d'armature sera placé à $\frac{t}{2} = 7 \text{ cm.}$



7, 2x13, 2x16, 2x20, 2x25, 1x25, 1x15.

PORTEQUE III-III : Idem que le portique I-I.

on adoptera les mêmes armatures transversales.

V1.51

PORTIQUE II-II

NIVEAU I.

$$\text{TRAVEE A-2} \quad T_{\max} = 13800 \text{ Kg}$$

$$\overline{\sigma}_b = \frac{T}{b.z} = \frac{13800}{30.7.55} = 9,56 \text{ kg/cm}^2$$

$$A = 8,89 \text{ cm}^2 \quad M = 10,85 \text{ tm} \quad \text{d'où}$$

$$\bar{w} = 100 \frac{A}{b.h} = 0,502 \Rightarrow \begin{cases} K = 31,9 \\ E = 0,8934 \end{cases} \Rightarrow 6a = 26$$

$$6'b = \frac{6a}{K} = 83 \text{ kg/cm}^2 \Rightarrow \overline{\sigma}_b = \left(4,5 - \frac{6'b}{6b} \right) \overline{\sigma}_b$$

$$\overline{\sigma}_b = 18,96 \text{ kg/cm}^2 \quad \text{les cadres et les étières suffisantes}$$

$$\underline{\text{espace ment}} \quad \overline{\sigma}_{at} = \frac{2}{3} \overline{\sigma}_b = 1600 \text{ kg/cm}^2$$

$$t = \frac{At \cdot z \cdot \overline{\sigma}_{at}}{T} \quad \text{on choisit 1 cadre + 1 étier en } \underline{t} = 2 \text{ cm}^2 \quad z = \frac{7}{8} 55$$

espace ment admissible

$$\bar{t} = \max \left\{ \begin{array}{l} 0,2 \cdot h = 11 \text{ cm} \\ h \left(1 - 0,3 \frac{\overline{\sigma}_b}{\overline{\sigma}_b} \right) = 27 \text{ cm} \end{array} \right.$$

d'où

$$\underline{\bar{t}} = 25 \text{ cm.}$$

le 1^e cours d'armatures sera placé à $\frac{t}{2}$ de l'appui. $\frac{t}{2} = 5$



travée 2-3

V1.52

$$T_{\max} = 4450 \text{ kg.}$$

$$\bar{\gamma}_b = \frac{T}{bZ} = \frac{4450}{30.48} = 3,10 \text{ kg/cm}^2.$$

$$A = 8,29 \text{ cm}^2; M = 10.85 \cdot t_m \Rightarrow 6'b = 83 \text{ kg/cm}^2.$$

$\bar{\gamma}_b = 18,96 \text{ kg/cm}^2$. les cadres et les étriers suffisent

espacement:

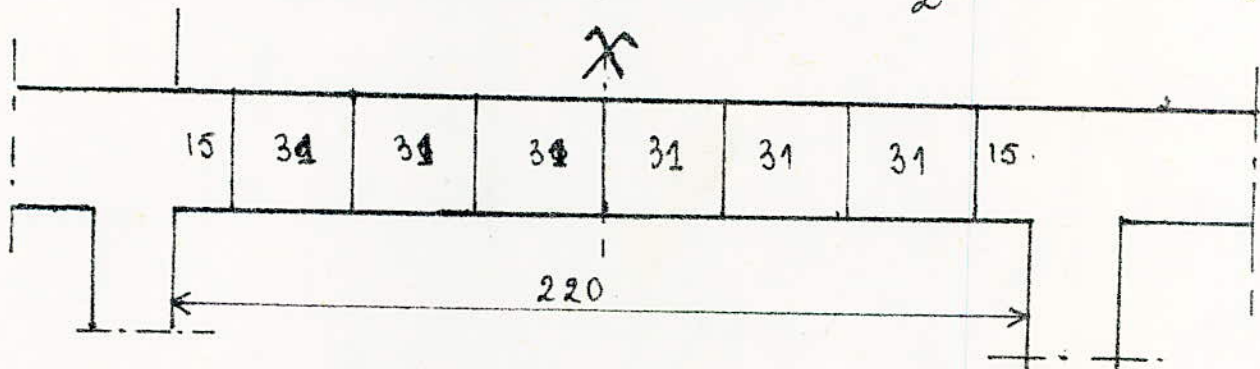
$$t = \frac{At \cdot Z \cdot \bar{\gamma}_b}{T} = 34 \text{ cm. } 4 \text{ brins de } \phi 8 \text{ mm.}$$

Espacement admissible:

$$\bar{t} = \max \begin{cases} 0,2h = 11 \text{ cm.} \\ h(1 - 0,3 \frac{\bar{\gamma}_b}{\gamma_b}) = 46 \text{ cm.} \end{cases}$$

$$\text{on aura } \underline{t = 30 \text{ cm.}}$$

le 1^e cours d'armatures sera placé à $\frac{t}{2} = 15 \text{ cm}$ des appuis.



NIVEAUX. II. III. IV. V.

travée 1-2 : $T_{\max} = 19120 \text{ KG}$

$$\bar{\gamma}_b = \frac{T}{bZ} = \frac{19120}{30.7.60} = 12,14 \text{ kg/cm}^2.$$

$$A = 8,14,82 \text{ cm}^2; M = 20,60 \cdot t_m. \quad \bar{\omega} = 100 \frac{A}{bh} = 0,823.$$

$$\Rightarrow K = 23,6 \quad \left\{ \begin{array}{l} \bar{\gamma}_b = 0,8705 \end{array} \right\} \Rightarrow 6'b = \frac{6a}{K} = \frac{2660}{23,6} = 112 \text{ kg/cm}^2$$

$$\text{donc } \bar{\gamma}_b = \left(4,5 - \frac{112}{67,5} \right) 5,8 = 16,47 \text{ kg/cm}^2.$$

Les cadres et les étriers suffisent.

V1.53

Espacement: $\overline{6at} = 1600 \text{ kg/cm}^2$.

$$t = \frac{\overline{At} \cdot Z \cdot \overline{6at}}{T}$$

on choisit 4 brins de $\phi 8 \text{ mm}$

niveau II: 1 cadre + 1 étier

niveaux III, IV, V: 2 cadres

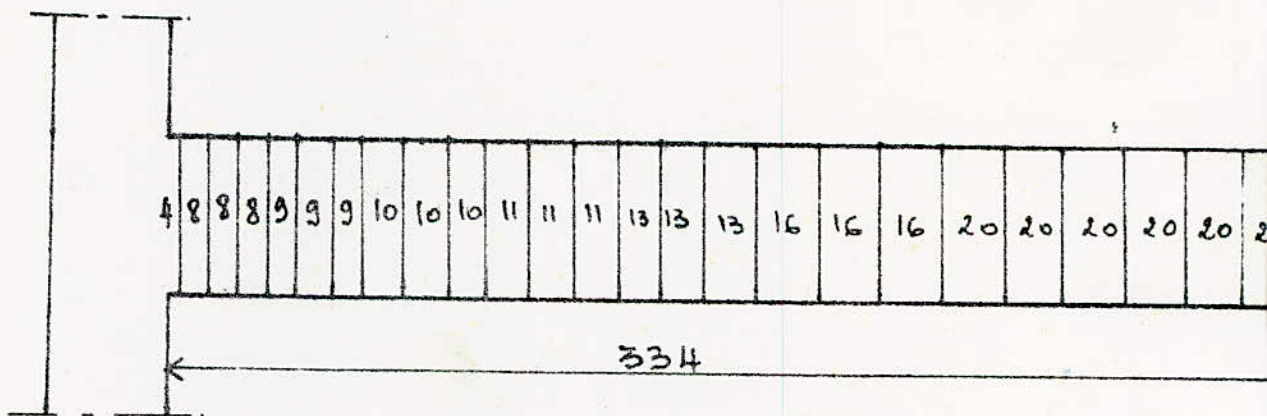
$$t = \frac{2 \cdot \frac{7}{8} \cdot 60 \cdot 1600}{19120} = 8,8 \text{ cm.}$$

Espacement admissible:

$$\bar{T} = \max \left\{ \begin{array}{l} 0,2h = 12 \text{ cm} \\ h(1 - 0,3 \cdot \frac{7b}{6b}) = 22 \text{ cm.} \end{array} \right.$$

$$\bar{T} = 20 \text{ cm.}$$

le 1^e cours d'armatures sera placé à $\frac{t}{2} = 4 \text{ cm. de l'appui}$.



$\{ A_j : 3 \times 8; 3 \times 9; 3 \times 10; 3 \times 11; 3 \times 13; 3 \times 16 \& 6 \times 20; 9$

on suit la formule de CAQUOT.

travée 2-3 : $T_{\max} = 7820 \text{ Kg.}$

$$7b = \frac{T}{bz} = \frac{7820}{30 \cdot \frac{7}{8} \cdot 60} = 4,96 \text{ kg/cm}^2$$

$$A = 14,82 \text{ cm}^2, \quad M = 20,60 \text{ tm.} \Rightarrow 6'b = 112 \text{ kg/cm}^2$$

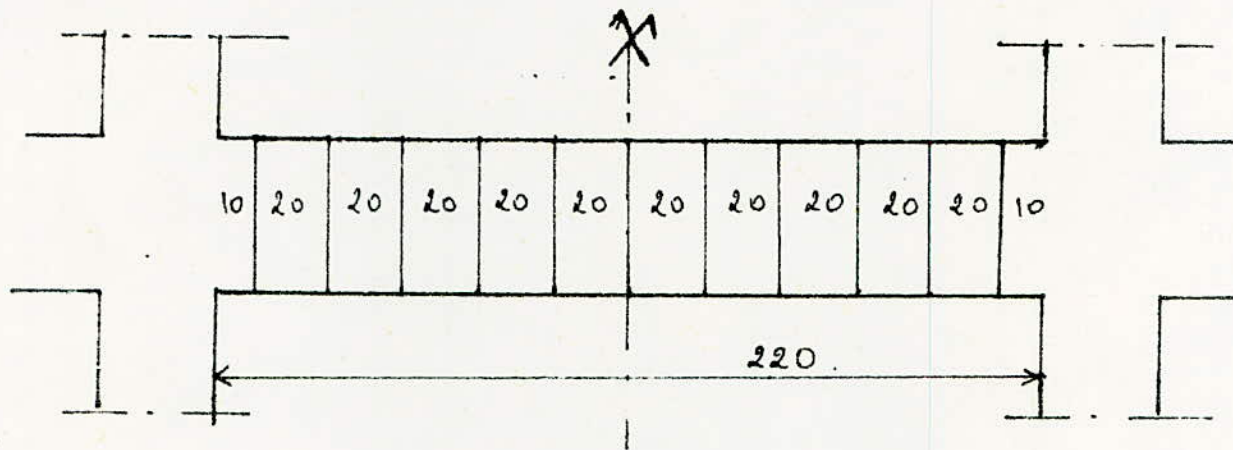
$$\overline{7b} = 16,47 \text{ kg/cm}^2. \quad \text{les cadres et les étières suffisent.}$$

espacement : $t = \frac{A_t \cdot Z \cdot \bar{e}_{at}}{T} = 20 \text{ cm.}$ 4 brins de $\phi 8 \text{ mm.}$

espacement admissible :

$$\bar{t} = \text{Max} \left\{ \begin{array}{l} 0.2 h = 12 \text{ cm.} \\ h(1 - 0.3 \frac{\bar{e}_b}{e_b}) = 44 \text{ cm.} \end{array} \right.$$

Le 1^e cours d'armatures sera placé à $\frac{t}{2} = 10 \text{ cm.}$ de l'appui



on conservera le même écartement sur la travée de 2,2 m
afin de faciliter la main d'œuvre.

POTEAUX

—
COMBINAISON DES
EFFORTS DANS
LES POTEAUX
—
— FERRAILLAGE —

combinaison des efforts

Efforts normaux dans les poteaux:

- effort normal minimal : lors calcul des armatures tendues
- effort normal maximal : lors calcul du béton comprimé et éventuellement des armatures comprimées

a) effort normal minimal : N_{\min}

- * charge permanente : G
- * $\frac{1}{5}$ des surcharges d'exploitation : $\frac{1}{5} P$
- * courbante verticale ascendante : $S_{IV} \uparrow$
- * moment de renversement déchargeant le poteau (du à S_{IH})

b) effort normal maximal : N_{\max}

- * charge permanente : G
- * totalité des surcharges d'exploitation : P
- * courbante verticale descendante : $S_{IV} \downarrow$
- * moment de renversement surchargeant le poteau (du à S_{IH})

les efforts normaux sont calculés à partir des effets tranchant des frotties à gauche et à droite du poteau considéré et ceci dans les 2 sens.

Remarques :

- * l'effort normal du aux charges verticales (G, P, S_{IV}) est le même dans les sens longitudinal et transversal.
- * les forces siamoises horizontales n'agissent pas simultanément
- * il en est de même pour les efforts normaux, produit par ces forces

Combinaisons des efforts normaux

$$+ SP_1 : N = N(G + 1,2P) + \text{poids propre}$$

$$+ SP_2 : \left| \begin{array}{l} N^{\min} = N(G + \frac{P}{5} - S_{IV} \pm S_{IH}) + \text{poids propre} \\ N^{\max} = N(G + P + S_{IV} \pm S_{IH}) + \text{poids propre} \end{array} \right.$$

COMBINAISONS MOMENTS - POTEAUX
PONTONNE I - I SEMESTRE

5	6	7	8
9	10	11	12
13	14	15	16
17	18	19	20
18	22	23	24

moments → t.w

POTEAUX		G		P		S _T V		S _I H		G + 1,2P		G + P + S _V + S _H		G + $\frac{P}{S}$ - S _V + S _H	
POTEAUX		M _C	M _S	M _C	M _S	M _C	M _S	M _C	M _S	M _C	M _S	M _C	M _S	M _C	M _S
1	1-5	1,35	-0,74	0,12	-0,22	0,77	-0,32	-6,75	+3,63	1,49	-1,00	+8,99	-4,91	-6,15	+3,17
	5-9	0,83	-0,79	0,24	-0,23	0,37	-0,25	-11,29	+7,54	1,12	-1,07	12,73	-8,81	-10,78	+6,96
1	9,13	0,79	-0,79	0,23	-0,23	0,25	-0,15	-13,77	+11,22	1,07	-1,07	+15,04	-12,39	-13,19	+10,53
	13,14	0,79	-0,49	0,23	-0,14	0,15	-0,04	-14,41	+14,41	1,07	-0,64	+5,58	-15,06	-13,72	+13,95
1	14-2	1,15	-0,63	0,35	-0,64	0,09	-0,037	-8,47	12,61	1,57	-1,40*	+0,06	-13,72	-7,34	+11,89
	2	2-6	/	/	/	/	/	-8,45	4,54	/	/	+8,45	-4,54	-8,45	+4,54
	6-10	/	/	/	/	/	/	-14,12	9,40	/	/	+14,12	-9,40	-14,12	+9,40
2	10-14	/	/	/	/	/	/	-12,20	14,00	/	/	+12,20	-14,00	-12,20	+14,00
	14-18	/	/	/	/	/	/	-18,00	18,00	/	/	+18,00	-18,00	-18,00	+18,00
2	18-22	/	/	/	/	/	/	-10,57	15,75	/	/	+10,57	-15,75	-10,57	+15,75
	3	3-7	/	/	/	/	/	-8,45	4,54	/	/	+8,45	-4,54	-8,45	+4,54
	4-11	/	/	/	/	/	/	-14,12	9,40	/	/	+14,12	-9,40	-14,12	+9,40
3	11-15	/	/	/	/	/	/	-17,20	14,00	/	/	+17,20	-14,00	-17,20	+14,00
	15-19	/	/	/	/	/	/	-18,00	18,00	/	/	+18,00	-18,00	+18,00	-18,00
3	19-23	/	/	/	/	/	/	-10,57	15,54	/	/	+10,57	-15,75	-10,57	+15,75
	4	4-8	/	/	/	/	/	-8,45	4,54	/	/	+8,45	-4,54	-8,45	+4,54
	8-12	/	/	/	/	/	/	-14,12	9,40	/	/	+14,12	-9,40	-14,12	+9,40
4	12-16	/	/	/	/	/	/	-13,20	14,00	/	/	+13,20	-14,00	-13,20	+14,00
	16-20	/	/	/	/	/	/	18,00	18,00	/	/	+18,00	-18,00	+18,00	-18,00
4	20-24	/	/	/	/	/	/	-10,57	15,75	/	/	+10,57	-15,75	-10,57	+15,75

**COMPARAISONS MOMENTS - PÔTEAUX
POUR LAQUE I-I
RADIER**

5	6	7	8
g	10	11	12
13	14	15	16
17	18	19	20
21	22	23	L _{xt}

moments : t. m

VII.3

FILE PÔTEAU	G		P		S _{Tv} ↓		S _{T_H} ↑		G + 1,2.Φ		G + Φ + S _{T_v} ↓ + S _{T_H} ↑		G + P _S - S _{T_v} + S _{T_H}		
	M _i	M _s	M _i	M _s	M _i	M _s	M _i	M _s	M _i	M _s	M _i	M _s	M _i	M _s	
1	-1,35	-0,74	0,12	-0,22	0,66	-0,24	-5,90	3,17	1,49	-1,00	8,03	-1,40	-5,19	+2,66	
2	5-9	0,83	-0,79	0,24	-0,23	0,32	-0,24	-9,85	6,58	1,12	-1,07	+11,24	-7,81	-9,29	+5,95
3	9-13	0,79	-0,79	0,23	-0,23	0,21	-0,13	-12,00	9,78	1,07	-1,07	+13,23	-10,93	-6,93	+9,07
4	13-17	0,79	-0,47	0,23	-0,14	0,13	-0,04	-12,55	12,55	1,07	-0,64	+13,70	-13,20	-11,84	+12,09
5	17-21	1,15	-0,63	0,35	-0,64	0,08	-0,03	-7,37	10,97	1,57	-1,40	8,95	-12,27	-6,23	+10,24
6	2-6	/	/	/	/	/	/	-7,37	3,96	/	/	7,37	-3,96	-7,37	+3,96
7	6-10	/	/	/	/	/	/	-12,30	8,22	/	/	12,30	-8,22	-12,30	8,22
8	10-14	/	/	/	/	/	/	-15,00	12,21	/	/	15,00	-12,21	-15,00	12,21
9	14-18	/	/	/	/	/	/	-15,68	15,68	/	/	15,68	-15,68	-15,68	15,68
10	18-22	/	/	/	/	/	/	-9,21	13,72	/	/	9,21	-13,72	-9,21	13,72
11	3-7	/	/	/	/	/	/	-7,37	3,96	/	/	7,37	-3,96	-7,37	3,96
12	7-11	/	/	/	/	/	/	-12,30	8,22	/	/	12,30	-8,22	-12,30	8,22
13	11-15	/	/	/	/	/	/	-15,00	12,21	/	/	15,00	-12,21	-15,00	12,21
14	15-19	/	/	/	/	/	/	-9,21	13,72	/	/	9,21	-13,72	-9,21	13,72
15	19-23	/	/	/	/	/	/	-7,37	3,96	/	/	9,21	-13,72	-9,21	13,72
16	4-8	/	/	/	/	/	/	-7,37	3,96	/	/	7,37	-3,96	-7,37	3,96
17	8-12	/	/	/	/	/	/	-12,30	8,22	/	/	12,30	-8,22	-12,30	8,22
18	12-16	/	/	/	/	/	/	-15,00	12,21	/	/	15,00	-12,21	-15,00	12,21
19	16-20	/	/	/	/	/	/	-15,68	15,68	/	/	15,68	-15,68	-15,68	15,68
20	20-24	/	/	/	/	/	/	-9,21	13,72	/	/	9,21	-13,72	-9,21	13,72

COMPARAISON DES EFFORTS NORMAUX PORTÉS PAR
LE RADIÉTÉ

FILE	POTÉAU PROPRE	SEMELLES						— RADIER —						
		G	P	S _{IV}	S _{IN}	G + 1,2 P	S _{IV}	S _{IN}	G + 1,2 P	S _{IV}	S _{IN}	G + 1,2 P		
1	1-5	1,31	2,73	0,25	1,55	-2,84	3,03	7,34	-1,58	1,35	-2,45	3,03	6,71	-1,02
	5-9	1,31	2,95	0,86	1,29	-6,22	3,98	11,29	-4,37	1,11	-5,42	3,98	10,34	-3,41
	9-13	1,31	2,96	0,86	0,92	-8,87	3,99	13,61	-6,66	0,81	-7,74	3,99	12,37	-5,43
	13-17	1,31	2,96	0,86	0,57	-10,67	3,99	14,86	-8,11	0,50	-9,30	3,99	13,62	-6,68
	17-21	0,45	2,97	0,87	0,23	-9,53	4,04	13,06	-6,57	0,21	-8,30	4,04	12,35	-5,37
	2-6	1,31	5,64	0,51	3,24	0,65	6,25	10,04	1,85	2,80	0,56	6,25	9,51	2,38
2	5-10	1,31	6,05	1,77	2,62	1,44	8,17	11,88	2,34	2,28	1,25	8,17	11,35	2,87
	10-14	1,31	6,05	1,77	1,89	2,05	8,17	11,76	2,46	1,65	1,79	8,17	11,26	2,96
	14-18	1,31	6,05	1,77	1,17	2,47	8,17	11,46	2,76	1,03	2,15	8,17	11,00	3,28
	18-22	0,45	6,03	1,77	0,47	2,20	8,15	10,49	3,71	0,43	1,92	8,15	10,15	4,03
	3-7	1,31	5,64	0,51	3,24	—	6,25	9,39	2,50	2,80	—	6,25	8,95	2,94
	7-11	1,31	6,05	1,77	2,62	—	8,17	10,44	3,78	2,29	—	8,17	10,10	4,12
3	11-15	1,31	6,05	1,77	1,89	—	8,17	9,71	4,51	1,65	—	8,17	9,47	4,75
	15-19	1,31	6,05	1,77	1,17	—	8,17	8,99	5,23	1,03	—	8,17	8,85	5,37
	19-23	0,45	6,03	1,77	0,47	—	8,15	9,27	5,91	0,43	—	8,15	8,25	5,99
	4-8	1,31	5,64	0,51	3,24	—	6,25	9,39	2,50	2,80	—	6,25	8,95	2,94
	8-12	1,31	6,05	1,77	2,62	—	8,17	10,44	3,78	2,28	—	8,17	10,10	4,12
	12-16	1,31	6,05	1,77	1,89	—	8,17	9,71	4,51	1,65	—	8,17	9,47	4,75
4	16-20	1,31	6,05	1,77	1,17	—	8,17	6,99	5,23	1,03	—	8,17	6,85	5,37
	20-24	0,45	6,03	1,77	0,47	—	8,15	8,27	5,91	0,43	—	8,15	8,25	5,99

VII.5

EFFECTS	SEMESTER	RADER . GENERAL					
		N	N _{max}	N _{min}	N _{ave}	N _{min}	N _{ave}
1	1 - 5	4,34	8,65	-0,27	8,65	-0,27	4,34
1	5 - 9	5,30	12,60	-3,06	21,25	-3,33	9,64
1	9 - 13	5,30	14,92	-5,35	36,17	-8,68	14,94
1	13 - 17	5,30	16,17	-6,80	59,34	-15,48	20,24
1	17 - 21	4,47	13,51	-6,12	65,85	-21,60	24,71
2	2 - 6	7,56	11,35	3,16	11,35	3,16	7,56
2	6 - 10	9,48	13,19	3,65	24,54	6,81	17,04
2	10 - 14	9,48	13,09	3,77	37,61	10,58	26,52
2	14 - 18	9,48	12,77	4,07	50,38	14,65	36,00
2	18 - 22	8,60	10,92	4,16	61,30	18,81	44,60
3	3 - 7	7,56	10,70	3,81	7,56	7,56	10,70
3	7 - 11	9,48	11,75	5,09	22,45	8,90	17,04
3	11 - 15	9,48	11,02	5,82	33,47	14,72	26,52
3	15 - 19	9,48	10,30	6,54	43,77	21,26	36,00
3	19 - 23	8,60	8,72	6,36	52,49	27,62	44,60
4	4 - 8	7,56	10,70	3,81	10,70	3,81	7,56
4	8 - 12	9,48	11,75	5,09	22,45	8,90	17,04
4	12 - 16	9,48	11,02	5,82	33,47	14,72	26,52
4	16 - 20	9,48	10,30	6,54	43,77	21,26	36,00
4	20 - 24	8,60	8,72	6,36	52,49	27,62	44,60

N → tonnes.

EFFORTS NORMAUX
 FORCES
 I - I

5	6	7	8
5	10	11	12
13	14	15	16
17	18	19	20
21	22	23	24

COMBINAISONS MOMENTS - POUTEUX
PONTIQUE TRA-TRI
SEMEELLES

Moments → t.m

FILE	POINTEAU	σ		ρ		$S\bar{I}_V \downarrow$		$S\bar{I}_H^{\rightarrow}$		$G + 1,2\rho$		$G + \rho + S\bar{I}_V^{\downarrow} + S\bar{I}_H^{\rightarrow}$		$G + \frac{\rho}{3} - S\bar{I}_V + S\bar{I}_H^{\rightarrow}$	
		M ^o	M _s	M ^o	M _s	M ^o	M _s	M ^o	M _s	M ^o	M _s	M ^o	M _s	M ^o	M _s
5	6	+ 8													
6	10	11	12												
13	14	15	16												
17	18	19	20												
21	22	23	24												
1															
2															
3															
4															
12-16															
16-20															
20-24															

COMPARAISON MOMENTS - POTEAU
PORTIQUE 333-333 - SEMEUSE

RADIER

moments → t.m.

FILE	G		P		SI _V ↓		SI _H →		G + 1,2,4		G + P + SI _V ↓ + SI _H →		G + $\frac{P}{5}$ - SI _V ↓ + SI _H →		
	POTEAU	M _P	M _S	M _P	M _S	M _P	M _S	M _P	M _S	M _P	M _S	M _P	M _S	M _P	M _S
1	6	-9,78	-0,40	0,04	-0,08	0,42	-0,18	-5,59	3,00	0,88	-0,50	+6,89	-3,66	-5,22	+2,76
2	7	0,45	-0,43	0,10	-0,09	0,20	-0,14	-8,97	5,99	0,57	-0,54	+9,72	-6,65	-8,76	+5,68
3	8	0,44	-0,43	0,09	-0,09	0,14	-0,09	-19,82	8,82	0,55	-0,54	+11,49	-9,45	-10,50	+8,46
4	9	0,33	-0,30	0,09	-0,06	0,09	-0,02	-11,80	11,30	0,44	-0,37	+11,81	-11,68	-11,04	+11,00
5	10	0,69	-0,35	0,14	-0,26	0,06	-0,03	-6,62	9,87	0,86	-0,66	+7,51	-9,91	-5,96	+9,33
6	11	-	-	-	-	-	-	-6,95	3,75	-	-	+6,98	-3,75	-6,98	+3,75
7	12	-	-	-	-	-	-	-11,22	7,50	-	-	+11,22	-7,50	-11,22	+7,50
8	13	-	-	-	-	-	-	-13,54	11,03	-	-	+13,54	-11,03	-13,54	+11,03
9	14	-	-	-	-	-	-	-14,13	14,13	-	-	+14,13	-14,13	-14,13	+14,13
10	15	-	-	-	-	-	-	-8,28	12,23	-	-	+8,28	-12,23	-8,28	+12,23
11	16	-	-	-	-	-	-	-6,98	3,75	-	-	+6,98	-3,75	-6,98	+3,75
12	17	-	-	-	-	-	-	-11,92	7,50	-	-	+11,92	-7,50	-11,92	+7,50
13	18	-	-	-	-	-	-	-13,54	11,03	-	-	+13,54	-11,03	-13,54	+11,03
14	19	-	-	-	-	-	-	-14,13	14,13	-	-	+14,13	-14,13	-14,13	+14,13
15	20	-	-	-	-	-	-	-8,28	12,23	-	-	+8,28	-12,23	-8,28	+12,23
16	21	-	-	-	-	-	-	-6,98	3,75	-	-	+6,98	-3,75	-6,98	+3,75
17	22	-	-	-	-	-	-	-11,22	7,50	-	-	+11,22	-7,50	-11,22	+7,50
18	23	-	-	-	-	-	-	-13,54	11,03	-	-	+13,54	-11,03	-13,54	+11,03
19	24	-	-	-	-	-	-	-14,13	14,13	-	-	+14,13	-14,13	-14,13	+14,13

COMPARAISON DES EFFORTS NORMAUX : PORTIQUE III-III

VII. 8

~ SEMELLES ~				~ RADIER ~			
FILE	POTÉAN Pointe	G	R	S _{IN}	S _{IN}	G+1,2P	G+1,2P
1	1-5	1,31	2,34	0,12	1,44	-2,67	2,48
	5-9	1,31	2,02	0,43	1,09	-5,74	2,54
	9-13	1,31	2,03	0,43	0,78	-8,06	2,55
	13-17	1,31	2,03	0,43	0,50	-9,65	2,55
	17-21	0,45	2,06	0,43	0,20	-8,60	2,58
	21-25	1,31	5,20	0,27	3,75	0,62	5,52
2	6-10	1,31	4,34	0,92	2,31	1,32	5,44
	10-14	1,31	4,34	0,92	1,68	1,86	5,44
	14-18	1,31	4,34	0,92	1,08	2,23	5,44
	18-22	0,45	4,31	0,91	0,43	1,99	5,40
	22-26	5-7	5,20	0,27	3,15	—	5,52
	7-11	1,31	4,34	0,92	2,31	—	5,44
3	11-15	1,31	4,34	0,92	1,68	—	5,44
	15-19	1,31	4,34	0,92	1,08	—	5,44
	19-23	0,45	4,31	0,91	0,43	—	5,40
	23-27	4-8	1,31	5,20	0,27	3,15	5,52
	27-31	8-12	1,31	4,34	0,92	2,31	5,44
	31-35	12-16	1,31	4,34	0,92	1,68	5,44
4	16-20	1,31	4,34	0,92	1,08	—	5,44
	20-24	0,45	4,34	0,91	0,43	—	5,40

EFFORTS NORMAUX CUMULES
PORTIQUE. III - III

N : → Tonnes.

CIRCONSTANCES	N	SEMELLES					RADIER. GENERAL						
		N _{max}	N _{min}	N _{cum}	N _{max} ^{min}	N _{min} ^{max}	N _{max}	N _{min}	N _{cum}	N _{max} ^{min}	N _{min} ^{max}		
1	1- 5	3,79	7,85	-0,41	3,79	7,85	-0,41	3,79	7,32	0,07	3,79	7,32	0,07
	5 - 9	3,85	10,59	-3,39	7,64	18,44	-3,80	3,85	9,60	-2,42	7,64	16,92	-2,35
1	9 - 13	3,86	12,61	-5,41	11,50	31,05	-9,21	3,86	11,45	-4,26	11,50	28,37	-6,61
	13 - 17	3,86	13,92	-6,72	15,36	44,97	-15,93	3,86	12,58	-5,35	15,36	40,95	-11,96
2	17 - 21	3,03	11,74	-6,20	18,39	56,71	-22,13	3,03	10,58	-5,04	18,39	51,53	-17,00
	2- 6	6,83	10,55	2,79	6,83	10,55	2,79	6,83	9,96	3,38	6,83	9,96	3,38
2	6 - 10	6,75	10,20	2,20	13,58	20,75	4,99	6,75	9,63	2,77	13,58	19,59	6,15
	10 - 14	6,75	10,11	2,29	20,33	30,86	7,28	6,75	9,65	2,75	20,33	29,24	8,90
2	14 - 18	6,75	9,88	2,52	27,08	40,74	9,80	6,75	9,41	2,99	27,08	38,65	11,89
	18 - 22	5,85	8,09	2,53	32,93	48,83	12,33	5,85	7,75	2,86	32,93	46,40	14,45
3	3 - 7	6,83	9,93	3,41	6,83	9,93	3,41	6,83	9,43	3,91	6,83	9,43	3,91
	7 - 11	6,75	8,88	3,52	13,58	18,81	6,93	6,75	8,56	3,84	13,58	17,99	4,75
3	11 - 15	6,75	8,25	4,15	20,33	27,08	11,08	6,75	8,04	4,36	20,33	26,03	12,11
	15 - 19	6,75	7,65	4,75	27,08	34,91	15,83	6,75	7,48	4,92	27,08	33,51	17,03
4	19 - 23	5,85	6,70	4,52	32,93	49,81	20,35	5,85	6,02	4,59	32,93	39,53	21,62
	4 - 8	6,83	9,93	3,41	6,83	9,93	3,41	6,83	9,43	3,91	6,83	9,43	3,91
4	8 - 12	6,75	8,88	3,52	13,58	18,81	6,93	6,75	8,56	3,84	13,58	17,99	4,75
	12 - 16	6,75	8,25	4,15	20,33	27,08	11,08	6,75	8,04	4,36	20,33	26,03	12,11
5	16 - 20	6,75	7,65	4,75	27,08	34,91	15,83	6,75	7,48	4,92	27,08	33,51	17,03
	20 - 24	5,85	6,70	4,52	32,93	49,81	20,35	5,85	6,02	4,59	32,93	39,53	21,62

X²⁴

VII. 9

2,1

2,2

2,3

2,4

2,5

2,6

2,7

2,8

2,9

2,10

2,11

COMPOSITIONS - MOMENTS - ROTATION
FORCES - SLEEVES.

5	6	7	8	9	10	11	12	13	14	15	16	17	18	19	20	21	22	23	24
---	---	---	---	---	----	----	----	----	----	----	----	----	----	----	----	----	----	----	----

Moments — l.m.

G		P		SIV		SIU		G+1,2 P		G+P+SIV+ $\frac{G}{SIH}$		G+P-SI + $\frac{G}{SIH}$			
414	40	MI	Ms	MI	Ms	MI	Ms	MI	Ms	MI	Ms	MI	Ms	MI	Ms
1	1-5	7,56	-4,61	0,97	-1,93	1,92	-0,98	-13,37	7,13	8,72	-6,93	23,82	-14,70	-7,54	3,16
2	5-9	5,18	-4,96	2,17	-2,07	1,10	-0,76	-23,52	15,72	7,98	-7,44	32,71	-23,52	-19,01	14,11
3	9-13	4,96	-4,96	2,07	-2,07	0,76	-0,47	-29,06	23,66	7,44	-7,44	43,948	-31,16	-24,45	+18,76
4	13-17	4,96	-3,27	2,07	-1,37	0,47	-0,14	-30,62	39,62	7,44	-4,91	38,75	-35,40	-25,72	27,22
5	17-21	7,58	-7,58	3,17	-3,17	0,32	-0,32	-18,13	27,01	11,38	-11,38	29,02	-38,08	-10,29	+20,38
6	2-6	-1,06	+1,41	-0,14	+0,39	-0,27	+0,20	-4,21	2,66	-1,93	1,89	-5,68	4,26	3,39	-0,97
7	6-10	-1,58	+1,56	-0,44	+0,43	-0,22	+0,16	-7,42	4,96	-2,71	2,08	-9,66	7,11	5,97	-3,47
8	10-14	-1,56	+1,56	-0,43	+0,43	-0,16	+0,10	-9,17	7,47	-2,08	2,08	-11,32	9,56	7,68	-5,92
9	14-18	-1,56	+1,39	-0,43	+0,39	-0,10	+0,04	-9,68	9,68	-2,08	1,86	11,77	11,56	8,73	-8,25
10	18-22	3,23	3,23	-0,90	0,90	-0,09	0,09	-5,72	8,52	-4,31	+4,31	9,94	12,74	2,40	-5,20
11	3-7	1,06	-0,88	0,14	-0,39	0,27	-0,20	-4,21	+2,26	1,23	1,35	5,68	-3,73	-3,39	+1,50
12	7-11	0,99	-0,99	0,44	-0,43	0,22	-0,16	-7,42	4,96	1,52	-1,51	9,07	-6,54	-6,56	+4,34
13	11-15	0,99	-0,99	0,43	-0,43	0,16	-0,10	-9,17	7,47	1,51	-1,51	10,75	-8,99	-8,25	+6,49
14	15-19	0,99	-0,88	0,43	-0,39	0,10	-0,04	-9,68	9,68	1,51	-1,35	11,20	-10,99	-8,70	+8,76
15	19-23	2,04	-2,04	0,90	-0,90	0,09	-0,09	-5,72	8,52	3,72	-3,12	9,75	-11,55	-3,59	+6,39
16	4-8	-7,56	+4,39	-0,97	+1,93	-1,92	+0,98	-13,37	7,18	-8,72	6,71	-23,82	14,48	7,54	-3,28
17	8-12	-4,94	+4,73	-2,17	+2,07	-1,10	+0,76	-23,52	15,72	-7,55	7,21	-31,93	23,28	19,25	-11,34
18	12-16	-4,73	+4,73	-2,07	+2,07	-0,76	+0,47	-29,66	23,66	-7,21	7,21	-36,62	30,93	24,68	-18,99
19	16-20	-4,73	+3,11	-2,07	+1,37	-0,47	+0,14	-30,62	30,62	-7,21	4,95	-37,89	35,24	25,94	-27,38
20	20-24	-7,23	-7,23	-3,17	3,17	-0,32	0,32	-18,13	27,01	-11,03	11,03	-28,65	37,73	10,59	-19,47

VII.10

2
X 3
4
8
12
16
20
24

COMPARAISONS MOMENTS - POISEUX.
PORTRAIE II - II RADIER.

VII. 77

FILE 407EAU	G		P		S _{IV}		S _{IH}		G+1,2 P		G+P+S _{IV} +S _{IH}		G+P-S _{IV} +S _{IH}	
	M _i	M _s	M _i	M _s	M _i ^o	M _s	M _i	M _s	M _i ^o	M _s	M _i ^o	M _s	M _i ^o	M _s
1-5	-7,56	-4,61	0,97	-1,93	1,66	-0,84	-11,15	6,26	8,72	-6,93	21,84	-11,40	-5,55	2,71
5-9	5,18	-4,96	2,17	-2,07	0,95	-0,65	-20,46	13,68	7,78	-7,44	28,76	-21,15	-15,80	8,96.
9-13	4,96	-4,96	2,07	-2,07	0,65	-0,40	-25,32	20,62	7,44	-7,44	33,00	-28,05	-20,60	15,65
13-17	4,96	-3,27	2,07	-1,34	0,41	-0,11	-26,67	26,67	7,44	-4,92	34,11	-31,42	-21,74	23,24
17-21	7,58	-7,58	3,17	-3,17	0,26	-0,26	-15,80	23,53	11,38	-11,38	26,81	-34,54	-7,185	15,58
2-6	-1,06	+1,41	-0,14	+0,39	-0,23	+0,17	-3,69	1,98	-1,23	1,88	-5,12	3,95	2,03	-0,66
6-10	-1,58	+1,56	-0,44	+0,43	-0,19	+0,14	-6,45	431	-2,11	2,08	-8,66	6,44	4,97	-2,80
10-14	-1,56	+1,56	-0,43	+0,43	-0,14	+0,09	-7,99	6,15	-2,07	2,08	-10,12	8,23	6,48	-4,59
14-18	-1,56	+1,39	-0,43	+0,39	-0,09	+0,03	-8,41	8,41	-2,07	1,86	-10,49	10,22	6,85	-6,97
18-22	-3,23	+3,23	-0,90	+0,90	-0,07	+0,07	-4,99	7,43	-4,31	4,31	-9,19	11,63	1,65	-4,09
3-7	-1,06	-0,88	0,74	-0,39	0,23	-0,17	-3,69	1,98	1,28	-1,35	+5,72	-3,42	-2,84	+1,19
7-11	0,99	-0,99	0,44	-0,43	0,19	-0,14	-6,45	431	1,52	-1,50	8,67	-5,87	-5,56	3,38
11-15	0,99	-0,99	0,43	-0,43	0,14	-0,09	-7,99	6,15	1,51	-1,50	9,53	-7,66	-7,06	5,17
15-19	0,99	-0,88	0,43	-0,39	0,09	-0,03	-8,41	8,41	1,51	-1,35	9,92	-9,71	-7,42	7,48
19-23	2,04	-2,04	0,90	-0,90	0,07	-0,07	-4,99	7,43	3,12	-3,12	8,00	-10,44	-2,84	+5,28
4-8	-7,56	+4,39	-0,97	+1,93	-1,66	+0,84	-M _{1,65}	6,26	-8,72	6,70	-21,84	13,42	5,55	-2,32
8-12	-4,94	+4,73	-2,17	+2,07	-0,95	+0,65	-20,46	13,68	-7,54	7,21	-28,52	21,73	16,03	-9,78
12-16	-4,73	+4,73	-2,07	+2,07	-0,65	+0,40	-25,32	20,62	-7,21	7,21	-32,77	27,82	20,82	-15,89
16-20	-4,73	+3,11	-2,07	+1,37	-0,41	+0,11	-26,67	26,67	-7,21	4,75	33,88	31,26	21,93	-23,39
20-24	-7,23	-3,17	3,14	-0,26	0,26	-15,80	23,53	-M _{1,01}	M _{1,03}	-26,46	33,19	8,19	-15,92	

COMBINAISON DES EFFORTS NORMAUX - PORTIQUE II-II

VII. 12

~ SEMELLES ~				~ RADIER ~										
FILE POTEAU POSSÉE	G	P	S _{IV}	S _{III}	G+1.2P	S _{IV}	S _{III}							
1	1-5	1,31	11,39	11,146	2,90	-2,29	13,14	18,04	6,49	2,51	-2,00	13,14	19,36	7,17
	5-9	1,31	11,25	5,23	2,65	-5,27	17,53	24,40	4,38	2,28	-4,58	17,53	23,34	5,44
	9-13	1,31	11,26	5,24	1,92	-7,68	17,55	26,10	2,71	1,66	-6,69	17,55	24,25	3,96
	13-17	1,31	11,26	5,24	1,19	-9,91	17,55	27,00	1,81	1,03	-8,11	17,55	25,64	3,17
	17-21	0,45	11,34	5,28	0,54	-8,36	17,68	25,52	3,50	0,43	-7,28	17,68	24,33	4,69
	2-6	1,31	15,80	1,03	4,04	9,42	18,24	22,27	11,77	3,48	0,37	18,24	21,68	12,30
2	6-10	1,31	18,49	7,04	3,57	0,97	26,94	30,07	15,36	3,07	0,84	26,94	29,44	15,89
	10-14	1,31	18,46	7,04	2,59	1,41	26,91	29,50	15,87	2,23	1,23	26,94	26,96	16,44
	14-18	1,31	18,46	7,04	1,61	1,61	26,91	28,80	16,57	1,38	1,48	26,94	28,36	17,01
	18-22	0,45	18,19	6,99	0,71	1,52	26,58	27,41	17,36	0,57	1,33	26,58	27,08	17,49
	3-7	1,31	15,80	2,04	4,02	-9,42	18,25	22,28	19,77	3,48	-9,37	18,25	21,69	12,36
	7-11	1,31	14,22	7,04	3,57	-9,97	22,72	25,85	11,14	3,07	-9,84	22,72	25,22	11,61
3	11-15	1,31	14,28	7,04	2,59	-7,41	22,73	26,74	11,68	2,23	-7,23	22,73	24,72	13,23
	15-19	1,31	14,28	7,04	1,61	-7,69	22,73	24,62	12,39	1,38	-7,48	22,73	24,18	12,83
	19-23	0,45	14,36	6,99	0,71	-1,52	31,20	23,58	13,53	0,57	-1,33	31,20	23,25	13,85
	4-8	1,31	11,39	1,46	2,90	2,29	13,74	18,04	6,49	2,51	2,00	13,74	17,36	7,17
	8-12	1,31	11,93	5,23	2,65	5,27	18,21	25,08	5,06	2,28	4,58	18,21	24,02	6,12
	12-16	1,31	11,94	5,24	1,92	7,68	18,23	26,78	3,39	1,66	6,69	18,23	25,53	4,64
4	16-20	1,31	11,94	5,24	1,19	9,31	18,23	27,68	4,49	1,03	8,11	18,23	26,32	3,85
	20-24	0,45	12,04	5,30	0,54	8,36	18,40	26,29	4,20	0,43	7,18	18,40	25,05	5,39

EFFORTS NORMAUX DURANT
PORTIQUE $\overline{II} - \overline{II}$

POLE	SÉMÉTIQUES						RADIER. GÉNÉRAL						
	N	N _{max}	N _{min}	N _{cum}	N _{max}	N _{min}	N	N _{max}	N _{min}	N _{cum}	N _{max}	N _{min}	
1	1-5	14,45	19,35	7,80	14,45	19,35	7,80	14,45	18,67	8,48	14,45	16,67	8,48
	5-9	18,84	25,71	5,69	33,29	45,06	13,49	18,84	24,65	6,75	33,29	43,32	15,23
1	9-13	18,86	27,41	4,02	52,15	72,47	17,51	18,86	26,16	5,27	52,15	69,48	20,50
	13-17	18,86	28,31	3,12	71,01	100,78	20,63	18,86	26,95	4,48	71,01	96,48	24,98
1	17-21	18,13	25,97	3,95	89,14	126,75	24,58	18,13	24,78	5,14	89,14	121,21	30,12
2	2-6	19,55	23,58	13,08	19,55	23,58	13,08	19,55	22,99	13,61	19,55	22,99	13,61
	6-10	28,25	31,38	16,67	47,80	54,96	19,75	28,25	30,75	17,30	47,80	53,74	30,91
2	10-14	26,22	30,81	17,18	46,02	85,77	46,93	26,22	30,24	17,25	46,02	84,01	46,66
	14-18	26,22	30,11	17,88	104,84	115,88	64,81	28,22	29,67	18,32	104,24	113,68	66,98
2	18-22	27,03	24,86	19,61	131,27	143,74	82,62	27,03	27,53	18,14	131,27	141,21	83,72
3	3-7	19,56	23,59	13,08	19,56	23,59	13,08	19,56	23,00	13,61	19,56	23,00	13,61
	7-11	24,03	27,16	12,45	43,59	50,75	25,53	24,03	26,53	13,72	43,59	49,53	26,77
3	11-15	24,04	26,05	12,99	67,63	78,80	38,52	24,04	26,09	14,54	67,63	75,62	41,33
	15-19	24,04	25,93	13,70	91,67	104,73	52,22	24,04	25,49	14,14	91,67	101,11	55,47
3	19-23	31,65	24,03	13,98	129,32	128,76	66,20	31,65	23,70	15,16	129,32	124,81	70,63
4	4-8	14,45	19,35	7,80	14,45	19,35	7,80	14,45	18,67	8,48	14,45	18,67	8,48
	8-12	19,52	26,39	6,37	33,97	45,74	14,7	19,52	25,33	7,43	33,97	44,50	15,91
4	12-16	19,54	28,09	4,70	53,51	93,83	18,84	19,54	26,74	5,95	53,51	70,84	21,86
	16-20	19,51	28,93	3,80	73,05	102,82	22,67	19,54	27,63	5,16	73,05	98,43	27,02
4	20-24	19,85	26,69	4,65	91,90	129,51	27,32	18,85	25,50	5,84	91,90	123,97	32,86

FERRAILLAGE DES POTEAUX

- Les poteaux seront calculés en flexion composée ; chacun d'eux est soumis à un effort normal N et à des moments fléchissant en tête et en pied dans les sens transversal et longitudinal. (1 seul moment par sens).
- Les moments ainsi que les efforts normaux ont été déterminés précédemment aux pages :
- Le calcul des poteaux de ferme sous la sollicitation du 1^{er} genre : $G+I,2,D$ et sous la plus défavorable des sollicitations du 2^e genre.

SOLlicitATIONS CONSIDERES :1^{er} Genre:

* sens longitudinal : sous $\begin{cases} N_L \\ M_L \end{cases} (G+I,2,D)$

* sens transversal : sous $\begin{cases} N \\ M_T \end{cases} (G+I,2,F)$.

2^e Génre:

-

* sens longitudinal : sous $\begin{cases} N_L \text{ minimum} \\ M_L \text{ corres} \end{cases} (G + \frac{P}{5} - SI_V - SI_H)$
 $\begin{cases} N_L \text{ maximum} \\ M_L \text{ corres} \end{cases} (G + \frac{P}{5} + SI_V + SI_H)$.

* sens transversal : $\begin{cases} N_T \text{ minimum} \\ M_T \text{ corres} \end{cases} (G + \frac{P}{5} - SI_V - SI_H)$
 $\begin{cases} N_T \text{ maximum} \\ M_T \text{ corres} \end{cases} (G + \frac{P}{5} + SI_V + SI_H)$.

* La flexion composée aura aussi des sollicitations dans les sens transversal et longitudinal.

CONTRAINTES DE COMPRESSION ADMISSIBLE:Flexion composée :

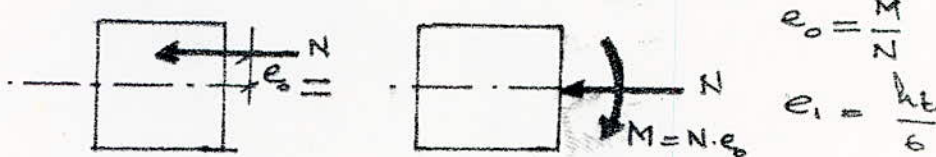
Pour les sections rectangulaires, nous avons :

$$\sigma_b = \begin{cases} 2\sigma_{bo} & \text{si } l_0 > \frac{ht}{2} \\ (1 + \frac{l_0}{3e_2})\bar{\sigma}_{bo} & \text{si } l_0 < \frac{ht}{2} \end{cases}$$

$\sigma_{bo} = 67,5 \text{ (SP}_1\text{)}$
$\sigma_{bo} = 102 \text{ (SP}_2\text{)}$

I - DÉTERMINATION DES ACIERS LONGITUDINAUX.

Le tableau étant soumis à la flexion courbée :



3 cas peuvent alors se présenter :

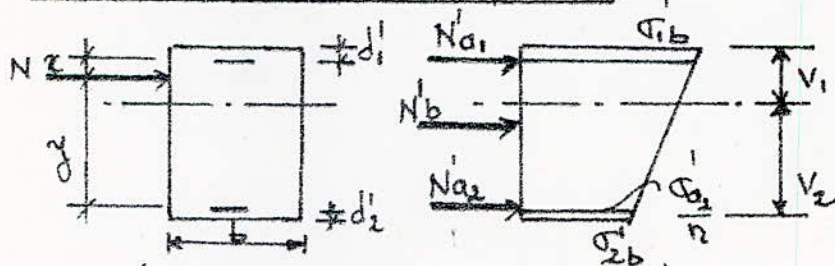
$\epsilon_0 > \epsilon_1 \rightarrow$ section partiellement comprimée

$\epsilon_0 < \epsilon_1 \rightarrow$ section entièrement comprimée

$\epsilon_0 = 0 \rightarrow$ section soumise à la compression simple.

(ϵ_0 et ϵ_1 sont calculés pour chaque section).

1 - Section complètement comprimée :



N'_b : s'applique au centre de gravité du trapèze.

$$\begin{cases} \sigma'_{1b} = \frac{N}{B} + \frac{M \cdot V}{I} \\ \sigma'_{2b} = \frac{N}{B} - \frac{M \cdot V}{I} \end{cases}$$

$$\sigma'_{2b} \geq 0 \Rightarrow e \leq \frac{I}{B_1 \cdot V_2}$$

$$B_1 = b \cdot h_t$$

$$\begin{cases} d'_1 = S \cdot h_t \\ d'_2 = S'_2 \cdot h_t \end{cases} \Rightarrow S' = \frac{d'_1}{h_t} = \frac{d'_2}{h_t}$$

méthode de calcul:

condition : $e \leq \frac{h_t}{6}$

calculer :

1^{er}. $\varphi = \frac{\sigma'_{1b} \cdot b \cdot h_t}{N}$ (béton travaille à la contrainte admissible).

2^{er}. $\beta = \frac{6 \cdot M_G}{N \cdot h_t}$ (M_G : moment de rapport au cdg de la section de béton)

$$S' = \frac{d'}{h_t}$$

$$2^{\circ} - c = 0,27 (1 - 2s')^2 \cdot \varrho$$

$$D = 0,3 (\varrho - \beta) - 0,9 (1 - \varrho) (1 - 2s')^2$$

$$E = - (1 + \beta - \varrho)$$

$$3^{\circ} - w' = \frac{1}{2c} (-D + \sqrt{D^2 - 4CE})$$

$$4^{\circ} - A'_1 = A'_2 = w' \cdot \frac{b \cdot h}{100} \cdot \frac{15}{7}$$

2 - Section partiellement comprimée: ($\epsilon_0 = \frac{M}{N} > \frac{\varrho}{6}$)

- l'effort peut être une traction ou une compression

- l'effort est appliquée en dehors du noyau central

(pour une traction, le pt d'application est en général assez loin de la section).

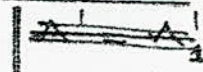
- nous utiliserons la méthode du moment fictif M_f :

Pour calculer en flexion courbée une section partiellement comprimée soumise à un effort normal, on calcule la section en flexion simple sous l'effet d'un moment fictif qui est égal à: $M_f = M + N \cdot a$

a : distance du C.d.g des aciers tendus jusqu'au C.d.g de la section de l'état.

M_f = moment des efforts extérieurs par rapport au C.d.g des aciers tendus

4 - Section sans armatures comprimées:
en compression:



$$A = A_1 - N / \sigma_a$$

en traction:



$$A = A_2 + N / \sigma_a$$

A_1 : armatures de la section rectangulaire soumise à la flexion simple sous l'effet du moment fictif M_f

condition pour ne pas avoir d'armatures comprimées:

$$\frac{1}{\sigma_b} < \frac{1}{\sigma_a} \rightarrow K \geq \bar{K} = \frac{\bar{\sigma}_a}{\bar{\sigma}_b}$$

K : déterminé par la méthode de CHARON.

Pour avoir l'armature minimale, on prendra: $\sigma_a = \bar{\sigma}_a$

VII.4

b - Section avec armatures comprimées : ($\sigma'_b > \bar{\sigma}_b$)

on calcule : $K_1 = \frac{15}{n} \cdot \frac{\bar{\sigma}_a}{\sigma'_b}$

et $K_2 = \frac{15(h-d')}{\frac{\bar{\sigma}'_a}{\sigma'_b} \cdot h + d'}$

• si $K_1 > K_2$: prendre K_1 (du tableau) $\rightarrow (\mu, \varepsilon)$

$$M_1 = \mu' b \cdot h^2 \bar{\sigma}'_b \quad \rightarrow M_2 = M_0 - M_1$$

$$y = \alpha h \quad \rightarrow \sigma_a' = \frac{15}{n} (y - d') \bar{\sigma}'_b$$

$$\Delta' = \frac{M_2}{\sigma_a' (h-d')} ; \quad A = \frac{M_1}{\sigma_a \cdot \varepsilon \cdot h} + \frac{M_2}{\sigma_a (h-d')}$$

• si $K_1 < K_2$: prendre K_2 tableau (μ', ε) .

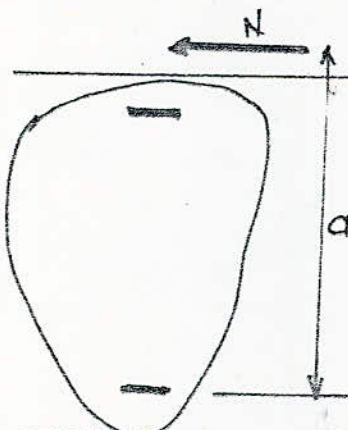
$$\sigma'_b = \frac{15}{n} \cdot \frac{\bar{\sigma}_a}{K_2} \quad \rightarrow M_1 = \mu' \sigma'_b \cdot b h^2 ; \quad M_2 = \mu - M_1$$

$$\Delta' = \frac{M_2}{\sigma_a' (h-d')} ; \quad A = \Delta' + \frac{M_1}{\sigma_a \cdot \varepsilon \cdot h}$$

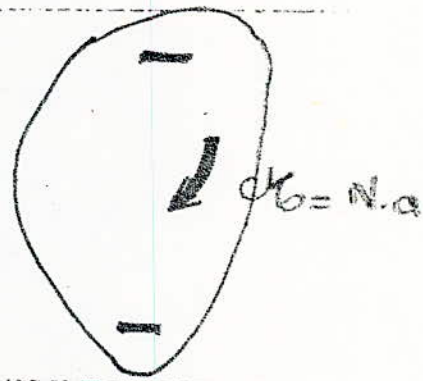
$$\Delta'_{fc} = \Delta'$$

$$\Delta_{fc} = A - \frac{N}{\sigma_a}$$

Δ_{fc} = section en flexion composée



flexion composée



flexion simple

c - cas de compression simple: ($e_0 = 0$)

La section d'aciers longitudinaux doit vérifier les 3 conditions suivantes:

$$1 - A_L \geq \frac{1,25}{10000} \cdot \theta_1 \cdot \theta_2 \cdot \theta_3 \cdot \frac{N}{\sigma_{bo}} \quad (\text{art 32.2. CCBT 68})$$

θ_1 : coefficient qui tient compte de l'excentricité de la charge

$$\theta_1 = 1,8 \quad : \text{poteaux d'angles}$$

$$\theta_2 = 1,4 \quad : \quad " \quad \text{de rives}$$

$$\theta_1 = 1,0 \quad : \quad \text{autres poteaux}$$

θ_2 :

$$\theta_2 = 1 + \frac{l_c}{4a - 2c}$$

$$\theta_3 = 1 + \frac{2160}{\sigma_{en}}$$

l_c : longueur de flambement (art 33.23. CCBT 68)

a: plus petite dimension transversale

c: enrobage des armatures longitudinales

$$\sigma_{en} = 4200 \text{ kg/cm}^2 \Rightarrow \theta_3 = 1,52$$

$$\sigma_m^1 = \frac{N^1}{B^1} \Rightarrow \bar{\omega}_L^1: \text{pourcentage minimale d'armatures}$$

$$\bar{\omega}_L^1 \geq 1,25 \cdot 10^{-3} \cdot \theta_1 \cdot \theta_2 \cdot \theta_3 \cdot \frac{\sigma_m^1}{\sigma_{bo}} \Rightarrow A_L$$

2 - section théorique:

$$A_L \geq \frac{1}{2} \left(\frac{N^1}{\sigma_{bo}} - B \right)$$

B: section de béton.

3 - condition de sécurité:

$$\frac{A_L}{B} \leq 5\% \Rightarrow A \leq \frac{B}{20} \quad (\text{art 32.26 CCBT 68})$$

remarque: Dans le cas de sections partiellement compressées, σ_m^1 sera déterminée en considérant le diagramme de NAVIER

$$\gamma_1 = \frac{\bar{\sigma}_b^1}{\bar{\sigma}_b^1 + \frac{\sigma_a}{n}} \cdot h$$

$$\sigma_m^1 = \frac{N^1}{B^1}$$

$$\Rightarrow A_{Lmi}^1 \geq \frac{1,25}{1000} \cdot \theta_1 \cdot \theta_2 \cdot \theta_3 \cdot \frac{N^1}{\sigma_{bo}^1}$$

VII.6

CONTRAINTE ADMISSIBLE. σ_b^1 : (en FLEXION COMPOSÉE) art 9.4 CCBA 68

sous SP₁:

$$\sigma_b^1 = \alpha \cdot p \cdot S \cdot \beta \cdot \xi \cdot \sigma_{23}^1$$

α :

β :

γ :

} → voir §: caractéristiques mécaniques du béton armé. (page:)

$$S = \min [0,6; 0,3 \left(1 + \frac{l_0}{5c_1}\right)]$$

sous SP₂: La valeur de S est multipliée par 1,5

FLANQUEMENT DES POTEAUX: (art 53.23 CCBA 68).

* bâtiment à étages contreventés par système de pans verticaux et où la continuité des poteaux a été assurée

$$l_c = 0,7 \cdot l_0 \quad \text{si:}$$

- poteau encastré à ses extrémités aux fondations
- poteau assemblé à des poutres de plancher ayant au moins la même rigidité que le poteau)

$$l_c = 0,9 \cdot l_0 \quad \text{dans les autres cas.}$$

* Pour bâtiment contreventé par portiques, il est recommandé d'étudier de façon précise les conditions de stabilité élastique de l'ossature.

1. Pièces chargées axialement: (passee par le catg de la pièce)

$$50 < \lambda < 150 \rightarrow \text{justification en flexion composée}$$

$$\left(\lambda = \frac{l_c}{a} = \text{élançement réel} \right)$$

avec une excentricité: $f_c = \frac{8l_c^2}{V} (1 + \xi) \cdot 10^{-3} (\lambda - 50)^{\frac{3}{2}}$

$\xi = \frac{G}{G + 1,5P}$ et $V = \frac{h}{2}$

2. Pièces chargées de façon excentrée dans le plan de flanquement:

$$50 < \lambda < 150 \rightarrow \text{élançement fictif } \lambda' \quad (\lambda'^2 = \lambda^2 + \frac{33000}{140,6\xi} \cdot \frac{e}{h})$$

(L50) si $\frac{l_c}{a} \leq 14,4$ (sect rect) \Rightarrow le flanquement n'existe pas

L'article CCBA 68 considère les pièces dont $\lambda \leq 50$ non sujettes au flanquement.

VII.7

II - DETERMINATION DES ARMATURES TRANSVERSALES :

Les armatures transversales disposées dans les poteaux jouent un rôle triple : celui de :

- permettre le positionnement des armatures longitudinales
- empêcher le gonflement du béton.
- s'opposer au flambement des armatures.

L'unique condition est de limiter les espacements entre celles-ci comme indiqué ci-après :

1. En Zones courantes : (sans recouvrement).

l'espacement admissible est :

$$\left\| \bar{t} = \min \begin{cases} t_1 = (100 \phi_t - 15 \phi_{e \max}) \left(2 - \frac{\sigma_b}{\sigma_{b_0}} \right) \\ t_2 = 15 \left(2 - \frac{\sigma_b}{\sigma_{b_0}} \right) \phi_{e \min} \end{cases} \quad (1) \right.$$

σ_b : contrainte moyenne du béton, sous la sollicitation du 1^{er} genre.
En pratique, on prend le cas limite : $\sigma_b = \sigma_{b_0}$.

$$\left\| \begin{array}{l} \bar{t} \leq 15 \phi_{e \min} \quad (1) \\ \phi_t \geq 0,3 \phi_{e \max} \end{array} \right.$$

2. En Zone de recouvrement : (art 32.33 du CCBA 68)

- le nombre d'espacement des cours des armatures transversales doit être tel que la couture des fonctions par adhérence soit assurée.
- Soit \mathcal{V} = nombre de cours d'armatures à disposer.

Il faut avoir :

$$\left\{ \begin{array}{l} \mathcal{V} \geq 3 \\ \mathcal{V} \geq \frac{0,4 \phi^2 \cdot \sigma_{e \min}}{\phi_t^2 \cdot \sigma_{e \max}} \end{array} \right.$$

~~exemples~~

• la longueur de recouvrement est :

$$\left\| l_r = \frac{\phi}{4} \cdot \frac{\bar{\sigma}_a}{\bar{\sigma}_d} \quad \text{avec} \quad \bar{\sigma}_d = 1,25 \cdot \phi_d^2 \cdot \bar{\sigma}_b \right.$$

• L'article 2.322 du P.S 69 recommande une longueur $l_r \geq 50 \phi$.
Les armatures transversales sont de plus destinées à reprendre l'effort tranchant dû au séisme et développé aux extrémités des poteaux.
On calculera l'espacement t répondant à cette condition pour le sens longitudinal et transversal.

soit T : effort tranchant du au séisme

$$\sigma_b = \frac{T}{b \cdot z}$$

t_0 : espacement des armatures-transversales:

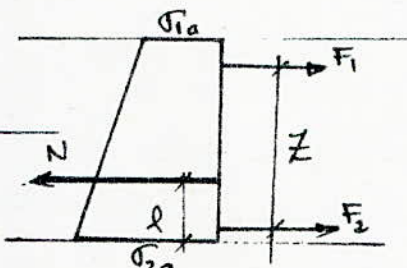
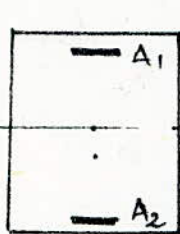
$$t_0 = \frac{A_t \cdot \gamma \cdot f_{at}}{T}$$

$$\bar{t} = \max \begin{cases} t_1 = 0,2h \\ t_2 = (1 - 0,3 \cdot \frac{\sigma_b}{f_b}) h \end{cases}$$

- Il faut vérifier que les espacements adoptés sont inférieurs à : $\min(t_0, \bar{t})$.

ARMATURES LONGITUDINAIRES :

- cas de section entièrement tendue : N : effort de traction.



$$A_1 = \frac{N \cdot l}{Z \cdot \bar{\sigma}_a}$$

$$A_2 = \frac{N(Z + l)}{Z \cdot \bar{\sigma}_a}$$

$l = \frac{h}{2} + e_0$ (cas où le pt d'applicat est en dehors de la sect)

$l = e_0 - \frac{h}{2}$ (pt d'applicat à l'int de la section).

XII9

PORTIQUE LONGITUDINAL I-I

Sous SP₁

FILE	Poteau	N (tonnes)	M ^{max} (t.m)	$\epsilon_0 = \frac{M}{N(\text{cm})}$	$\ell_c = \frac{h_t}{6}$	$\bar{\sigma}_b (\text{kg/cm}^2)$	Sollicitation
1	1-5	4.34	1.49	34.33	10	135.00	P.C
	5-9	9.64	1.12	11.62	10	93.64	P.C
	9-13	14.94	1.07	7.16	10	83.61	E.C
	13-17	20.24	1.07	5.29	10	79.40	E.C
	17-21	24.71	1.57	6.35	10	81.78	E.C
2	2-6	7.56	-	-	10	67.5	C.S
	6-10	17.04	-	-	10	67.5	C.S
	10-14	26.52	-	-	10	67.5	C.S
	14-18	36.00	-	-	10	67.5	C.S
	18-22	44.60	-	-	10	67.5	C.S
3	3-7	7.56	-	-	10	67.5	C.S
	7-11	17.04	-	-	10	67.5	C.S
	11-15	26.52	-	-	10	67.5	C.S
	15-19	36.00	-	-	10	67.50	C.S
	19-23	44.60	-	-	10	67.5	C.S
4	4-8	7.56	-	-	10	67.5	C.S
	8-12	17.04	-	-	10	67.5	C.S
	12-16	26.52	-	-	10	67.5	C.S
	16-20	36.00	-	-	10	67.5	C.S
	20-24	44.60	-	-	10	67.5	C.S

- * Les valeurs des files 2,3,4 étant les mêmes, on fera le calcul uniquement pour la file 2 sollicitée en compression simple
- Détermination des armatures longitudinales sous S.P.:

→ Pourcentage minimal d'armatures : (art 32.2 et 33.23 CCBA 68).

$$W_p \geq \frac{1,25}{1000} \theta_1 \cdot \theta_2 \cdot \theta_3 \cdot \frac{\sigma_m}{\sigma_{b0}}$$

$$\cdot \quad \theta_1 = 0,9 \cdot l_0 = 0,9 \times 3,90 = 3,51 \text{ m} \quad \Rightarrow \quad \frac{l_c}{a} = \frac{3,51}{0,30} = 11,7 < 14,4 \\ \Delta = 0,30 \text{ m}$$

Dans notre cas, il n'existe pas de flambage ($\lambda < 50$).

$$\cdot \quad \theta_2 = 1 + \frac{l_c}{4a - 2c} = 1 + \frac{3,51}{4 \times 0,30 - 0,84} = 4,02$$

$$\cdot \quad \theta_3 = 1,52$$

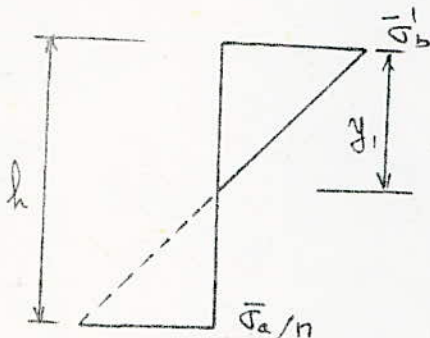
$$\Rightarrow W_p \geq \frac{1,25}{1000} \times 4,02 \times 1,52 \times \frac{1}{67,5} \times \theta_1 \cdot \sigma_m = \underline{\underline{11,8 \cdot 10^{-5} \cdot \theta_1 \cdot \sigma_m}}$$

Θ_1 : le pontique longitudinal n'étant pas un pontique de rive
 $\Rightarrow \begin{cases} \Theta_1 = 1.4 & \text{poteaux de rive : file 1} \\ \Theta_1 = 1.0 & \text{autres files.} \end{cases}$

$\sigma_m = 19$. Sections entièrement partiellement comprimées et sect. à la compr. simple:

$$\frac{\sigma_m}{\sigma_b} = \frac{N}{B} \rightarrow W_L \geq 11.3 \cdot 10^5 \cdot \frac{N}{B} \cdot \Theta_1$$

29. Sections partiellement comprimées : diagramme de Navier



$$y_1 = h \cdot \frac{\frac{1}{\sigma_b}}{\frac{1}{\sigma_b} + \frac{\sigma_a}{h}}$$

$$\frac{1}{\sigma_m} = \frac{N}{b \cdot y_1}$$

Tableau donnant le pourcentage minimal des armatures.

FILE	1						2			
	σ_b'	135.00	93.64	83.61	79.10	78.78	67.50	67,5	67.5	67.5
N	4.34	9.64	14.94	20.24	24.71	7.56	17.84	26.52	36.00	44.60
$y_1(\%)$	23.92	19.04	/	/	/	/	/	/	/	/
Θ_1	1.40	1.40	1.4	1.40	1.40	1.0	1.0	1.0	1.0	1.0
σ_m'	6.05	16.88	8.30	11.24	13.73	4.20	9.47	14.74	20.00	24.78
A _p	1.72	4.81	2.36	3.20	3.91	0.85	1.93	3.00	4.07	5.04

* calcul du ferraillage :

FILE 1: nous allons détailler le calcul pour 2 cas de sollicitation ; C'est à dire poteau tenuie partiellement comprimé et poteau entièrement comprimé. Les autres calculs seront consignés en tableaux.

Exemple de poteau partiellement comprimé : Poteau. 1-5

$$\begin{cases} M = 1,49 \text{ t.m} \\ N = 4,34 \text{ t} \end{cases}$$

Moment fictif (par rapport aux aciers tendus) :

$$M_f = 1,49 + 4,34 \times 0,27 = 2,66 \text{ t.m}$$

Méthode de P. CHARON :

$$\mu = \frac{15 M_f}{\bar{\sigma}_a \cdot b \cdot h^2} = \frac{15 \times 2,66 \cdot 10^5}{2800 \times 30 \times 57^2} = 0,0146$$

$$\mu = 0,0146 \rightarrow \begin{cases} K = 78,0 \\ \Sigma = 0,9462 \end{cases}$$

$$\bar{K} = \frac{2800}{135} = 20,74 \quad \Rightarrow \quad K > \bar{K} : \text{Sect sans armatures comprises}$$

$$\Delta_1 = \frac{M_f}{\bar{\sigma}_a \cdot \Sigma \cdot h} = \frac{266 \cdot 10^5}{2800 \cdot 0,9462 \cdot 57} = 1,76 \text{ cm}^2$$

$$\Rightarrow \Delta = \Delta_1 - \frac{N}{\bar{\sigma}_a} = 1,76 - \frac{4,34 \cdot 10^3}{2800} \\ \underline{\Delta = 0,21 \text{ cm}^2}$$

Exemple de poteau entièrement comprimé : Poteau : S-13.

$$\begin{cases} M = 1,07 \text{ t.m} \\ N = 14,94 \text{ t.} \end{cases}$$

1er. $\ell = \frac{\bar{\sigma}_b \cdot b \cdot h_t}{N} = \frac{83,61 \times 30 \times 60}{14,94 \cdot 10^3} = 10,07$

$$\beta = \frac{6 \cdot M_f}{N \cdot h_t} = \frac{6 \times 1,07 \cdot 10^5}{14,94 \cdot 10^3 \times 60} = 0,71$$

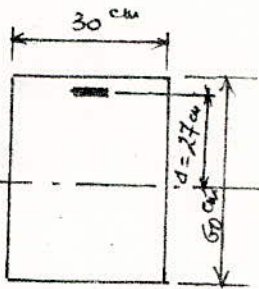
$$\delta' = \frac{d'}{h_t} = 0,05$$

2^e - $c = 0,27 (1 - 2\delta')^2 \cdot \varphi = 0,27 (1 - 2 \times 0,05)^2 \times 10,07 = 2,20$

$$D = 0,30 (\ell - \beta) - 0,9 (1 - \varphi) (1 - 2\delta')^2$$

$$= 0,30 (10,07 - 0,71) - 0,9 (1 - 10,07) (1 - 2 \times 0,05)^2 = 9,42$$

$$E = -(1 + \beta - \varphi) = -(1 + 0,71 - 10,07) = 8,36$$



$$3^{\circ} \quad w' = \frac{1}{2c} (-d + \sqrt{d^2 - 4C.E}) = \frac{1}{2 \times 2,20} \left(-9,42 + \sqrt{9,42^2 - 4 \times 2,20 \times 8,36} \right)$$

$$w' = -1,26.$$

$$4^{\circ} \quad A'_1 = A'_2 = w' \cdot \frac{b \cdot h_t}{100} \cdot \frac{15}{\eta} = -1,26 \times \frac{30 \times 60}{100} \times \frac{1}{\eta} < 0$$

$A' < 0 \Rightarrow$ nous prenons l'armature minimale

$$\underline{A' = 2,36 \text{ cm}^2}$$

FILE: 2 \rightarrow tous les poteaux sont en compression simple.

Considérons le poteau: 18-22

$$* \quad 1^{\circ} \quad A_L \geq \frac{1,25}{1000} \cdot \theta_1 \cdot \theta_2 \cdot \theta_3 \cdot \frac{N}{f_{b_0}^1} \Rightarrow A_L \geq 5,08 \text{ cm}^2$$

$$2^{\circ} \quad \text{section théorique: } A_L \geq \frac{1}{15} \left(\frac{N}{f_{b_0}^1} - B \right) = \frac{1}{15} \left(\frac{44610}{67,5} - 1800 \right)$$

$$A_L < 0.$$

3^e. condition de sécurité:

$$A \leq \frac{B}{20} = \frac{1800}{20} = 90 \text{ cm}^2$$

$$\text{Donc: } \underline{5,08 \text{ cm}^2 \leq A \leq 90 \text{ cm}^2}$$

Le poteau 18.22, étant le plus sollicité; ceci nous permet de dire que c'est le plus ferrailleé de tous les autres donc pour la compression simple, nous tenons compte uniquement des armatures minimales. (Dans les files 2,3,4).

SP₁:
Poteaux partiellement comprimés - tableau récapitulatif (sans armat. comprimées)

FILÉ	POTEAU	N (t)	M (t.m)	\bar{f}_b^I	a (cm)	\bar{M} (t.m)	μ	K	ε	f_b^I	A_1 (cm^2)	A (cm^2)
1	1-5	4.34	1.49	135	27	2,66	0,0146	78	0,9462	35,89	1,76	0,21
1	5-9	9,64	1.12	93,64	27	3,72	0,0204	65,5	0,9379	42,75	2,48	20

Poteaux entièrement comprimés - tableau récapitulatif.

FILÉ	Poteau	N (t)	M (t.m)	\bar{f}_b^I	φ	β	S'	c	D	E	W'	A_1' (cm^2)
1	9-13	14.94	1.07	83.61	10.07	0.71	0.05	2.20	9.42	8.36	-1.26	20
	13-17	20.24	1.07	73.40	7.06	0.53	0.05	1.54	6.38	5.53	-1.23	20
	17-21	24.71	1.57	81.78	5.96	0.63	0.05	1.30	5.21	4.33	-1.63	20

Poteaux soumis à la compression simple:

FILÉ	POTEAU	N (t)	B (cm^2)	$A_L \text{ min}$ (cm^2)	$A_L \text{ théorique}$ (cm^2)	$A \geq \frac{B}{20}$ (cm^2)	A^I (cm^2)
2	2-6	7.56	1800	0.95	20	90	0.85
	6-10	17.04	1800	1.93	20	90	1.93
	10-14	26.52	1800	3.00	20	90	3.00
	14-18	36.00	1800	4.07	20	90	4.07
	18-22	44.60	1800	5.04	20	90	5.04

sous SP₂ (Semelles) : N^{max}.

FILE	POTEAU	N ^{max} (t)	M ^{max} (t.m)	$\ell_0 = \frac{M}{N} \text{ (cm)}$	$e_1 = \frac{ht}{6} \text{ (cm)}$	$\bar{\sigma}_b^1 \text{ (kg/cm}^2\text{)}$	Solicitation
1	1-5	8.65	8.99	103.93	10,0	202.50	P.C
	5-9	21.25	12.73	59.91	10,0	202.50	P.C
	9-13	36.17	15.04	41.58	10,0	202.50	P.C
	13-17	52.34	16.58	29.77	10,0	201.72	P.C
	17-21	65.85	13.72	20.83	10,0	171.55	P.C
2	2-6	11.35	8.45	74.45	10,0	202.50	P.C
	6-10	24.54	14.12	57.54	10,0	202.50	P.C
	10-14	37.61	17.20	45.73	10,0	202.50	P.C
	14-18	50.39	18.00	35.73	10,0	202.50	P.C
	18-22	61.30	15.75	25.63	10,0	189.95	P.C
3	3-7	10.70	8.45	78.97	10,0	202.50	P.C
	7-11	21.45	14.12	62.89	10,0	202.50	P.C
	11-15	33.47	17.20	51.39	10,0	202.50	P.C
	15-19	43.77	18.00	41.12	10,0	202.50	P.C
	19-23	52.49	15.75	30.00	10,0	202.50	P.C

Les valeurs des files 3 et 4 étant les mêmes; nous ferons uniquement le calcul pour la file 3. (La même chose pour le radier).

- RADIER -

radier : N^{max} (sous SP₂).

FILE	POTEAU	N ^{max} (t)	M ^{max} (t.m)	$\ell_0 = \frac{M}{N}$	$e_1 = \frac{ht}{6}$	$\bar{\sigma}_b^1 \text{ (kg/cm}^2\text{)}$	Solicitation
1	1-5	8.09	8.03	99.26	10,0	202.50	P.C
	5-9	19.74	11.24	56.94	10,0	202.50	P.C
	9-13	33.42	13.23	39.59	10,0	202.50	P.C
	13-17	48.35	13.70	28.33	10,0	196.86	P.C
	17-21	62.01	12.27	19.79	10,0	168.04	P.C
2	2-6	10.82	7.37	68.11	10,0	202.50	P.C
	6-10	23.48	12.30	52.38	10,0	202.50	P.C
	10-14	36.05	15.00	41.61	10,0	202.50	P.C
	14-18	48.36	15.68	32.42	10,0	202.50	P.C
	18-22	58.96	13.72	23.27	10,0	179.79	P.C
3	3-7	10.26	7.37	71.83	10,0	202.50	P.C
	7-11	21.67	12.30	56.76	10,0	202.50	P.C
	11-15	32.145	15.00	46.22	10,0	202.50	P.C
	15-19	42.61	15.68	36.80	10,0	202.50	P.C
	19-23	51.31	13.72	26.74	10,0	191.50	P.C

— SEMEUSES —

N^{\min} (sous SP_2)

FILE	POTEAU	N^{\min} (t)	M^{\max} (t.m)	$\ell_0 = \frac{M}{N} (\text{m})$	$\ell_1 = \frac{h_t}{6} (\text{m})$	$\vec{G}_b (\text{kg/cm}^2)$	Solicitation
1	1-5	-0.27	6.15	22.77	0.10	202.50	P.C
	5-9	-3.33	10.78	3.24	0.10	202.50	P.C
	9-13	-8.68	13.19	1.52	0.10	202.50	P.C
	13-17	-15.48	13.95	0.90	0.10	202.50	P.C
	17-21	-21.60	11.89	0.55	0.10	202.50	P.C
2	2-6	3.16	8.45	2.67	0.10	202.50	P.C
	6-10	6.81	14.12	2.07	0.10	202.50	P.C
	10-14	10.58	17.20	1.63	0.10	202.50	P.C
	14-18	14.65	18.00	1.23	0.10	202.50	P.C
	18-22	18.81	15.75	0.83	0.10	202.50	P.C
3	3-7	3.81	8.45	2.22	0.10	202.50	P.C
	7-11	8.90	14.12	1.58	0.10	202.50	P.C
	11-15	14.72	17.20	1.17	0.10	202.50	P.C
	15-19	21.26	18.00	0.84	0.10	202.50	P.C
	19-23	27.62	15.75	0.57	0.10	202.50	P.C

Les valeurs des files 3, et 4 étant les mêmes ; nous ne calculons que la file 3.

— RÉSULTAT. —

N^{\min} (sous SP_2)

FILE	Poteau	N^{\min} (t)	M^{\max} (t.m)	$\ell_0 = \frac{M}{N} (\text{m})$	$\ell_1 = \frac{h_t}{6} (\text{cm})$	$\vec{G}_b (\text{kg/cm}^2)$	Solicitation
1	1-5	0.23	5.19	17.89	0.10	202.50	P.C
	5-9	-1.81	9.29	5.13	0.10	202.50	P.C
	9-13	-5.93	9.07	1.53	0.10	202.50	P.C
	13-17	-11.30	11.84	1.05	0.10	202.50	P.C
	17-21	-16.22	10.24	0.63	0.10	202.50	P.C
2	2-6	3.69	7.37	2.00	0.10	202.50	P.C
	6-10	7.87	12.30	1.56	0.10	202.50	P.C
	10-14	12.14	15.00	1.23	0.10	202.50	P.C
	14-18	16.67	15.68	0.94	0.10	202.50	P.C
	18-22	21.25	13.72	0.64	0.10	202.50	P.C
3	3-7	4.25	7.37	1.73	0.10	202.50	P.C
	7-11	9.68	12.30	1.27	0.10	202.50	P.C
	11-15	15.74	15.00	0.95	0.10	202.50	P.C
	15-19	22.42	15.68	0.70	0.10	202.50	P.C
	19-23	28.86	13.72	0.47	0.10	202.50	P.C

FERRAILLAGE SOUS SP₂ :

(1) sections partiellement comprimées - N^{max} - Senelles -
(sans armatures comprimées).

FILE	POTEAU	N (H)	M (t.m)	T ¹ _b	a (cm)	cM (t.m)	μ	K	ε	T ¹ _b	A ₁ (cm ²)	A (cm ²)
1	1-5	8.65	8.99	202.50	27	11.32	0.0441	42.8	0.9135	98.13	5.17	3.11
	5-9	21.25	12.73	202.50	27	18.47	0.0677	31.8	0.8932	132.00	8.63	3.57
	9-13	36.17	15.04	202.50	27	24.82	0.0901	26.3	0.8789	159.70	11.79	3.18
	13-17	52.34	15.58	201.72	27	29.71	0.1087	23.4	0.8693	178.49	14.27	1.80
	17-21	65.85	13.72	171.55	27	31.45	0.1152	22.5	0.8667	186.56	15.16	<0
2	2-6	11.35	8.45	202.50	27	11.51	0.0422	42.4	0.9128	99.06	5.27	2.57
	6-10	24.54	14.12	202.50	27	20.75	0.0760	29.5	0.8876	142.37	9.76	3.92
	10-14	37.61	17.20	202.50	27	27.35	0.1002	24.7	0.8741	170.04	13.07	4.12
	14-18	50.88	18.00	202.50	27	31.74	0.1163	22.4	0.8663	187.50	15.30	3.18
	18-22	61.30	15.75	187.95	27	32.30	0.1183	22.2	0.8056	189.20	15.59	0.99
3	3-7	10.70	8.45	202.50	27	11.34	0.0415	42.8	0.9135	98.13	5.18	2.63
	7-11	22.45	14.12	202.50	27	20.18	0.0739	30.0	0.8889	140.00	9.48	4.13
	11-15	33.47	17.20	202.50	27	26.24	0.0961	25.4	0.8762	165.00	12.51	4.54
	15-19	43.77	18.00	202.50	27	29.82	0.1093	23.4	0.8698	179.50	14.32	3.90
	19-23	52.49	13.75	202.50	27	29.82	0.1096	23.3	0.8695	180.25	14.37	1.87

(2) sections partiellement comprimées - N^{max} - Radier.

FILE	POTEAU	N (H)	M (t.m)	T ¹ _b	a (cm)	cM (t.m)	μ	K	ε	T ¹ _b	A ₁ (cm ²)	A (cm ²)
1	1-5	8.09	8.03	202.50	27	10.21	0.0370	45.8	0.9178	91.70	4.65	2.72
	5-9	19.74	11.24	202.50	27	16.57	0.0609	34.0	0.8980	123.52	7.71	3.01
	9-13	33.42	13.23	202.50	27	22.25	0.0815	28.3	0.8845	148.40	10.51	2.55
	13-17	48.35	13.70	196.86	27	26.75	0.0980	25.1	0.8753	167.33	12.76	1.25
	17-21	62.01	12.27	168.04	27	28.01	0.1063	23.8	0.8711	176.47	13.91	<0
2	2-6	10.82	7.37	202.50	27	10.29	0.0373	45.4	0.9172	92.51	4.69	2.11
	6-10	23.48	12.30	202.50	27	18.64	0.0683	31.6	0.8927	132.91	8.72	3.13
	10-14	36.05	15.00	202.50	27	24.75	0.0906	26.4	0.8789	159.09	11.76	3.17
	14-18	48.36	15.68	202.50	27	28.74	0.1053	23.9	0.8715	175.73	13.77	2.25
	18-22	58.96	13.72	179.79	27	29.64	0.1086	23.5	0.8701	178.72	14.23	0.20
3	3-7	10.26	7.37	202.50	27	10.14	0.0371	45.8	0.9178	91.70	4.61	2.17
	7-11	21.67	12.30	202.50	27	18.15	0.0665	32.1	0.8938	130.80	8.48	3.32
	11-15	32.45	15.00	202.50	27	23.76	0.0870	27.1	0.8815	154.98	11.26	3.53
	15-19	42.61	15.68	202.50	27	27.18	0.0995	24.8	0.8744	169.35	12.98	2.83
	19-23	51.31	13.72	191.50	27	27.57	0.1010	24.6	0.8737	170.73	13.18	0.96

(3) Sections partiellement comprimées N^{min} - Semelles
 (sans armatures comprimées)

FILE	POTEAU	N (kN)	M (kNm)	\bar{S}_b^1	a (cm)	C_b (kNm)	μ	K	ε	\bar{S}_b^1	A_1 (cm ²)	A (cm ²)
1	1-5	-0.27	6.15	202.50	27	6.07	0.0222	61.5	0.9346	68.29	2.71	2...
	5-9	-3.33	10.78	202.50	27	9.88	0.0362	46.4	0.9186	90.52	4.13	4...
	9-13	-8.68	13.19	202.50	27	10.85	0.0387	44.0	0.9153	95.45	4.85	7...
	13-17	-15.48	13.95	202.50	27	9.77	0.0358	46.8	0.9191	89.74	4.44	8...
	17-21	-21.60	11.89	202.50	27	8.06	0.0222	61.5	0.9346	68.29	2.71	2...
2	2-6	3.16	8.45	202.50	27	9.30	0.0340	48.2	0.9209	87.13	4.21	3...
	6-10	6.81	14.12	202.50	27	16.06	0.0588	37.4	0.9046	112.30	7.42	5...
	10-14	10.58	17.20	202.50	27	20.85	0.0734	30.2	0.8894	139.07	9.42	6...
	14-18	14.65	18.00	202.50	27	21.95	0.0804	28.5	0.8851	147.36	10.31	6...
	18-22	18.81	15.75	202.50	27	20.83	0.0763	29.5	0.8876	142.37	9.80	5...
3	3-7	3.81	8.45	202.50	27	9.48	0.0347	47.6	0.9201	88.23	4.30	3...
	7-11	8.90	14.12	202.50	27	16.52	0.0605	34.0	0.8980	123.52	7.68	5...
	11-15	14.72	17.20	202.50	27	21.17	0.0775	29.1	0.8866	144.33	9.97	6...
	15-19	21.26	18.00	202.50	27	23.74	0.0870	27.1	0.8812	154.98	11.25	6...
	19-23	29.26	15.75	202.50	27	23.11	0.0847	27.6	0.8826	152.17	10.93	4...

(4) Sections partiellement comprimées - N^{min} - radier.

FILE	POTEAU	N (kN)	M (kNm)	\bar{S}_b^1 (kNm/cm ²)	a (cm)	C_b (kNm)	μ	K	ε	\bar{S}_b^1 (kNm/cm ²)	A_1 (cm ²)	A (cm ²)
1	1-5	0.29	5.19	202.50	27	5.27	0.0193	67.0	0.9390	62.69	2.34	2...
	5-9	-1.81	8.29	202.50	27	9.77	0.0358	46.8	0.9188	89.74	4.09	4...
	9-13	-5.93	9.87	202.50	27	10.67	0.0390	44.4	0.9158	94.50	4.90	5...
	13-17	-11.30	11.84	202.50	27	14.89	0.0545	36.4	0.9031	115.38	5.71	6...
	17-21	-16.22	10.24	202.50	27	14.62	0.0585	36.8	0.9035	114.13	4.52	2...
2	2-6	3.63	7.37	202.50	27	8.37	0.0306	51.5	0.9248	81.55	3.78	2...
	6-10	7.87	12.30	202.50	27	14.42	0.0528	37.0	0.9038	113.51	6.66	4...
	10-14	12.14	15.00	202.50	27	18.28	0.0669	32.0	0.8936	131.25	8.54	5...
	14-18	16.67	15.68	202.50	27	20.18	0.0739	30.0	0.8889	140.00	9.48	5...
	18-22	21.25	13.72	202.50	27	19.46	0.0713	30.7	0.8906	136.80	9.13	4...
3	3-7	4.25	7.37	202.50	27	8.52	0.0312	50.5	0.9231	83.16	3.94	2...
	7-11	9.68	12.30	202.50	27	14.91	0.0546	36.2	0.9020	116.02	6.90	4...
	11-15	15.74	15.00	202.50	27	19.25	0.0705	30.9	0.8911	135.92	9.02	5...
	15-19	22.42	15.68	202.50	27	21.73	0.0796	28.7	0.8856	146.34	10.25	4...
	19-23	28.86	13.72	202.50	27	21.51	0.0788	28.9	0.8861	145.32	10.14	3...

PORTIQUE LONGITUDINAL III - III

Sous. SP₁

FILE	POTEAU	N(t)	M ^{MAX} (t.m)	e ₀ = $\frac{M}{N}$	e ₁ = $\frac{ht}{G}$	G ^{lb} (kg/cm ²)	sollicitation.
1	1-5	3,79	0,83	21,9	5,0	135	P.C
	5-9	7,64	0,57	7,4	5,0	100	P.C
	9-13	11,50	0,55	4,78	5,0	89	EC
	13-17	15,36	0,44	2,86	5,0	80	EC
	17-21	18,39	0,86	4,67	5,0	88	EC
2	2-6	6,83	/	/	5,0	67,5	CS
	6-10	13,58	/	/	5,0	67,5	CS
	10-14	20,33	/	/	5,0	67,5	CS
	14-18	27,08	/	/	5,0	67,5	CS
	18-22	32,93	/	/	5,0	67,5	CS
3	3-7	6,83	/	/	5,0	67,5	CS
	7-11	13,58	/	/	5,0	67,5	CS
	11-15	20,33	/	/	5,0	67,5	CS
	15-19	27,08	/	/	5,0	67,5	CS
	19-23	32,93	/	/	5,0	67,5	CS
4	4-8	6,83	/	/	5,0	67,5	CS
	8-12	13,58	/	/	5,0	67,5	CS
	12-16	20,33	/	/	6,0	67,5	CS
	16-20	27,08	/	/	6,0	67,5	CS
	20-24	32,93	/	/	5,0	67,5	CS

Tableau donnant le ferrailage minimum d'armatures longitudinales.

File.	1					2				
G ^{lb}	135	100	89	80	88	67,5	67,5	67,5	67,5	67,5
N	3,79	7,64	11,50	15,36	18,39	6,83	13,58	20,33	27,08	32,93
y ₁	11,3	9,41	-	-	-	-	-	-	-	-
θ ₁	1,8	1,8	1,8	1,8	1,8	1,4	1,4	1,4	1,4	1,4
G ^m	5,59	13,53	6,38	8,53	10,21	3,80	7,54	11,29	15,04	18,28
A ₁	2,04	4,95	2,33	3,12	3,74	1,08	2,15	3,22	4,28	5,21

SP₁ poteaux partiellement comprimés : tableau récapitulatif. (sans arm. comp.)

Fil n° poteau	N(t)	M(tm)	$\bar{G}b$	a(cm)	$\Delta G(tm)$	μ	K	ε	$G' b$	A, cm^2	A', cm^2
1 1-5	3,79	0,83	135	12	1,28	0,0156	77,5	0,9448	37	1,79	0,43
1 5-9	7,64	0,57	100	12	1,49	0,0182	69	0,9405	40	2,09	<0

poteaux entièrement comprimés.

Fil n° poteau	N(t)	M(tm)	$\bar{G}b$	ψ	β	S'	C	D	E	W'	A', cm^2
1 9-13	11,50	0,55	89	12,53	0,95	0,1	2,16	10,11	10,58	<0	<0
1 13-17	15,36	0,44	80	8,43	0,57	0,1	1,65	6,63	6,86	<0	<0
17-21	18,39	0,86	88	7,75	0,93	0,1	1,34	5,93	5,82	<0	<0

poteaux en compression simple.

Fil n° poteau	N (t)	B (cm^2)	AL min (cm^2)	AL theor cm^{-1}	$A \leq \frac{B}{20}$	$A' (\text{cm}^2)$
2	2-6	6,83	1800	1,08	—	1,08
	6-10	13,58	1800	2,15	—	2,15
	10-14	20,33	1800	3,22	—	3,22
	14-18	27,08	1800	4,28	—	4,28
	18-22	32,93	1800	5,21	—	5,21

Sous. SP₂ (Semelles) : N_{max}

FILE	POTEAU	N(t)	M _{max}	$e_0 = \frac{M}{N}$	$e_1 = \frac{ht}{8}$	$\bar{G}t^b (\text{kg/cm}^2)$	Sollicitation
1	1-5	7.85	7.72	98	5.0	202.5	P.C.
	5-9	19.64	11.13	60	5.0	202.5	P.C.
	9-13	31.05	13.14	42	5.0	202.5	P.C.
	13-17	44.97	13.54	30	5.0	202.5	P.C.
	17-21	56.71	12.02	21	5.0	202.5	P.C.
2	2-6	10.55	8.03	76	5.0	202.5	P.C.
	6-10	20.75	12.93	62	5.0	202.5	P.C.
	10-14	30.86	15.57	50	5.0	202.5	P.C.
	14-18	40.74	16.26	40	5.0	202.5	P.C.
	18-22	48.83	14.22	29	5.0	202.5	P.C.
3	3-7	9.93	8.03	80	5.0	202.5	P.C.
	7-11	18.81	12.93	68	5.0	202.5	P.C.
	11-15	27.06	15.57	57	5.0	202.5	P.C.
	15-19	34.71	16.26	46	5.0	202.5	P.C.
	19-23	40.81	14.22	34	5.0	202.5	P.C.
4	4-8	9.93	8.03	80	5.0	202.5	P.C.
	8-12	18.81	12.93	68	5.0	202.5	P.C.
	12-16	27.06	15.57	57	5.0	202.5	P.C.
	16-20	34.71	16.26	46	5.0	202.5	P.C.
	20-24	40.81	14.22	34	5.0	202.5	P.C.

Sous. SP₂. (RADIER) : N_{max}.

FILE	POTEAU	N(t)	M _{max} (t.m)	$e_0 = \frac{M}{N}$	$e_1 = \frac{ht}{8}$	$\bar{G}t^b (\text{kg/cm}^2)$	Sollicitation
1	1-5	7.32	6.83	93	5.0	202.5	P.C.
	5-9	16.92	9.72	57	5.0	202.5	P.C.
	9-13	28.37	11.49	40	5.0	202.5	P.C.
	13-17	40.95	11.81	28	5.0	202.5	P.C.
	17-21	51.53	9.91	19	5.0	202.5	P.C.
2	2-6	9.86	6.98	70	5.0	202.5	P.C.
	6-10	19.59	11.22	57	5.0	202.5	P.C.
	10-14	29.24	13.54	46	5.0	202.5	P.C.
	14-18	38.65	14.13	36	5.0	202.5	P.C.
	18-22	46.40	12.23	26	5.0	202.5	P.C.
3	3-7	9.43	6.98	74	5.0	202.5	P.C.
	7-11	17.99	11.22	62	5.0	202.5	P.C.
	11-15	26.03	13.54	52	5.0	202.5	P.C.
	15-19	33.51	14.13	42	5.0	202.5	P.C.
	19-23	39.53	12.23	31	5.0	202.5	P.C.
4	4-8	9.43	6.98	74	5.0	202.5	P.C.
	8-12	17.99	11.22	62	5.0	202.5	P.C.
	12-16	26.03	13.54	52	5.0	202.5	P.C.
	16-20	33.51	14.13	42	5.0	202.5	P.C.
	20-24	39.53	12.23	31	5.0	202.5	P.C.

Sous. SP₂. (semellus) N^{min}

FILE	POTEAU	N(t)	M(tm)	$e_0 = \frac{M}{N}$	$e_1 = ht/G$	$\tilde{G}^T b$	Solicitation
1	1-5	-0.41	6.41	14.90	5.0	202.5	PC
	5-9	-3.80	10.11	2.66	5.0	202.5	PC
	9-13	-9.21	12.15	1.32	5.0	202.5	PC
	13-17	-15.93	12.77	0.80	5.0	202.5	PC
	17-21	-22.13	11.01	0.49	5.0	202.5	PC
2	2-6	2.79	8.03	2.87	5.0	202.5	PC
	6-10	4.99	12.93	2.59	5.0	202.5	PC
	10-14	7.28	15.57	2.13	5.0	202.5	PC
	14-18	9.80	16.26	1.66	5.0	202.5	PC
	18-22	12.33	14.22	1.15	5.0	202.5	PC
3	3-7	3.41	8.03	2.35	5.0	202.5	PC
	7-11	6.93	12.93	1.86	5.0	202.5	PC
	11-15	11.08	15.57	1.40	5.0	202.5	PC
	15-19	15.83	16.26	1.02	5.0	202.5	PC
	19-23	20.35	14.22	0.69	5.0	202.5	PC
4	4-8	3.41	8.03	2.35	5.0	202.5	PC
	8-12	6.93	12.93	1.86	5.0	202.5	PC
	12-16	11.08	15.57	1.40	5.0	202.5	PC
	16-20	15.83	16.26	1.02	5.0	202.5	PC
	20-24	20.35	14.22	0.69	5.0	202.5	PC

Sous. SP₂. (radier) . N^{min.}

FILE	POTEAU	N(t)	M(tm)	$e_0 = \frac{M}{N}$	$e_1 = ht/G$	$\tilde{G}^T b$ (kg/cm)	Solicitation
1	1-5	-0.07	5.22	∞	5.0	202.5	PC
	5-9	-2.35	8.70	3.70	5.0	202.5	PC
	9-13	-6.61	10.50	1.58	5.0	202.5	PC
	13-17	-11.96	11.04	0.92	5.0	202.5	PC
	17-21	-17.00	9.33	0.55	5.0	202.5	PC
2	2-6	3.88	6.98	2.06	5.0	202.5	PC
	6-10	6.15	11.22	1.82	5.0	202.5	PC
	10-14	9.90	13.54	1.52	5.0	202.5	PC
	14-18	11.89	14.13	1.18	5.0	202.5	PC
	18-22	14.75	12.23	0.83	5.0	202.5	PC
3	3-7	3.81	6.98	1.78	5.0	202.5	PC
	7-11	7.75	11.22	1.44	5.0	202.5	PC
	11-15	12.11	13.54	1.11	5.0	202.5	PC
	15-19	17.03	14.13	0.83	5.0	202.5	PC
	19-23	21.62	12.23	0.56	5.0	202.5	PC
4	4-8	3.81	6.98	1.78	5.0	202.5	PC
	8-12	7.75	11.22	1.44	5.0	202.5	PC
	12-16	12.11	13.54	1.11	5.0	202.5	PC
	16-20	17.03	14.13	0.83	5.0	202.5	PC
	20-24	21.62	12.23	0.56	5.0	202.5	PC

FERRAILLAGE SOUS SP₂

① Section partiellement comprimées. N_{max} - M^{cor} . semelles
(sans armatures comprimées).

FILE	ROTEAU	$N(t)$	$M(t_m)$	\tilde{b}^b	$a(cm)$	$\bar{N}_G(t_m)$	μ	K	E	b^b	$A_1(cm^2)$	$A(cm^2)$
1	1-5	7.85	7.72	202.5	12	8.66	0.0707	30.9	0.8911	135	8.57	6.70
	5-9	18.44	11.13	202.5	12	13.34	0.109	24.5	0.8734	171	13.46	9.06
	9-13	31.05	13.14	202.5	12	16.86	0.137	20.1	0.8576	208	17.33	9.93
	13-17	44.97	13.56	202.5	12	18.83	0.154	18.5	0.8508	227	-	18.90
	17-21	56.71	12.02	202.5	12	18.82	0.153	18.6	0.8512	225	-	18.79
2	2-6	10.55	8.03	202.5	12	9.30	0.076	29.5	0.8876	162	9.23	6.72
	6-10	20.75	12.83	202.5	12	15.42	0.126	21.2	0.8619	198	15.77	10.82
	10-14	30.86	15.57	202.5	12	19.27	0.157	18.3	0.8499	209	19.98	12.63
	14-18	40.74	16.26	202.5	12	21.15	0.172	17.1	0.8442	245	-	21.50
	18-22	48.83	14.22	202.5	12	20.07	0.164	17.70	0.8471	237	-	20.46
3	3-7	9.93	8.03	202.5	12	9.22	0.075	29.8	0.8884	141	9.15	6.78
	7-11	18.81	12.93	202.5	12	15.20	0.124	21.4	0.8626	186	15.53	11.05
	11-15	27.06	15.57	202.5	12	18.82	0.153	18.6	0.8512	205	18.49	13.04
	15-19	34.71	16.26	202.5	12	20.42	0.166	17.6	0.8466	238	-	20.75
	19-23	40.81	14.22	202.5	12	19.12	0.156	18.4	0.8503	228	-	19.42

file 4 ≡ file 3

② sections partiellement comprimées N_{max} - M^{cor} . RADIER

(sans armatures comprimées)

FILE	ROTEAU	$N(t)$	$M(t_m)$	\tilde{b}^b	$a(cm)$	$\bar{N}_G(t_m)$	μ	K	E	b^b	$A_1(cm^2)$	$A(cm^2)$
1	1-5	7.32	6.83	202.5	12	7.70	0.0628	33.3	0.8965	126	7.57	5.82
	5-9	16.82	9.72	202.5	12	11.75	0.0960	25.4	0.8762	165	11.82	7.79
	9-13	28.37	11.49	202.5	12	14.89	0.121	21.7	0.8638	193	15.20	8.44
	13-17	40.95	11.91	202.5	12	16.72	0.136	20.2	0.8580	203	-	17.11
	17-21	51.53	9.91	202.5	12	16.10	0.131	20.7	0.8593	202	-	16.47
2	2-6	9.96	6.98	202.5	12	8.17	0.066	32.2	0.8941	130	8.05	5.68
	6-10	19.59	11.22	202.5	12	13.57	0.110	23.2	0.8691	181	13.76	9.09
	10-14	29.24	13.54	202.5	12	17.05	0.139	19.9	0.8567	203	17.55	10.58
	14-18	38.65	14.13	202.5	12	18.77	0.153	15.9	0.8382	264	-	19.20
	18-22	46.40	12.23	202.5	12	17.80	0.145	16.4	0.8408	256	-	18.21
3	3-7	9.43	6.88	202.5	12	8.11	0.066	32.2	0.8941	130	8.00	5.75
	7-11	17.99	11.22	202.5	12	13.38	0.109	23.4	0.8698	179	13.56	9.27
	11-15	26.03	13.54	202.5	12	16.66	0.136	20.2	0.9580	204	17.12	10.92
	15-19	33.51	14.13	202.5	12	18.15	0.148	19	0.8529	221	-	18.57
	19-23	39.53	12.23	202.5	12	16.97	0.138	20	0.8571	210	-	17.36

FERRAILLAGE SOUS SP_z

Semelles.

N_{min}

sections partiellement comprimées
(sans armatures comprises)

FLE	POTEAU	N(t)	M (Nm)	G'b	a(cm)	NG ^(Nm)	μ	K	E	G'b	A ₁ (cm ²)	A(cm ²)
1	1-5	-0.41	6.11	202.5	12.0	6.06	0.049	38.8	0.9071	108	5.89	5.98
	5-9	-3.80	10.11	202.5	12.0	9.65	0.0787	28.9	0.8861	145	9.6	10.50
	9-13	-9.21	12.15	202.5	12.0	11.04	0.090	26.5	0.8795	158	11.06	13.25
	13-17	-15.93	12.77	202.5	12.0	10.85	0.088	26.9	0.8807	156	10.86	16.67
	17-21	-22.13	11.01	202.5	12.0	8.35	0.0681	31.6	0.8927	132	8.25	13.51
2	1-5	2.79	8.03	202.5	12.0	8.36	0.0682	31.6	0.8927	132	8.25	9.58
	6-10	6.99	12.93	202.5	12.0	13.52	0.110	23.2	0.8681	181	13.72	12.53
	10-14	7.28	15.57	202.5	12.0	16.44	0.1342	20.3	0.8584	203	16.88	15.14
	14-18	9.80	16.26	202.5	12.0	17.43	0.142	19.6	0.8555	214	/	17.80
	20-24	12.33	14.22	202.5	12.0	15.69	0.128	21	0.8611	200	16.07	13.13
3	3-7	3.61	8.03	202.5	12.0	8.44	0.0689	31.4	0.8922	133	8.34	9.52
	7-11	6.93	12.93	202.5	12.0	13.76	0.112	23	0.8684	182	13.97	12.32
	11-15	11.08	15.57	202.5	12.0	16.90	0.138	20	0.8571	204	17.38	14.74
	15-19	15.83	16.26	202.5	12.0	18.16	0.148	19	0.8529	221	/	18.54
	19-23	20.35	14.22	202.5	12.0	16.66	0.136	20.1	0.8576	203	17.13	12.28

RADIER - sections partiellement comprimées
(sans A¹)

N_{min}

FLE	POTEAU	N(t)	M(Nm)	G'b	a(cm)	NG ^(Nm)	μ	K	E	G'b	A ₁ (cm ²)	A(cm ²)
1	1-5	-0.07	5.22	202.5	12.0	5.21	0.0425	42.2	0.9126	99	5.03	5.19
	5-9	-2.35	8.70	202.5	12.0	8.42	0.0687	31.5	0.8925	133	8.32	7.88
	9-13	-6.61	10.50	202.5	12.0	9.70	0.079	28.8	0.8858	145	9.65	11.22
	13-17	-11.96	11.04	202.5	12.0	9.60	0.078	29	0.8864	144	9.55	12.39
	17-21	-17.00	9.33	202.5	12.0	7.29	0.059	34.5	0.8930	122	7.15	11.20
2	2-6	3.38	6.38	202.5	12.0	7.38	0.060	34.2	0.8884	122	7.25	6.44
	6-10	6.15	11.22	202.5	12.0	11.95	0.0975	25.2	0.8756	166	12.03	10.56
	10-14	8.90	13.54	202.5	12.0	14.60	0.119	22	0.8649	191	14.88	12.76
	14-18	11.89	14.13	202.5	12.0	15.55	0.127	21.1	0.8615	193	15.92	13.08
	18-22	16.75	12.23	202.5	12.0	14.00	0.114	22.7	0.8674	185	14.23	10.72
3	3-7	3.81	6.88	202.5	12.0	7.45	0.0608	33.9	0.8977	123	7.32	6.38
	7-11	7.75	11.22	202.5	12.0	12.15	0.099	24.3	0.8744	169	12.25	10.40
	11-15	12.11	13.54	202.5	12.0	15.00	0.122	21.7	0.8638	193	15.31	12.42
	15-19	17.03	14.13	202.5	12.0	16.17	0.132	20.6	0.8596	203	16.58	12.52
	19-23	21.62	12.23	202.5	12.0	14.92	0.121	21.7	0.8638	193	15.13	9.98

PORTIQUE TRANSVERSAL. II - III

Sous. SP₁

FILE	POTEAU	N (t)	M (tm)	(cm) $e_0 = \frac{M}{N}$	(cm) $e_1 = \frac{ht}{6}$	$\bar{G}'b$	solicitation
1	1-5	14,45	8,72	60,0	10,0	135	PC
	5-9	33,29	9,78	23,0	10,0	119	PC
	9-13	52,15	7,44	14,0	10,0	99	PC
	13-17	71,01	7,44	10,6	10,0	90	PC
	17-21	89,14	11,38	13,0	10,0	96	PC
2	2-6	19,55	1,89	9,0	5,0	108	PC
	6-10	47,80	2,11	4,0	5,0	85	
	10-14	76,02	2,08	3,0	5,0	81	EC
	14-18	104,24	2,08	2,0	5,0	76,5	EC
	18-22	131,27	4,31	3,0	5,0	81	EC
3	3-7	19,56	1,35	7,0	5,0	99	PC
	7-11	43,59	1,52	4,0	5,0	85	
	11-15	67,63	1,51	2,0	5,0	76,5	EC
	15-19	91,67	1,51	2,0	5,0	76,5	EC
	19-23	123,32	3,12	2,5	5,0	78	EC
4	4-8	14,45	8,72	60,0	10,0	135	PC
	8-12	33,29	7,55	22,0	10,0	117	PC
	12-16	53,51	7,21	13,4	10,0	97	PC
	16-20	73,05	7,21	10,6	10,0	90	PC
	20-24	91,90	11,03	12,0	10,0	94	PC

file 1 : \cong file 4

file 2 : \cong file 3

tableau donnant le ferrailage minimum d'armatures longitudinales.

FILE	1					2				
$\bar{G}'b$	135	119	99	90	96	108	85	81	76,5	81
N	14,45	33,29	52,15	71,01	89,14	19,55	47,80	76,02	104,24	131,27
y_1	28,9	22,19	19,75	18,54	19,30	9,89	—	—	—	—
θ_1	1,4	1,4	1,4	1,4	1,4	1,0	1,0	1,0	1,0	1,0
$G'm$	20,15	50	88	127	153,5	32,9	26,5	42,2	58	73,0
A _E	5,74	14,24	25,03	36,0	43,5	6,69	5,39	8,58	11,79	14,84

VII.24

SP₁poteaux partiellement comprimés (sans A').

FILE	POTERAU	N(t)	M(tm)	G'b	a(cm)	Wb(tm)	μ	K	ε	G'b	A,(cm ²)	A(cm ²)
1	1-5	14,5	8,72	135	27	12,63	0,0694	31,2	0,8918	89	8,87	3,69
	5-9	33,29	9,78	119	27	16,76	0,0921	29,1	0,8983	107	11,95	9,61
	9-13	52,15	7,44	99	27	21,52	0,118	22,2	0,8656	126	/	14,90
	13-17	71,01	7,44	90	27	26,61	0,146	19,3	0,8542	145	/	18,26
	17-21	89,14	11,38	96	27	35,43	0,194	15,8	0,8377	177	/	24,01
2	2-6	19,55	1,89	108	12	4,24	0,0520	37,4	0,9046	75	6,19	978

poteaux entièrement comprimés.

FILE	POTERAU	N(t)	M(tm)	G'b	φ	β	δ'	ε	D	E	W'	A'cm ²
2	6-10	47,80	2,11	85	3,20	0,88	0,10	0,55	1,96	1,32	-0,90	<0
	10-14	76,02	2,08	81	1,92	0,55	0,10	0,33	0,94	0,37	-0,47	<0
	14-18	104,24	2,08	76,5	1,32	0,40	0,10	0,23	0,46	-0,08	0,16	2,88
	18-20	131,27	4,31	81	1,12	0,65	0,10	0,19	0,21	-0,53	1,20	21,6

VII.25

Sous SP₂ (SEMELLES) : N^{max}

FILE	POTEAU	N (k)	M (k.m)	$\ell_0 = \frac{M}{N}$ (cm)	$e_i = \frac{h_i}{\ell_0}$ (cm)	$\bar{\ell}_b'$	Solicitation.
1	1-5	19.38	23.82	123.00	10.0	202.50	P.C
	5-9	45.06	32.11	71.26	10.0	202.50	P.C
	9-13	72.47	37.48	51.72	10.0	202.50	P.C
	13-17	100.78	38.75	38.45	10.0	202.50	P.C
	17-21	126.75	28.02	22.88	10.0	179.69	P.C
2	2-6	23.58	5.68	24.08	5.0	202.50	P.C
	6-10	54.96	9.66	17.58	5.0	202.50	P.C
	10-14	85.77	11.32	13.20	5.0	190.35	P.C
	14-18	115.78	11.77	10.16	5.0	169.93	P.C
	18-22	143.74	9.34	6.92	5.0	147.96	P.C
3	3-7	23.09	5.68	24.08	5.0	202.50	P.C
	7-11	50.75	9.07	17.87	5.0	202.50	P.C
	11-15	78.80	10.77	13.64	5.0	193.32	P.C
	15-19	104.73	11.20	10.69	5.0	173.41	P.C
	19-23	128.76	8.75	6.73	5.0	147.16	P.C
4	4-8	19.35	23.82	123.00	10.0	202.50	P.C
	8-12	45.74	31.73	69.37	10.0	202.50	P.C
	12-16	73.83	36.82	49.87	10.0	202.50	P.C
	16-20	102.82	37.99	36.85	10.0	202.50	P.C
	20-24	129.51	28.85	22.28	10.0	176.45	P.C

RADIER : N^{max}.

1	1-5	18.67	21.84	117.00	10.0	202.50	P.C
2	5-9	43.32	28.76	66.39	10.0	202.50	P.C
	9-13	69.48	33.00	47.49	10.0	202.50	P.C
	13-17	96.43	34.11	35.37	10.0	202.50	P.C
	17-21	121.21	26.81	22.12	10.0	175.81	P.C
	2-6	22.99	5.12	22.27	5.0	202.50	P.C
3	6-10	53.74	8.66	16.11	5.0	202.50	P.C
	10-14	84.01	10.12	12.05	5.0	182.59	P.C
	14-18	113.68	10.49	9.23	5.0	163.49	P.C
	18-22	141.21	9.19	6.51	5.0	145.20	P.C
	3-7	23.00	5.18	22.27	5.0	202.50	P.C
4	7-11	49.53	8.07	16.29	5.0	202.50	P.C
	11-15	75.62	9.53	12.60	5.0	186.30	P.C
	15-19	101.11	9.92	9.81	5.0	167.47	P.C
	19-23	124.81	8.00	6.41	5.0	144.52	P.C
	4-8	18.67	21.84	117.00	10.0	202.50	P.C
5	8-12	44.00	28.52	64.82	10.0	202.50	P.C
	12-16	70.94	32.77	46.26	10.0	202.50	P.C
	16-20	98.47	33.88	34.41	10.0	202.50	P.C
	20-24	128.87	26.46	21.34	10.0	173.27	P.C

VII. 26

Fendillage sous S_2 - N - SEMEUSES - Portique 33-34

— Sections. Partiellement contrôlées —

FILE POTEN	N (v)	M (kg)	\bar{t}_b	d (cm)	C _b (cm)	L	K	Σ	T _b '	K ₁	K ₂	M'	a	Σ	\bar{t}_b	$\frac{(\text{cm})}{\Delta_1}$	$\frac{\Delta_1}{(\text{cm}^2)}$	A_{air}		
1	1-5	49.35	23.82	20.250	27	29.04	0.106	238	0.8711	176	/	/	/	/	/	13.9	9.29	/	2.56	
	5-9	45.66	32.11	20.2.50	27	44.12	0.162	14.9	0.8480	234	20.74	13.5	0.1807	0.4202	0.8599	/	/	21.10	3.92	5.97
	9-13	42.47	33.49	20.2.50	27	57.05	0.209	15	0.8333	280	20.34	13.5	0.1807	0.4202	0.8599	/	/	27.6	3.65	9.60
	13-17	100.78	38.75	20.2.50	27	65.96	0.242	13.5	0.8246	311	20.74	13.5	0.1807	0.4202	0.8599	/	/	31.7	13.38	13.35
	17-21	126.75	29.02	19.969	27	63.24	0.232	13.9	0.8270	302	23.4	13.5	0.1699	0.3906	0.8698	/	/	29.90	15.55	16.79
2	2-6	78.58	56.8	20.2.50	12	8.51	0.069	31.4	0.8922	133	/	/	/	/	/	/	8.41	2.80	/	4.71
	6-10	54.96	9.66	20.2.50	12	16.25	0.133	20.5	0.8592	204	/	/	/	/	/	/	16.67	3.58	/	10.97
	10-14	25.77	11.32	19.035	12	21.61	0.176	16.9	0.8483	248	22	12	0.1753	0.4054	0.8649	/	/	21.83	6.95	17.13
	14-18	115.87	11.77	16.973	12	25.68	0.210	14.9	0.8328	280	24.7	12	0.1651	0.3778	0.8741	/	/	25.69	13.31	23.14
	18-22	143.74	9.94	14.7.94	12	24.19	0.222	14.3	0.8294	283	28.3	12	0.1532	0.3464	0.8845	/	/	27.03	16.40	28.70
3	3-7	23.59	5.68	20.2.50	12	8.31	0.069	31.4	0.8322	133	/	/	/	/	/	8.41	2.80	/	4.71	
	7-11	50.75	9.59	20.2.50	12	15.16	0.124	21.4	0.8626	196	/	/	/	/	/	15.50	3.42	/	10.13	
	11-15	38.80	10.75	19.3.32	12	20.21	0.165	14.7	0.8471	239	21.7	12	0.1765	0.4087	0.8638	/	/	21.10	6.90	15.73
	15-19	104.73	11.20	17.3.41	12	23.77	0.194	15.8	0.8277	265	24.2	12	0.1669	0.3826	0.8425	/	/	24.20	13.00	20.91
	19-23	128.76	8.75	14.7.10	12	24.20	0.198	15.5	0.8361	270	28.6	12	0.1523	0.3440	0.8853	/	/	26.90	15.35	26.71
	4-8	19.35	28.92	20.2.50	27	28.04	0.106	23.8	0.8411	176	/	/	/	/	/	13.9	9.29	/	2.56	
	8-12	45.74	31.73	20.2.50	27	44.08	0.161	17.9	0.8480	234	20.74	13.5	0.1807	0.4202	0.8599	/	/	21.00	3.80	6.06
	12-16	73.23	36.82	20.2.50	27	56.35	0.206	15	0.8333	280	20.34	13.5	0.1807	0.4202	0.8599	/	/	27.10	9.38	9.77
	16-20	102.82	37.39	20.2.50	27	65.65	0.241	13.5	0.8246	311	20.74	13.5	0.1807	0.4202	0.8599	/	/	30.8	13.10	13.62
	20-24	129.51	28.25	17.6.45	27	63.82	0.234	13.9	0.8270	302	23.4	13.5	0.1684	0.3966	0.8711	/	/	29.10	15.35	17.15

$$M \rightarrow t \cdot n \quad A \rightarrow cm^2.$$

Terrailage Sous Sp₂ - N°_{mat} RASIER - Portique II-II

- Sections partiellement comprimées -

N _{mat}	M _b (Nm)	\bar{I}_b' (cm ⁴)	a (cm)	K _b	E	σ_b' (cm)	K ₁	K ₂	M' (Nm)	α	ε	\bar{I}_b (cm ⁴)	A'_b (cm ²)	Δ'_b (cm)	A'_b (cm ²)	A'_{min} (cm ²)		
												L _b						
1	15	18,67	21,84	202,5	67	26,88	0,098	25,1	98,753	167	/	/	/	13,40	8,80	-	2,47	
	5-9	43,32	23,76	202,5	27	40,45	0,148	19	0,9529	221	20,4	13,5	0,1807	0,4202	0,8599	-	19,80	3,55
1	9-13	69,48	33,00	202,5	27	51,75	0,188	16,1	0,8392	260	20,4	13,5	0,1857	0,4202	0,8599	-	24,90	8,60
	13-17	96,43	34,11	202,5	27	60,14	0,220	14,4	0,8299	291	20,4	13,5	0,4807	0,4202	0,8599	-	28,80	12,10
1	17-21	121,21	26,81	47,59	27	59,53	0,218	14,5	0,8305	289	22,4	18,5	0,1718	0,8558	0,8671	-	28,10	14,50
	2-6	22,99	5,12	202,5	12	7,87	0,064	22,8	0,7854	428	-	-	-	-	8,09	2,69	-	4,59
2	6-10	53,74	8,66	202,5	12	15,11	0,123	21,6	0,8634	194	-	-	-	-	15,95	3,40	-	10,73
	10-14	84,01	10,12	482,6	12	20,20	0,165	13,7	0,8471	237	23,0	42	0,1714	0,3947	0,8684	-	19,50	6,40
1	14-18	113,68	10,49	463,5	12	24,05	0,196	15,7	0,8371	267	25,6	12	0,1620	0,3695	0,8768	-	22,80	14,80
	18-22	141,21	9,19	44,52	12	26,13	0,123	14,8	0,8322	283	28,9	42	0,1514	0,3417	0,9861	-	21,90	15,10
3	3-7	23,60	5,12	202,5	12	7,88	0,064	32,9	0,8954	428	-	-	-	-	8,09	2,69	-	4,59
	7-11	49,53	8,07	202,5	12	14,01	0,114	22,7	0,8674	185	-	-	-	-	14,80	3,10	-	9,89
3	11-15	75,62	9,53	186,3	12	48,60	0,152	19	0,8529	221	22,5	42	0,1733	0,4000	0,8667	-	18,86	6,08
	15-19	103,11	9,82	46,47	12	22,05	0,180	16,6	0,8603	253	25,4	42	0,1637	0,3740	0,9453	-	21,40	11,50
1	19-23	124,91	8,00	44,45	12	22,97	0,187	16,1	0,8392	260	29,6	42	0,1511	0,3409	0,8864	-	24,54	14,72
	4-8	18,67	21,84	202,5	27	26,88	0,059	25,1	0,8753	167	-	-	-	-	13,16	8,80	-	2,47
4	6-12	44,00	23,52	202,5	27	40,45	0,48	19	0,8529	221	20,4	13,5	0,1807	0,4202	0,8599	-	19,80	3,50
	12-16	70,84	32,77	202,5	27	51,80	0,189	16,1	0,9392	260	20,4	13,5	0,1807	0,4202	0,8599	-	24,90	8,75
16-20	98,47	33,88	203,5	27	61,00	0,223	14,4	0,8299	281	20,4	13,5	0,1807	0,4202	0,8599	-	28,70	11,90	
20-24	123,97	26,46	173,20	27	60,10	0,220	14,4	0,8299	289	24,2	13,5	0,1619	0,3826	0,8425	-	28,00	13,80	

Sous SP₂ : SEMELLES - N^{min}

FILE	POTEAU	N (t)	M (t.m)	$\rho_0 = \frac{M}{N}$ (cm)	e ₁ (cm)	\bar{T}_b	Sollicitation
1	1-5	7,80	7,54	96	10,0	202,5	PC
	5-9	13,49	19,01	140	10,0	202,5	PC
	9-13	17,51	24,45	139	10,0	202,0	PC
	13-17	20,63	27,22	132	10,0	202,5	PC
	17-21	24,58	20,38	83	10,0	202,5	PC
2	2-6	13,08	3,39	26	5,0	202,5	PC
	6-10	29,75	5,97	20	5,0	202,5	PC
	10-14	46,93	7,68	16	5,0	202,5	PC
	14-18	64,81	8,25	13	5,0	190	PC
	18-22	82,62	5,20	6,5	5,0	146	PC
3	3-7	13,08	3,39	26	5,0	202,5	PC
	7-11	25,53	6,56	25	5,0	202,5	PC
	11-15	38,52	8,25	22	5,0	202,5	PC
	15-19	52,22	8,76	17	5,0	202,5	PC
	19-23	66,20	6,39	10	5,0	170	PC
4	4-8	7,80	7,54	96	10,0	202,5	PC
	8-12	14,17	19,25	135	10,0	202,5	PC
	12-16	18,87	24,68	130	10,0	202,5	PC
	16-20	22,67	27,38	120	10,0	202,5	PC
	20-24	27,32	19,47	71	10,0	202,5	PC

RADIER - N^{min}

1	1-5	8,48	5,55	65	10,0	202,5	PC
	5-9	15,23	15,80	103	10,0	202,5	PC
	9-13	20,50	20,60	100	10,0	202,5	PC
	13-17	24,98	23,24	93	10,0	202,5	PC
	17-21	30,12	10,28	52	10,0	202,5	PC
2	2-6	13,61	2,83	21	5,0	202,5	PC
	6-10	30,91	4,97	16	5,0	202,5	PC
	10-14	48,66	6,48	15	5,0	202,5	PC
	14-18	66,98	6,97	10	5,0	170	PC
	18-22	85,02	4,19	5,01	5,0	136	PC
3	3-7	13,67	2,84	21	5,0	202,5	PC
	7-11	26,79	5,56	20	5,0	202,5	PC
	11-15	41,33	7,06	17	5,0	202,5	PC
	15-19	55,47	7,48	15,5	5,0	202,5	PC
	19-23	70,63	5,28	7,5	5,0	153	PC
4	4-8	8,48	5,55	65	10,0	202,5	PC
	8-12	15,91	16,03	100	10,0	202,5	PC
	12-16	21,86	20,82	95	10,0	202,5	PC
	16-20	27,02	23,39	86	10,0	202,5	PC
	20-24	32,86	15,92	48	10,0	202,5	PC

VII. 29

Fertilisant

Sous SP₂ - N^{min} - SEMENCES -

Sections Partiellement couvertes -

VII.30

N ₂ ppm	N (kg ha ⁻¹)	M (cm)	d (cm)	K ₁	K ₂	T _b K ₁	K ₂	J _m %	d	E	T _b (cm ²)	A ₁ (cm ²)	A _{min} (cm ²)	
1.5	7,80	7,54	202,5	27	9,65	0,035	0,74	0,9199	88,6	/	/	/	4,28	2,52
5-9	13,49	19,01	202,5	27	22,65	0,082	28,1	0,8834	14,9	/	/	/	10,70	7,50
9-13	17,50	24,45	202,5	27	29,72	0,106	23,8	0,82711	17,6	/	/	/	13,93	9,81
13-17	20,63	27,22	202,5	27	32,79	0,120	21,9	0,8645	19,1	/	/	/	15,84	10,92
17-21	24,58	20,38	202,5	27	24,01	0,098	25,1	0,8753	16,7	/	/	/	12,83	7,02
2-6	13,08	3,39	202,5	12	4,96	0,040	43,8	0,9550	9,6	/	/	/	4,98	1,65
6-10	29,75	5,57	202,5	12	9,54	0,097	29,2	0,8869	14,3	/	/	/	9,48	2,40
10-14	46,93	7,68	202,5	12	13,31	0,108	23,5	0,8701	17,8	/	/	/	13,48	2,30
14-18	64,81	8,25	190	12	16,03	0,1309	30,7	0,8599	20,2	/	/	/	16,45	1,25
18-22	82,62	5,20	196	12	15,11	0,123	21,6	0,8634	18,4	/	/	/	15,43	1,20
3-7	13,08	3,39	202,5	12	4,96	0,040	43,8	0,9550	9,6	/	/	/	4,98	1,66
7-11	25,53	6,56	202,5	12	9,62	0,078	29	0,8864	14,4	/	/	/	9,57	3,50
11-15	38,52	8,25	202,5	12	12,87	0,105	23,5	0,8745	17,5	/	/	/	13,0	3,82
15-19	52,22	8,76	202,5	12	15,02	0,122	21,7	0,8638	19,3	/	/	/	15,33	2,95
19-21	66,20	6,39	170	12	14,33	0,077	22,3	0,8660	18,7	/	/	/	14,6	2,80
4-8	7,80	9,54	202,5	27	9,64	0,035	47,4	0,9199	88,6	/	/	/	4,38	2,52
8-12	14,17	19,25	202,5	27	23,07	0,084	27,7	0,8829	15,1	/	/	/	10,91	7,53
12-16	18,87	24,68	202,5	27	29,77	0,105	23,4	0,8658	18,0	/	/	/	14,29	9,80
16-20	22,67	27,38	202,5	27	33,50	0,122	21,7	0,8660	19,3	/	/	/	16,15	10,75
16-24	29,32	11,49	202,5	27	26,84	0,098	25,1	0,8753	16,8	/	/	/	12,80	6,30

Terillage Sans S_2 - N_{min} - Régler -

— Sections parti-éléments comprises —

VII.31

LIG N°	N (t)	M (t.m)	$\frac{I}{J}$ (cm ⁴)	a cm	c _b	μ	K	Σ	J_b'	K ₁	K ₂	μ'	α	Σ	J_b' (cm ⁴)	A ₁ (cm ²)	A (cm ²)	A' _{min} (cm ²)	A' _{max} (cm ²)
1	1.5	8,48	5,55	202,5	27	784	0,028	54	0,9275	77	/	/	/	/	/	3,53	1,52	/	
	5.-9	15,23	15,80	202,5	27	19,92	0,023	30,3	0,8836	138	/	/	/	/	/	9,35	5,95	/	
1	9.-13	20,50	2060	202,5	27	26,13	0,005	256	0,8868	164	/	/	/	/	/	12,45	7,57	/	
	13.-17	24,88	23,24	202,5	27	29,98	0,109	23,4	0,8698	179	/	/	/	/	/	4,39	8,45	/	
1	17.-21	30,12	15,58	202,5	27	23,71	0,076	24,3	0,8818	153	/	/	/	/	/	11,23	4,06	/	
	2-6	13,61	2,83	202,5	12	4,46	0,036	46	0,9188	90	/	/	/	/	/	6,28	1,10	/	
2	6.-10	30,51	4,97	202,5	12	8,69	0,040	30,9	0,8911	13,5	/	/	/	/	/	8,58	1,22	/	
	10.-14	48,66	6,48	202,5	12	12,31	0,100	24,7	0,8941	170	/	/	/	/	/	12,41	3,54	/	
2	14.-18	66,98	6,97	170	12	15,00	0,122	21,7	0,8638	193	/	/	/	/	/	15,31	1,64	/	
	18.-22	85,02	4,19	136	12	14,39	0,073	22,3	0,8660	188	/	/	/	/	/	14,65	1,30	/	
3	3.-7	13,67	2,84	204,5	12	4,48	0,036	46	0,9188	90	/	/	/	/	/	4,30	1,04	/	
	7.-11	26,75	5,56	202,5	12	8,79	0,029	30,9	0,8941	135	/	/	/	/	/	8,68	2,30	/	
3	11.-15	41,33	9,06	202,5	12	12,02	0,058	25,1	0,8953	167	/	/	/	/	/	12,10	2,25	/	
	15.-19	55,47	7,48	202,5	12	14,13	0,045	22,5	0,8669	186	/	/	/	/	/	14,37	4,16	/	
3	19.-23	70,63	5,28	153	12	13,75	0,112	22,9	0,8681	183	/	/	/	/	/	13,96	1,05	/	
	4	4.-8	8,48	5,55	202,5	27	9,84	0,028	54	0,9275	77	/	/	/	/	3,53	1,50	/	
	8.-12	15,91	16,03	202,5	27	20,32	0,044	30	0,8889	140	/	/	/	/	/	9,54	5,75	/	
4	12.-16	21,86	20,82	202,5	27	26,72	0,098	25,1	0,8753	167	/	/	/	/	/	12,75	7,57	/	
	16.-20	27,02	23,39	204,5	27	30,68	0,112	22,9	0,8681	183	/	/	/	/	/	14,76	8,32	/	
4	20.-24	32,86	15,92	202,5	27	24,79	0,030	26,4	0,8792	159	/	/	/	/	/	11,77	3,95	/	

DOR : I-I

L'ANNEAU / RECAPITULATIFS

DOR : III-III

L'ANNEAU / RECAPITULATIFS

FILE	Poteau	sous SP ₁ A=A'	sous SP ₂ A=A'	A _{min}	Sect'ons admettes
1	1-5	0,21	3,11	1,72	3,11
	5-9	<0	4,92	4,81	4,92
1	9-13	<0	7,01	2,36	7,01
	13-17	<0	8,12	3,20	8,12
2	17-21	<0	2,77	3,92	2,77
	2-6	0,85	3,46	0,85	3,46
2	6-10	1,93	5,80	1,93	5,80
	10-14	3,00	6,90	3,00	6,90
1	14-18	4,07	6,82	4,07	6,82
	18-22	5,04	5,32	5,04	5,32
3	3-7	0,85	3,39	0,85	3,39
	7-11	1,93	5,56	1,93	5,56
3	11-15	3,00	6,46	3,00	6,46
	15-19	4,07	6,18	4,07	6,18
3	19-23	5,04	6,46	5,04	6,46

\uparrow
 $A = A'$
 \downarrow

FILE	Poteau	sous SP ₁ A=A'	sous SP ₂ A=A'	A _{min}	Sect'ons admettes
1	1-5	0,21	2,32	1,72	2,72
	5-9	<0	4,03	4,83	4,03
1	9-13	<0	5,74	2,36	5,74
	13-17	<0	6,65	3,20	6,65
2	17-21	<0	2,29	13,92	2,29
	2-6	0,85	2,90	0,85	2,90
2	6-10	1,93	4,73	1,93	4,73
	10-14	3,00	5,65	3,50	5,65
2	14-18	4,07	5,51	4,07	5,51
	18-22	5,04	6,07	5,04	6,07
3	3-7	0,85	2,93	0,85	2,93
	7-11	1,93	4,59	1,93	4,59
3	11-15	3,00	5,22	3,00	5,22
	15-19	4,07	4,91	4,07	4,91
3	19-23	5,04	3,27	5,04	3,27

\uparrow
 $A = A'$
 \downarrow

FILE	Poteau	sous SP ₁ A=A'	sous SP ₂ A=A'	A _{min}	Sect'ons admettes
1	1-5	0,43	5,82	2,04	5,82
	5-9	<0	8,88	4,95	8,88
1	9-13	<0	11,22	2,33	11,22
	13-17	<0	17,11	5,12	17,11
2	17-21	<0	16,47	3,74	16,47
	2-6	1,08	6,44	1,08	6,44
2	6-10	2,75	10,56	2,75	10,56
	10-14	3,22	12,76	3,22	12,76
2	14-18	4,28	19,28	4,28	19,28
	18-22	5,21	18,21	5,21	18,21
3	3-7	1,08	6,38	1,08	6,38
	7-11	2,15	10,40	2,15	10,40
3	11-15	3,22	12,92	3,22	12,92
	15-19	4,28	18,57	4,28	18,57
3	19-23	5,21	17,36	5,21	17,36

VII.32

VII. 33
tableaux récapitulatifs

PORTIQUE : II-II
— semelles. —

ELE	Poteau	Sous SP ₁ $A' = A$	Sous SP ₂ $A' = A$	Δ_{\min}	$A' = A.$	Sections, adoptées
1	1-5	3,69	2,52	2,50	2,52	3T14
	5-9	3,55	3,82	5,97	3,82	3T16
	9-13	4,90	3,45	9,30	3,45	3T20
	13-17	8,26	12,38	13,35	12,38	2T25 + 1T20
	17-21	10,01	13,30	13,73	13,30	2T25 + 1T20
2	2-6	1,78	2,80	4,71	4,71	5T14
	6-10	3,55	8,58	10,97	10,97/2	5T16
	10-14	4,89	6,85	16,13	16,13/2	5T20
	14-18	6,88	15,68	23,14	15,68	2T25 + 3T20
	18-22	9,16	17,04	28,70	19,04	2T25 + 3T20
3	3-7	1,78	2,80	4,71	4,71	5T14
	7-11	3,55	3,42	10,13	10,13	5T16
	11-15	4,89	6,90	15,73	15,73	5T20
	15-19	6,88	14,20	20,91	14,20	2T25 + 3T20
	19-23	9,16	16,90	25,71	16,90	2T25 + 3T20
4	4-8	3,69	2,52	2,56	2,52	3T14
	8-12	3,62	3,80	6,06	3,80	3T16
	12-16	4,98	9,38	9,77	9,38	3T20
	16-20	10,10	12,10	13,62	12,10	2T25 + 1T20
	20-24	11,32	13,35	17,15	13,35	2T25 + 1T20

— radier —

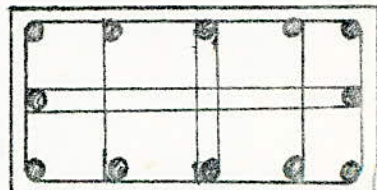
1	1-5	3,69	1,52	2,47	2,52	3T14
	5-9	3,55	3,55	5,74	3,55	3T16
	9-13	4,90	8,60	9,20	8,60	3T20
	13-17	8,26	12,10	12,77	12,10	2T25 + 1T20
	17-21	10,01	12,80	16,05	12,80	2T25 + 1T20
2	2-6	1,78	2,69	4,59	2,69	5T14
	6-10	3,55	3,10	10,73	10,73/2	5T16
	10-14	4,89	6,10	16,78	16,78/2	5T20
	14-18	6,88	13,80	22,07	13,80	2T25 + 3T20
	18-22	9,16	15,90	26,21	15,90	2T25 + 3T20
3	3-7	1,78	2,69	4,59	2,69	5T14
	7-11	3,55	3,10	9,89	9,89/2	5T16
	11-15	4,89	6,08	15,10	15,10/2	5T20
	15-19	6,88	13,40	20,19	13,40	2T25 + 3T20
	19-23	9,16	15,54	24,93	15,54	2T25 + 3T20
4	4-8	3,69	1,50	2,47	1,50	3T14
	8-12	3,62	3,50	5,83	3,50	3T16
	12-16	4,98	8,55	9,38	8,55	3T20
	16-20	10,12	11,30	13,04	11,90	2T25 + 1T20
	20-24	11,32	12,90	16,42	12,90	2T25 + 1T20

FERRAILLAGE ADOPTÉ

on ferraillera la file de poteaux la plus défavorable qu'on adoptera part

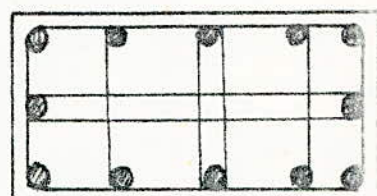
3^e niveau.

section: 12 T 14. = $18,48 \text{ cm}^2$.



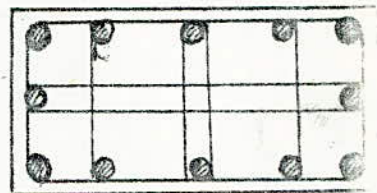
2^e niveau.

section: 12 T 16. = $24,12 \text{ cm}^2$.



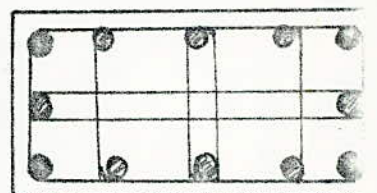
1^e niveau.

Section: 12 T 20. = $37,68 \text{ cm}^2$.



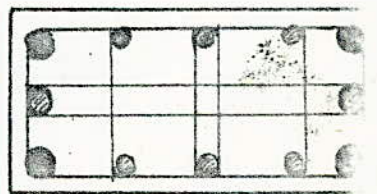
REZ DE CHAUSSEE

Section: HT 25 + 8 T 20 = $44,70 \text{ cm}^2$



sous-sol.

Section: 4 T 25 + 8 T 20 = $44,70 \text{ cm}^2$.



ARMATURES TRANSVERSALES (CCBA 6B - Art 32.32)

A) Zones courantes:

l'espacement admissible \bar{t} est donné par les relations

$$\bar{t} = \min \left\{ \begin{array}{l} t_1 = (100 \phi_t - 15 \phi l_{\max}) \cdot \left(2 - \frac{6'b}{6'b_0} \right) \\ t_2 = 15 \left(2 - \frac{6'b}{6'b_0} \right) \cdot \phi l_{\min} \end{array} \right.$$

$6'b$ = contrainte moyenne du béton sous la sollicitation S_p , en prenant $6'b = \overline{6'b_0}$. (plus défavorable), on aura :

$$t_1 = (100 \phi_t - 15 \phi l_{\max})$$

$$t_2 = 15 \phi l_{\min}.$$

$\phi_t \geq 0.3 \phi l_{\max}$ avec $\phi l_{\max} = 25 \text{ mm} \Rightarrow \phi_t \geq 0.3 \cdot 25$; soit $\phi_t = 8$

NIVEAU	ϕl_{\max}	ϕl_{\min}	$t_1(\text{cm})$	$t_2(\text{cm})$	\bar{t}
I	14	14	59	21	20
II	16	16	56	24	20
III	20	20	50	30	30
IV	25	20	42	30	30
V	25	20	42	30	30

B) Zone de Recouvrement: on doit avoir:

$$\left\{ \begin{array}{l} d \geq 3 \\ d \geq 0.4 \cdot \frac{\phi e^2}{\phi_t^2} \cdot \frac{6_{en,l}}{6_{en,t}} \end{array} \right.$$

avec:

$6_{en,l}$: limite d'élasticité des armatures longitudinales

$$\phi \leq 20 \text{ mm} \Rightarrow 6_{en} = 4200 \text{ kg/cm}^2$$

$$\phi > 20 \text{ mm} \Rightarrow 6_{en} = 4000 \text{ kg/cm}^2$$

$6_{en,t}$: limite des armatures transversales

$$6_{en,t} = 2400 \text{ kg/cm}^2$$

$$\text{Longueur de recouvrement: } l_r = l_d = \frac{\phi \cdot \bar{G}_a}{4 \bar{G}_d} \\ \bar{G}_d = 1.25 \psi^2 \cdot \bar{G}_b = 1.25 (1.5)^2 \cdot 5,9 = 16.6 \text{ Kg/cm}^2 \\ \bar{G}_a = 2800 \text{ Kg/cm}^2. \quad \phi \leq 20 \text{ mm.} \quad \left. \right\} \Rightarrow l_r = 40 \phi.$$

Le P.S. 69 Art. 2-322 recommande une longueur $l_r \geq 50 \phi$.

NIVEAU	ϕl_{max}	\downarrow	$l_r (\text{cm})$	$t = \frac{l_r}{\downarrow}$
I	14	3	70	20
II	16	3	80	20
III	20	5	100	20
IV	25	7	140	20
V	25	7	140	20

Verification au p  isme:

on doit v  ifier que les armatures transversales seront capables de reprendre les effets tranchants dans les poteaux (efforts tranchants du au p  isme)

soit T = effort tranchant du au p  isme.

$$\bar{G}_b = \frac{T}{b z}. \quad G_{en} = G_{at} = 2400 \text{ Kg/cm}^2.$$

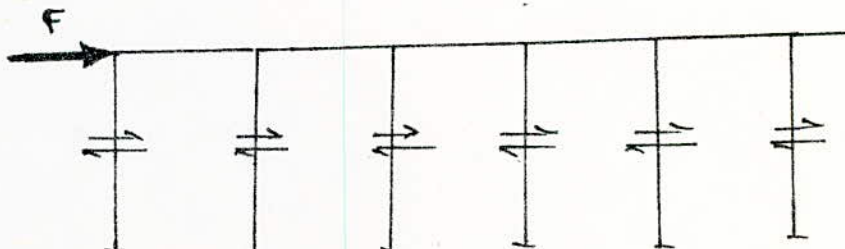
espacements des armatures transversales $t_0 = \frac{A_t \cdot z \cdot \bar{G}_{at}}{T}$.

espacements admissibles. $\bar{E} = \max \begin{cases} t_1 = 0.2 h \\ t_2 = (1 - 0.3 \frac{\bar{G}_b}{G_b}) \cdot h \end{cases}$.

$$\bar{G}_b = 1.5 \times 5.9 = 8.85 \text{ Kg/cm}^2$$

Il nous devons v  ifier que les espacements adopt  s sont $< \min(t_0, \bar{E})$.

Sens longitudinal.



on a $F = 71.26 t$.

$$F_1 = \frac{0.8 F}{6.6} = 8.63 t$$

$$F_2 = \frac{F}{6.6} = \underline{10.8 t}. \quad (\text{voir \'etude au p  isme})$$

Dans le sens longitudinal on aura 4 brins de ϕ 8 mm.

on a $T = 10800 \text{ Kg} \Rightarrow \tau_b = \frac{10800}{30.7.57} = 7,21 \text{ Kg/cm}^2$.
 $A_t = 2,01 \text{ cm}^2$.

on aura: $t_0 = \frac{2,01 \cdot 49,8 \cdot 2400}{10800} = 22 \text{ cm}$.

espacement admissible $\bar{t} = \max \left\{ t_1 = 0,2 \cdot 57 = 11 \text{ cm} \right. \\ \left. t_2 = \left(1 - 0,3 \cdot \frac{7,21}{15,5,9} \right) \cdot 57 = 43 \text{ cm} \right\}$

on retiendra $\underline{t = 20 \text{ cm}}$.

sens transversal.

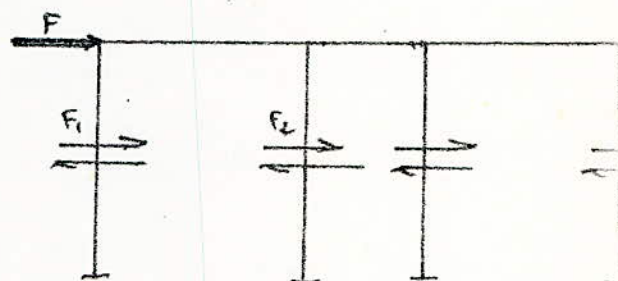
$$F_t = 48,68t$$

$$F_1 = 18,5t \quad (\text{pour étude au } \searrow)$$

$$F_2 = 5,84t$$

$$\underline{T = 18500 \text{ Kg}}$$

$$\tau_b = \frac{18500}{30.7.57} = 12,36 \text{ Kg/cm}^2$$



avec $A_t = 2 \text{ cm}^2$.

$$t_0 = \frac{2 \cdot 49,8 \cdot 2400}{18500} = 15 \text{ cm}$$

$$\bar{t} = \max \left\{ t_1 = 0,2 \cdot 57 = 11 \text{ cm} \right. \\ \left. t_2 = \left(1 - 0,3 \cdot \frac{12,36}{15,5,9} \right) \cdot 57 = 33 \text{ cm} \right\}$$

finalement on retiendra $\underline{t = 15 \text{ cm}}$.

Le complément du CTC recommande:

a) Zône nodule

Zône I, II : $t \leq \min(10\phi; 15 \text{ cm})$.

Zône III : $t \leq 10 \text{ cm}$.

b) Zône courante.

Zône I, II : $t \leq 12\phi$.

Zône III : $t < \min\left\{\frac{a}{2}; \frac{b}{2}; 10\phi\right\}$ a et b étant les dimensions du po

finalemment on aura, sous forme de tableau récapitulatif
les espacements des cadres pour chaque niveau.

Armatures transversales: Tableau récapitulatif

NIVEAUX	I	II	III	IV	V
Zône nodule	15	15	15	15	15
Zône courante	15	20	25	25	25

Les espacements sont exprimés en : cm.

ETUDE du MUR

PERIPHERIQUE

MUR PERIPHERIQUE

I) cas des fondations sur poutrelles.

Dans ce cas de fondation on devra prévoir un mur périphérique: condition exigée par le C.T.C.

la hauteur du mur est de $h = 115 \text{ cm}$. (sens longitudinal)

$h = 90 \text{ cm}$ (sens transversal).

épaisseur du mur.

$$e = 15 \text{ cm.}$$

Dans notre cas on négligera la poussée des terres du fait que la hauteur du mur est petite. ($h = 115 \text{ cm}$).

le C.T.C recommande une section minimale d'armatures longitudinales filantes supérieures et inférieures.

$$A_s = A_i = 0,2\% \cdot B.$$

$$A = 0,2\% \cdot 115 \cdot 15 = 3,45 \text{ cm}^2.$$

Le mur reposera sur un béton de propriété d'épaisseur égale à 10 cm.

dans le sens longitudinal on prendra $A_s = A_i = 4T14$.

dans le sens transversal on prendra. $A_s = A_i = 4T25$.

(la section dans le sens transversal étant importante, car on a tenu compte d'un frottement différentiel entre les poutrelles souples et les remontées rigides)

II) cas des fondations sur radier.

Dans ce cas de fondation, le mur périphérique sera divisé en panneaux grâce aux poteaux de rive. Vu la faible hauteur du mur. ($h = 115 \text{ cm}$), la poussée des terres sera négligée.

on ferreraillerai notre mur avec 5T8 p.m suivant les 2 sens (longitudinal et vertical) et par face.

FONDATIONS

FONDACTIONS

Introduction : La fondation est destinée à transmettre au sol les charges et surcharges provenant de la superstructure, dans les conditions normales d'exploitation et d'assez la stabilité de l'ouvrage lorsqu'il est sollicité par des effets d'origine sismique. Les fondations que nous allons calculer sont des fondations superficielles.

choix du type de fondation

Dans ce projet on étudiera les deux modes de fondation superficielle. Les deux types de fondation superficielle dépendent du taux de portance du sol.
taux de travail du sol.

on prendra pour taux de travail du sol.

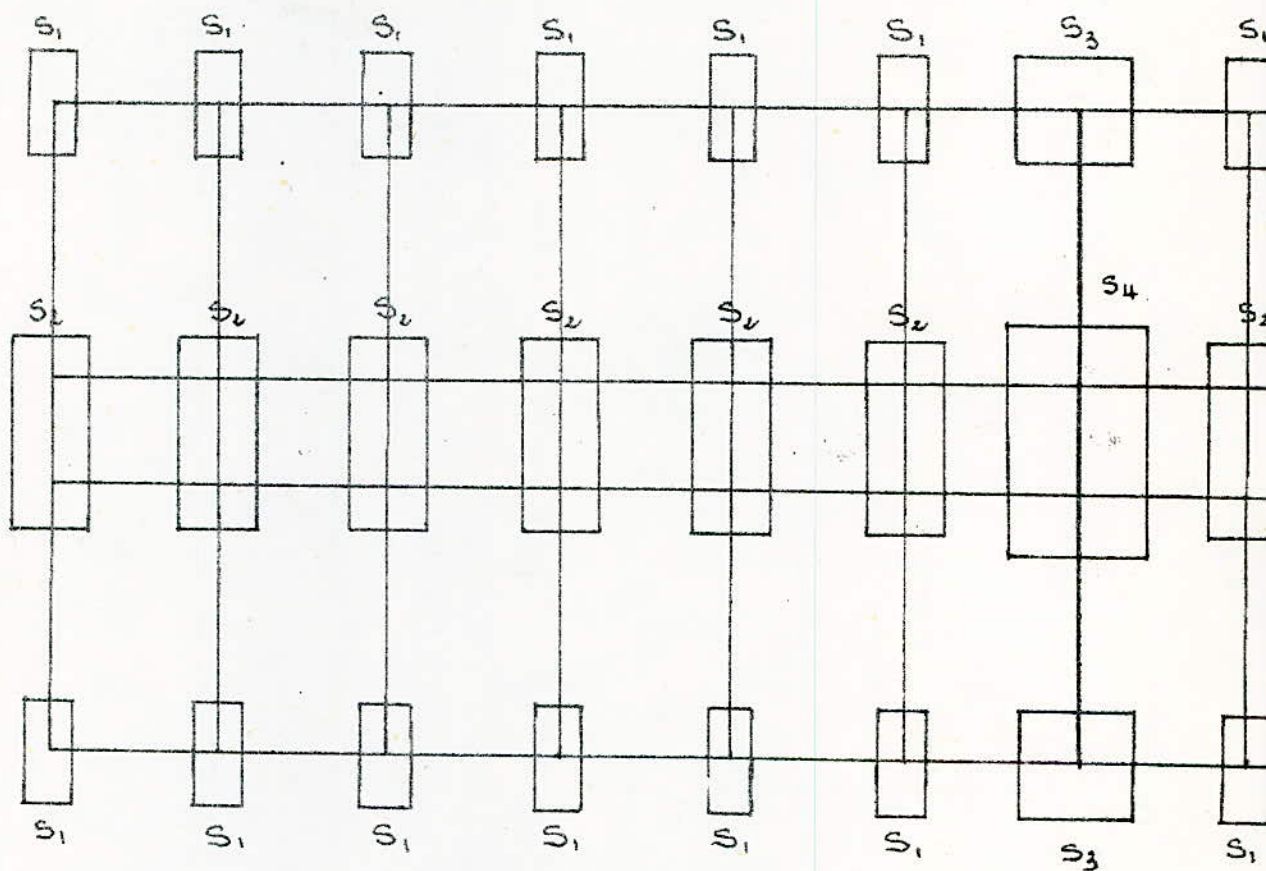
• semelles isolées ou continues : $\tilde{e}_s = 2,5 \text{ bars}$

• radier général $\tilde{e}_s = 1 \text{ bar}$

I) DÉMENSONNEMENT DES SEMELLES

· caractéristiques :

- la contrainte admissible du sol est $\tilde{\sigma}_s = 2,5$ bars.
- on disposera au dessous de la semelle un béton de propriété de 5 à 10 cm d'épaisseur.
- les semelles seront calculées en compression simple. Les moments à la base des poteaux seront repris par les longueurs.



Quatre types de semelles sont à distinguer.

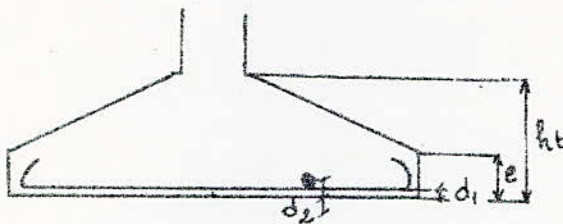
- Semelles isolées : (sous 1 poteau) : S₁
- Semelles isolées . (sous 2 poteaux) : S₃
- Semelles continues (sous 2 poteaux) : S₂
- Semelles continues (sous 4 poteaux) : S₄

X.3

CALCUL DES SEMELLES ISOLEES

Dimensionnement des semelles.

la semelle étant constituée d'un tronc de pyramide.



N: charge totale.

Es: contrainte admissible du sol.

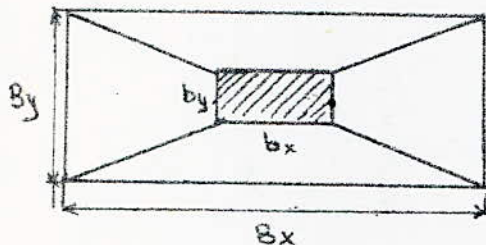
Bx: grand côté du rectangle.

By: petit côté du rectangle.

on doit avoir

$$Bx \cdot By \geq \frac{N}{Es}$$

$$\frac{Bx}{By} = \frac{bx}{by} \quad (\text{homothétie}).$$

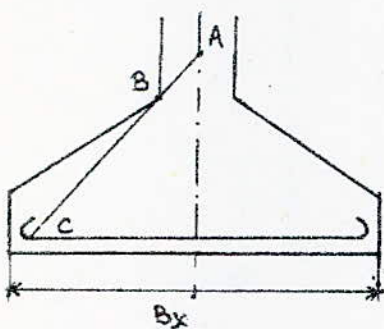


la hauteur de la semelle doit vérifier les équations suivantes:

$$ht \geq \frac{Bx - bx}{4} + d_1 \quad \text{et} \quad e \geq 6\phi + 6.$$

Calcul des armatures

Le calcul se fera par la méthode des bielles. cette méthode consiste à admettre que l'effort provenant du poteau se transmet par l'intermédiaire de bieles obliques de béton ayant leur origine au pt A. A est le point de rencontre de



l'axe du poteau avec la droite joignant (où commence le crochet des barres) au point B où la semelle rejoint le parement du poteau. La méthode des bielles conduit aux résultats suivants.

les efforts de traction dans les aciers sont:

dans sens X

$$F_x = \frac{N(Bx - bx)}{8(ht - d_1)}$$

dans sens Y

$$F_y = \frac{N(By - by)}{8(ht - d_2)}$$

Les armatures seront constituées de 2 nappes.

orthogonales.

$$Ax = \frac{F_x}{6a} \rightarrow \text{armatures parallèles à } Bx$$

$$Ay = \frac{F_y}{6a} \rightarrow \text{armatures parallèles à } By.$$

Semelle S₁

l'effort de compression N_{max} = 91 t. (partie II-II).

Dimensionnement.

$$BxBy \geq \frac{N}{6s} = \frac{91000}{2,5} = 36400 \text{ cm}^2 \quad \text{avec } \frac{Bx}{By} = \frac{bx}{by} =$$

$$Bx \geq \sqrt{\frac{36400}{0,5}} = 270 \text{ cm.} \quad \text{on adopte.}$$

$$Bx = 280 \text{ cm.}$$

$$By = 140 \text{ cm.}$$

hauteur de la semelle.

$$ht \geq \frac{Bx - bx + d_1}{4} = \frac{280 - 60 + 3,5}{4} = 58 \text{ cm.}$$

on prend ht = 70 cm

Poids propre de la Semelle:

hauteur moyenne = 50cm.

$$N = 0,5 \cdot 2,80 \cdot 1,40 \cdot 2500 = 4900 \text{ kg.}$$

$$\text{on aura } N = 91 + 4,9 = 95,9 \text{ t.} \Rightarrow \frac{N}{6s} = \frac{95900}{2800} < 39200 \text{ cm}^2$$

ferrailage:

$$F_x = \frac{N(Bx - bx)}{8(ht - d_1)} = \frac{95900(280 - 60)}{8(70 - 3,5)} = 39,6 \text{ t}$$

$$F_y = \frac{N(By - by)}{8(ht - d_2)} = \frac{95900(140 - 30)}{8(70 - 5)} = 20,3 \text{ t.}$$

Armatures.

$$\text{lit inférieur. } A_x = \frac{F_x}{6s} = \frac{39600}{2800} = 14,15 \text{ cm}^2.$$

on adoptera: 15 T 12

lit supérieur.

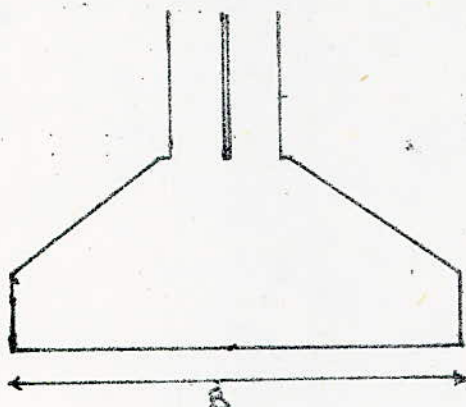
$$A_y = \frac{F_y}{6s} = \frac{20300}{2800} = 7,25 \text{ cm}^2.$$

on adoptera: 15 T 10.

on prendra

$$e = 20 \text{ cm}$$

Semelles S₃



$$N_{\max} = 2N = 2 \times 91 \Rightarrow$$

$$N_{\max} = 182 t.$$

la semelle est carree: car les 2 poteau forment une section de $60 \times 60 \rightarrow$
 $b = b_x = b_y = 60 \text{ cm}$.
 $h = B_x = B_y = 280 \text{ cm}$.

hauteur de la semelle:

$$ht \geq \frac{Bx - b_x}{4} + d_1 = \frac{B - b}{4} + d_1 = \frac{280 - 60}{4} + 3,5 = 58 \text{ cm}.$$

on prend ht = 70 cm.

Poids propre de la semelle:

hauteur moyenne: ht = 50 cm.

$$N = 0,5 \cdot 2,8 \cdot 2,8 \cdot 2500 = 9,8 t. \Rightarrow N = 191,8 t.$$

on aura $\frac{N}{6s} = 76720 < 78400$. (vérifie).

ferrailage:

$$f_x = f_y = \frac{N(B-b)}{8(ht-d)} = \frac{191800(280-60)}{8(70-5)} = 81,1$$

Armatures

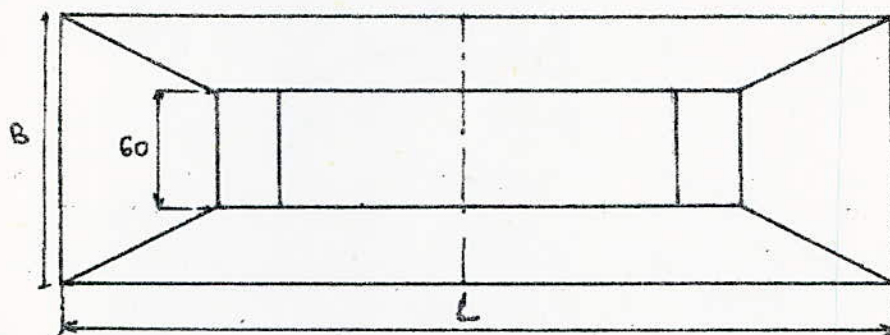
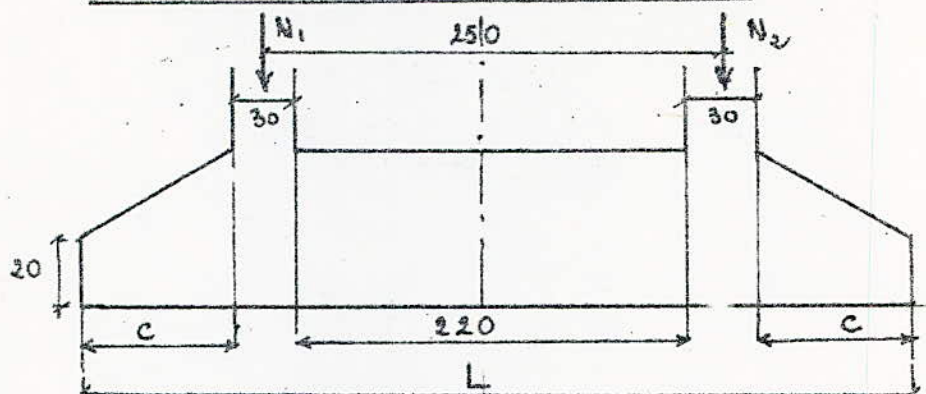
$$A_x = A_y = \frac{81000}{2800} = 29 \text{ cm}^2$$

lit inférieur \rightarrow 30 T12

$A = 33,9 \text{ cm}^2$

lit supérieur \rightarrow 30 T12

on prendra e = 20 cm.

CALCUL DES SEMELLES CONTINDES

1) sous 2 poteaux.
determinons L :

$$B \cdot L \geq \frac{R}{65} = 104800 \text{ cm}^2 \Rightarrow L \geq 420 \text{ cm.}$$

on prend $L = 5,00$

poids propre approximatif de la semelle.

$$N_0 = 0,5 \times 2,5 \times 5.2500 = 15,6 \text{ t}$$

effort normal total

$$N_t = N_0 + R = 277,6 \text{ t.}$$

verification

$$\frac{N_t}{65} = 11040 \text{ cm}^2 < 12500 \text{ cm}^2$$

dimensions des concrètes.

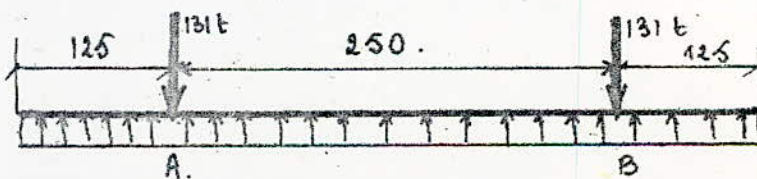
$$c = \frac{500 - 280}{2} = 110 \text{ cm.}$$

Determination des efforts.

On admet une répartition uniforme des pressions sur toute la surface de la fondation. La valeur de la pression au milieu linéaire sera.

$$q = \frac{R}{L} = \frac{277}{5} = 55 \text{ t/m.}$$

Schéma de calcul de la fondation et le suivant



$$q = 55 \text{ t/m.}$$

$$N_1 = 131,27 \text{ t}$$

$$N_2 = 129,8 \text{ t.}$$

les efforts N_1 et N_2 étant sensiblement égaux on calculera la semelle avec

$$N = N_1 = N_2 = 95$$

le centre de gravité des charges se trouve milieu de celles-ci

$$\text{soit } R = 2N = 262$$

$$\text{soit } B = 250 \text{ cm}$$

IX.7

MOMENTS

$$c' = c + 15 = 125.$$

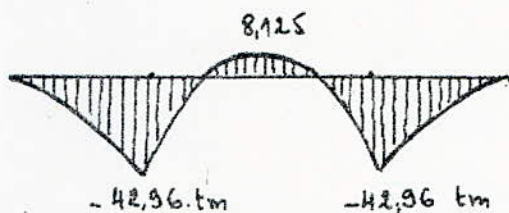
aux appuis

$$M_A = M_{A'} = q \cdot e^2 = 55 \cdot \frac{1,25}{2}^2 = 42,96 \text{ tm.}$$

entrave

$$M_0 = 55 \left(\frac{1,25 + 1,25}{2} \right)^2 - 131 \cdot 1,25 = 8,125 \text{ tm}$$

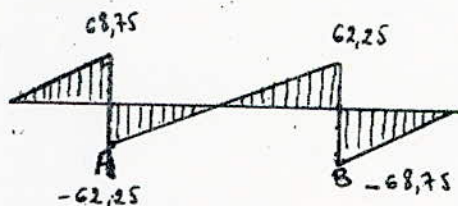
d'où le diagramme ci-dessous.



Efforts tranchants.

$$T_{AG} = q \cdot c = 55 \cdot 1,25 = 68,75 \text{ t.} = T_{BD}$$

$$T_{AD} = 131 - 68,75 = 62,25 \text{ t.} = T_{BG}$$



Détermination des Armatures longitudinales :

• Appui : section rectangulaire : 60x70.
(négliger le béton tendu).

$$M_A = 42,96 \text{ tm.}$$

$$T = 68,75 \text{ t.}$$

$$\mu = \frac{15M}{6b^2h^2} = \frac{15 \cdot 42,96 \cdot 10^5}{2800 \cdot 60 \cdot 65^2} = 0,090.$$

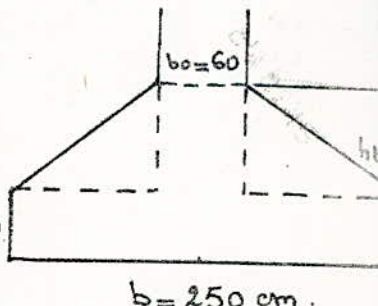
$$\Rightarrow \begin{cases} K = 26,4 \\ E = 0,8792 \end{cases}$$

$$A = \frac{M}{6a \cdot E \cdot h} = \frac{42,96 \cdot 10^5}{2800 \cdot 0,8792 \cdot 65} \quad \begin{cases} A = 26,84 \text{ cm}^2 \end{cases}$$

$$\tilde{w} = 100A = 100 \cdot \frac{29,45}{60 \cdot 65} = 0,435 \quad \text{soit} \begin{cases} A = 6T20 \\ + 10T14 \end{cases} \quad 1 \text{ seul lit.} \quad A = 34,24 \text{ cm}^2$$

$$\Rightarrow K = 34,9 \rightarrow E = 0,8947 \quad 6a = \frac{M}{A \cdot E \cdot h} = 2565 < 2800 \text{ kg/cm}^2$$

$$6b = \frac{6a}{K} = \frac{2565}{24,9} = 108 \text{ kg/cm}^2 < 135 \text{ kg/cm}^2 \quad \text{vérifié.}$$

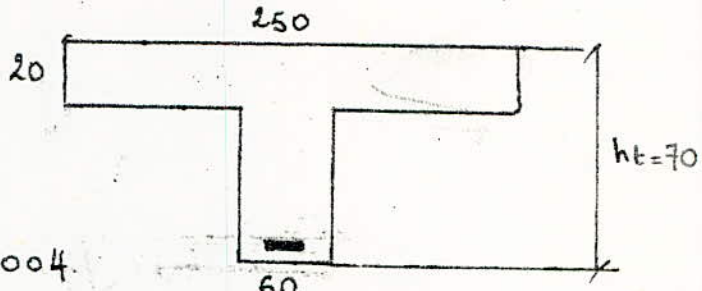


Section en traveé

$$M_0 = 8,125 \text{ tm.}$$

$$b = 250 \text{ cm.}$$

$$\mu = \frac{15M}{E \cdot b h^2} = \frac{15 \cdot 8,125 \cdot 10^5}{2800 \cdot 250 \cdot 65^2} = 0,004.$$



$$\rightarrow \begin{cases} k = 158 \\ E = 0,9711 \end{cases}$$

$$\alpha = 0,0867.$$

$$y = a \cdot h = 5,63 < 20 \text{ cm.}$$

$y < h_0 \Rightarrow$ l'axe neutre tombe dans la table de compression, on ferrillera la section rectangulaire $250 \times 70 \text{ cm.}$

$$t = \frac{M_0}{E \cdot A} = 4,6 \text{ cm}^2.$$

on prendra 6T20.

$$A = 18,84 \text{ cm}^2$$

VERIFICATIONS

a) conditions aux appuis:

on devra vérifier la section d'armatures nécessaires aux appuis (Armatures supérieure

$$A_{6a} \geq T + \frac{M}{Z} \quad \text{avec} \quad \begin{cases} M = -42,96 \text{ tm.} \\ T = 68,75 \text{ tm.} \end{cases}$$

$$Z = \frac{\gamma \cdot h}{8} = 56,8 \text{ cm.}$$

$$T + \frac{M}{Z} = 68,75 - \frac{42,96}{0,56} < 0.$$

→ vérifiée

fissuration

$$\text{Appui.} \quad \bar{w}_f = \frac{A}{B_f} = \frac{18,84}{6,6 \cdot 60} = 0,0555 \quad \rightarrow \quad \begin{cases} G_1 = 1790 \times 1,6 = 2840 \\ G_2 = 1157 \cdot 1,265 = 1460 \end{cases}$$

$$G_f = \max(G_1, G_2) = 2840 > 2800 \text{ kg/cm}^2$$

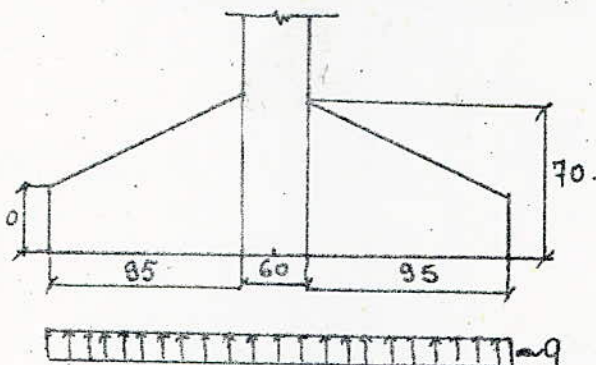
traveé

$$\bar{w}_f = \frac{A}{B_f} = \frac{18,84}{6 \cdot 60} = 0,054 \quad \rightarrow \quad \begin{cases} G_1 = 1,6 \times 1753 = 2805 \\ G_2 = 1,265 \cdot 1291 = 1633 \end{cases}$$

$$G_f := \max(G_1, G_2) = 2805 > 2800 \text{ kg/cm}^2: \quad \underline{\text{vérifiée}}$$

IX.9

Armatures dans le sens perpendiculaire à la poutre.



on fera le calcul pour une section de 1m de longueur

$$q = \frac{R}{B \cdot L} = \frac{277}{25.5} = 22,16 \text{ t/m}$$

la longueur de la console est $L = 95$

le moment d'encaissement est :

$$M = \frac{qL^2}{2} = 22,16 \cdot \frac{0,95^2}{2} = 10 \text{ tfm}$$

la section de calcul a pour dimensions 100cm et une hauteur de $ht = 70\text{cm}$.

$$M = \frac{15 M}{6a \cdot b^2} = 0,0126 \Rightarrow \begin{cases} K = 84,5 \\ E = 0,9498 \end{cases}$$

d'où la section A:

$$A = \frac{M}{Ea \cdot K \cdot h} = \frac{10 \cdot 10^5}{2800 \cdot 0,9498 \cdot 65} = 5,78 \text{ cm}^2$$

conditions de fissuration

$$\text{on adoptera: } A = 12 \text{ T12}$$

$$\tilde{w}_f = \frac{A}{B_f} = \frac{13,56}{5 \cdot 100} = 0,028 \Rightarrow \begin{cases} 6_1 = 1,6 \times 1823 = 2916 \text{ kg/cm}^2 \\ 6_2 = 1,265 \times 1666 = 2107 \text{ ---} \end{cases}$$

$$\text{donc } \max(6_1, 6_2) > 6_n$$

verifié.

ARMATURES TRANSVERSALES.

on a $T_{\max} = 68,76 \text{ t}$.

contraintes du cisaillement: $\tilde{G}_b = \frac{T}{b z} = \frac{68750}{64,766} = 18,14 \text{ kg/cm}^2$

on a $\tilde{G}_b = 18,14 \text{ kg/cm}^2$.

à l'appui on a $G^b = 100 \text{ kg/cm}^2$. (voir précédemment).

donc $\tilde{G}_{b_0} \leq G^b \leq 2\tilde{G}_{b_0}$.

$$\tilde{G}_b = \left(4,5 - \frac{G^b}{G_{b_0}}\right) 5,9 = 18,55 \text{ kg/cm}^2 \text{ donc } \tilde{G}_b < \tilde{G}_b$$

les endroits et les étiers suffisent.

calcul des espacements.

$$t_0 = \frac{\text{At. Z. } 6 \cdot t}{T_{\max}} = \text{ soit At} = 6,24 \text{ cm}^2$$

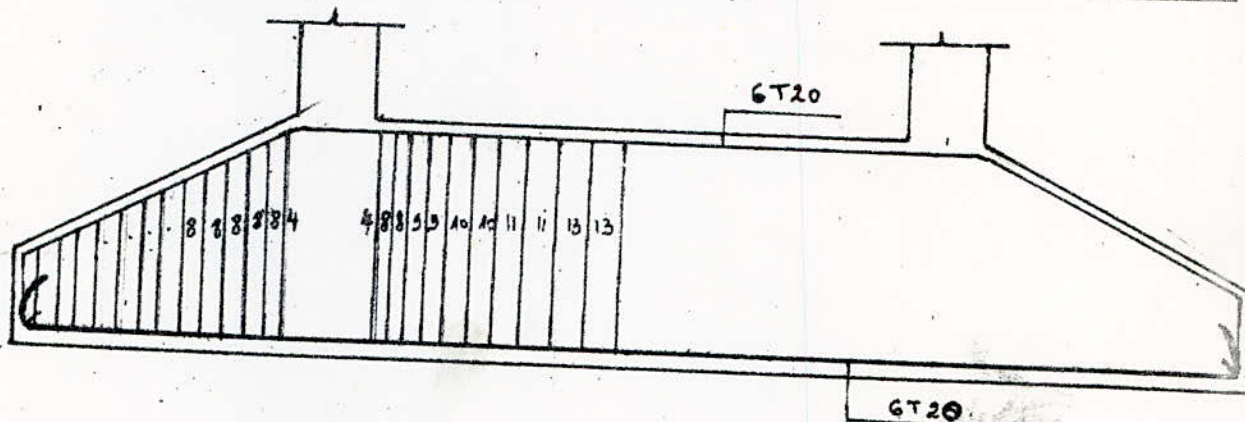
2 cadres + 2 étais $\phi 40 \text{ mm}$.

$$t_0 = \frac{6,24 \cdot 7,65 \cdot 1600}{8} = 8,25 \text{ cm.}$$

espacement admissible.

$$\tilde{E} = \max \begin{cases} \tilde{E}_1 = 0,2h = 13 \text{ cm.} \\ \tilde{E}_2 = \left(1 - 0,3 \frac{\tilde{E}_1}{6b}\right) \cdot h = 5 \text{ cm.} \end{cases} \quad \tilde{t} = 13 \text{ cm}$$

le 1^e cours d'armatures sera placé à $\frac{t}{2} = 4 \text{ cm}$. avec $t = 8 \text{ cm.}$



Vérifications au poinçonnement :

$$N = 130 \cdot t.$$

on devra vérifier la contrainte de poinçonnem

$$1,5 \cdot \frac{N}{Pc \cdot ht} < 1,2 \tilde{b}$$

$$\tilde{b} = 5,9 \text{ Kg/cm}^2$$

Avec $Pc =$ périmètre du contour. $u'v'$. dans le plan moyen de la dalle. d'épaisseur. $ht = 70 \text{ cm.}$

$$1,5 \cdot \frac{130 \cdot 10^3}{2(130+100) \cdot 70} = 6 \text{ Kg/cm}^2 < 7,10 \text{ Kg/cm}^2$$

$$u = 60 \text{ cm}$$

$$v = 30 \text{ cm}$$

$$u' = u + h_0 = 60 + 70 =$$

$$v' = v + h_0 = 30 + 70 =$$

IX. II

3) sous 4 poteaux. : on a $N_I = 2N_1 = 262 \text{ t.}$

$$N_{II} = 2N_2 = 259 \text{ t.}$$

on remarque que les effets N_I et N_{II} sont sensiblement égaux.

on prend. $N = N_I = N_{II} = 262 \text{ t.}$

$$R = 2N = 524 \text{ t.}$$

soit. $B = 350 \text{ cm.}$

$$BL \geq \frac{R}{6s} = \frac{209600 \text{ cm}^2}{6s} \Rightarrow L \geq \frac{209600}{350} = 600 \text{ cm.}$$

on prend:

$B = 350 \text{ cm}$
$L = 650 \text{ cm}$

• poids propre approximatif de la semelle :

$$N_0 = 0.6 \cdot 3.5 \cdot 6.5 \cdot 2500 = 34,12 \text{ t.}$$

• effet total :

$$N_t = N_0 + R = 558 \text{ t.}$$

• vérification

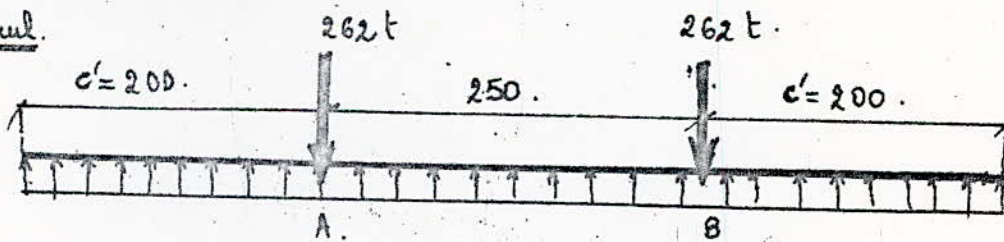
$$\frac{N_t}{6s} = \frac{558000}{2,5} = 223200 \text{ cm}^2 < 227500 \text{ cm}^2.$$

dimensions des consoles.

$$c = \frac{650 - 280}{2} = 185 \text{ cm.}$$

détermination des effets.

schéma de calcul.



$$q = \frac{R}{L} = \frac{558}{650} = 85 \text{ t/m.}$$

Moments.

$$\text{Appui. } M_A = M_B = q \frac{c'^2}{2} = 85 \cdot \frac{2^2}{2} = 170 \text{ tm.}$$

travé

$$M_0 = 85 \left(\frac{2+1,25}{2} \right)^2 = 262 \cdot 1,25 = 122 \text{ tm}$$

effets tranchants.

$$T_{AD} = T_{BD} = q c' = 170 \text{ t.}$$

$$T_{AD} = T_{BG} = 92 \text{ t.}$$

determination de ht.

IX12

condition de non poiçonnement.

$$1,5 \cdot \frac{N}{ht} \leq 1,26 \Rightarrow 1,5 \cdot \frac{262 \cdot 10^3}{2 \times 340 \cdot 95} = 6,08 < 7 \text{ kg/cm}^2.$$

pe ht

$$M = 120 + 95$$

$$P_c = 2(MV)$$

$$V = 30 + 95.$$

on prend. ht = 3

P_c = périmètre du contour de la projection du rectangle $M \times V$ dans le plan moyen de la semelle.

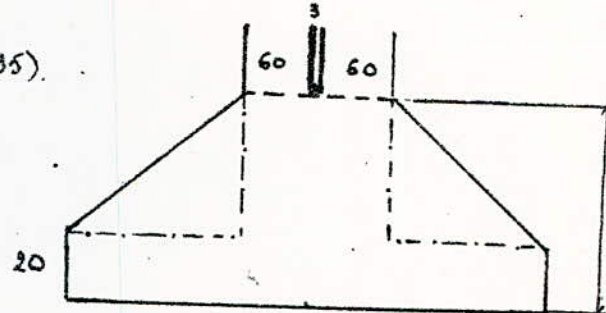
on prend. $E = 20 \text{ cm}$

Armatures longitudinales :

Appuis : section rectangulaire (120×95)

$$M_A = 170 \text{ tm.}$$

$$M = \frac{15M}{6 \cdot b h^2} = \frac{15 \cdot 170 \cdot 10^5}{2670 \cdot 120 \cdot 90^2} = 0.098.$$



$$\therefore K = 25,1$$

$$\therefore E = 0.8753$$

$$\Rightarrow A = \frac{M}{6 \cdot E h} = \frac{170 \cdot 10^5}{2670 \cdot 0.8753 \cdot 90} = 80 \text{ cm}^2.$$

$$b = 360.$$

on prend. $\left\{ \begin{array}{l} A = 18T16 \\ (\text{---} \text{ de } 9T25) \end{array} \right. = 80 \text{ cm}^2$

$$\bar{w} = \frac{100A}{bh} = 100 \cdot \frac{80,35}{120 \cdot 90} = 0.818.$$

$$\therefore K = 23,7$$

$$E = 0.8708$$

$$\Rightarrow 6a = 2450 \text{ kg/cm}^2$$

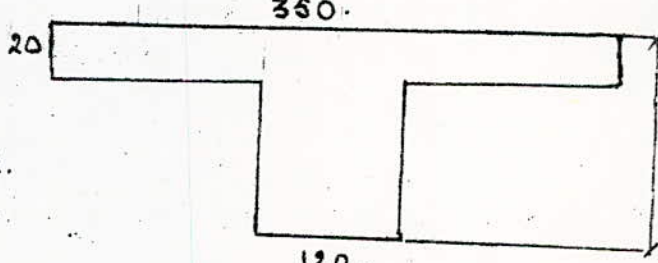
$$G'b = \frac{6a}{K} = \frac{2450}{23,7} = 103 \text{ kg/cm}^2 < 135 \text{ kg/cm}^2.$$

verifie.

terre

$$M_t = 122 \text{ tm.}$$

$$M = \frac{15M}{6 \cdot b h^2} = \frac{15 \cdot 122 \cdot 10^5}{2670 \cdot 350 \cdot 90^2} = 0.024.$$



$$\rightarrow \left\{ \begin{array}{l} K = 59 \\ E = 0.9324 \\ d = 0.2027 \end{array} \right. \Rightarrow y = d \cdot h = 0.2027 \cdot 90 = 18,25 \text{ cm} < 20 \text{ cm}.$$

L'axe neutre tombe dans la table de compression, on ferrailera la section rectangulaire (350×95).

$$A = \frac{Mo}{6 \cdot E \cdot h} = \frac{122 \cdot 10^5}{2670 \cdot 0.9324 \cdot 90} = 54 \text{ cm}^2 \quad \text{on prend: } 18T20 = 56,5 \text{ cm}^2$$

2 lib: (9T20)

VERIFICATIONS

a) conditions aux appuis: $A \bar{e} \geq T + \frac{M}{Z}$. A : (section traveé).

avec: $M = -170 \text{ t.m.}$

$$T = 170 \text{ t.}$$

$$Z = \frac{\pi \cdot 90}{8} = 76.75.$$

$$\Rightarrow T + \frac{M}{Z} = 170 - \frac{170}{76.75} < 0: \text{ vérifié.}$$

b) fissuration:

Appui: $\tilde{w}_f = \frac{A}{B_f} = \frac{16.35}{115.120} = 0.068 \Rightarrow \begin{cases} 6_1 = 1620 \times 1.6 = 2590 \text{ Kg/cm}^2 \\ 6_2 = 1460 \text{ Kg/cm}^2 \end{cases}$

on a $6_f = \max(6_1, 6_2) = 2590 > 6_a = 2450 \text{ Kg/cm}^2$.

traveé: $\tilde{w}_f = \frac{A}{B_f} = \frac{56.52}{10.120} = 0.048 \Rightarrow \begin{cases} 6_1 = 1.6 \cdot 1660 = 2656 \text{ Kg/cm}^2 \\ 6_2 = 1633 \end{cases}$

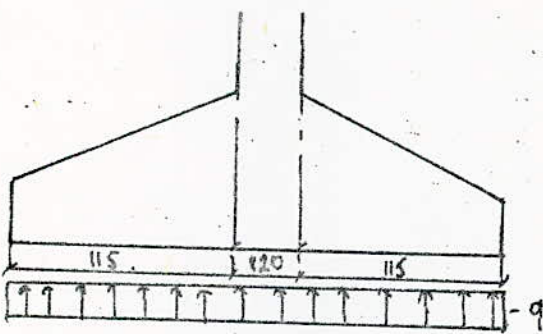
$$6_f = \max(6_1, 6_2) = 2656 \text{ Kg/cm}^2.$$

(traveé)

$$6_a = \frac{M}{A \cdot E \cdot h} = \frac{122.10^5}{56.52 \cdot 0.891190} = 2650 \text{ Kg/cm}^2 < 6_f = 2656 \text{ Kg/cm}^2$$

vérifiée.

Armatures dans le sens perpendiculaire à la portée



on fera le calcul pour une section de 1m de largeur

$$q = \frac{R}{B \cdot L} = \frac{R}{3.5 \cdot 6.5} = \frac{558}{3.5 \cdot 6.5} = 24.5 \text{ t/m}$$

la console a pour longueur: 1,15 m.

$$M = q \frac{l^2}{2} = 24.5 \cdot \frac{1.15^2}{2} = 16.2 \text{ t.m}$$

la section de calcul = pour dimensions. (100 x 95).

$$M = \frac{15 \text{ m}}{6 \cdot b \cdot h^2} = 0.0107 \Rightarrow \begin{cases} K = 93 \\ E = 0.9537 \end{cases}$$

$$A = \frac{M}{6a \cdot E \cdot h} = 6.74 \text{ cm}^2. \quad \text{on adoptera: } \underline{12 \text{ T12. pmv.}}$$

la fissuration étant vérifiée précédemment

Armatures transversales.

on a $T_{max} = 170 t$.

continuité de l'avallement.

$$Z_b = \frac{T}{b z} = \frac{170 \cdot 10^3}{123 \cdot \frac{7.90}{8}} = \underline{17,55 \text{ kg}}$$

à l'appui on a

$$G_b = 103 \text{ kg/cm}^2. \text{ d'où}$$

$$\tilde{G}_b = \left(4,5 - \frac{103}{67,5}\right) \cdot 5,9 = 17,68 \text{ kg/cm}^2. \text{ d'où } G_b < \tilde{G}_b$$

les cadres et les étiiers suffisent.

on adoptera 4 cadres + 1 étier en $\phi 12 \text{ mm}$.

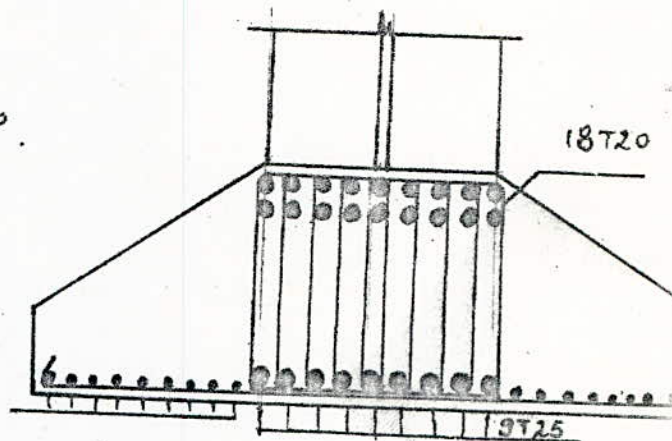
calcul des espacements.

$$t_0 = \frac{A_t \cdot z \cdot 6at}{T_{max}} = \frac{11,3 \cdot 7.90 \cdot 1600}{170 \cdot 10^3}$$

$$\text{soit } A_t = 11,3 \text{ cm}^2.$$

$$\text{on trouve } t_0 = 8,37 \text{ cm.}$$

espacement admissible



$$\tilde{t} = \max \left\{ \begin{array}{l} \tilde{t}_1 = 0,2 h = 18 \text{ cm.} \\ \tilde{t}_2 = \left(1 - 0,3 \frac{G_b}{\tilde{G}_b}\right) \cdot h = 9,68 \text{ cm.} \end{array} \right.$$

d'où

$$\underline{\tilde{t} = 18 \text{ cm.}}$$

$$\underline{t = 8 \text{ cm.}}$$

le 1^e cours d'armatures sera placé à $\frac{t}{2} = 4 \text{ cm}$ de l'appui.

BIBLIOGRAPHIE

- RÈGLES TECHNIQUES CCBA. 68
- CALCUL PRATIQUE DES SECTIONS EN BÉTON ARMÉ - P. CHARPENTIER
- CALCUL ET VÉRIFICATION DES OUVRAGES EN BÉTON ARMÉ
- OSSATURES DE BÂTIMENTS EN BÉTON ARMÉ - A. FUENT
- TRAÎTE DE BÉTON ARMÉ . Tomes 3 et 4 . A. GUERRIN.
- AIDE MEMOIRE - DUNOD - Résistance des matériaux.
- RÈGLES D'ARMISATION . 69.
- COURS de béton armé . E.N.D.A:
Béton . III . M^{me} Ayadi - M^r Bellazoglio
- COURS de Bâtiment E.N.D.A.
Bâtiment I et II - M^r SCEAFRAN.

